

COLOMBIA ROUND 2021



El futuro
es de todos

Minenergía

STRATIGRAPHY AND PALEOENVIRONMENTS OF COLOMBIAN CARIBBEAN AND EASTERN CORDILLERA BASINS, BASED ON ANH WELLS

Andres Pardo T.
Felipe Vallejo H.
Fabian Gallego B.
Sergio Celis H.

Universidad de Caldas, Instituto de Investigaciones en Estratigrafía

CALDAS UNIVERSITY LABS-INSTITUTO DE INVESTIGACIONES EN ESTRATIGRAFÍA-IIES (2013-2021)



- Micropaleontology (palynology, foraminífera, calcareous nanofossils, diatoms, ostracods, mollusks)
- Sedimentology, provenance
- Ichnology
- Basin analysis (seismic interpretation)
- Geochronology-Thermochronology.

IIES TECHNICAL STAFF



Palynology

Andrés Pardo Ph.D.
Ángelo Plata M.Sc. C. Ph.D.
Felipe Duque Ph.D.
Andrés Díaz M.Sc.

Foraminifera

Raúl Trejos M.Sc. C. Ph.D.
Mónica Duque M.Sc.
Darwin Garzón c. M.Sc.

Calcareous nanofossils:

Felipe Vallejo M.Sc. C. Ph.D.
Margarita Buitrago Ph.D.
Esteban Osorio c. M.Sc.

Ostracods:

Andrés Salazar M.Sc. C. Ph.D.

Sedimentology

Carlos A. Guzmán Ph.D.
Valentina Espinel Ph.D.
Fabián Gallego M.Sc.
Edward Osorio M.Sc.
Sebastián Rosero M.Sc.
Jaime Muñoz M.Sc.
Valentina Vargas M.Sc.

Ichology:

Sergio Celis M.Sc. C. Ph.D.
Carlos Giraldo M.Sc.

Geochronology- Thermochronology

Sebastián Echeverri Ph.D.
Ángel Barbosa Ph.D.

Seismic interpretation

Lina M. Rendón M.Sc.
Alejandro Arenas M.Sc.

Vulcanology

Hugo F. Murcia Ph.D.
Susana Osorio Ph.D.
Laura Sánchez M.Sc.



El futuro
es de todos

Minenergía



SOME STUDIED AREAS

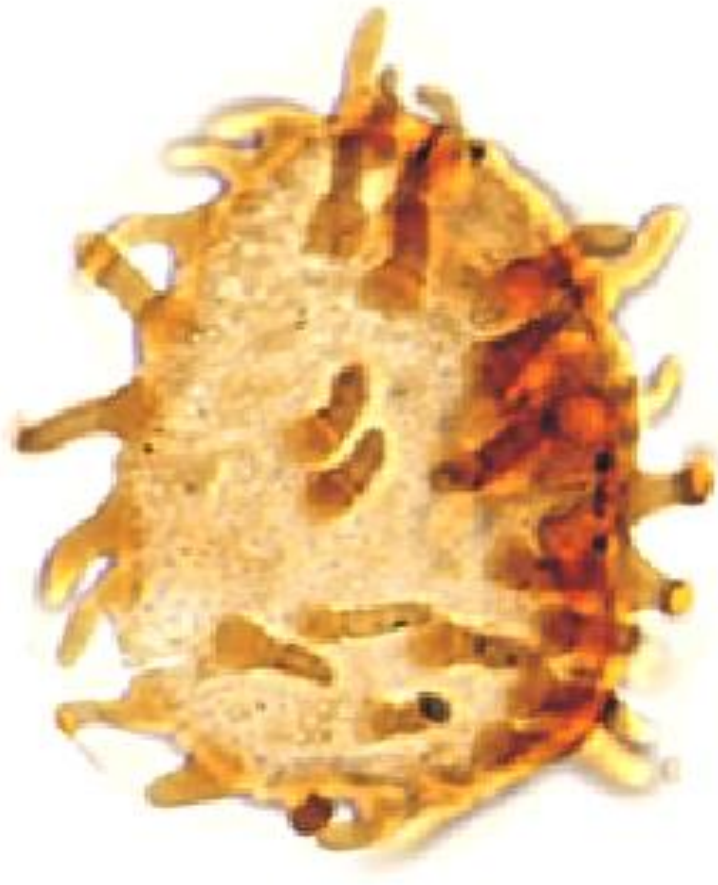


El futuro es de todos

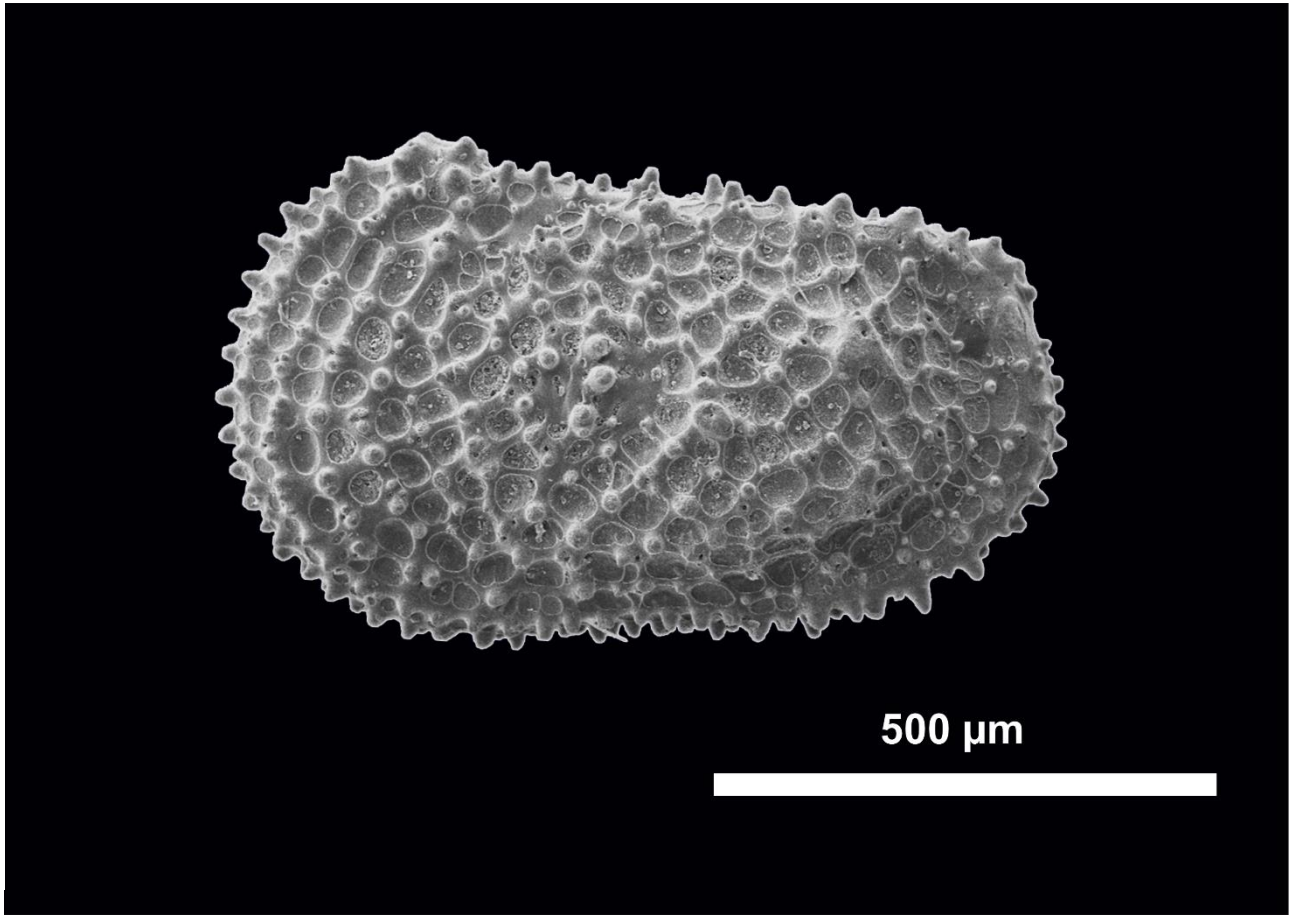
Minenergía



• Palynology



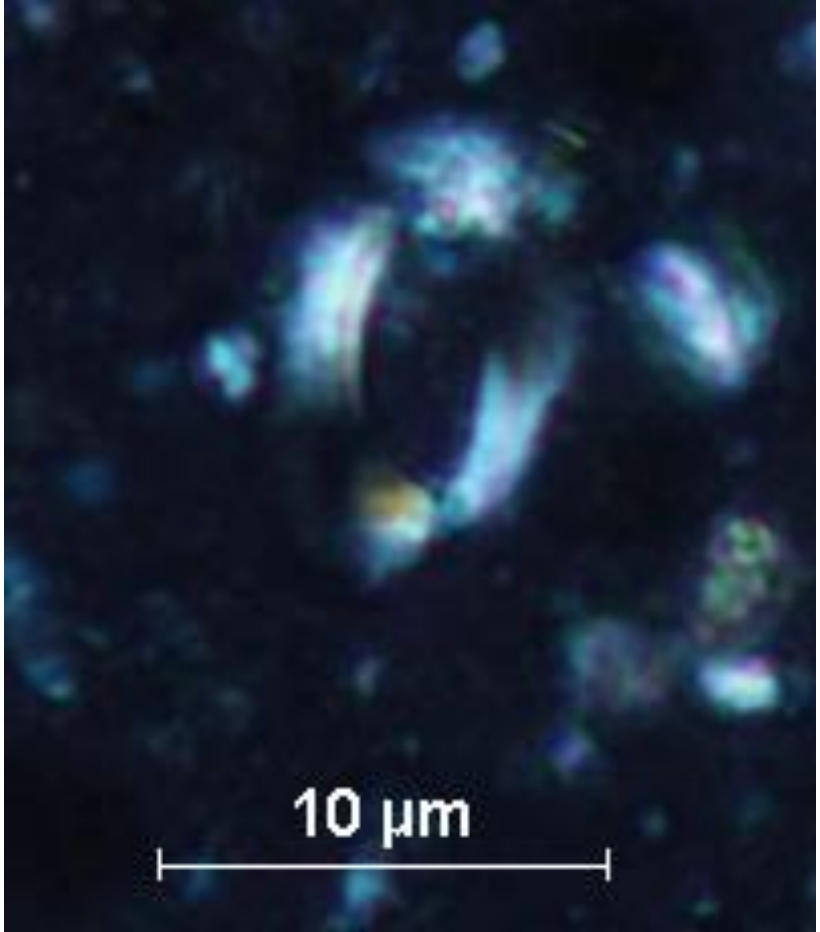
• Ostracods-mollusks



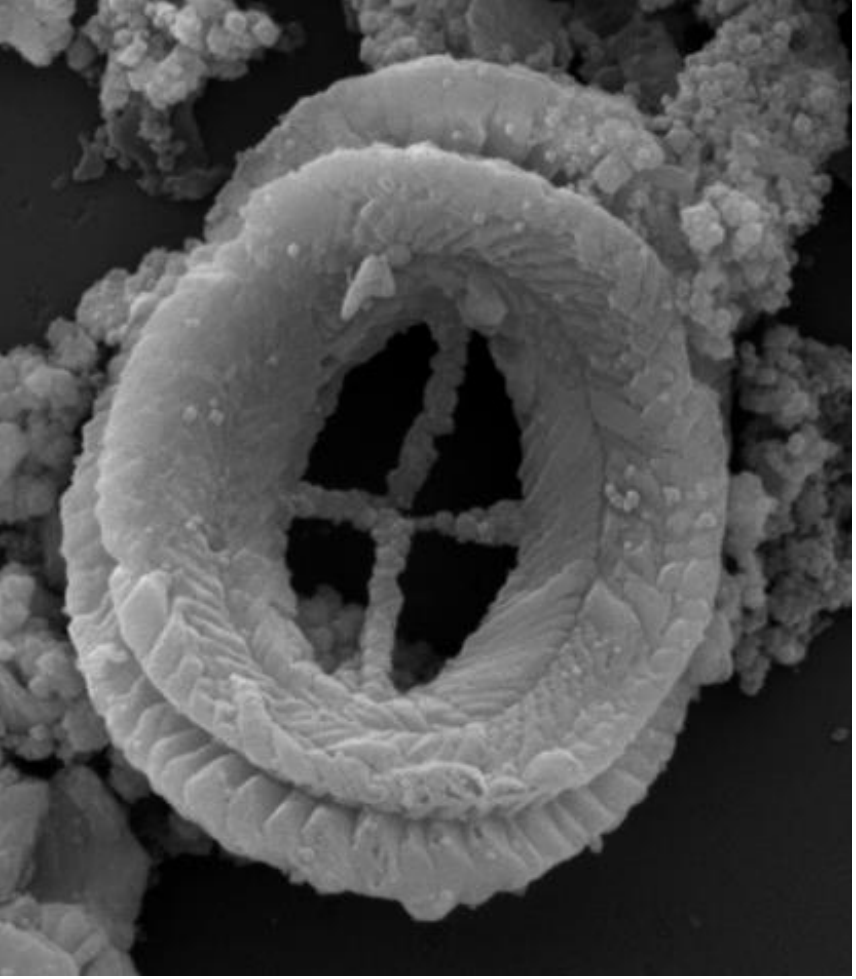
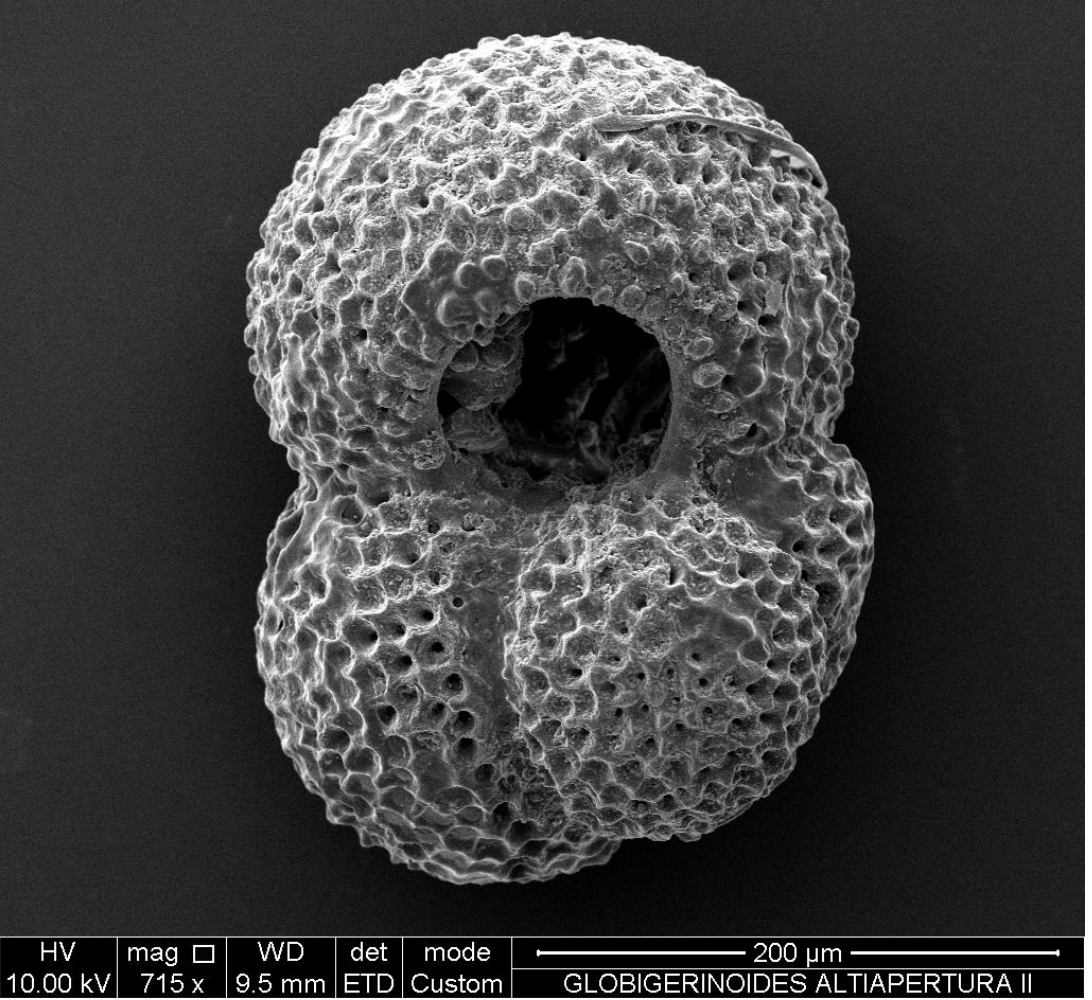
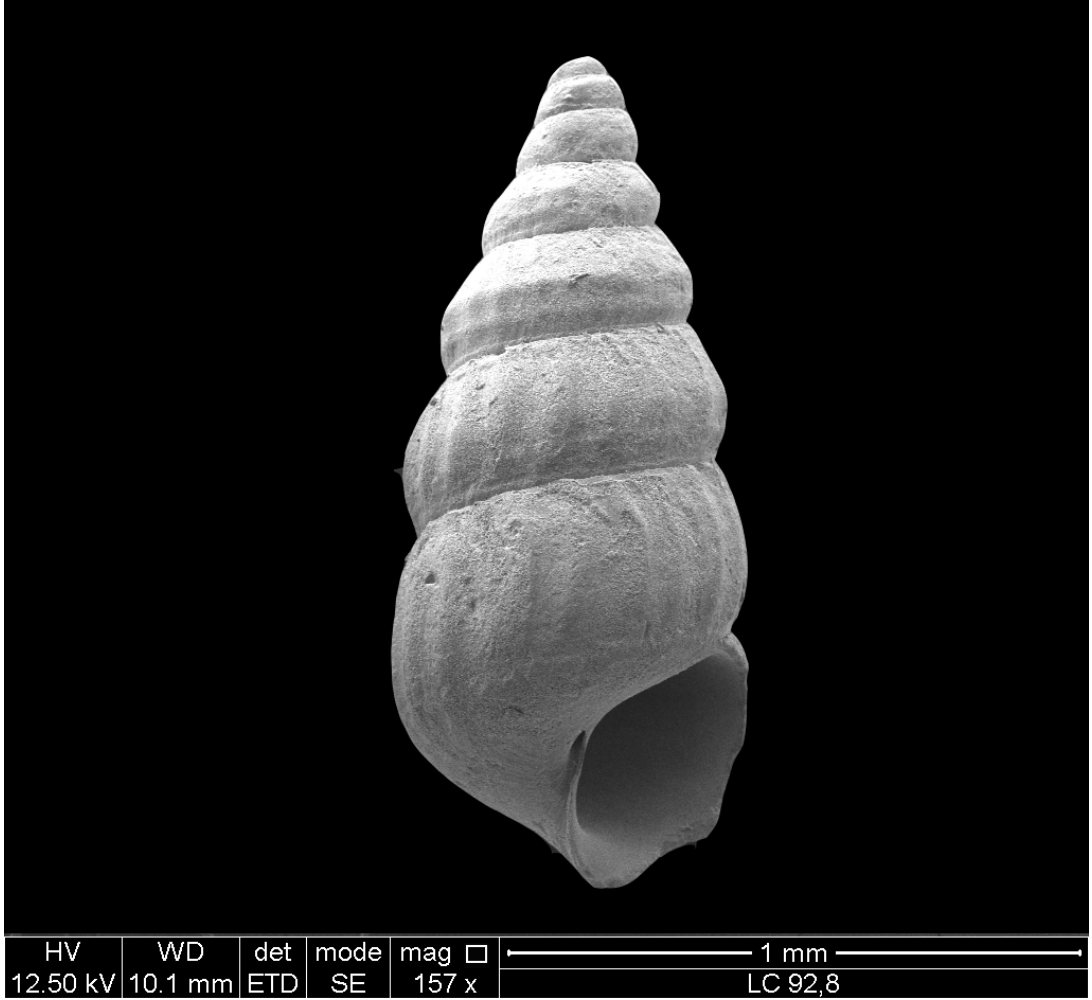
• Foraminifera



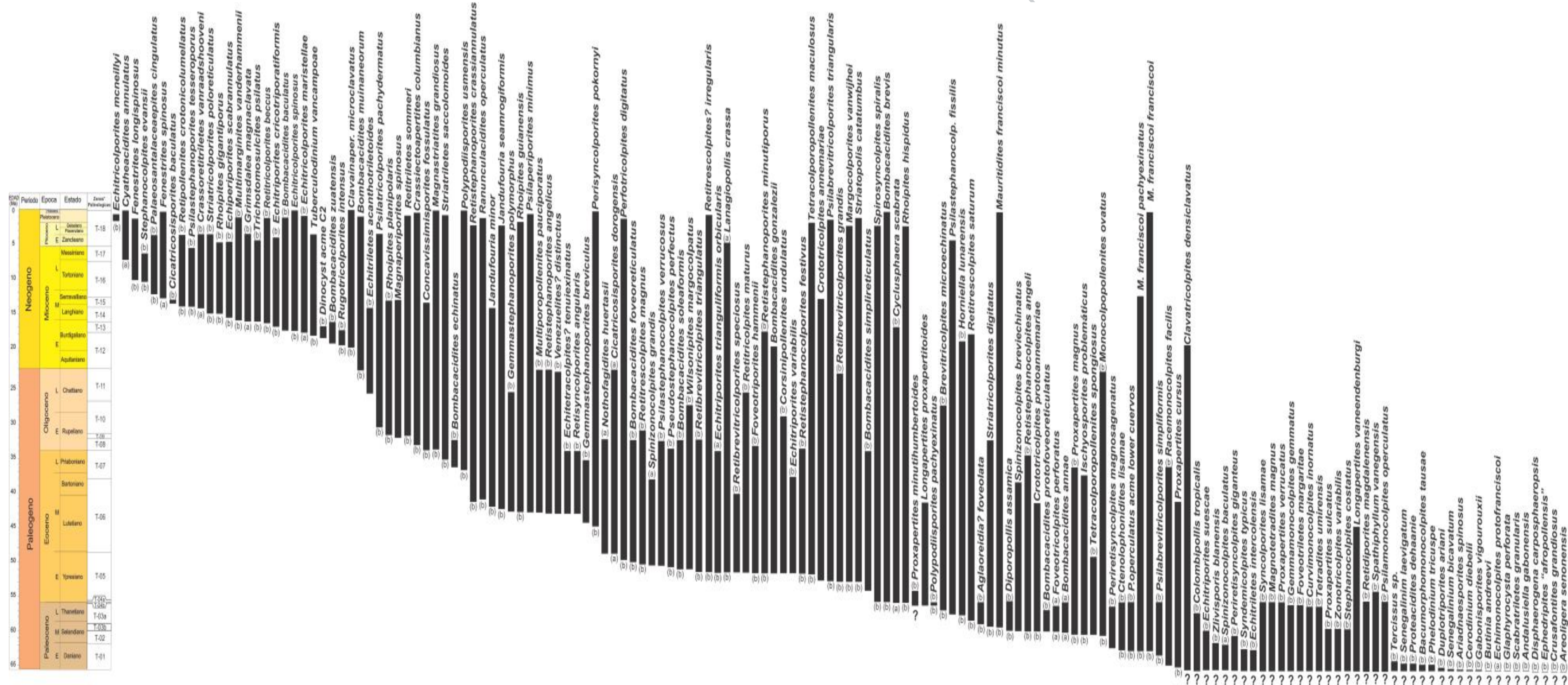
• Calcareous nanofossils



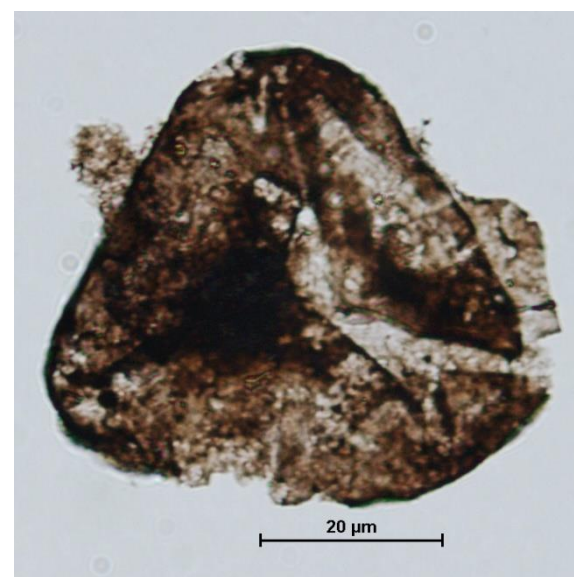
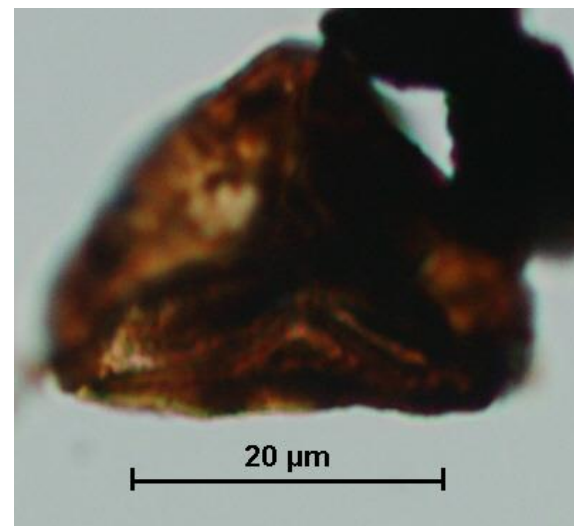
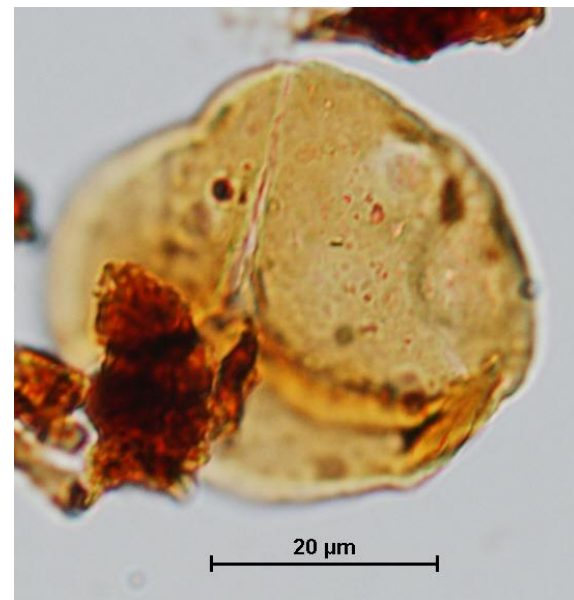
VNIVERSIDAD
D SALAMANCA



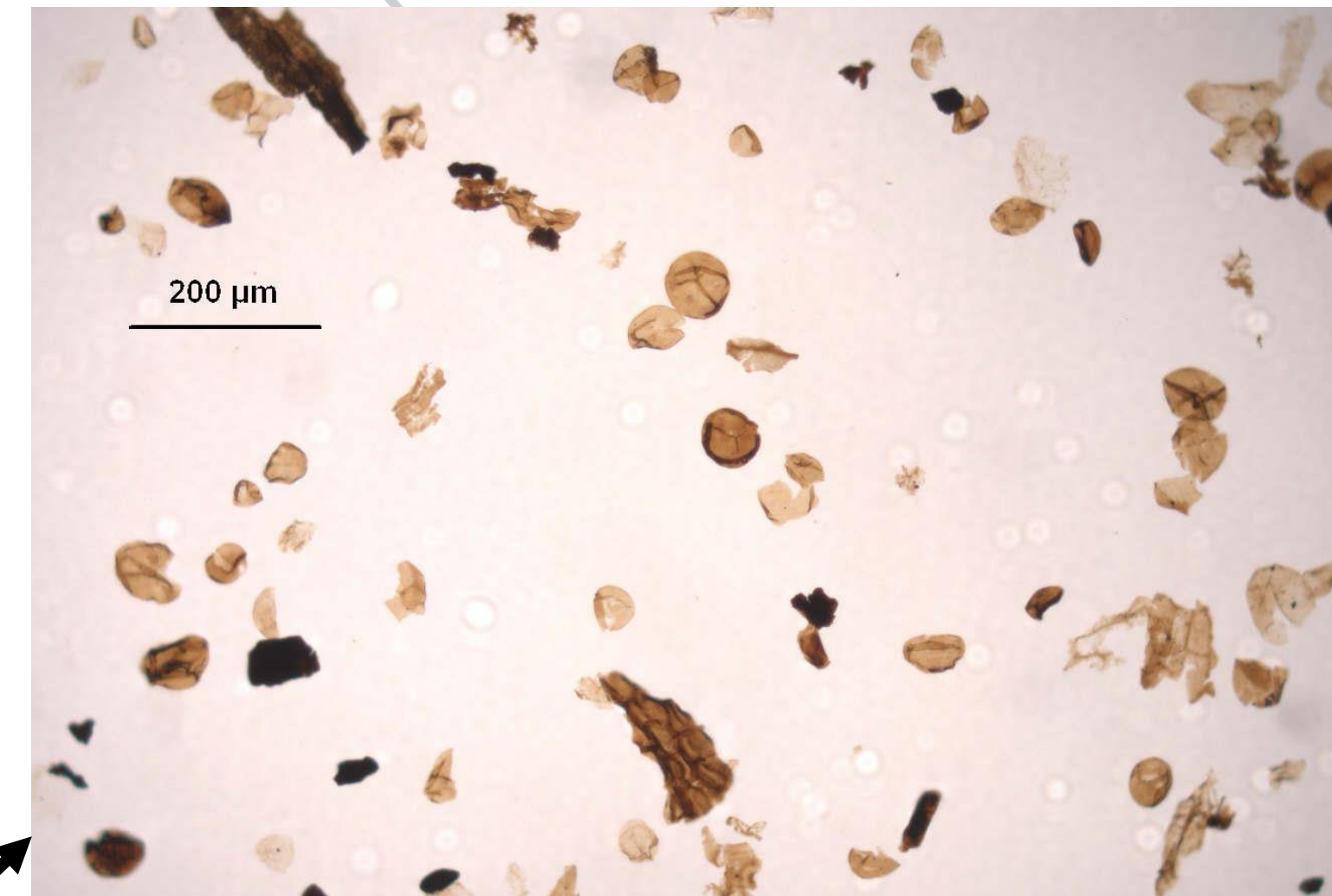
PALINOLOGY-STRATIGRAPHIC FRAMEWORK



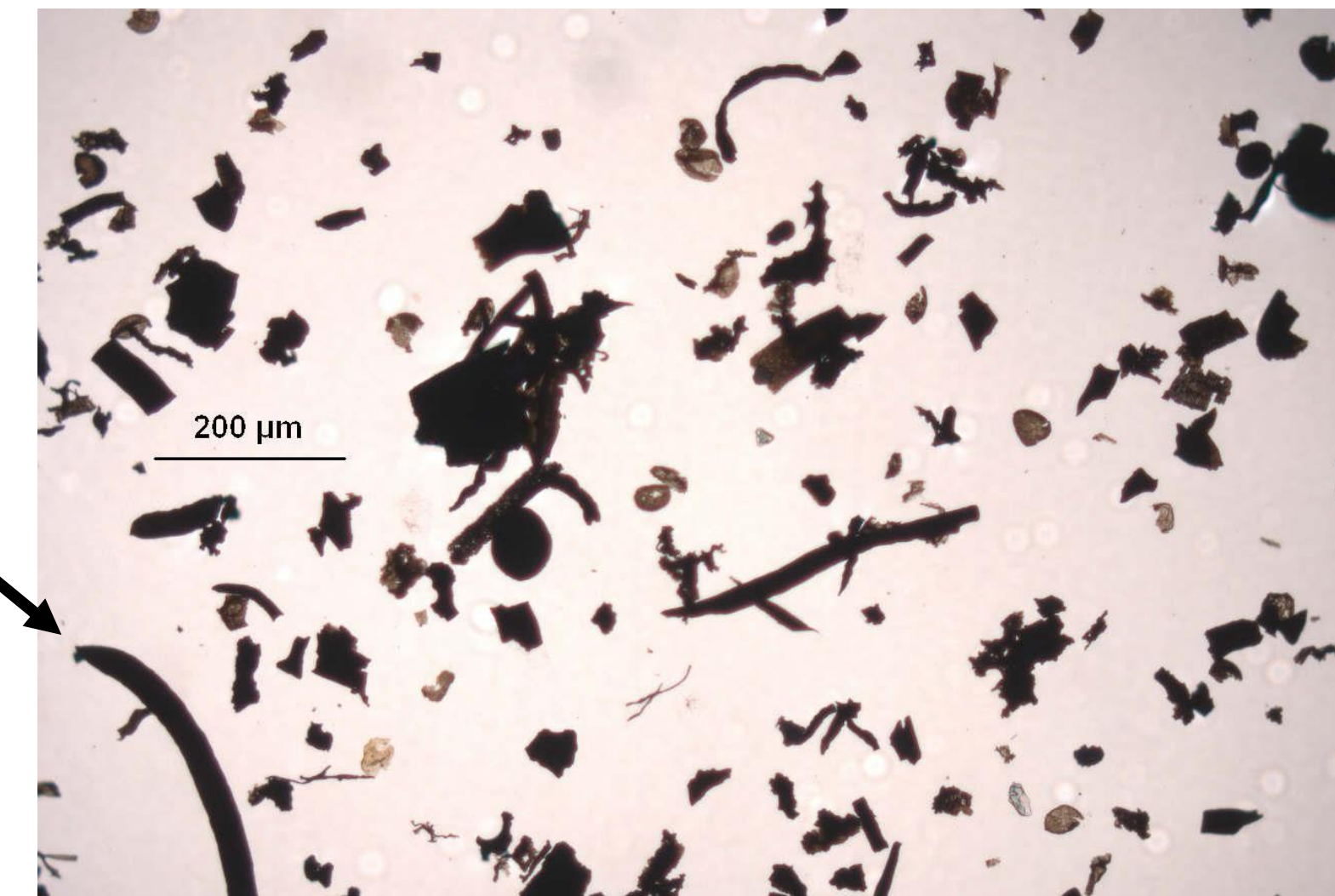
PALYNOLOGY AND THERMAL ALTERATION INDEX



ORGANIC THERMAL MATURITY	COLOR OF FOSSIL SPORES/POLLEN	APPROXIMATE CORRELATION TO OTHER SCALES	
		TAI = 1-5	VITRINITE REFLECTANCE
IMMATURE	[Lightest yellow]	1	0.2%
	[Light yellow]	1+	0.3%
	[Yellow]	2-	
	[Yellow-orange]	2	
MATURE MAIN PHASE OF LIQUID PETROLEUM GENERATION	[Orange]	2+	0.5%
	[Orange-brown]	3-	.9%
	[Brown]	3	
	[Dark brown]	3+	1.3%
DRY GAS OR BARREN	[Darkest brown]	4-	2.0%
	[Black]	4	2.5%
	[Black & Deformed]	(5)	



Mature



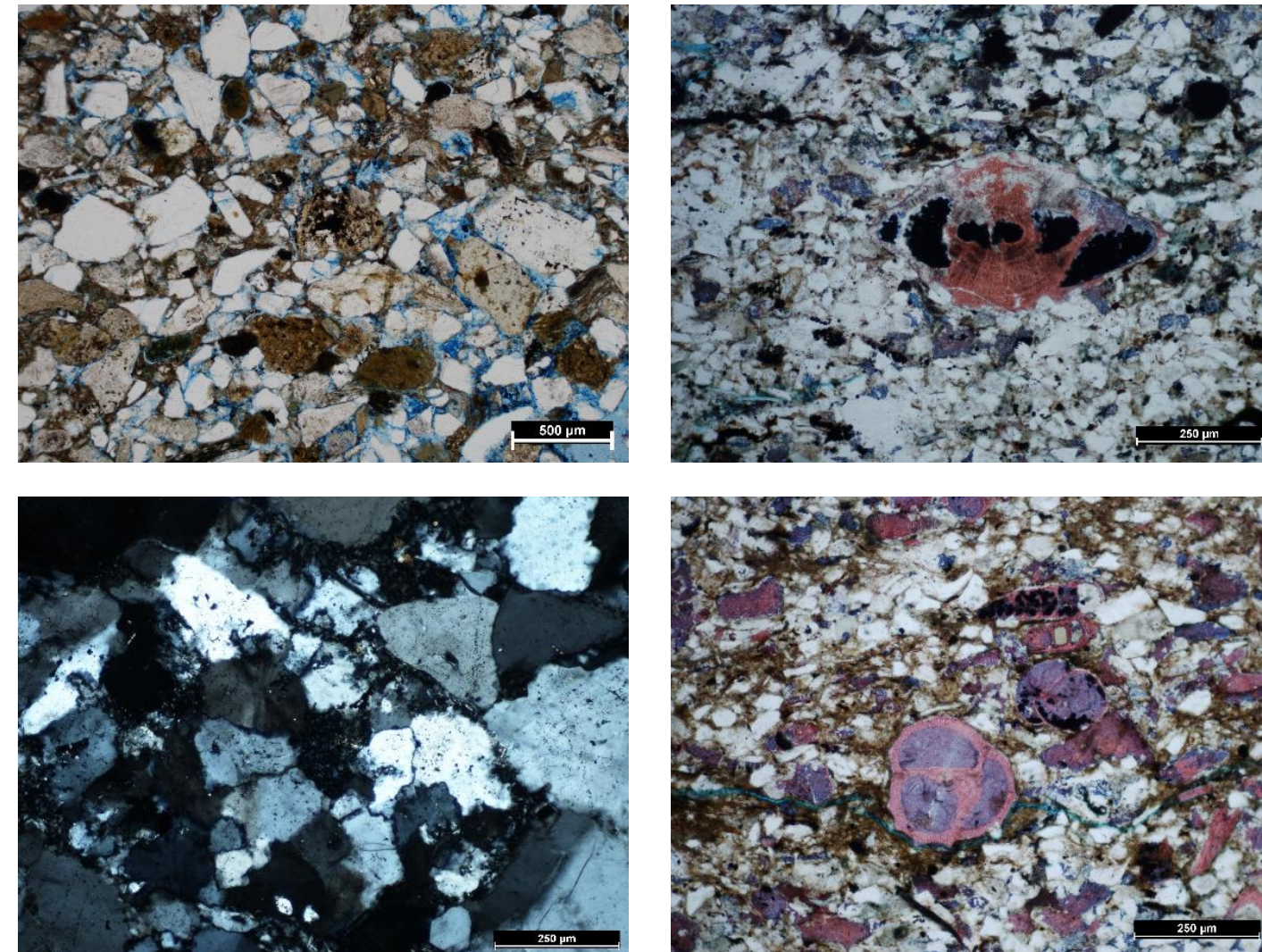
Overmature

PROVENANCE ANALYSES

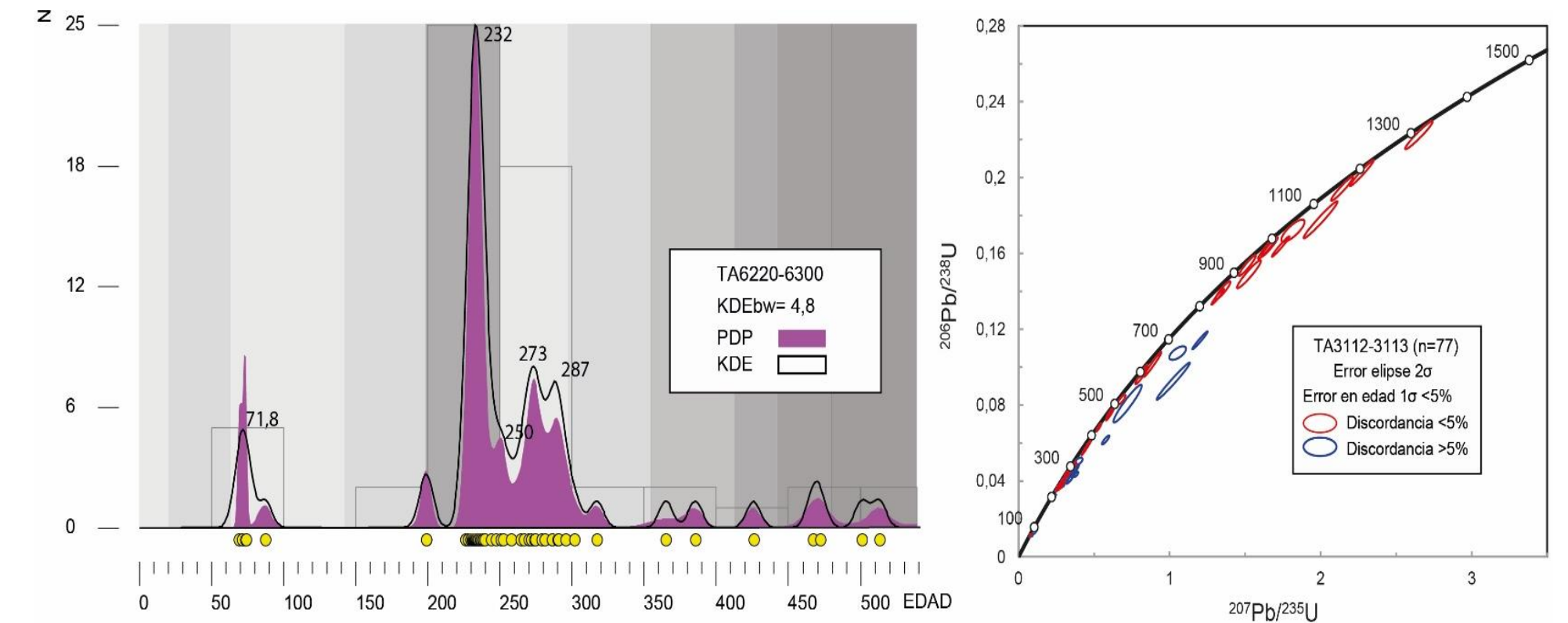
Cores



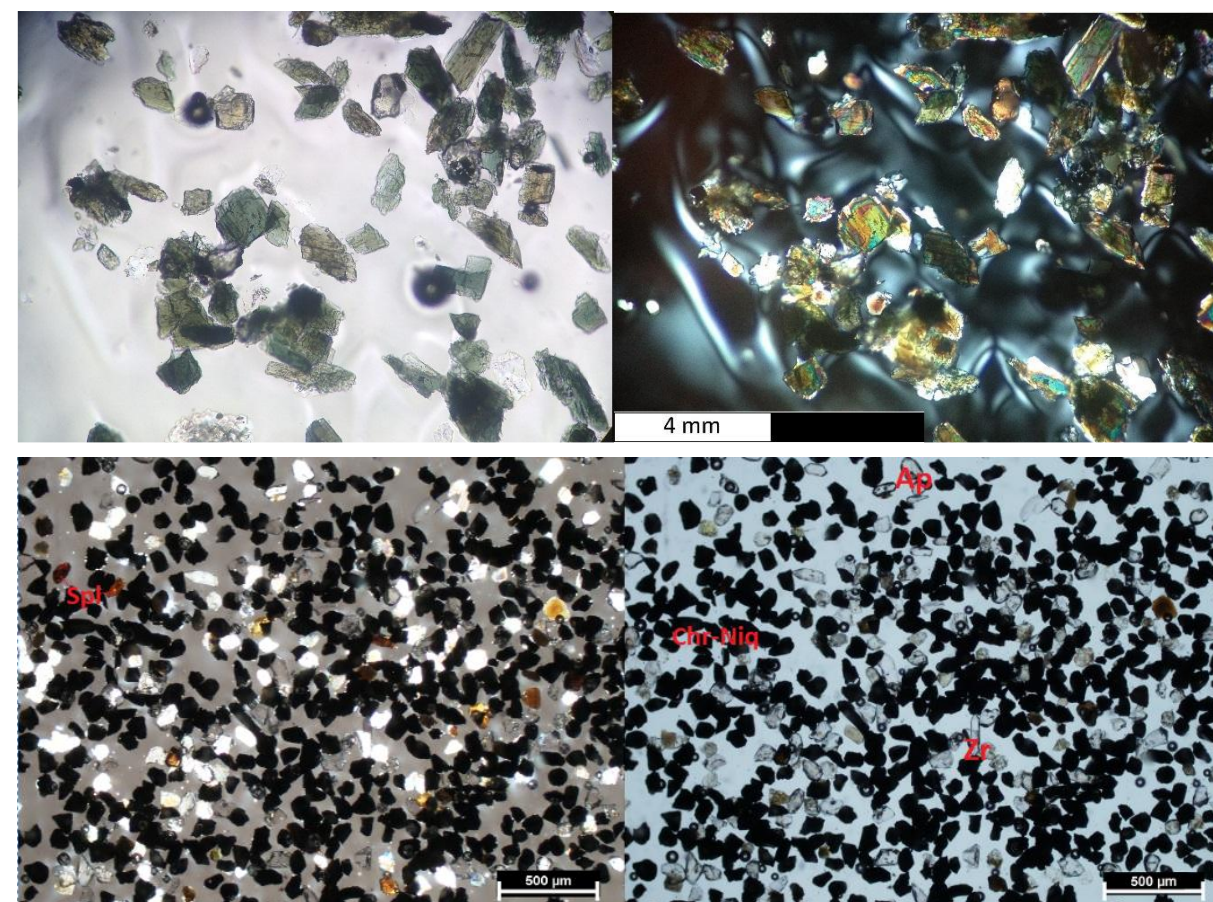
Petrography



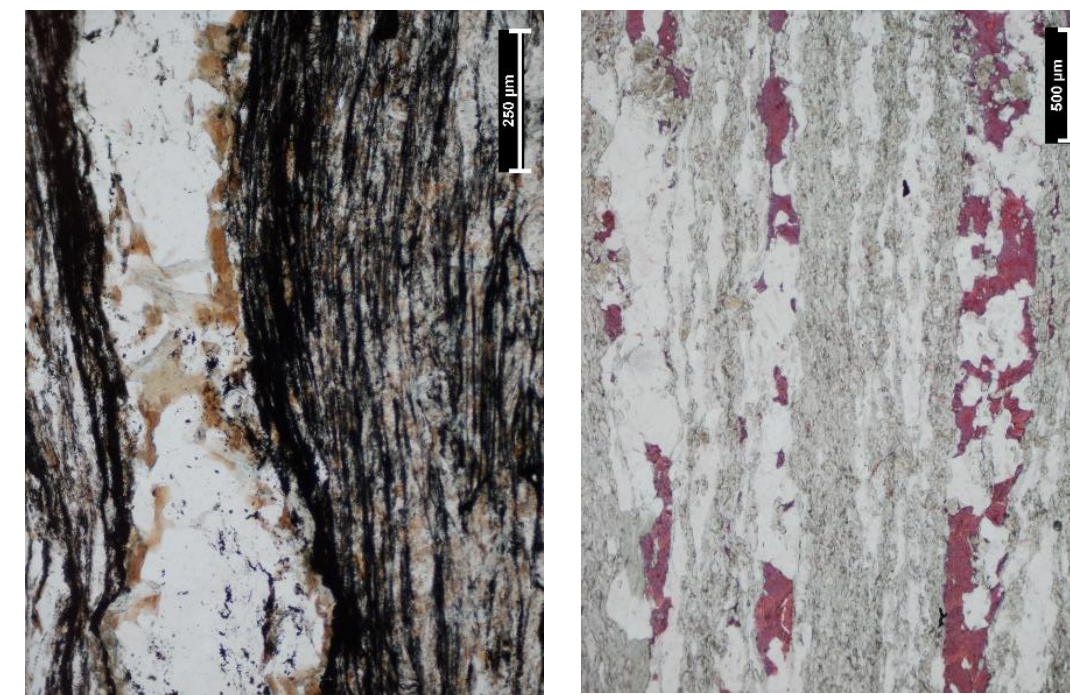
U/Pb detrital geochronology



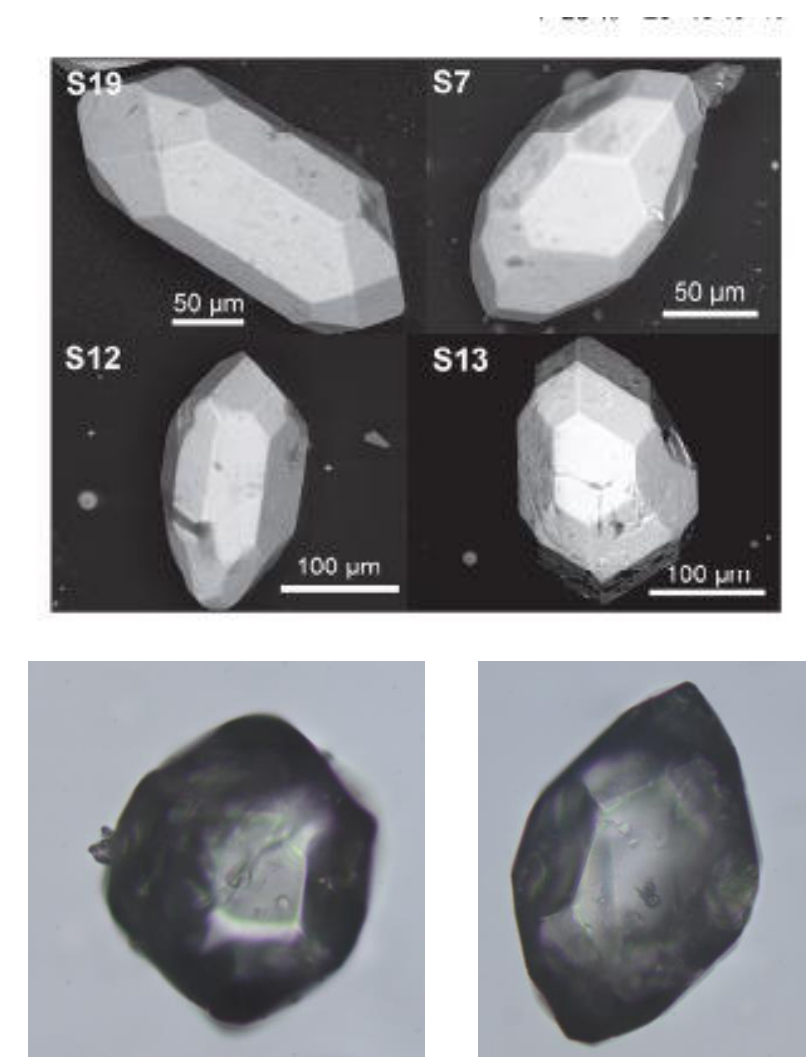
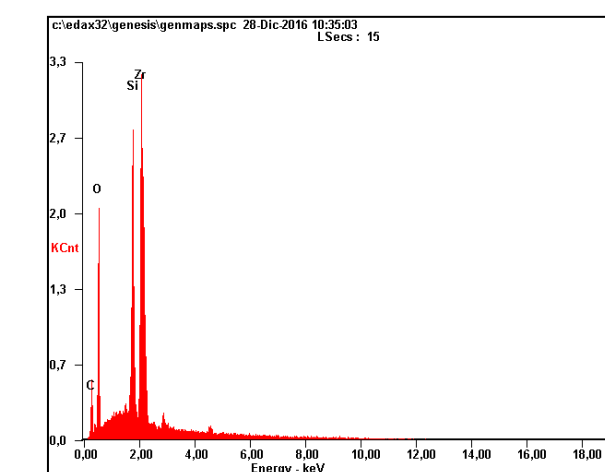
Heavy minerals

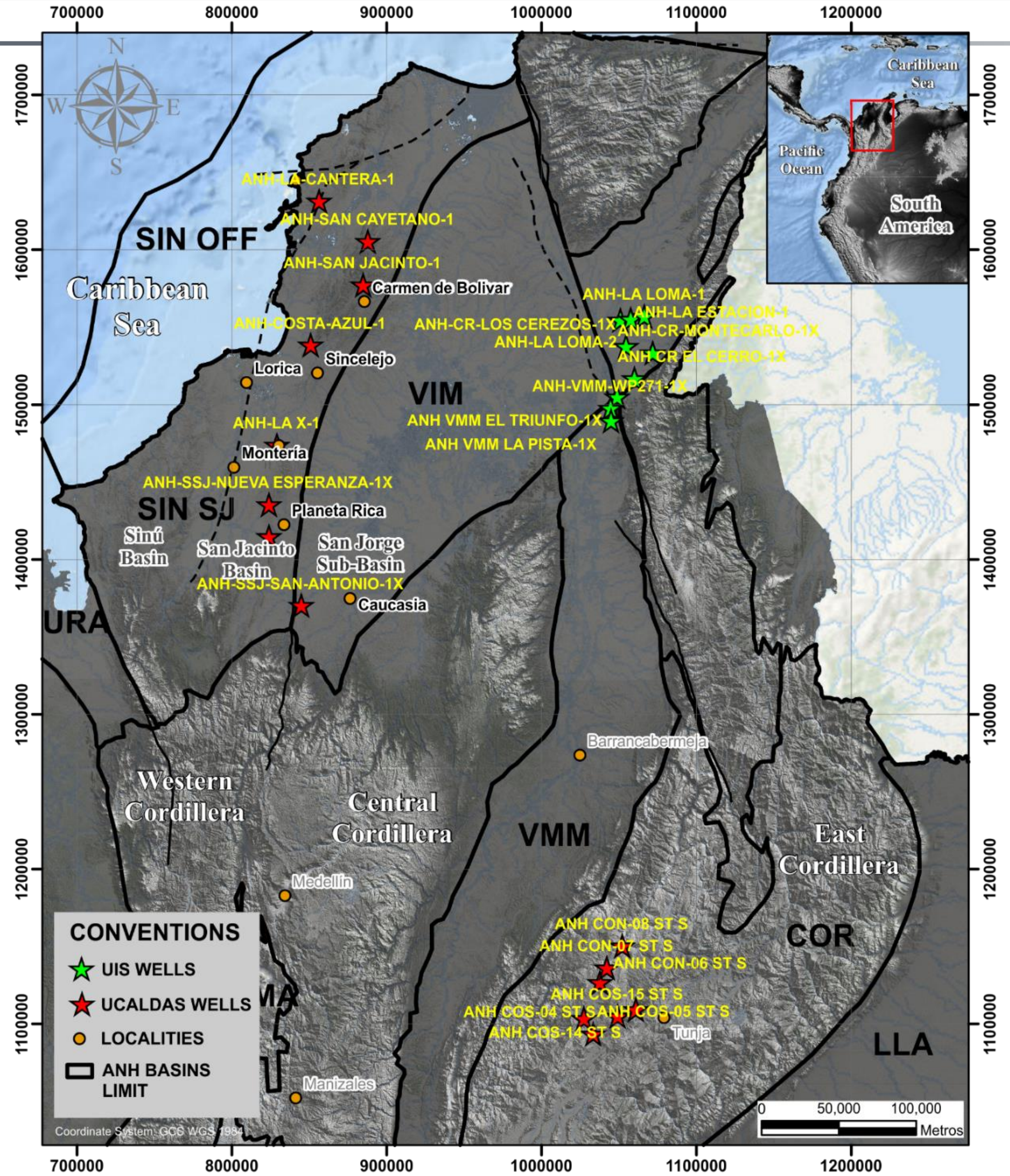


Igneous-metamorphic petrology



SEM-EDX





ANH Wells in different basins

Increase the geologic knowledge of the basins and their petroleum potential

Location of the studied Wells

- San Jacinto Fold Belt (UCALDAS)
- VMM-Cesar-Ranchería (UIS)
- Eastern Cordillera (UCALDAS)

Goals of the project

- Age and depositional environments of 50.000 ft (15. 000 m) of cores from different basins
- Improve the academic formation of professionals of the research group of Caldas University

ANH PROJECT

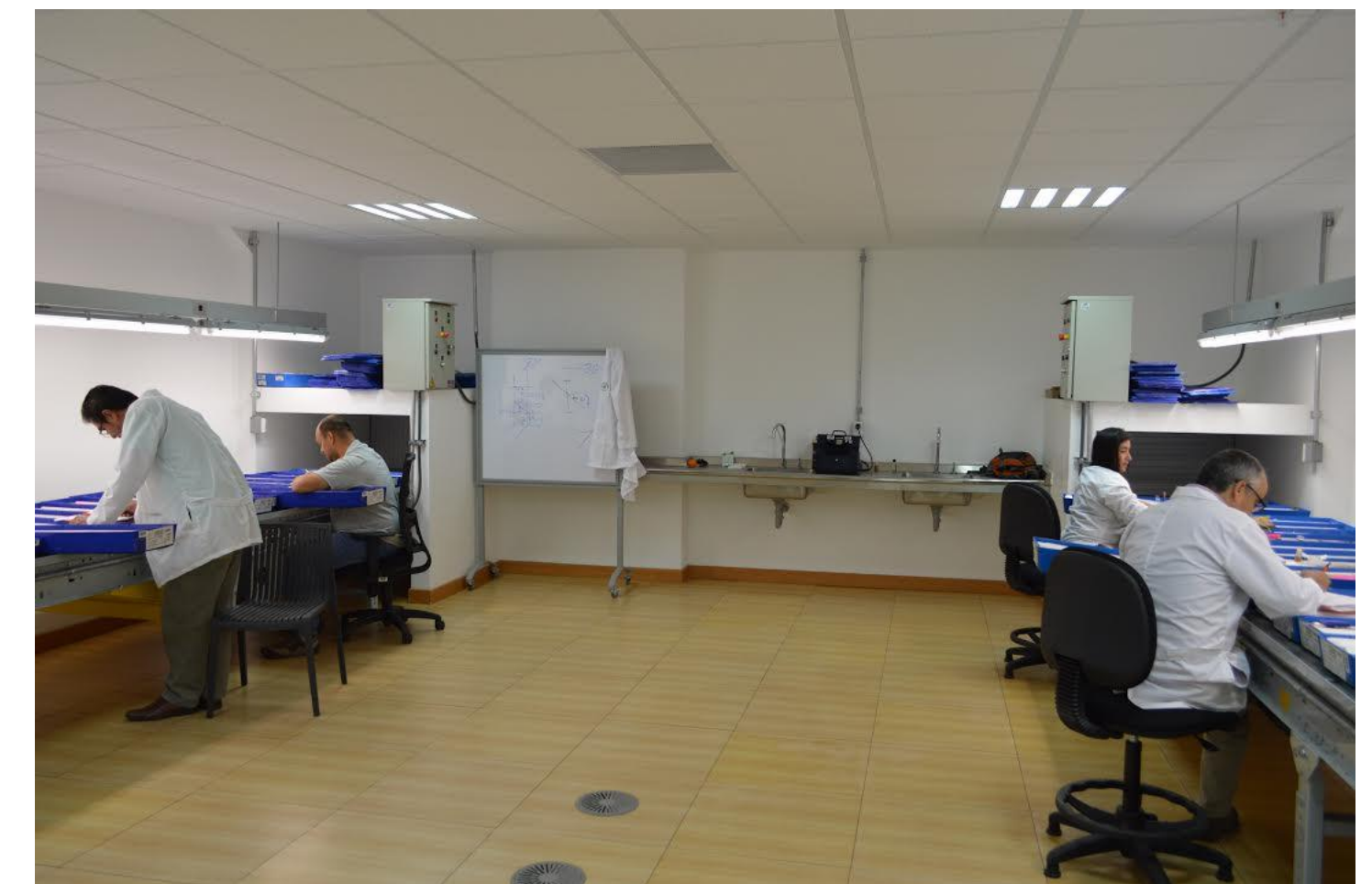


El futuro es de todos

Minenergía



UNIVERSIDAD DE SALAMANCA



GRAPHIC REPRESENTATION OF THE WELLS

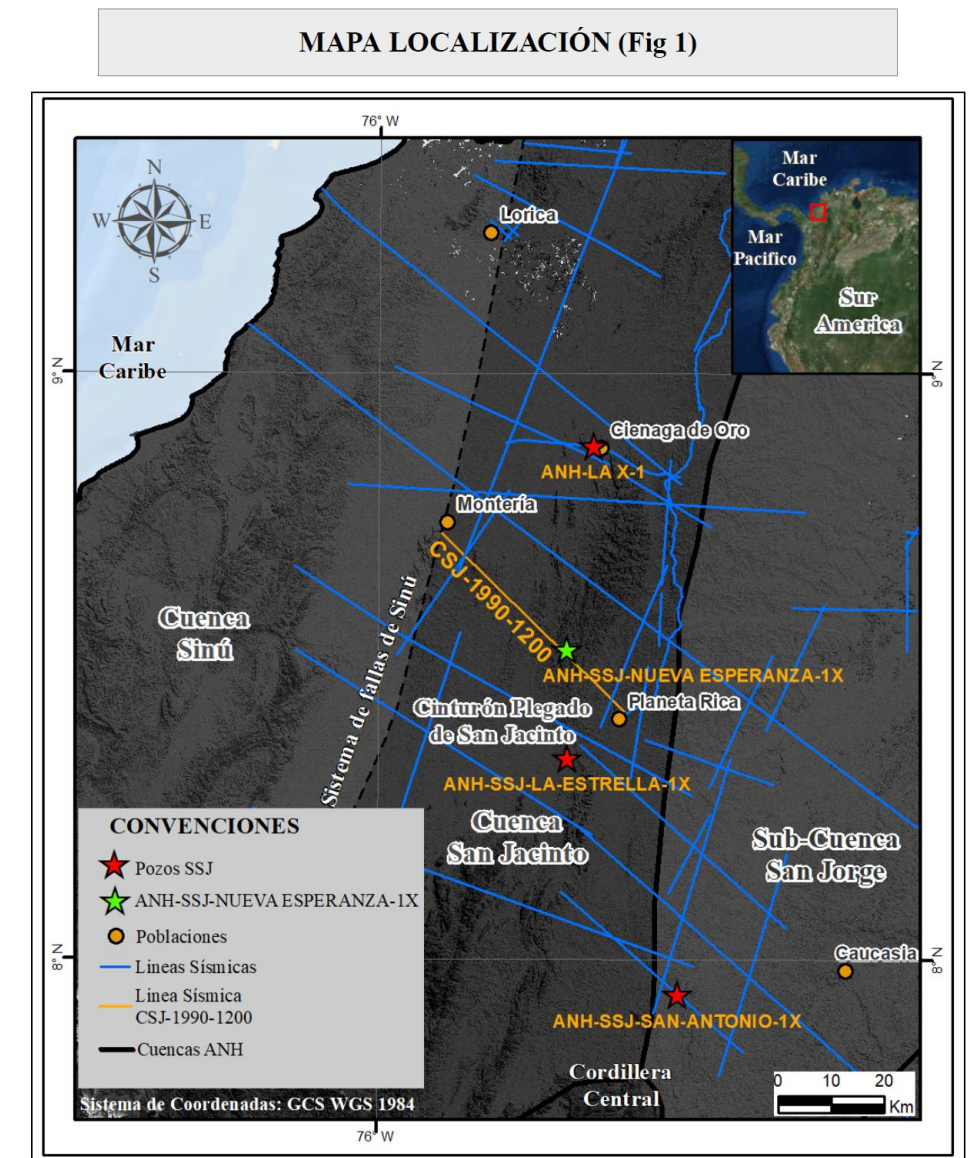
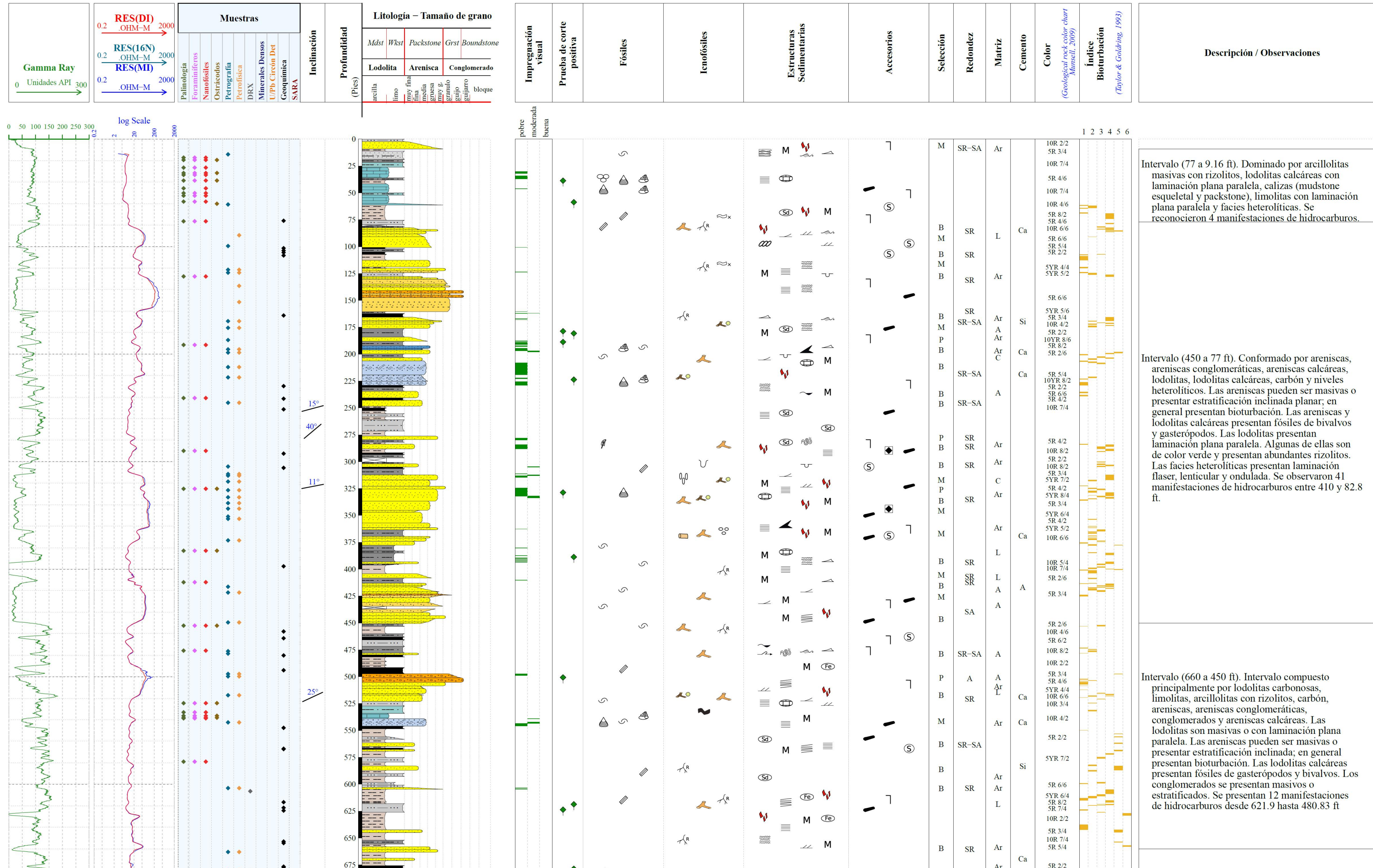


Fig. 1 El pozo ANH-SSJ-Nueva Esperanza-1X se localiza en la parte central de la Cuenca de Simú-San Jacinto (Caribe Colombiano), en el flanco occidental del Anticlinorio de San Jerónimo, municipio de San Carlos (Departamento de Córdoba). Modificado Nasa MDT Grid 30m, mapa de cuencas sedimentarias 2014 ANH.

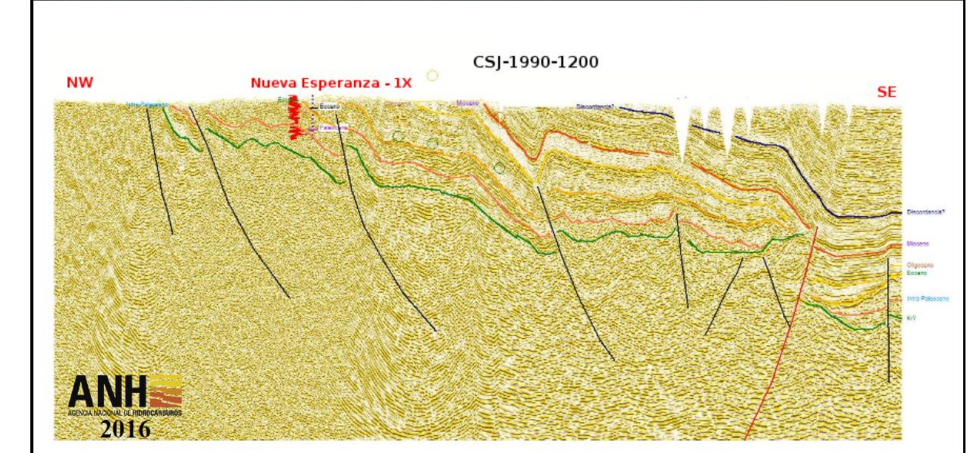


Fig. 3 Localización del pozo ANH-SSJ-Nueva Esperanza-1X en la línea Sísmica CSJ-1990-1200 (ANH, 2016). Esta línea tiene una tendencia general N45W y va desde los municipios de Planeta Rica a Montería (Fig. 1).

Intervalo (77 a 9.16 ft). Dominado por arcillolitas masivas con rizolitos, lodolitas calcáreas con laminación plana paralela, calizas (mudstone esquelético y packstone), limolitas con laminación plana paralela y facies heterolíticas. Se reconocieron 4 manifestaciones de hidrocarburos.

Intervalo (450 a 77 ft). Conformado por areniscas, areniscas conglomeráticas, areniscas calcáreas, lodolitas, lodolitas calcáreas, carbón y niveles heterolíticos. Las areniscas pueden ser masivas o presentar estratificación inclinada planar; en general presentan bioturbación. Las areniscas y lodolitas calcáreas presentan fósiles de bivalvos y gasterópodos. Las lodolitas presentan laminación plana paralela. Algunas de ellas son de color verde y presentan abundantes rizolitos. Las facies heterolíticas presentan laminación flaser, lenticular y ondulada. Se observaron 41 manifestaciones de hidrocarburos entre 410 y 82.8 ft.

Intervalo (660 a 450 ft). Intervalo compuesto principalmente por lodolitas carbonosas, limolitas, arcillolitas con rizolitos, carbón, areniscas, areniscas conglomeráticas, conglomerados y areniscas calcáreas. Las lodolitas son masivas o con laminación plana paralela. Las areniscas pueden ser masivas o presentar estratificación inclinada; en general presentan bioturbación. Las lodolitas calcáreas presentan fósiles de gasterópodos y bivalvos. Los conglomerados se presentan masivos o estratificados. Se presentan 12 manifestaciones de hidrocarburos desde 621.9 hasta 480.83 ft.

CARIBBEAN SOME CONSIDERATIONS

-Geologically complex area (different hypothesis about its geologic evolution)

-It has a high potential for oil discoveries (oil seeps)

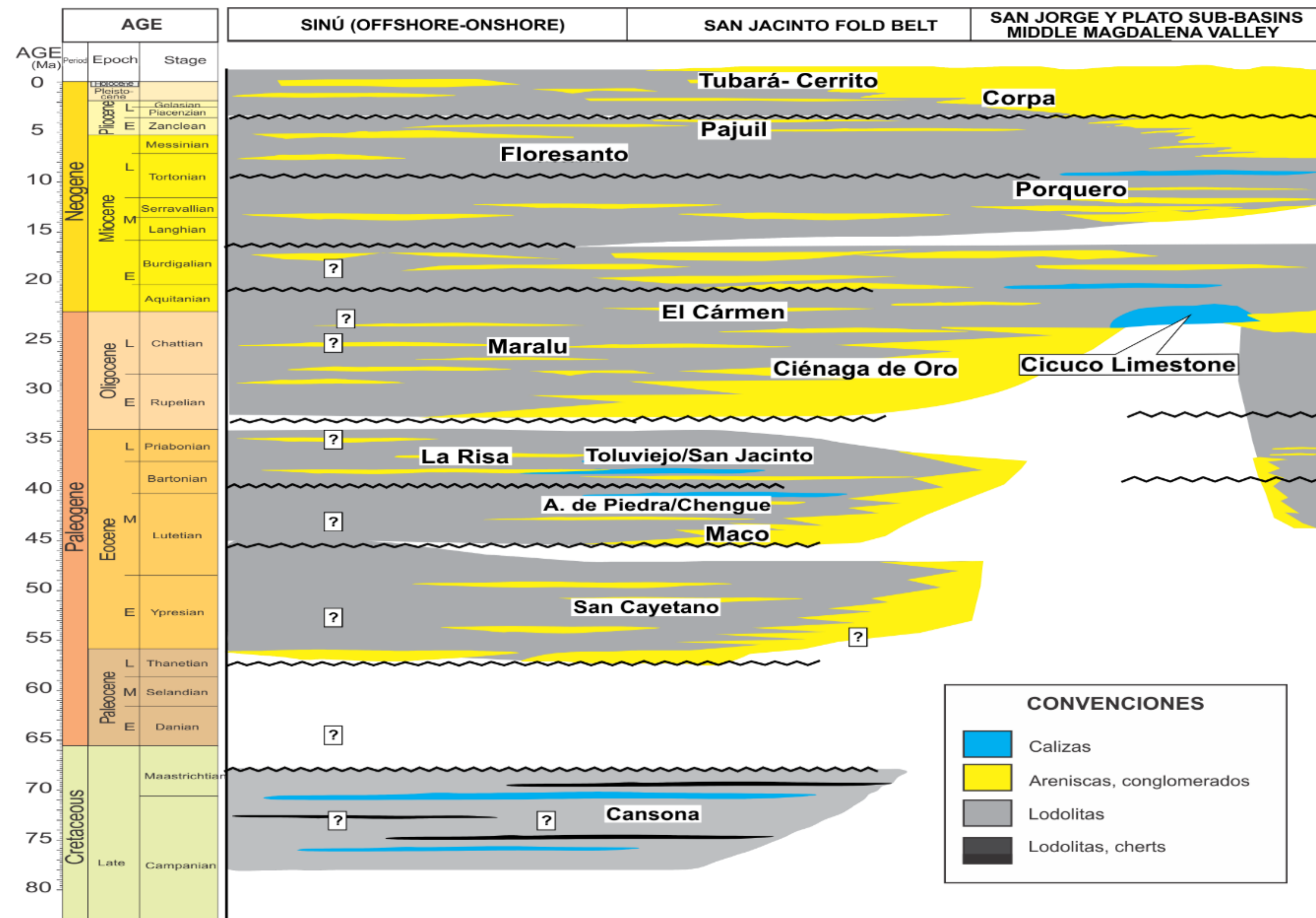
-Sedimentary record from Cretaceous-Recent

-Variations of facies in time and space

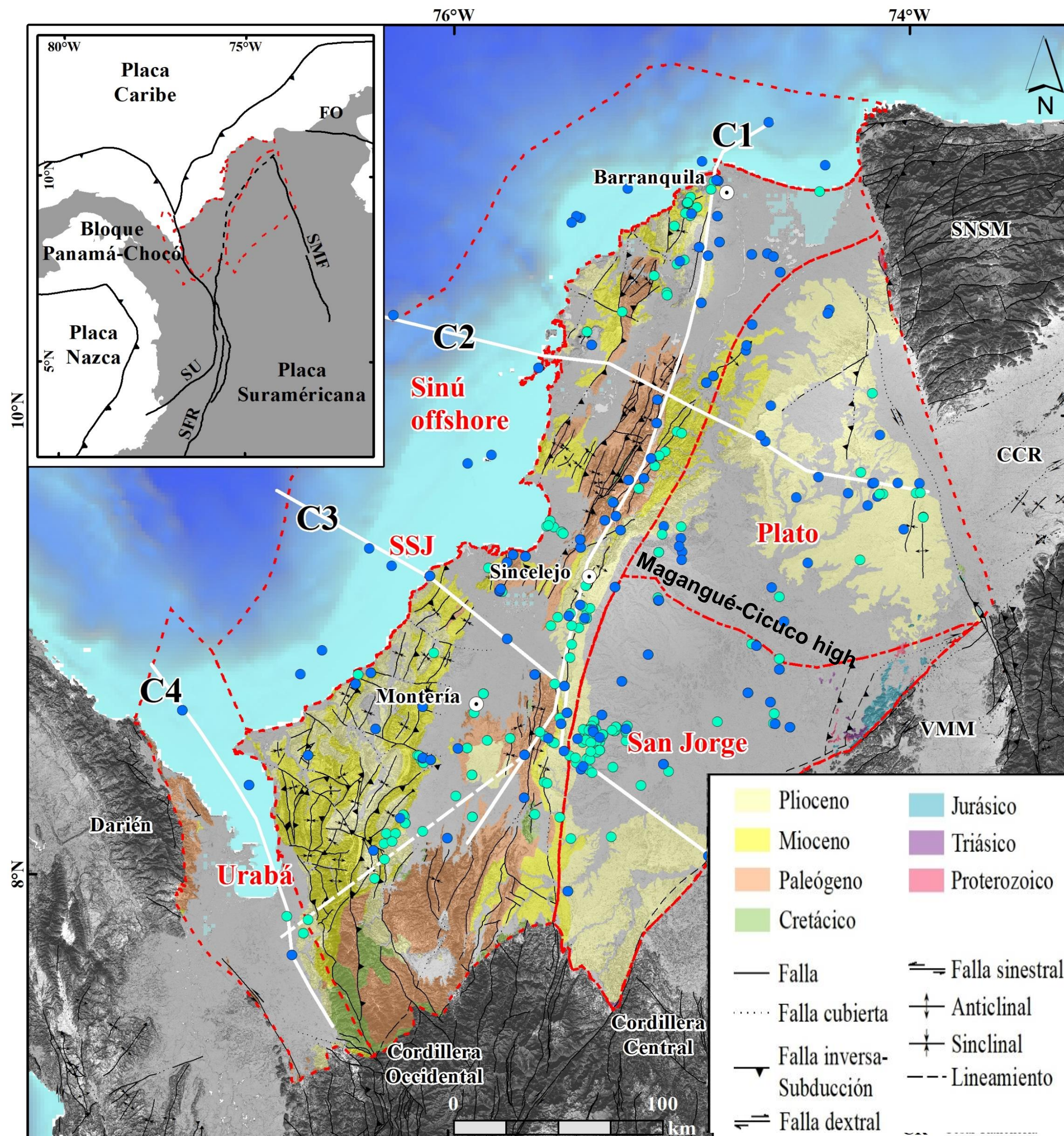
-Presence of regional unconformities

-Tectonic simultaneously with sedimentation

- Erosion of previously accumulated units



CHRONO STRATIGRAPHIC CHARTS AND PALEOGEOGRAPHIC MAPS



Regional Geology - Stratigraphy

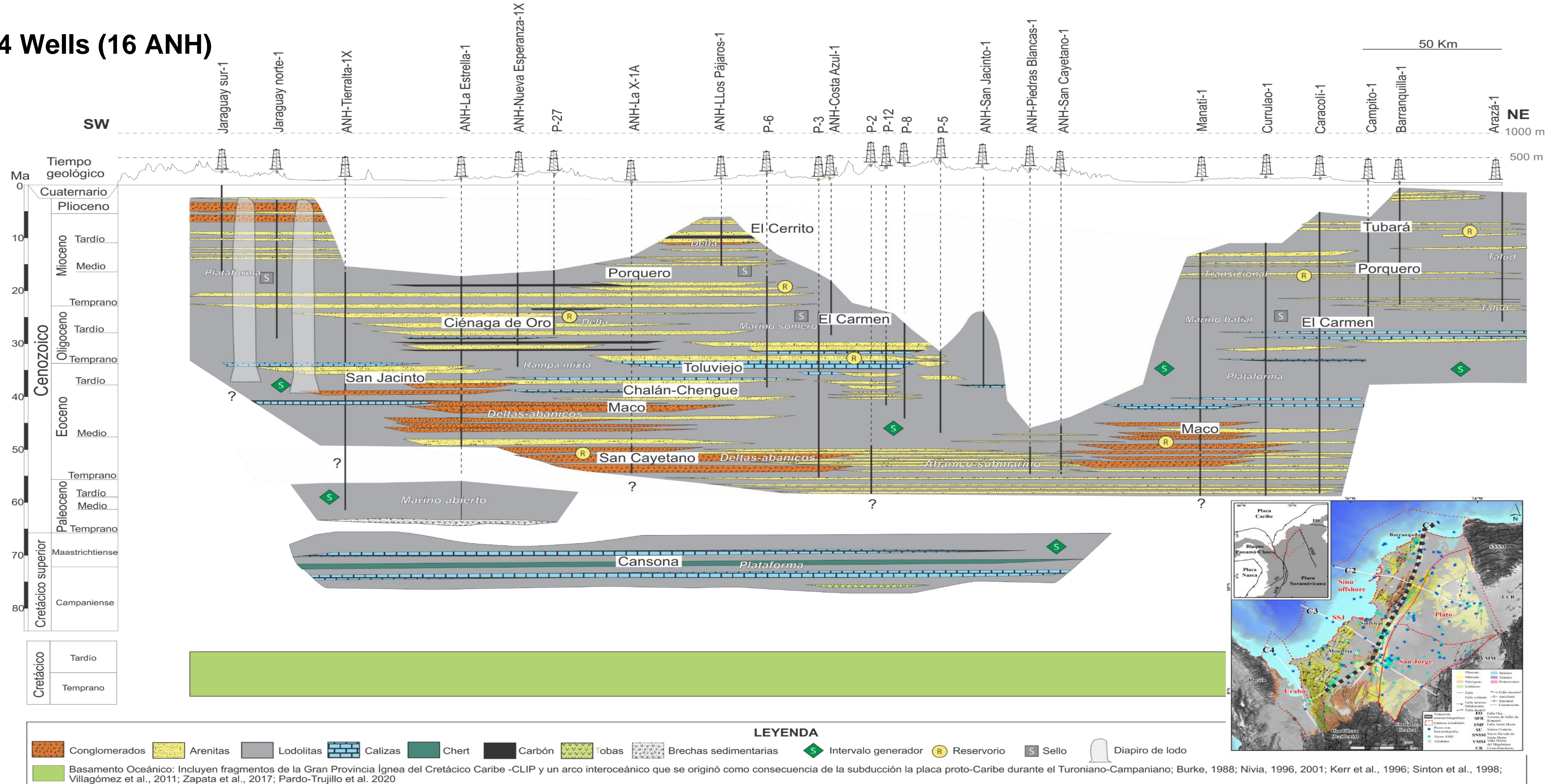
**58 Wells (many new ANH Wells)
Surface Geology (SGC)**

- 1 Strike section
- 3 Dip sections
- Lengths
 - T1: 498 km
 - T2: 282 km
 - T3: 323 km
 - T4: 204 km

Total: 1 307 km

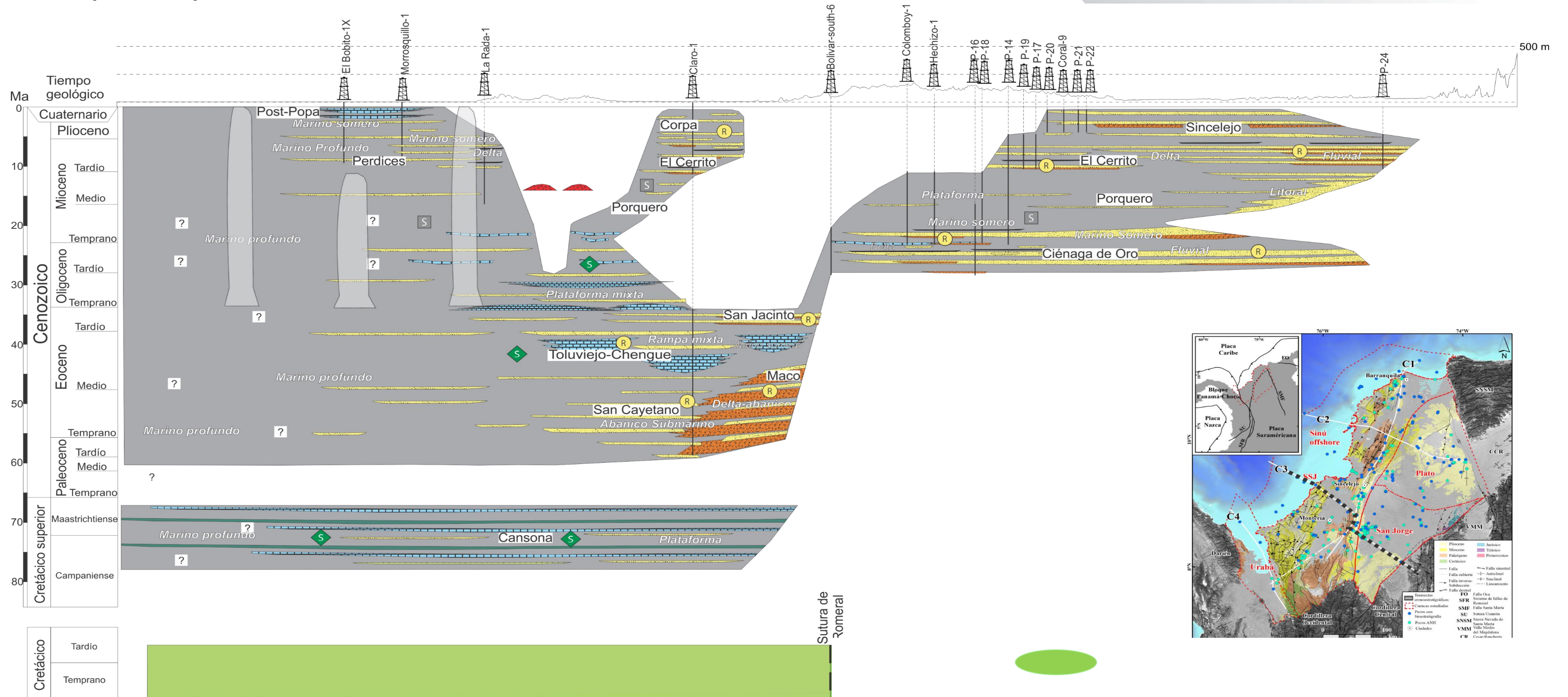
CHRONOSTRATIGRAPHIC CHART 1

24 Wells (16 ANH)



CHRONOSTRATIGRAPHIC CHART 3

17 Wells (10 ANH)

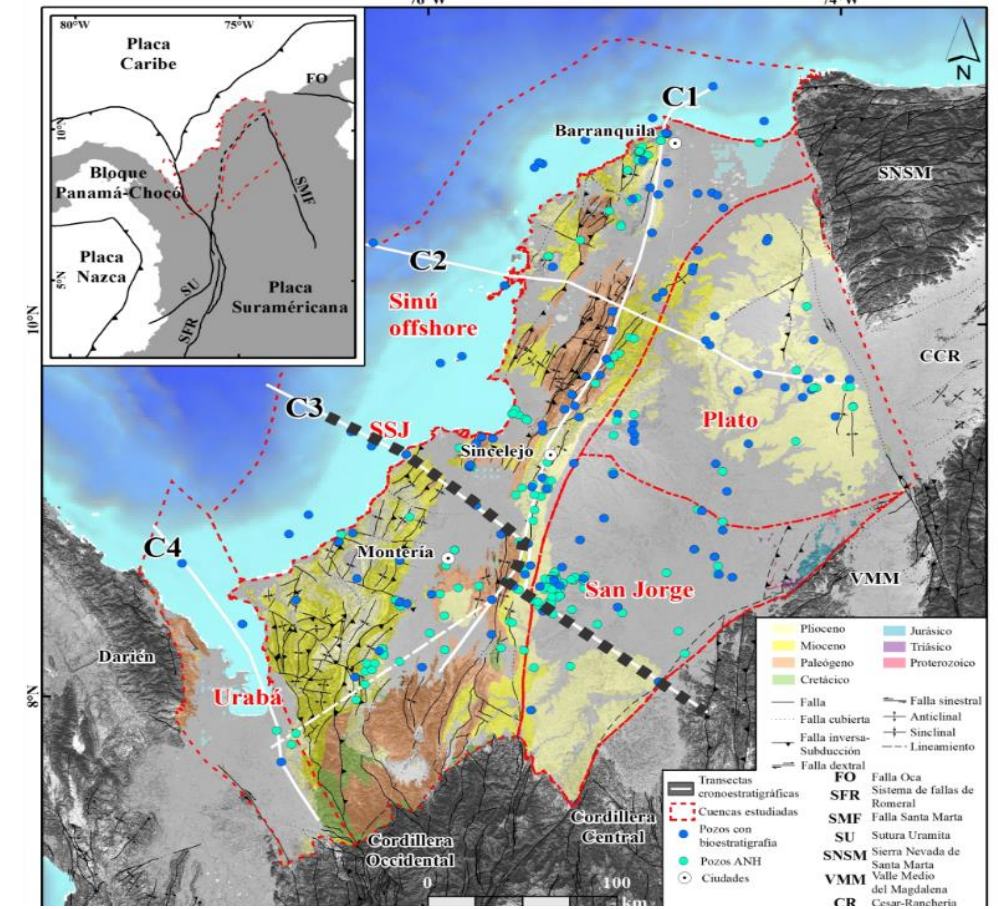


Cretácico	Tardío
	Temprano
Jurásico	
Pérmico-Triásico	

Sinú Offshore

Sinú-San Jacinto

San Jorge





El futuro
es de todos

Minenergía

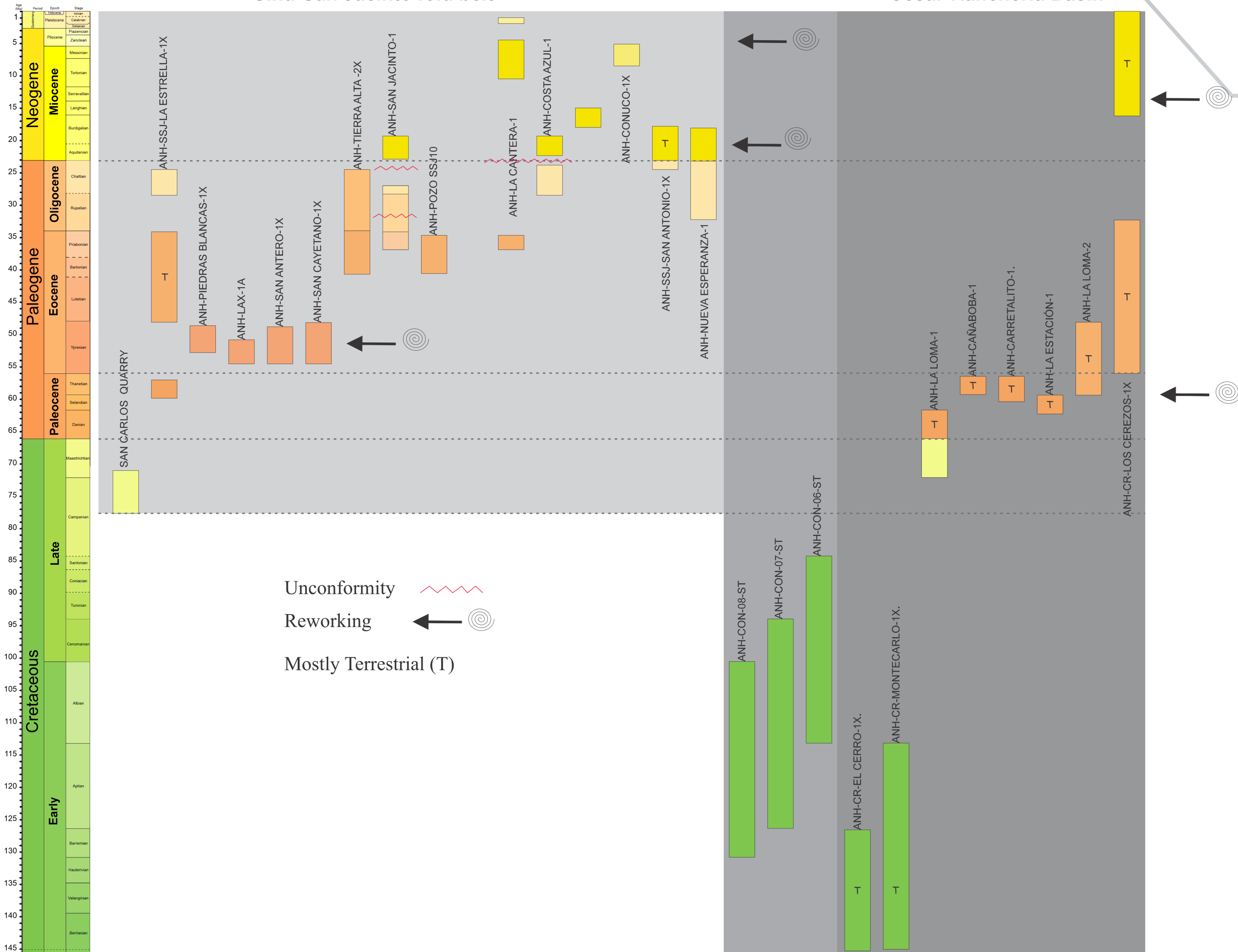
Chronostratigraphic framework for Caribbean and Cesar Rancheria basins and Eastern Cordillera

Calcareous microfossil group
Palynological group

Sinu-San Jacinto fold belt

Eastern Cordillera

Cesar-Ranchería Basin



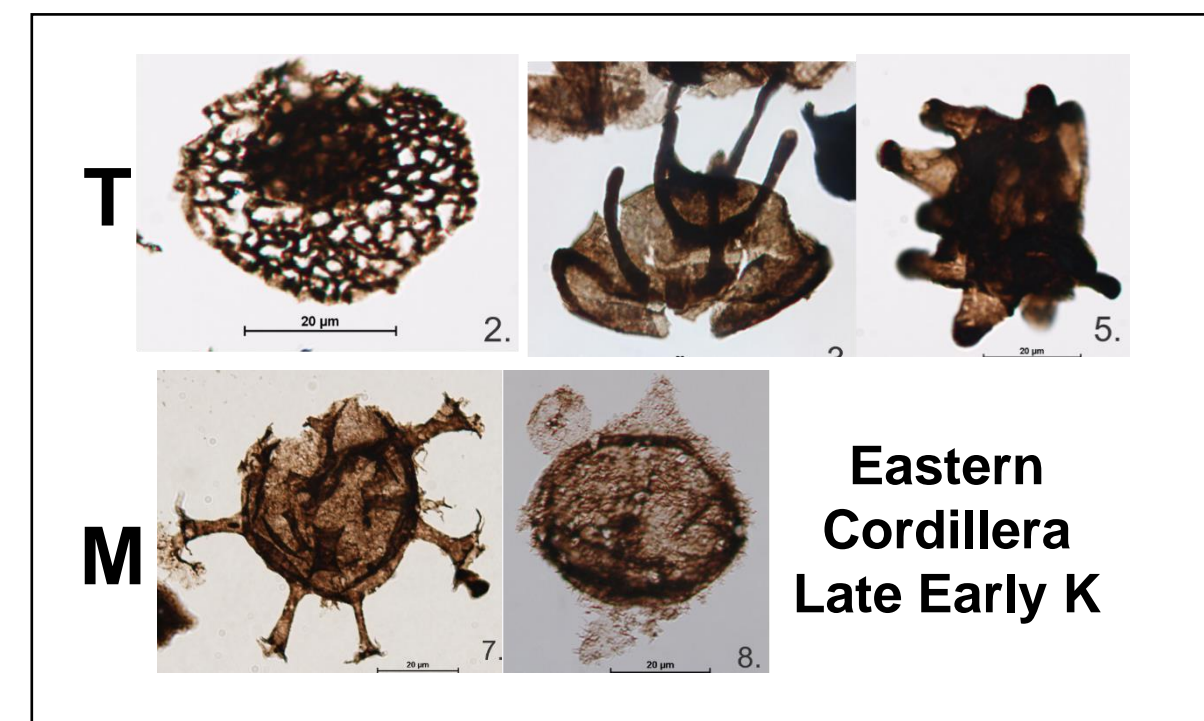
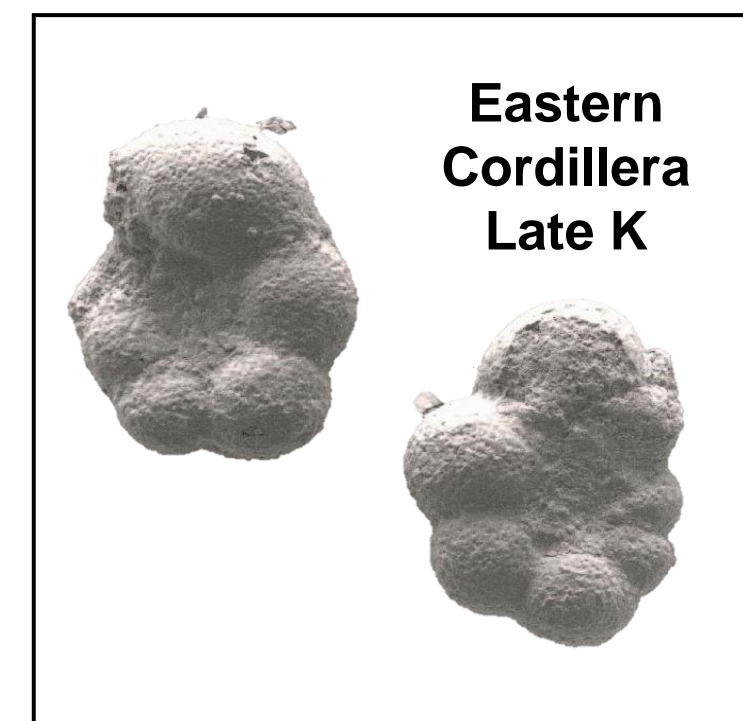
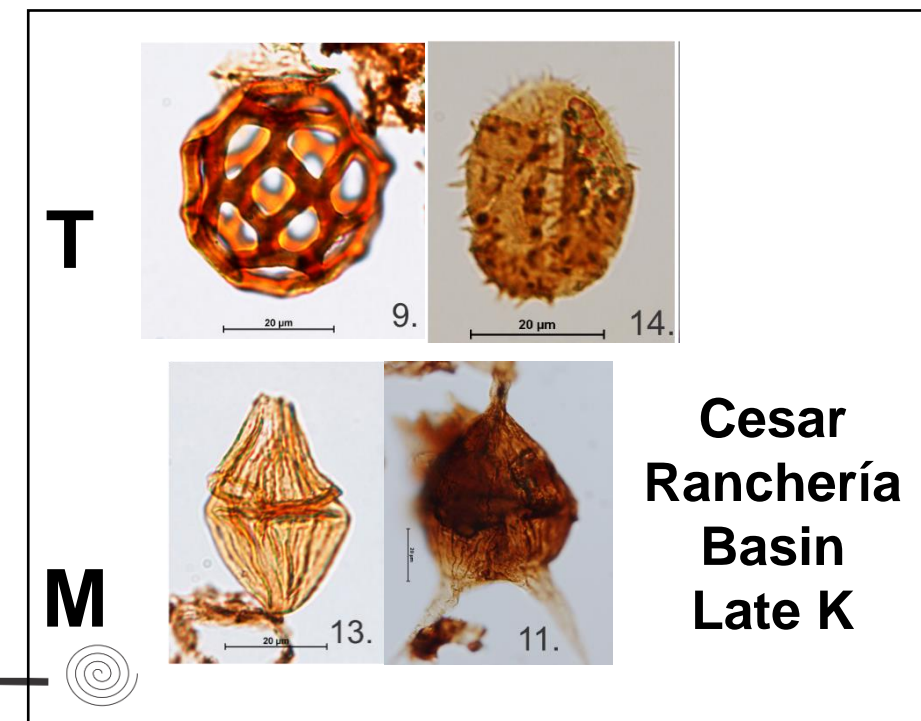
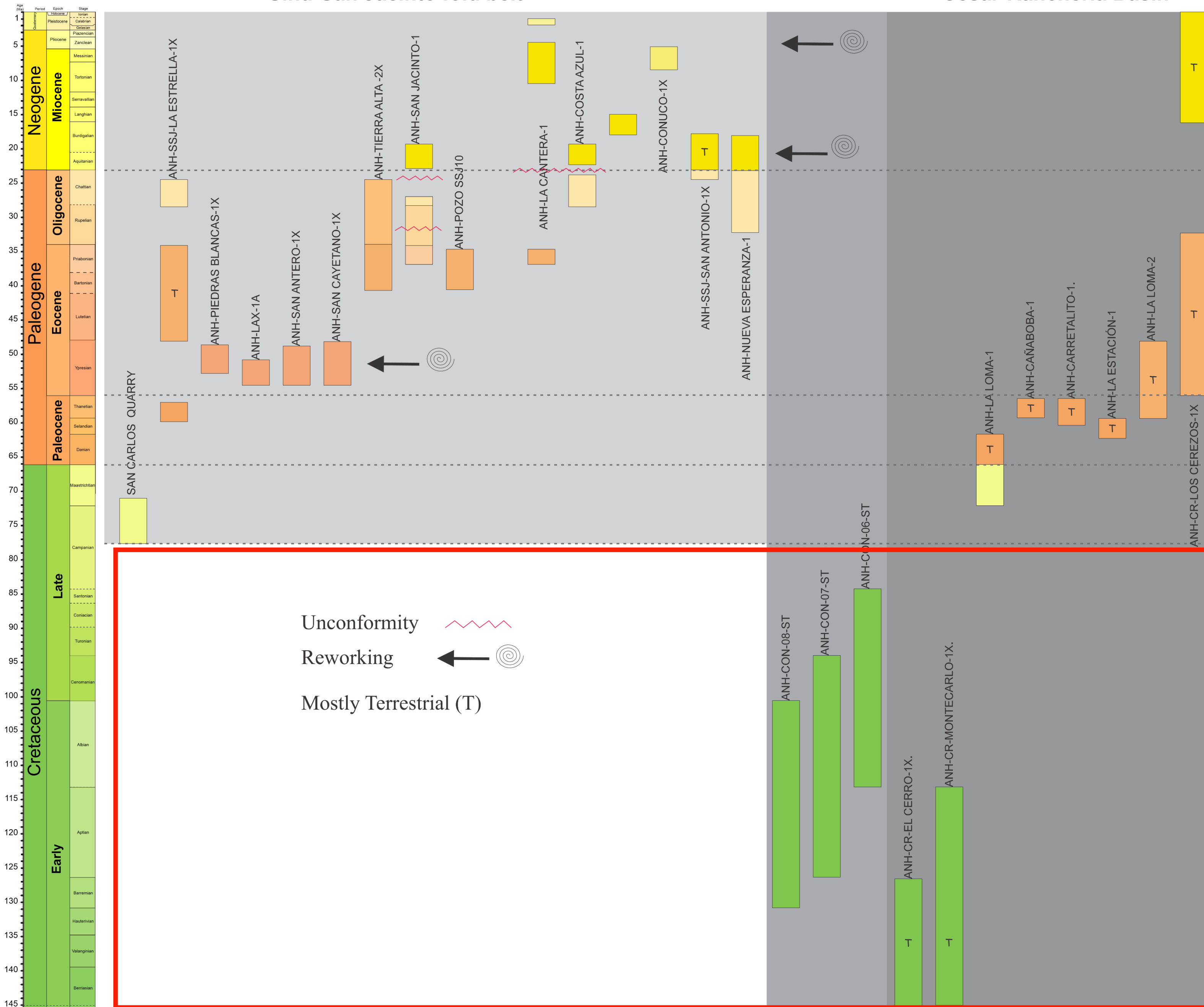
Unconformity 
 Reworking 
 Mostly Terrestrial (T)

Chronostratigraphic framework

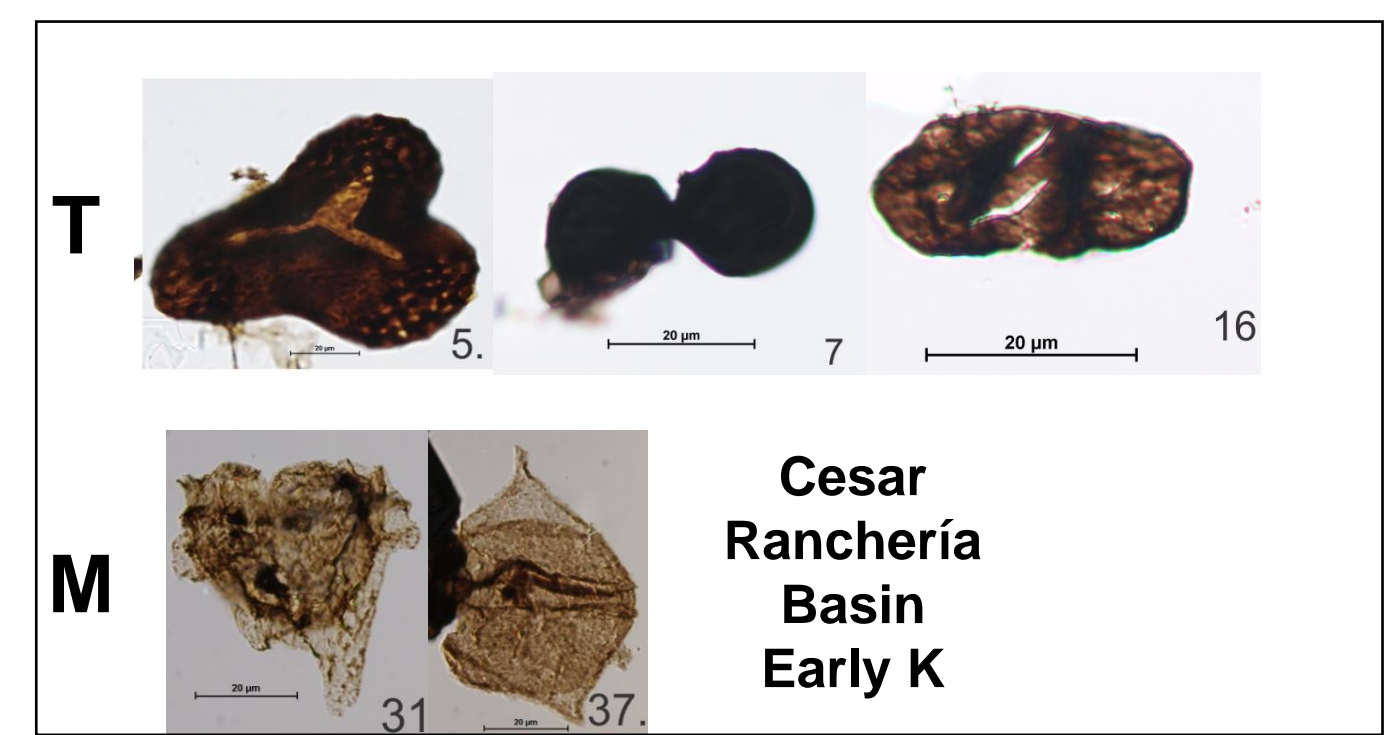
Sinu-San Jacinto fold belt

Eastern Cordillera

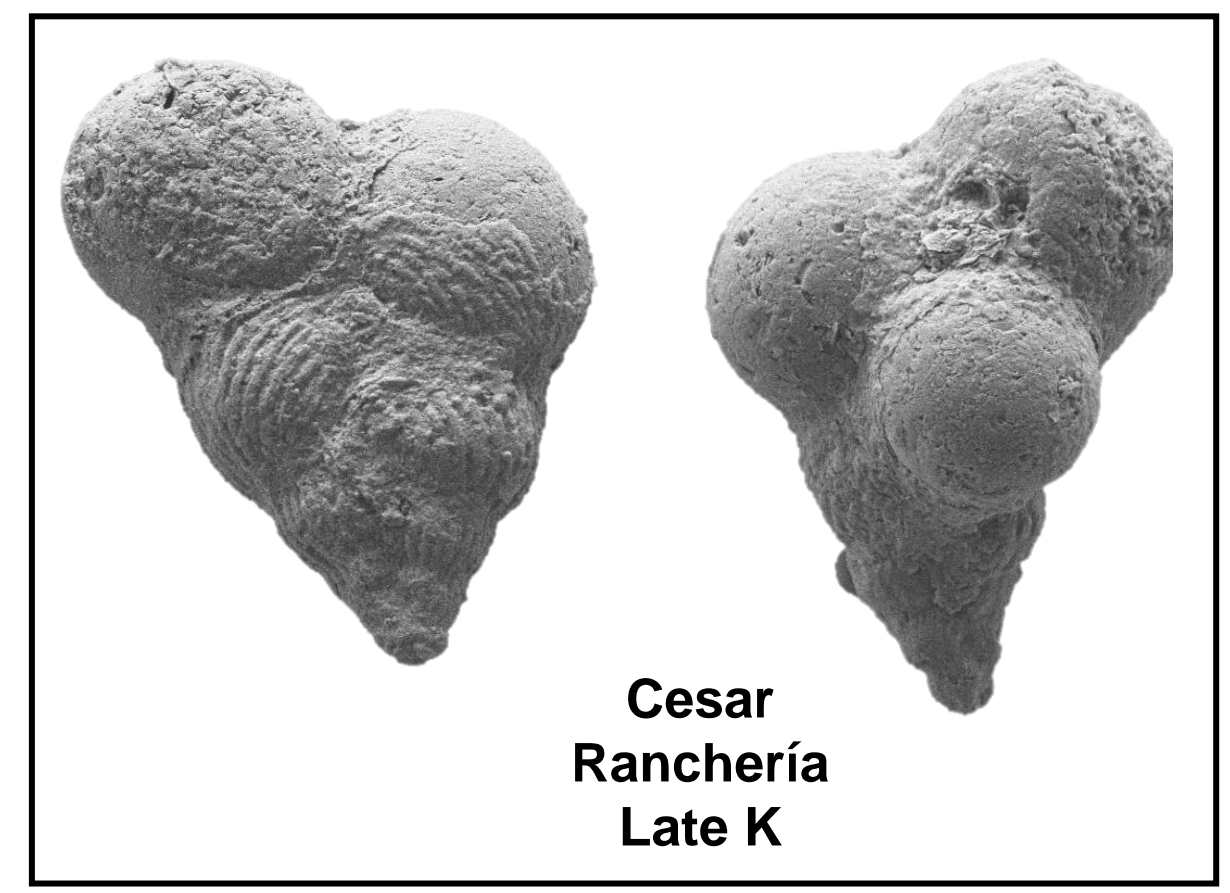
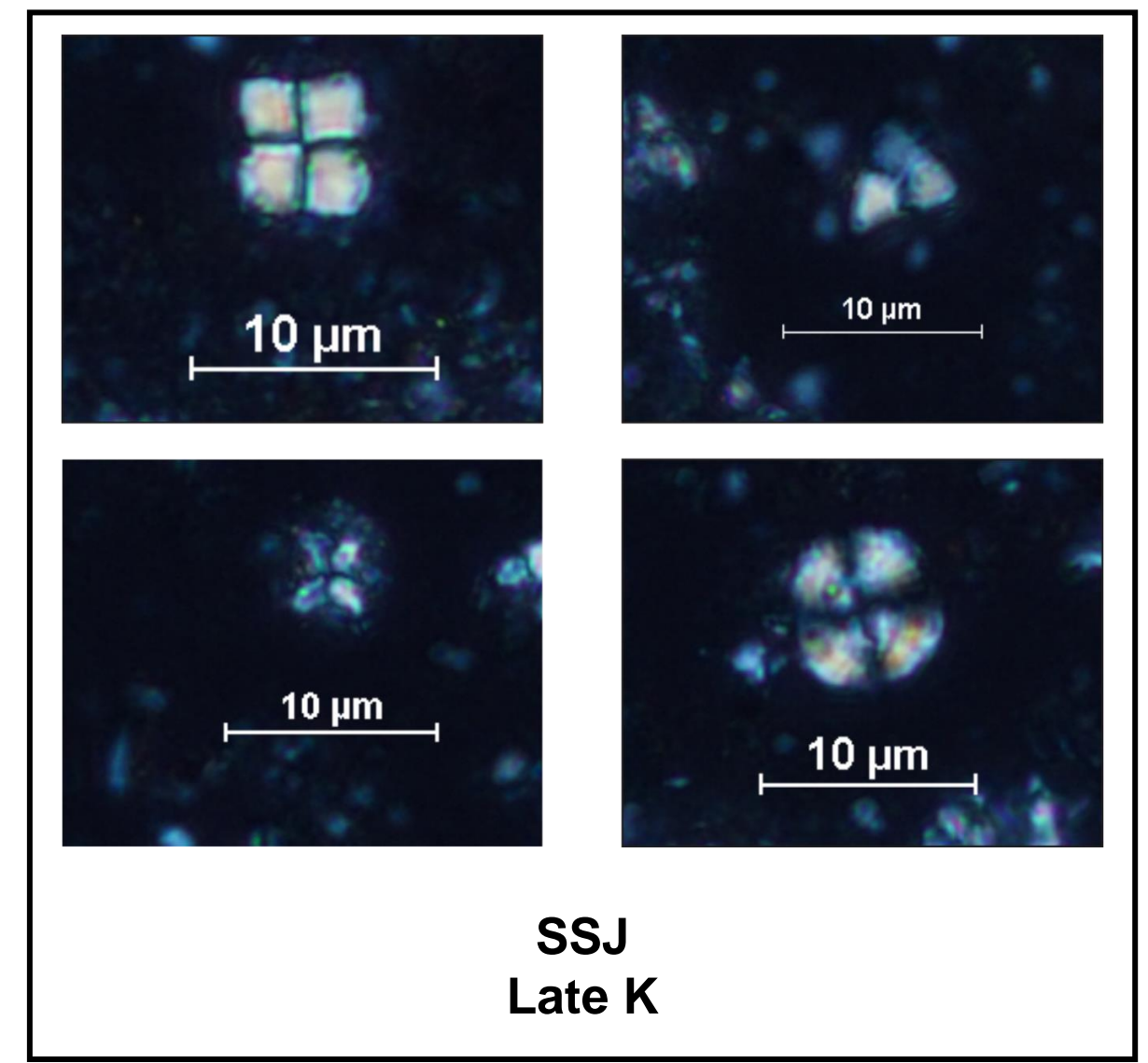
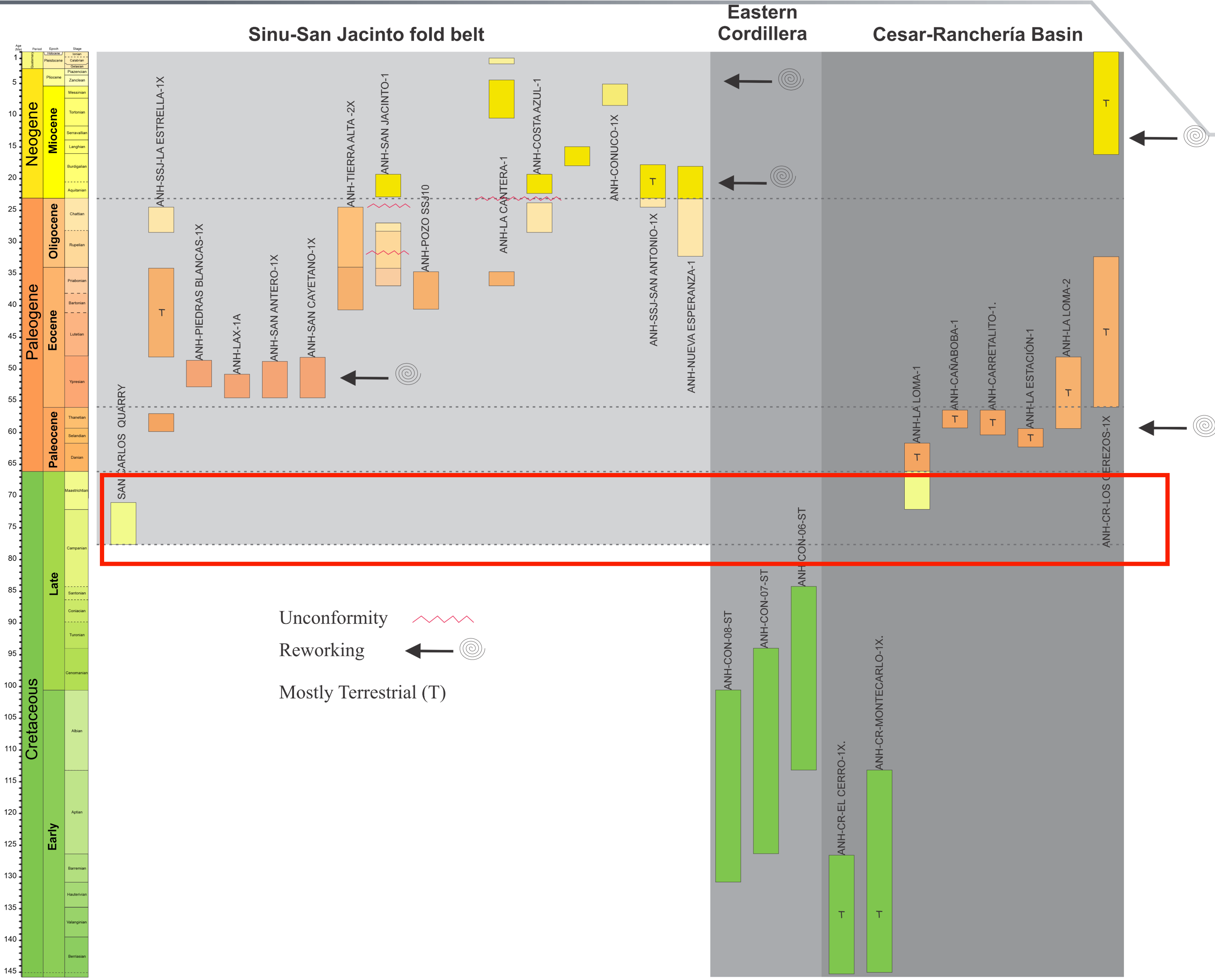
Cesar-Ranchería Basin



Eastern Cordillera Late Early K



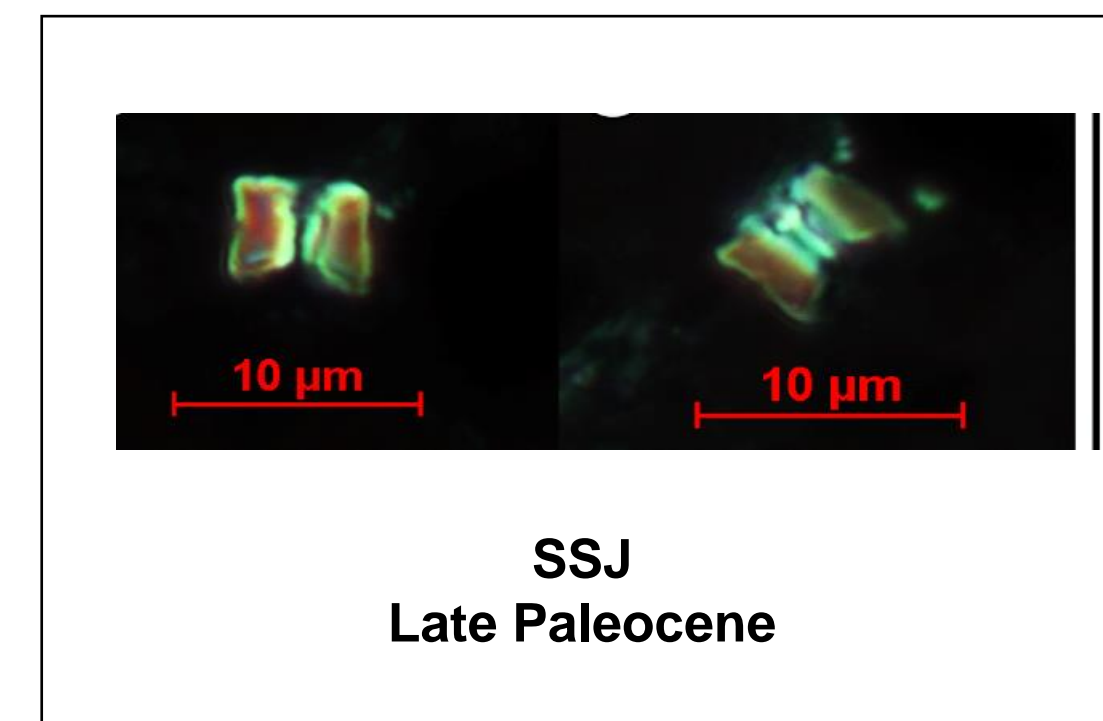
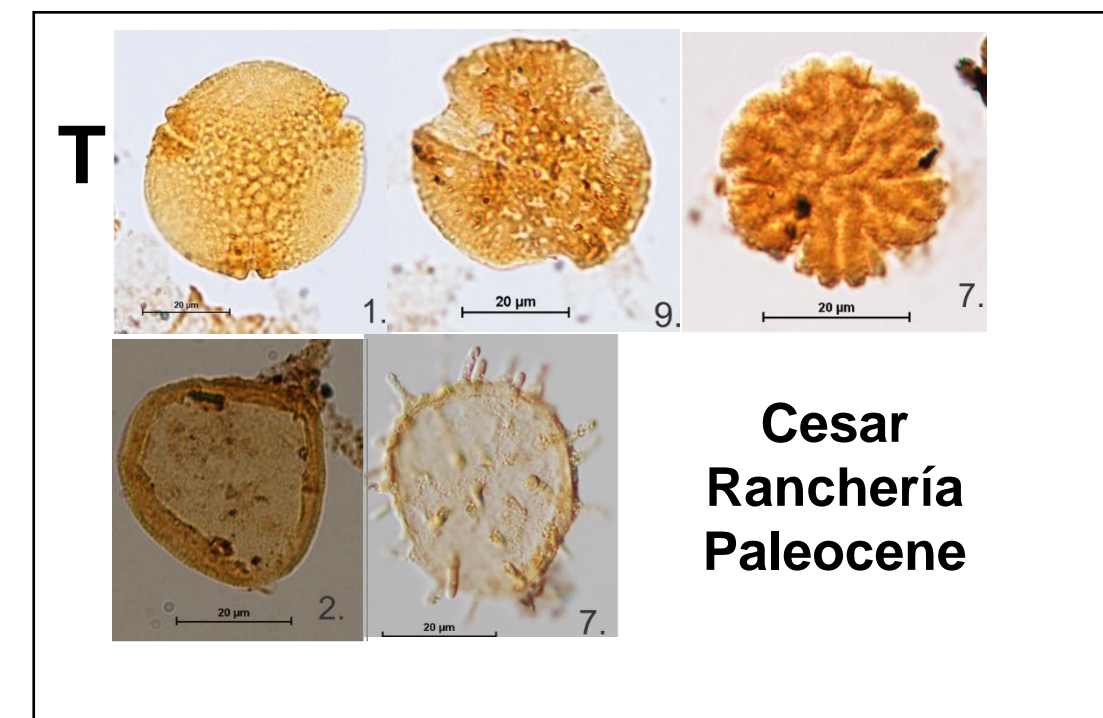
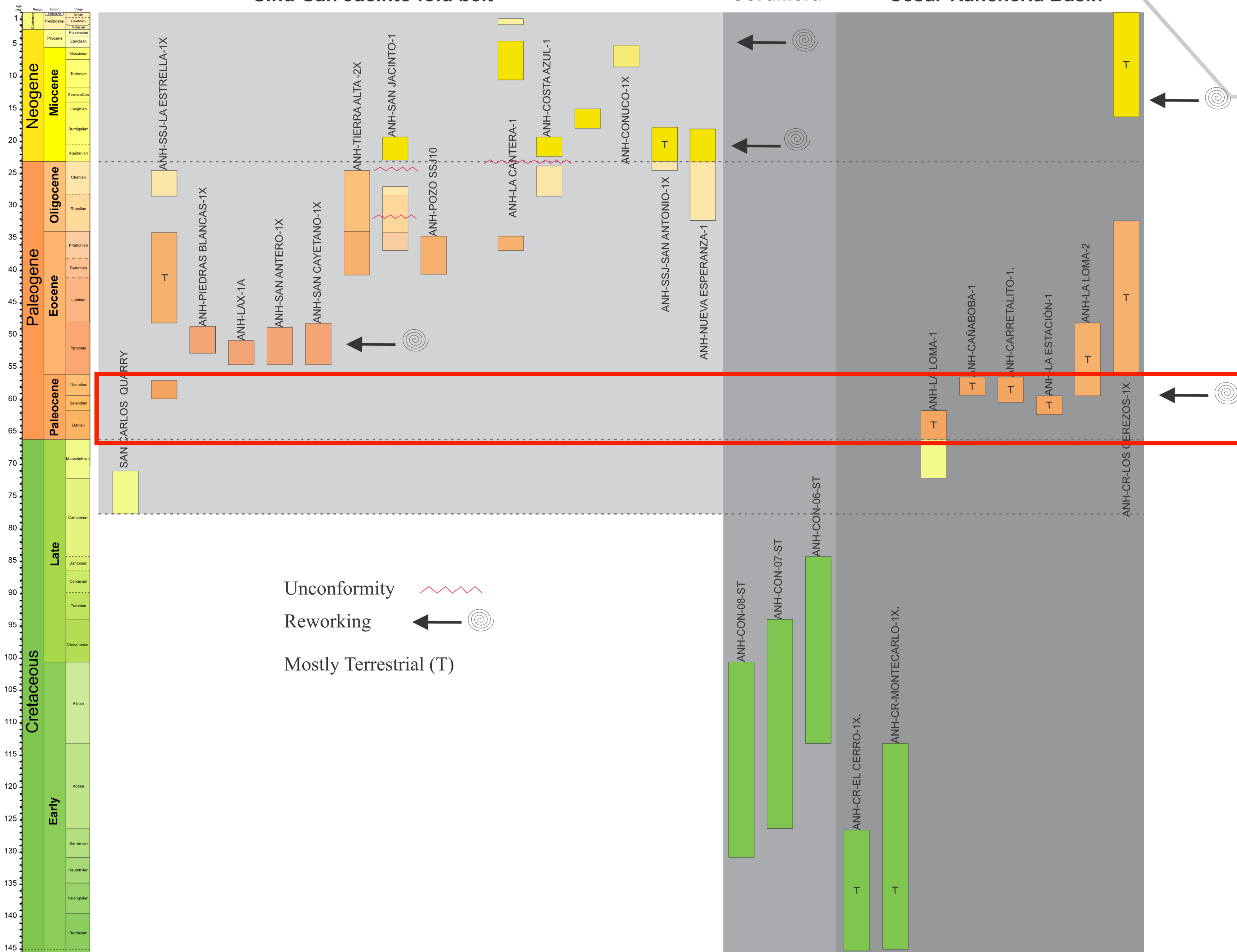
Cesar Ranchería Basin Early K



Sinu-San Jacinto fold belt

Eastern Cordillera

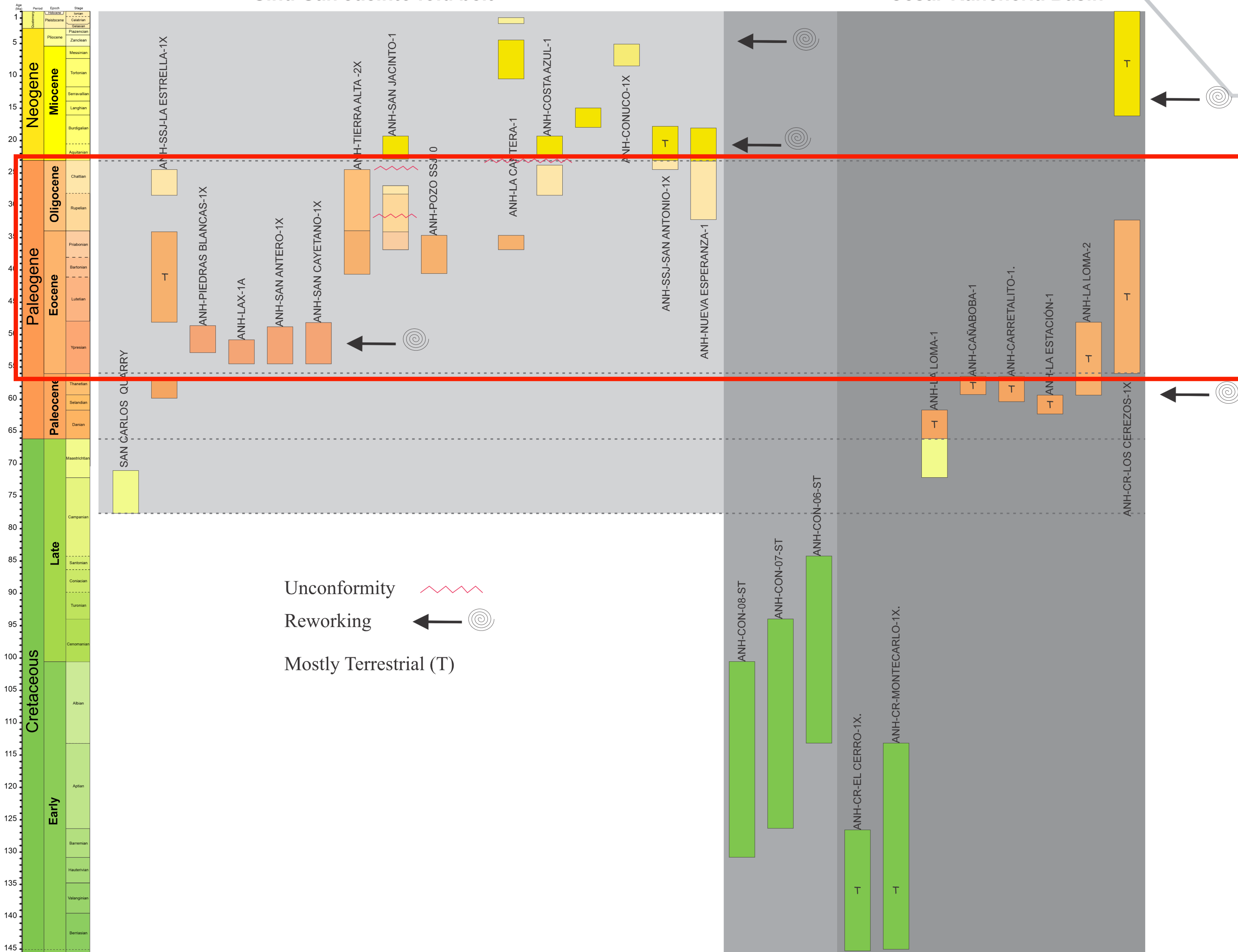
Cesar-Ranchería Basin



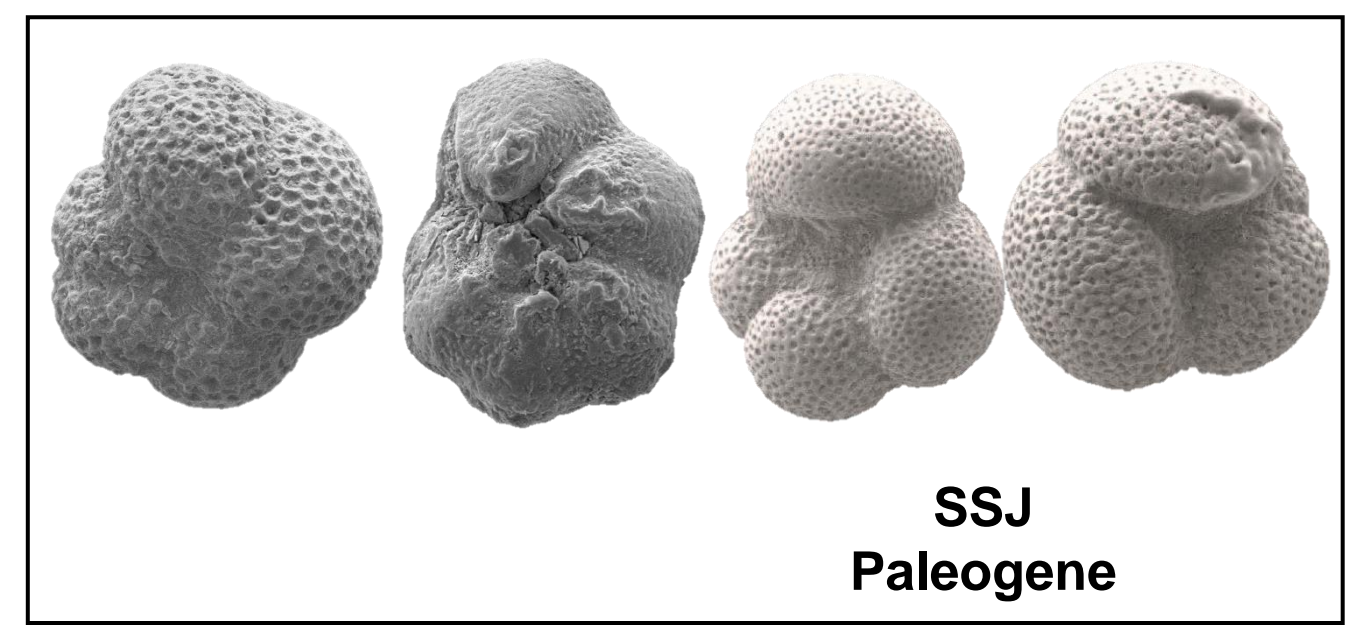
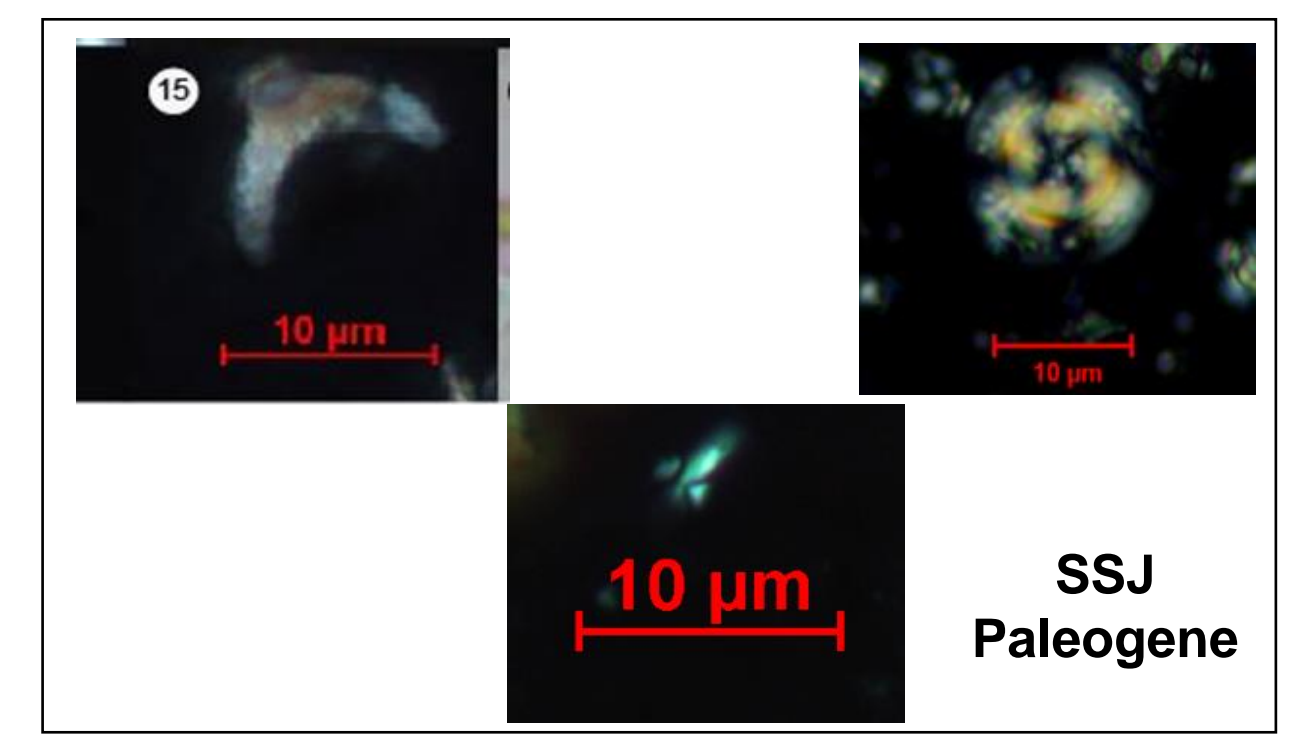
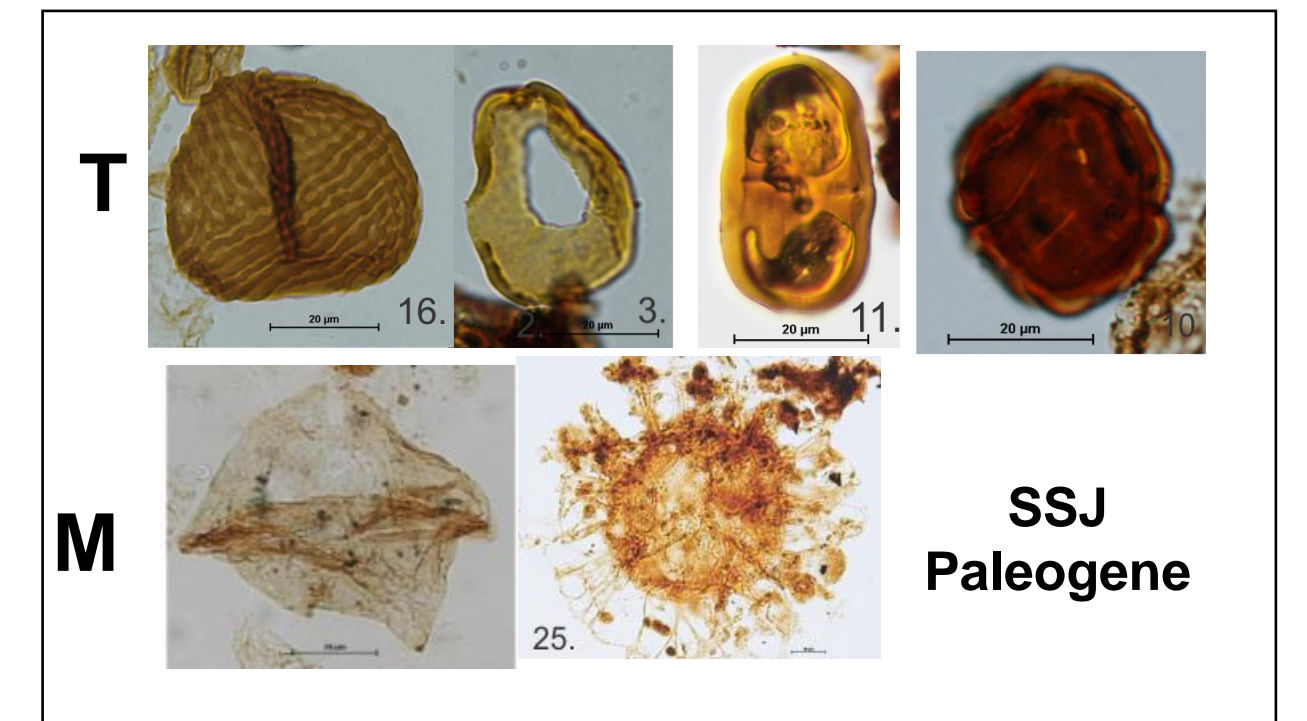
Sinu-San Jacinto fold belt

Eastern Cordillera

Cesar-Ranchería Basin



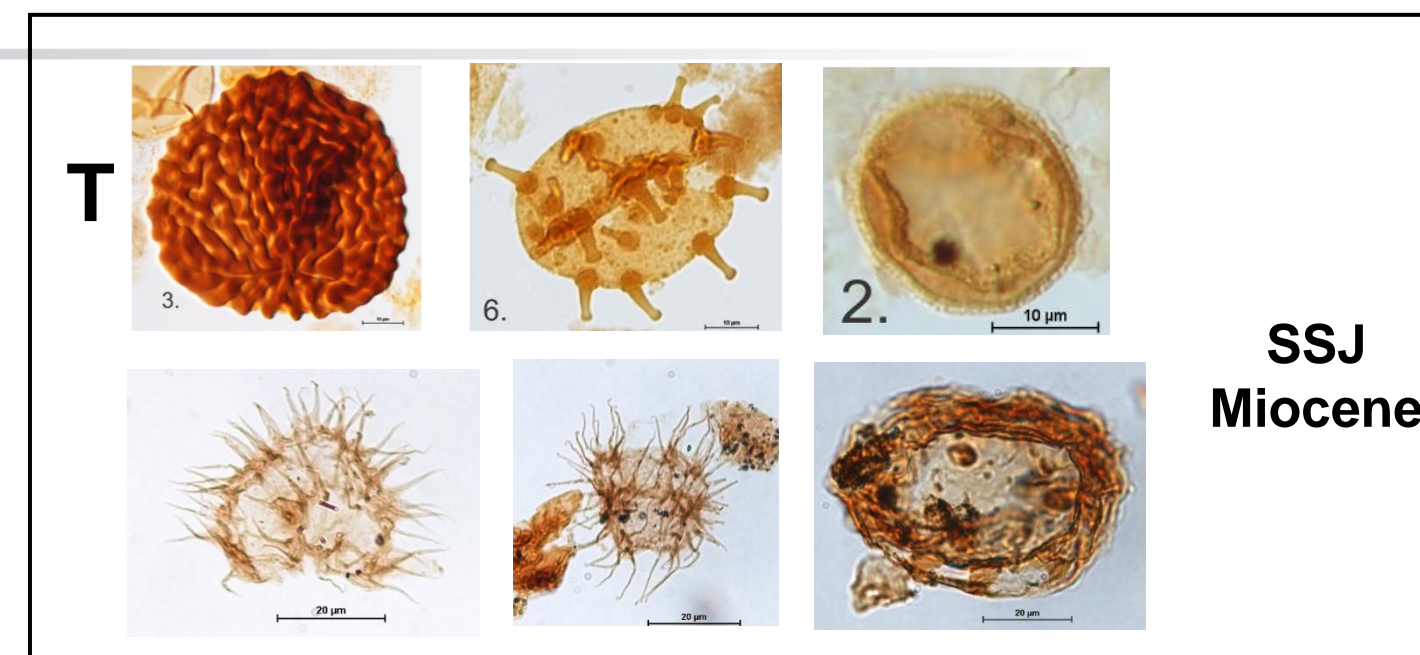
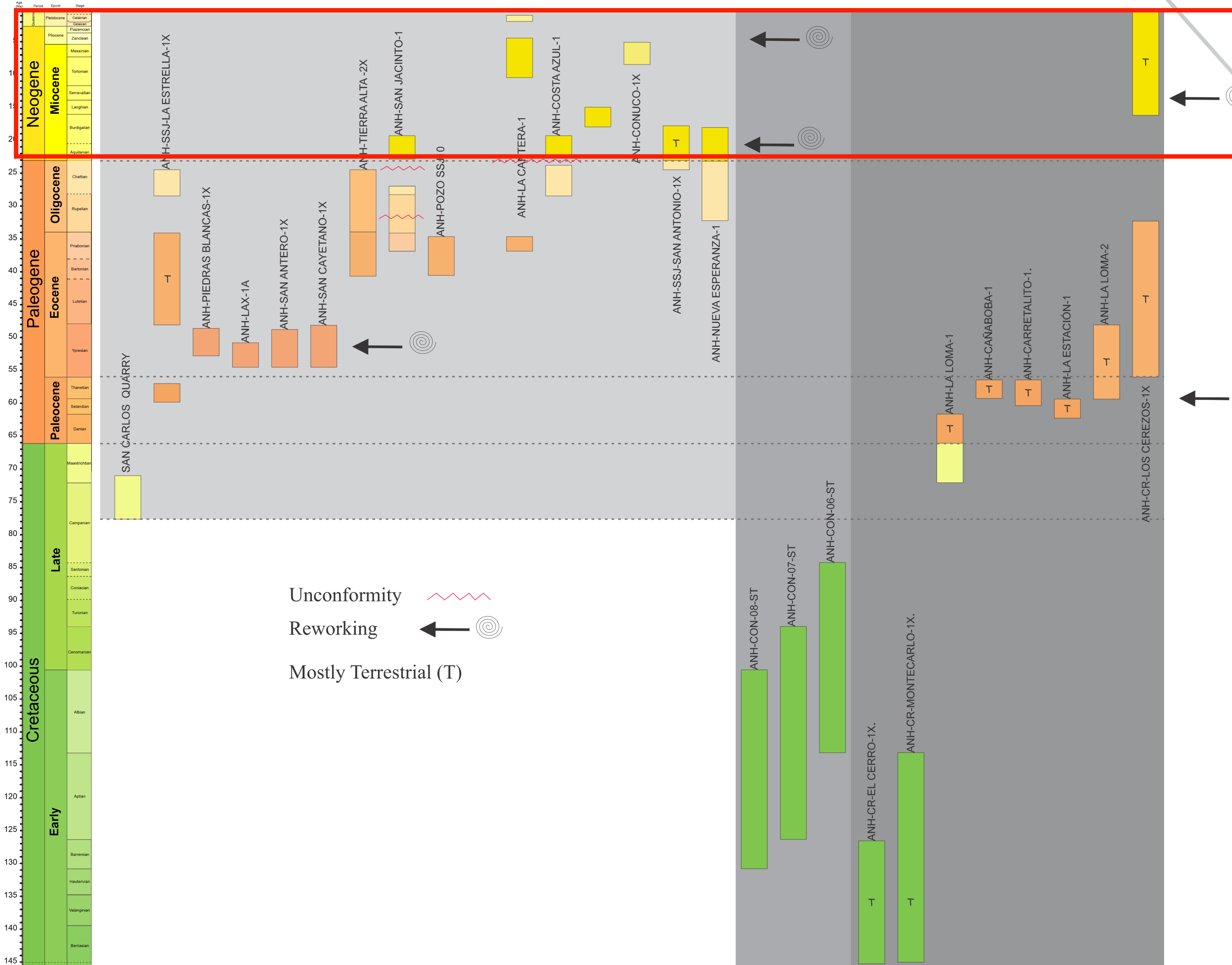
Unconformity 
 Reworking 
 Mostly Terrestrial (T)



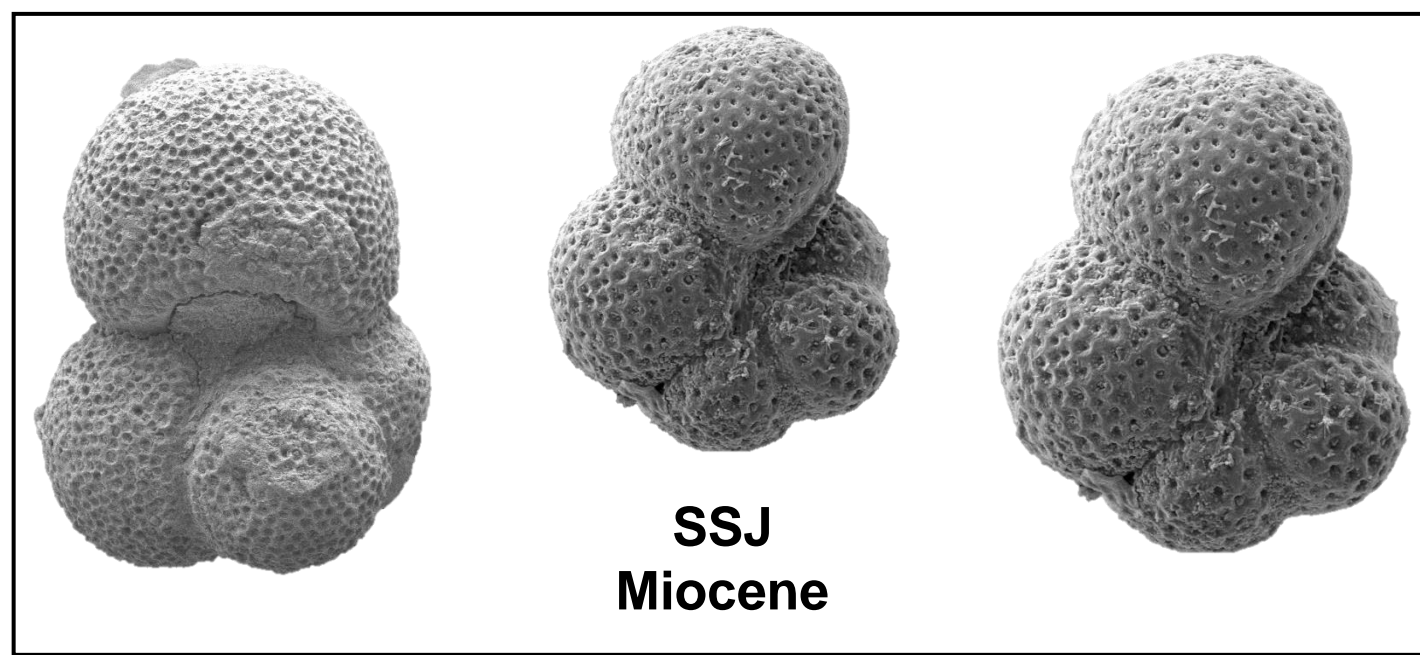
Sinu-San Jacinto fold belt

Eastern Cordillera

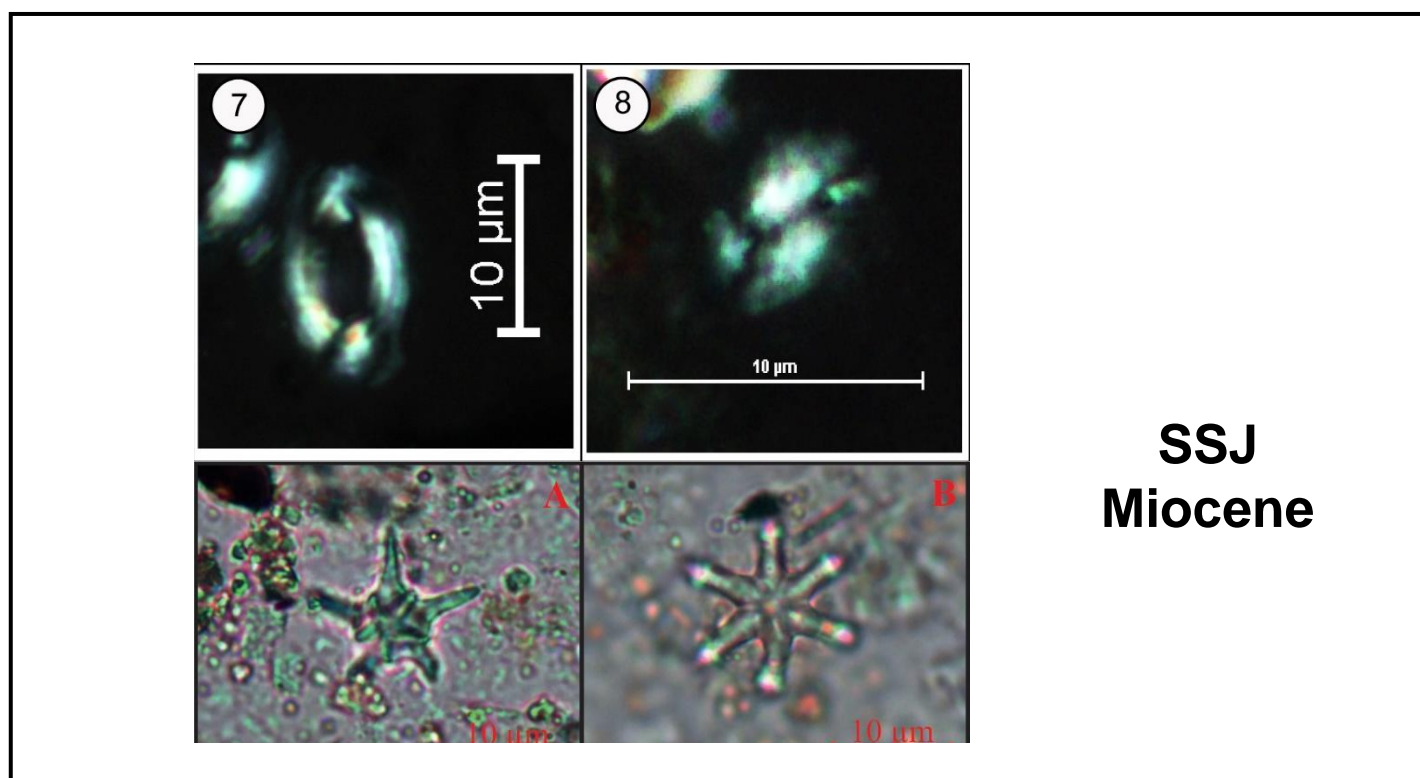
Cesar-Ranchería Basin



SSJ Miocene



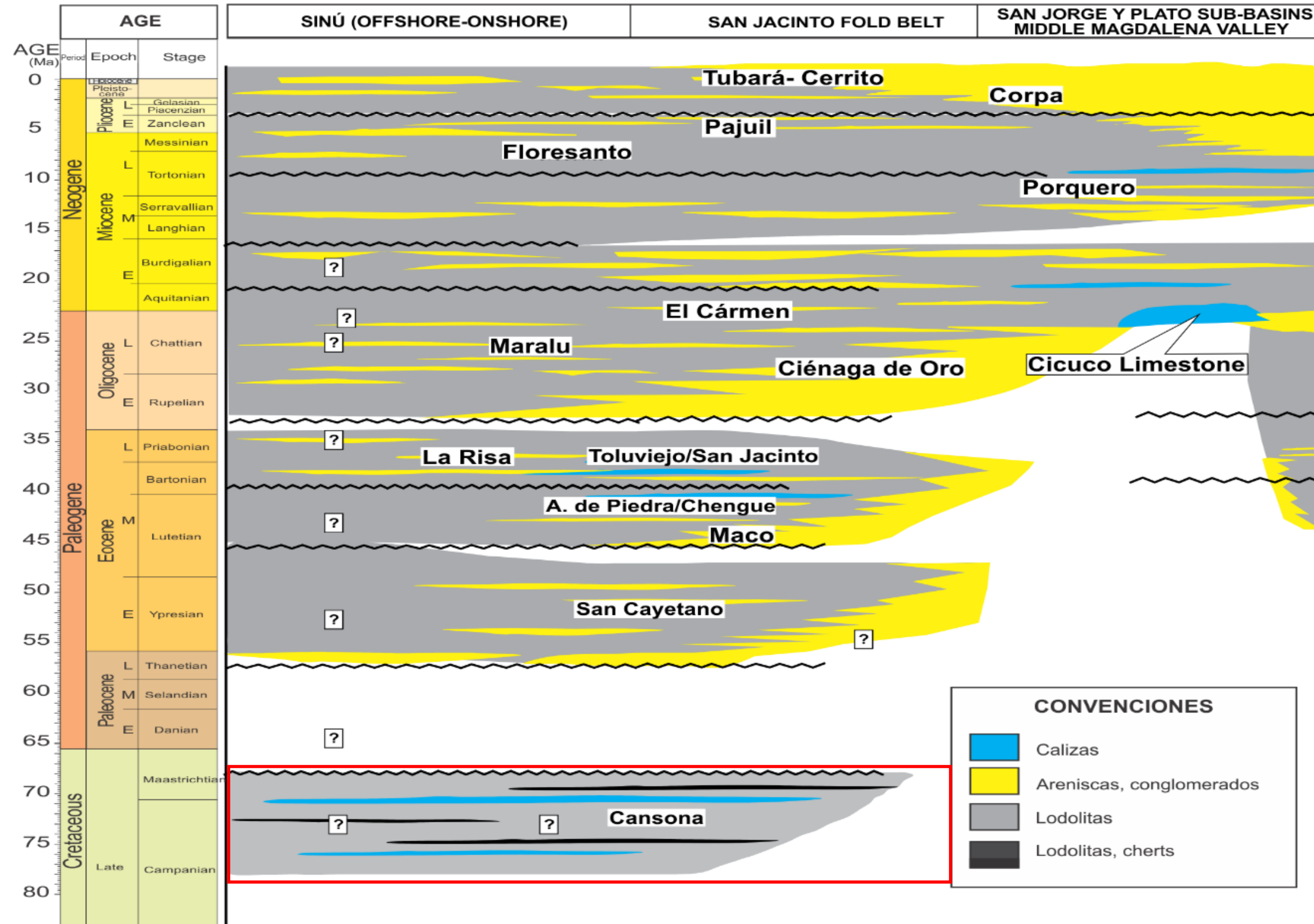
SSJ Miocene



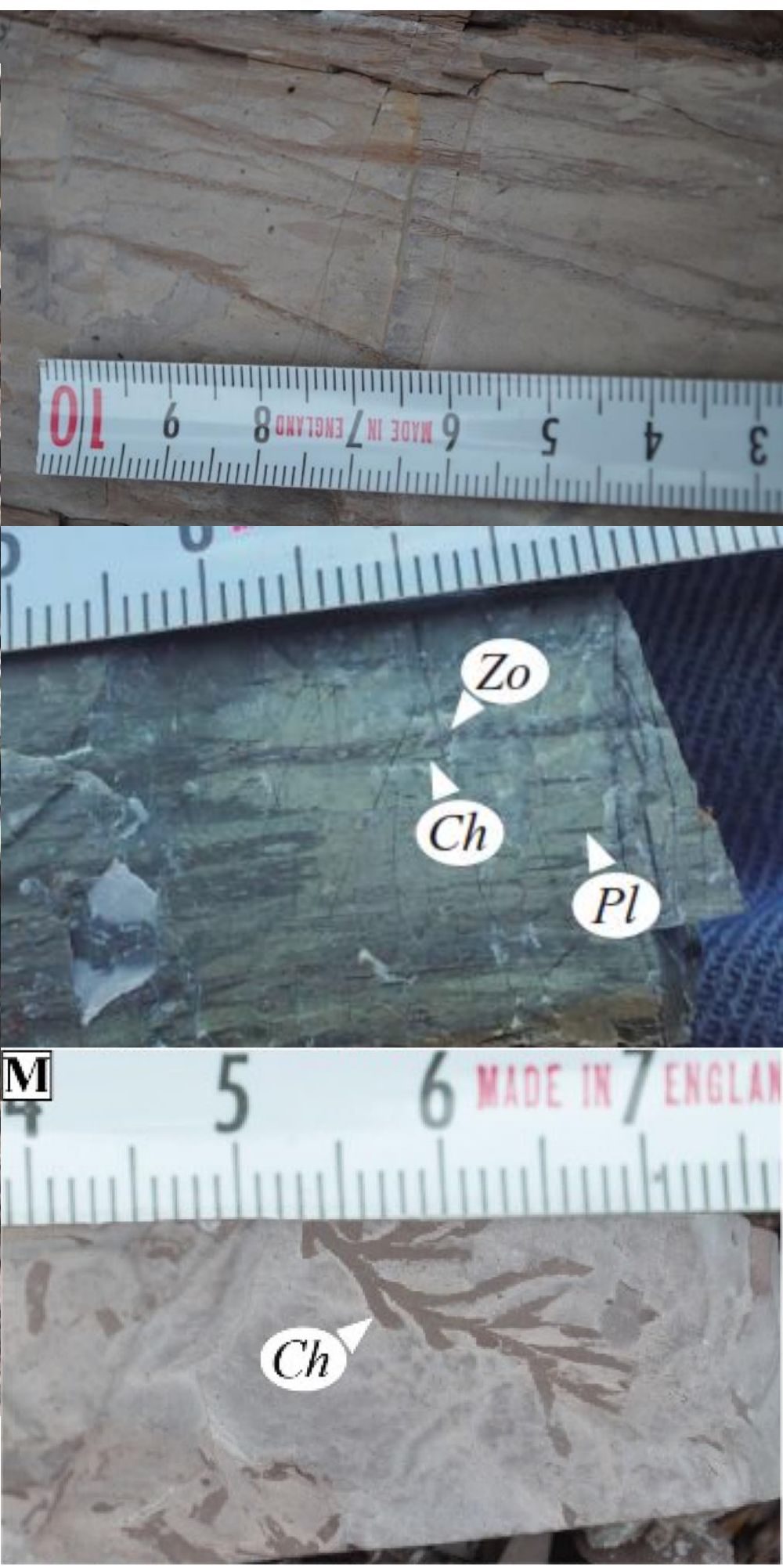
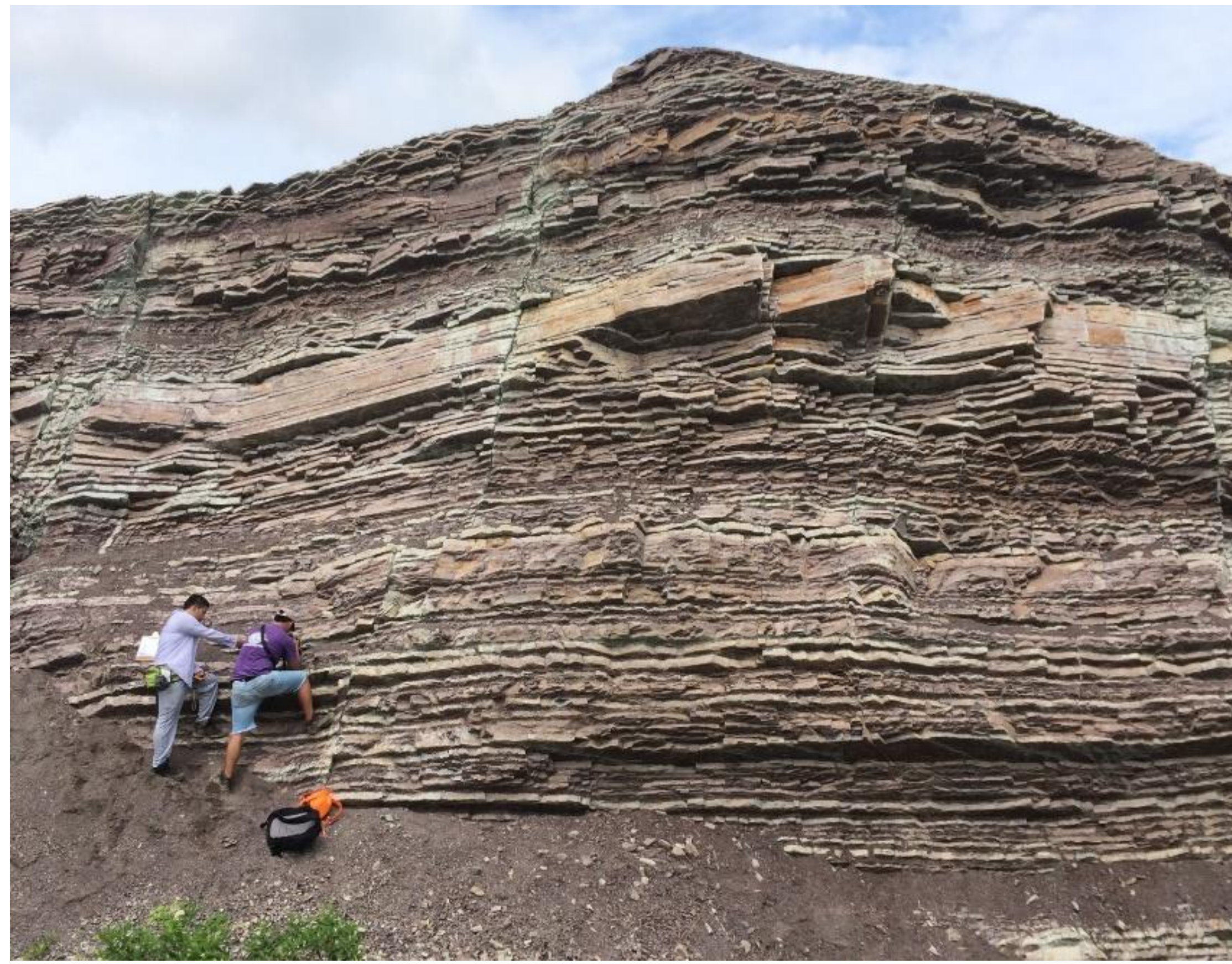
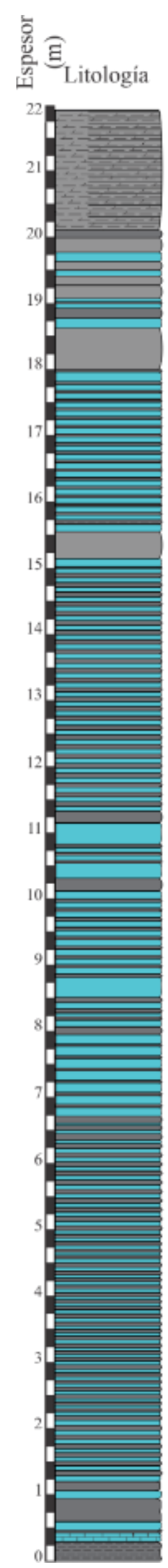
SSJ Miocene

STRATIGRAPHY AND PALEOENVIRONMENTS

- Late Cretaceous

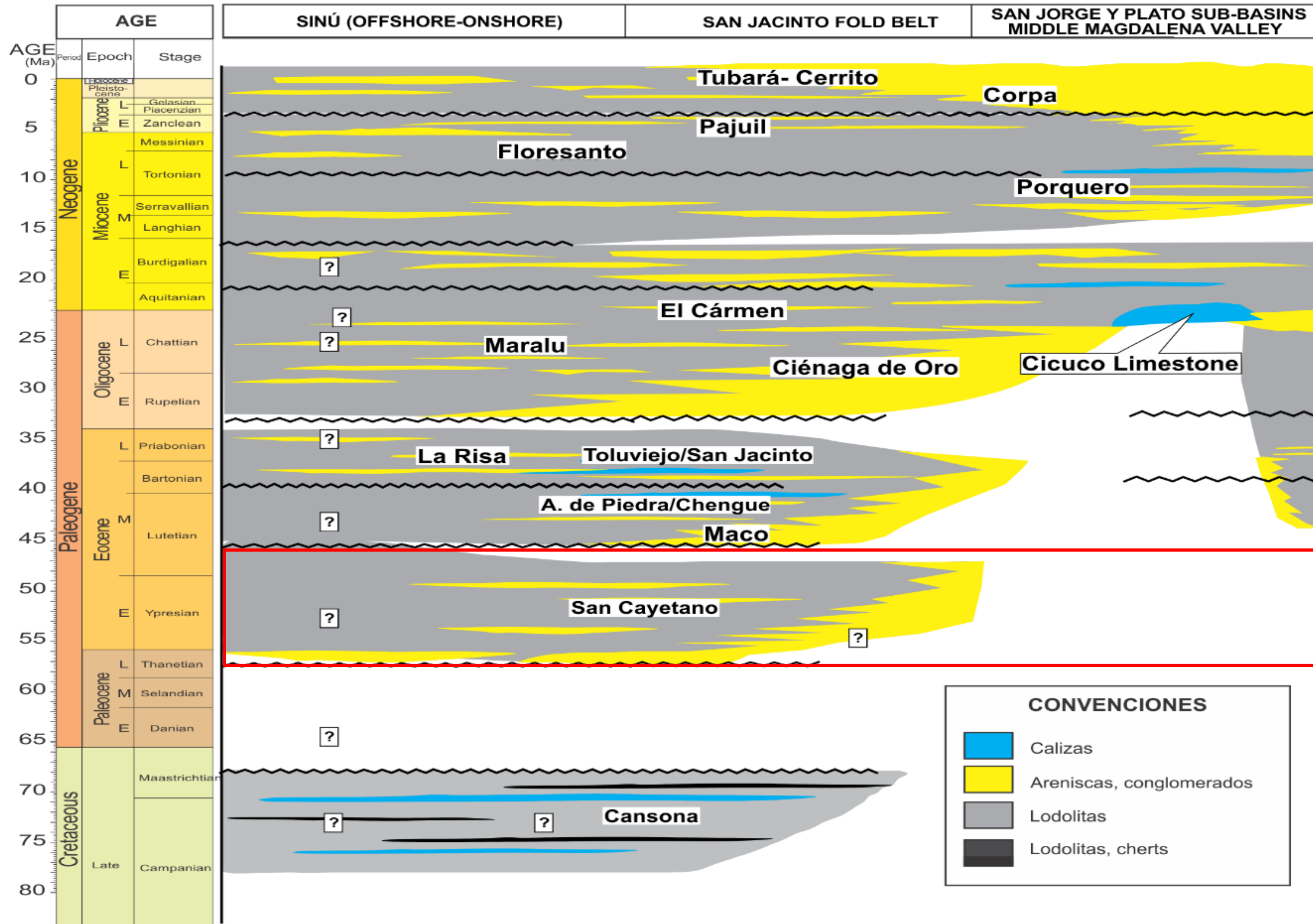


- Late Cretaceous Cansona Formation



- Giraldo et al., 2020

STRATIGRAPHY AND PALEOENVIRONMENTS



CONVENCIONES

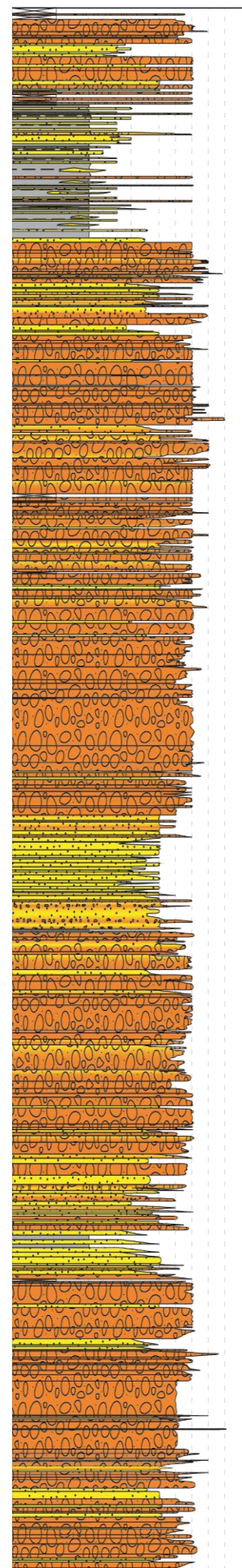
- Calizas
- Areniscas, conglomerados
- Lodolitas
- Lodolitas, cherts

Paleocene to Lower Eocene

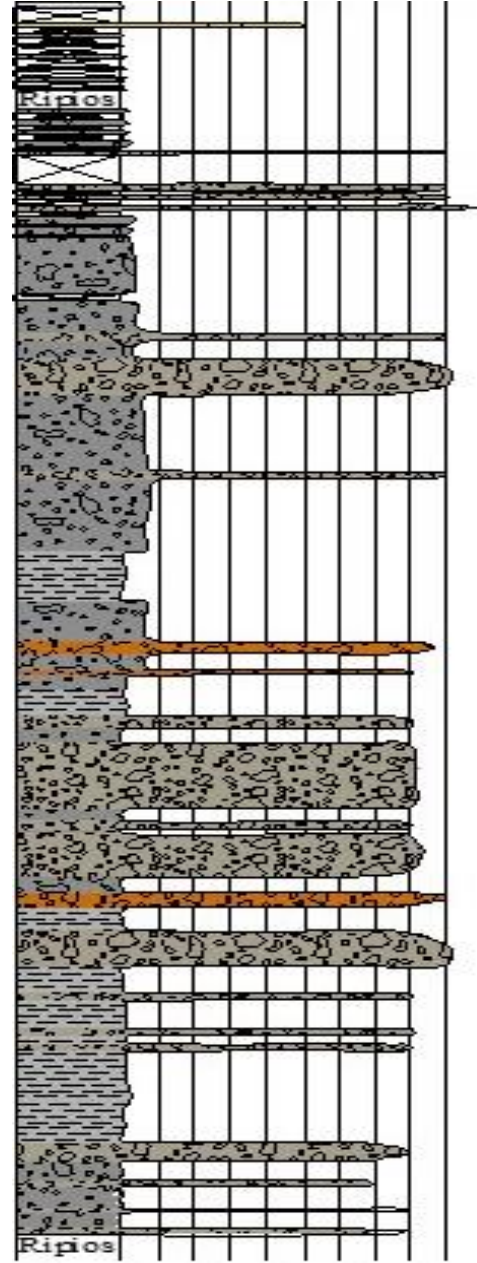
ANH-SSJ-LA ESTRELA-1X
2190,9'



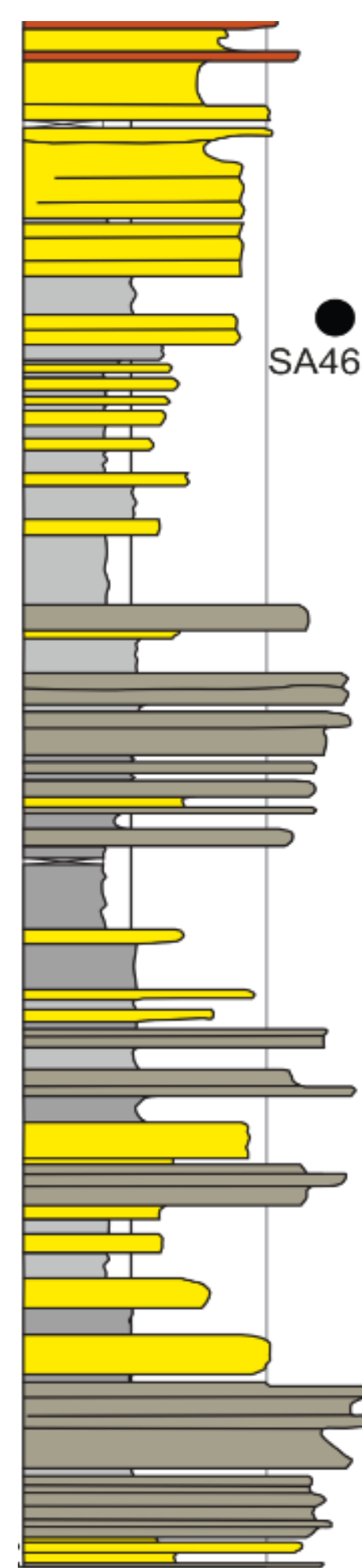
ANH-LA X-1ª
4133'



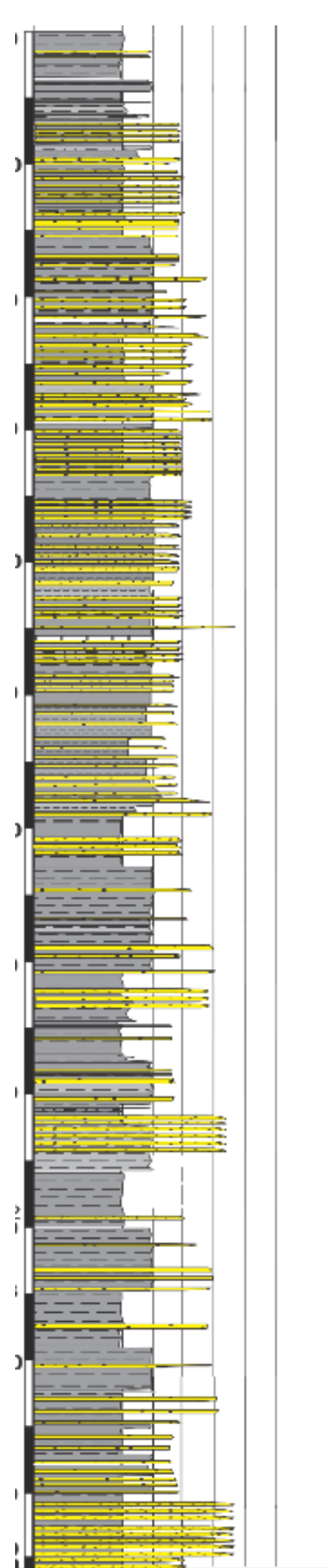
ANH-MOHAMBO
1278'



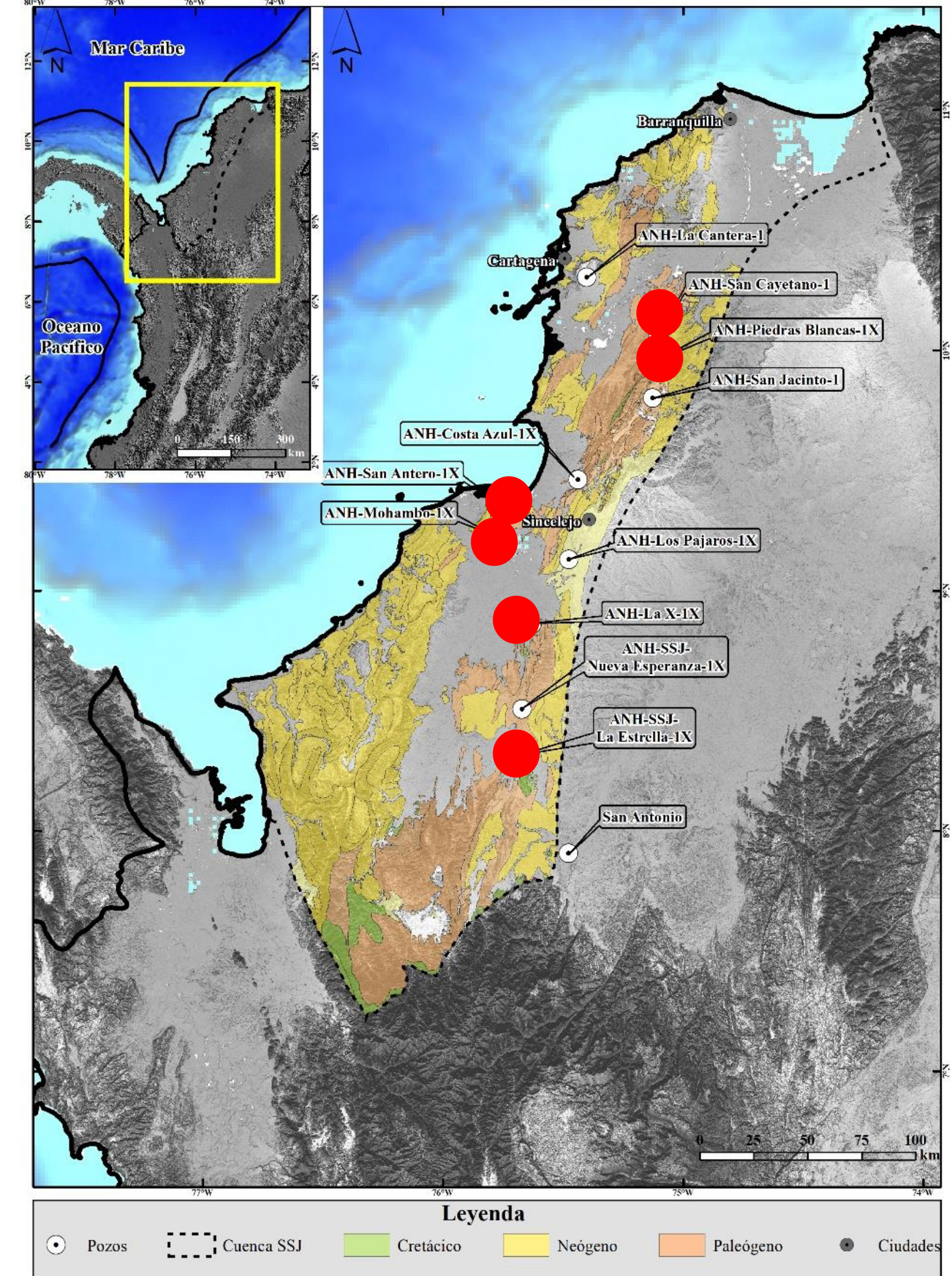
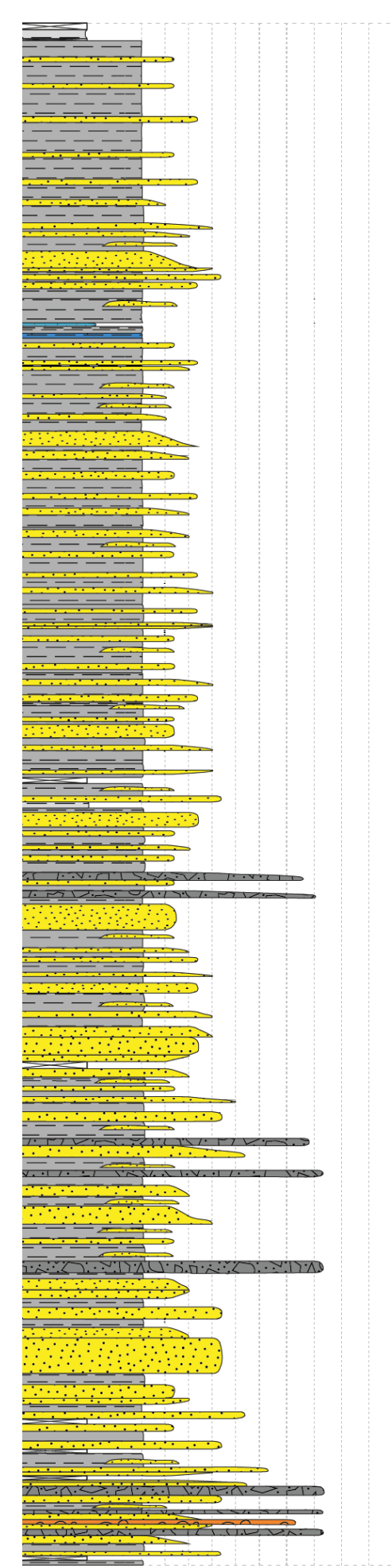
ANH-SAN ANTERO
2169'



ANH-PIEDRABLANCA
2477'



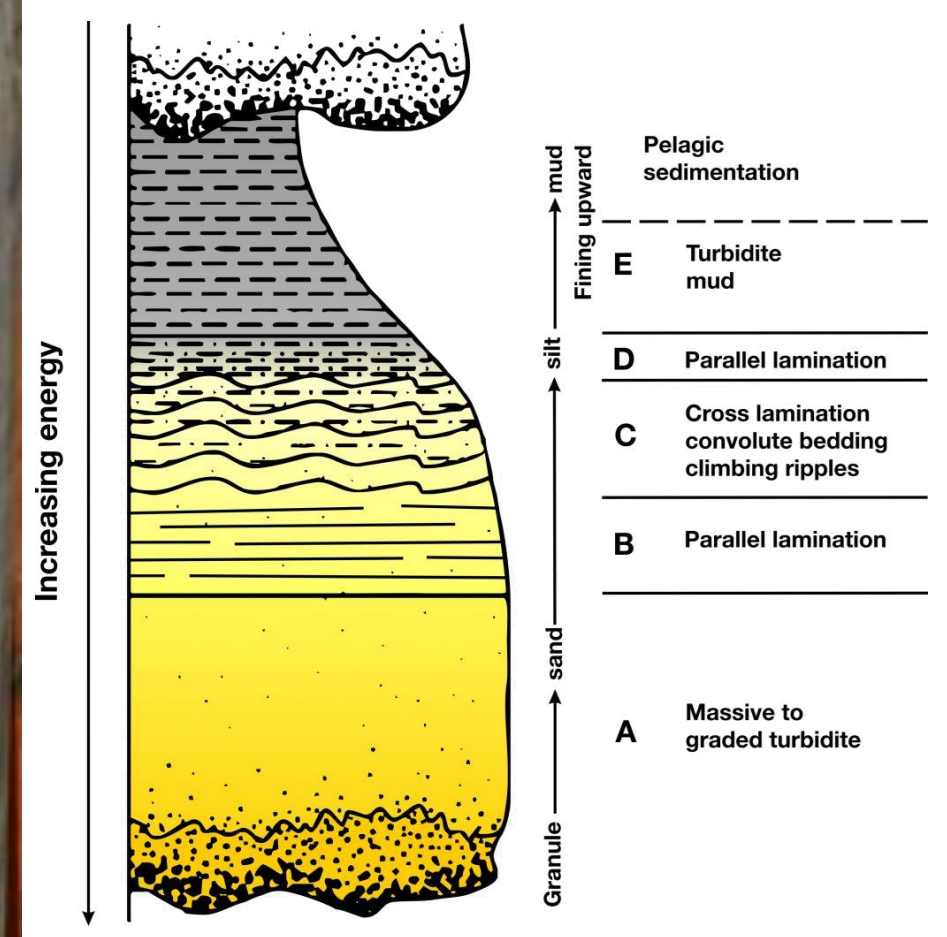
ANH-SAN CAYETANO-1
2314'



Turbidite facies, ANH-PIEDRABLANCA and ANH-SANCAYETANO WELLS

Zoophycos and Nereites Ichnofacies

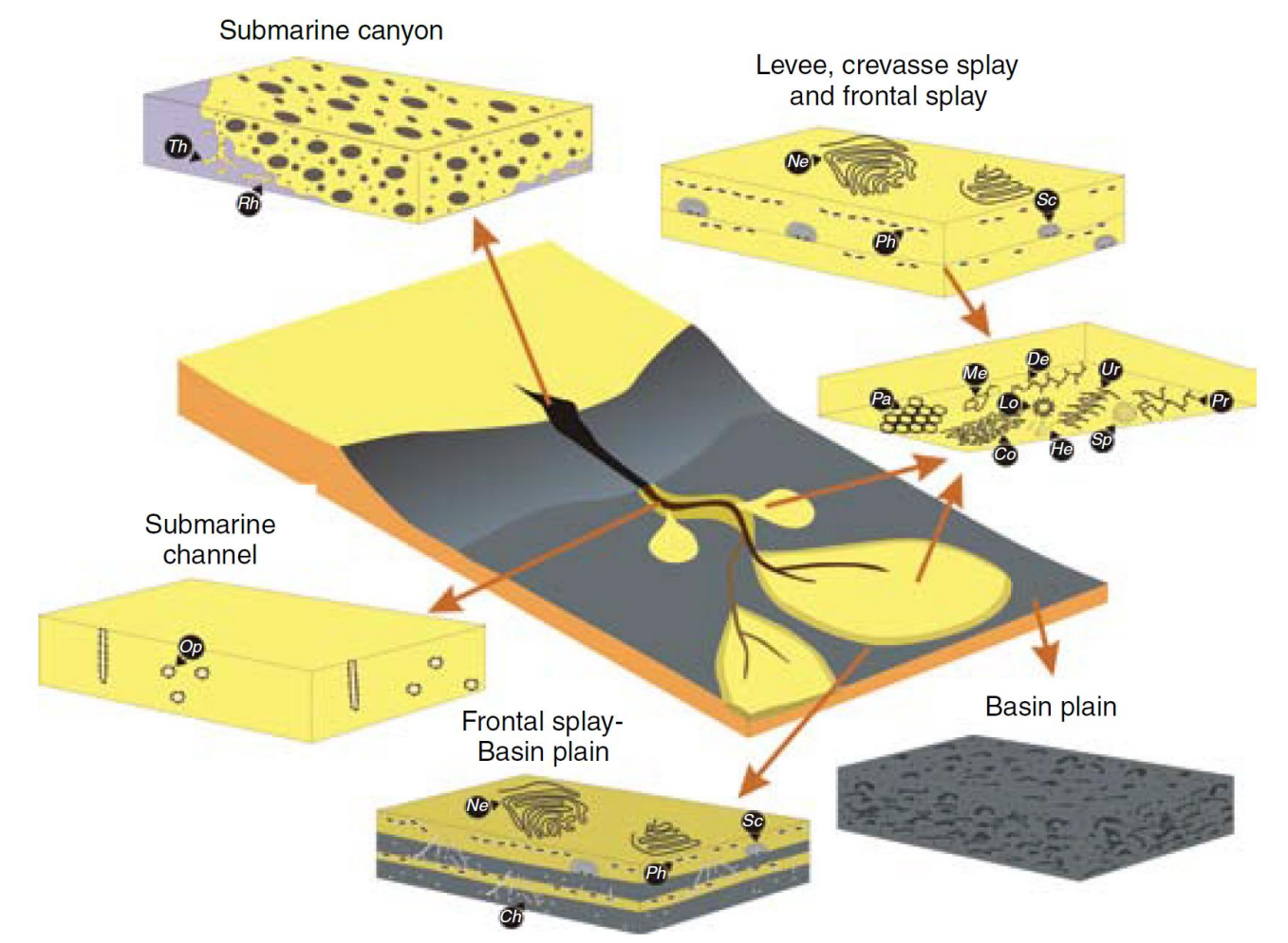
Bouma sequence



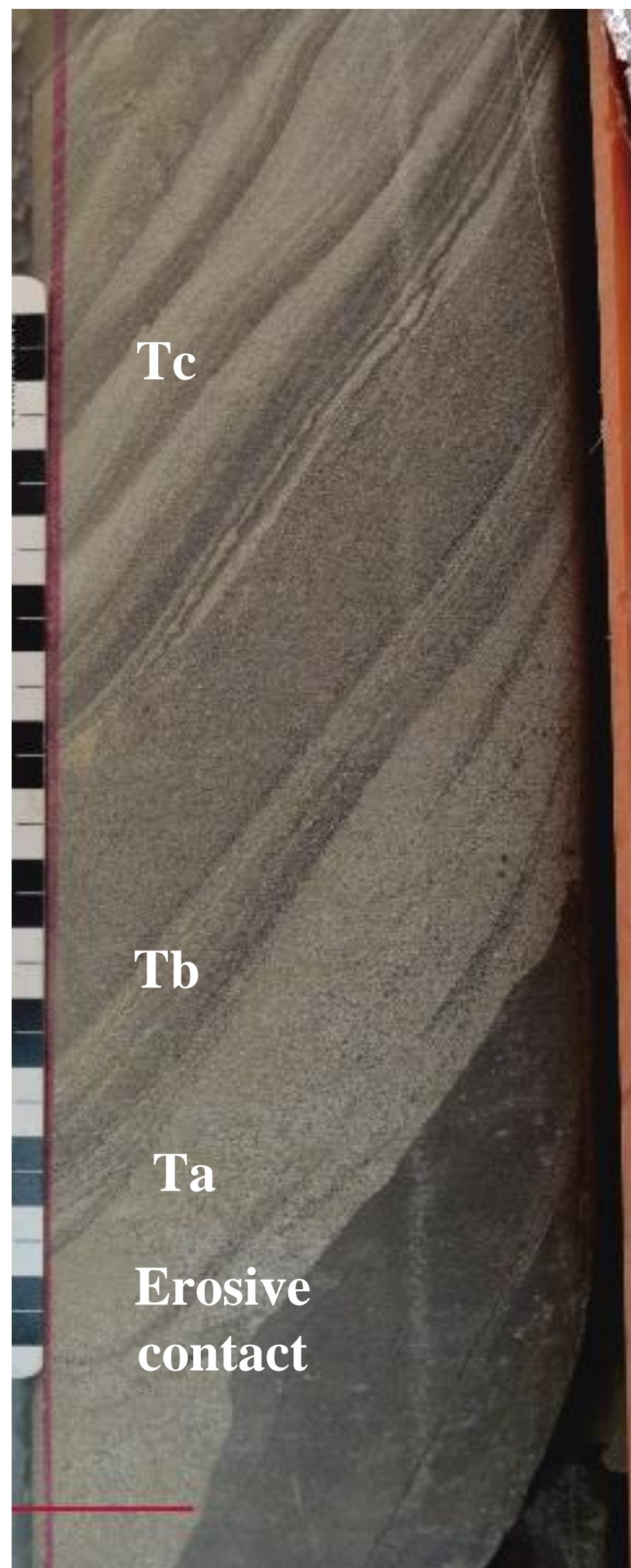
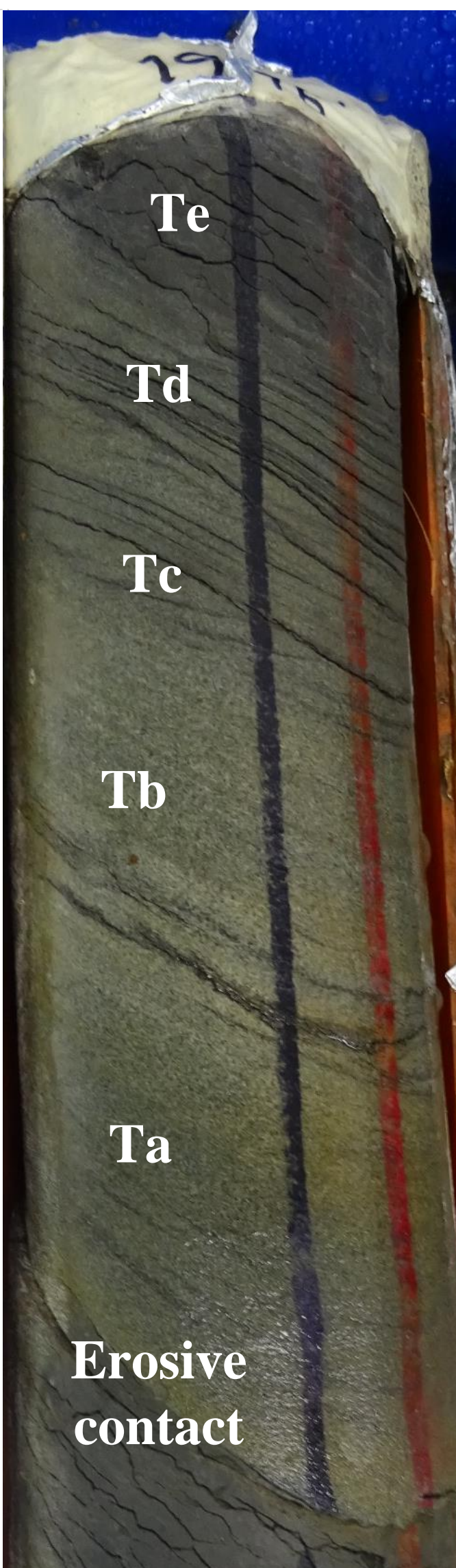
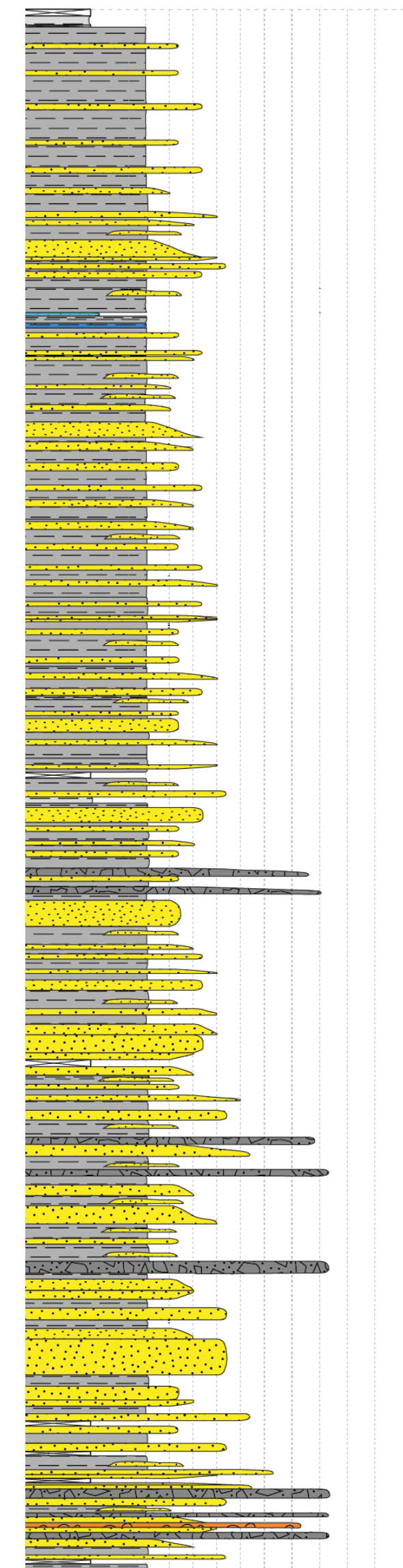
- Chondrites
- Ophiomorpha
- Palaeophycos
- Phycosiphon
- Planolites
- Schaubcylindrichmus
- Taenidium
- Teichichmus
- Thalassinoides
- Trazas sin diferenciar
- Zoophycos
- Nereites

Ichnology of deep-marine clastic environments

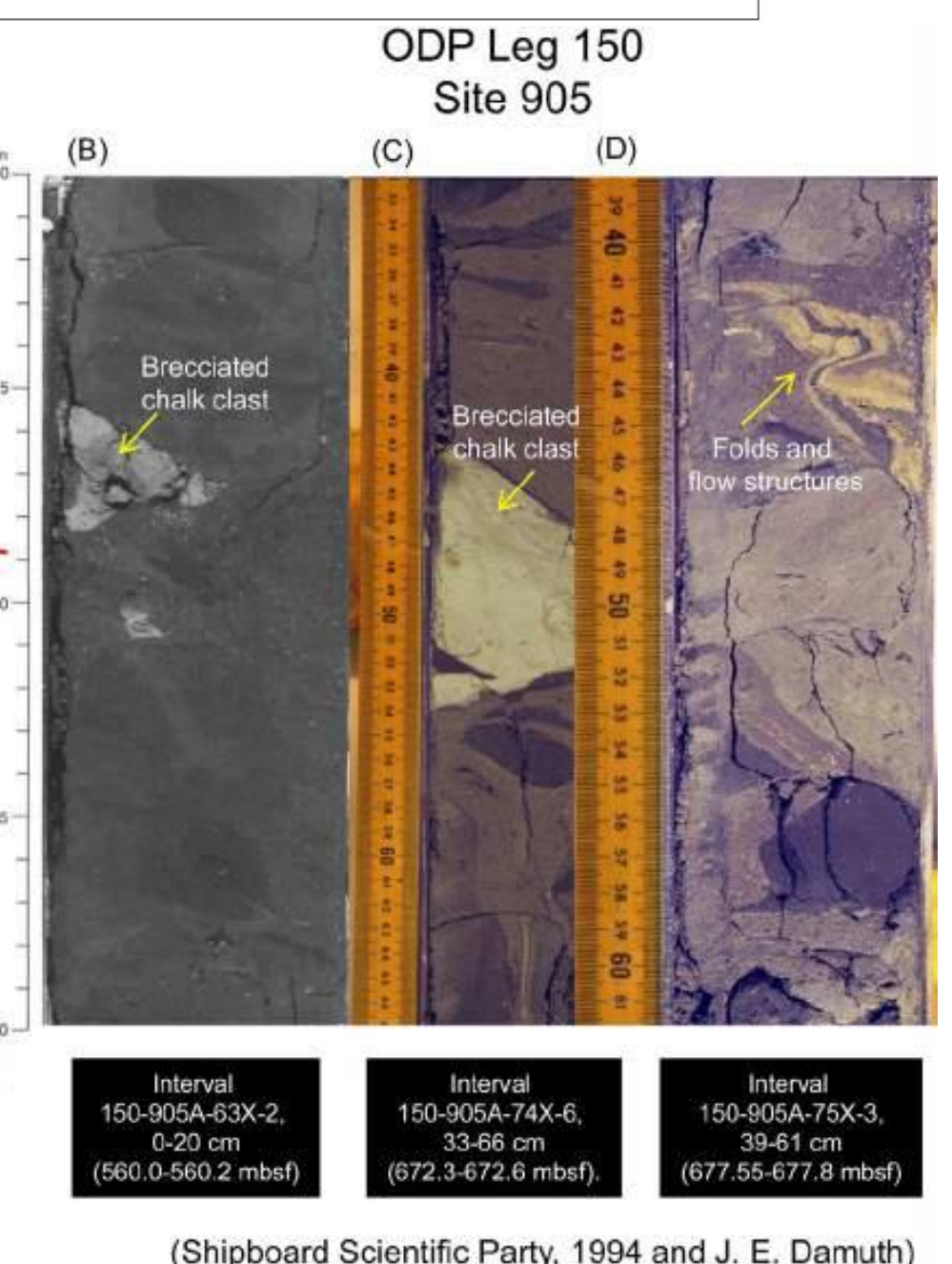
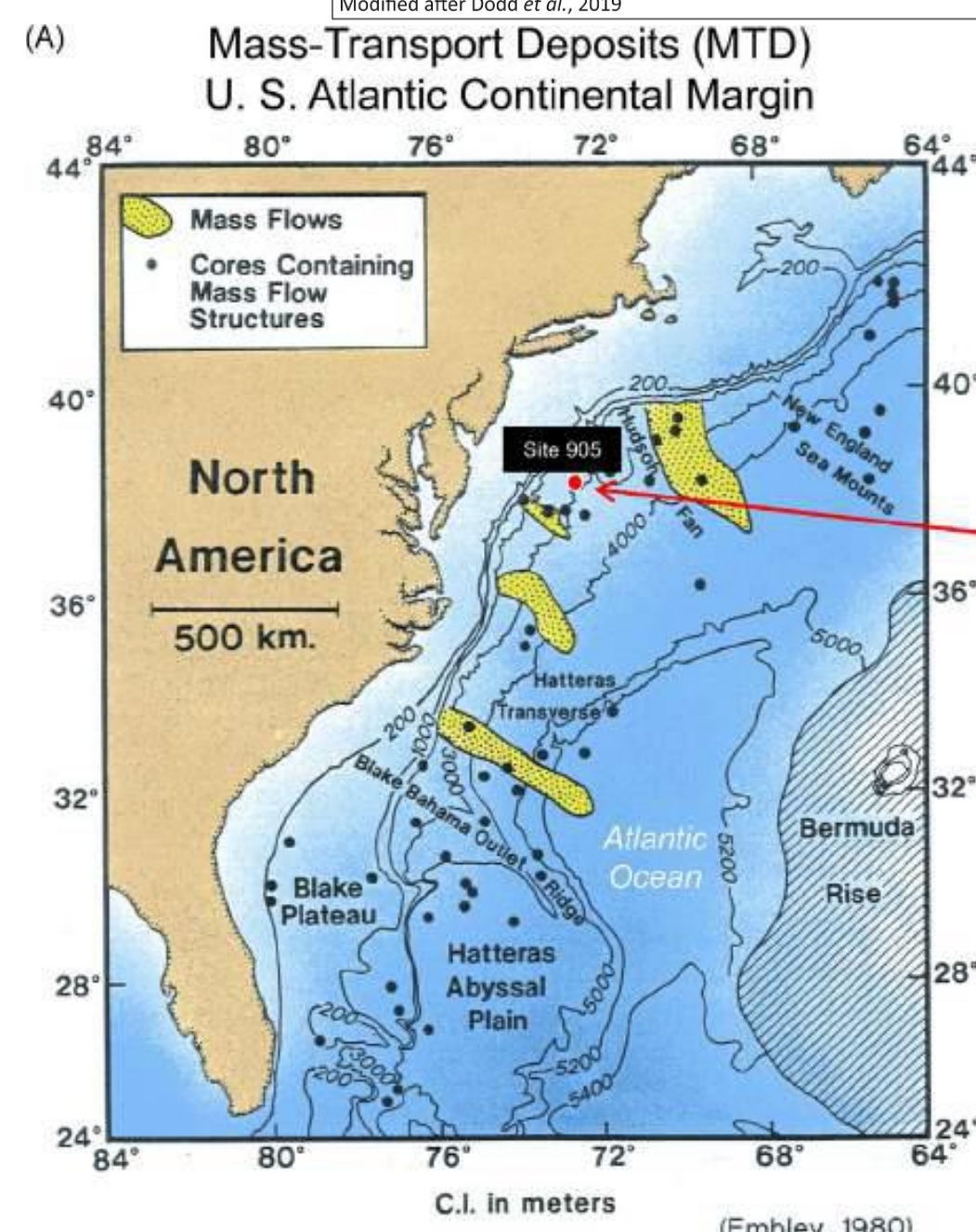
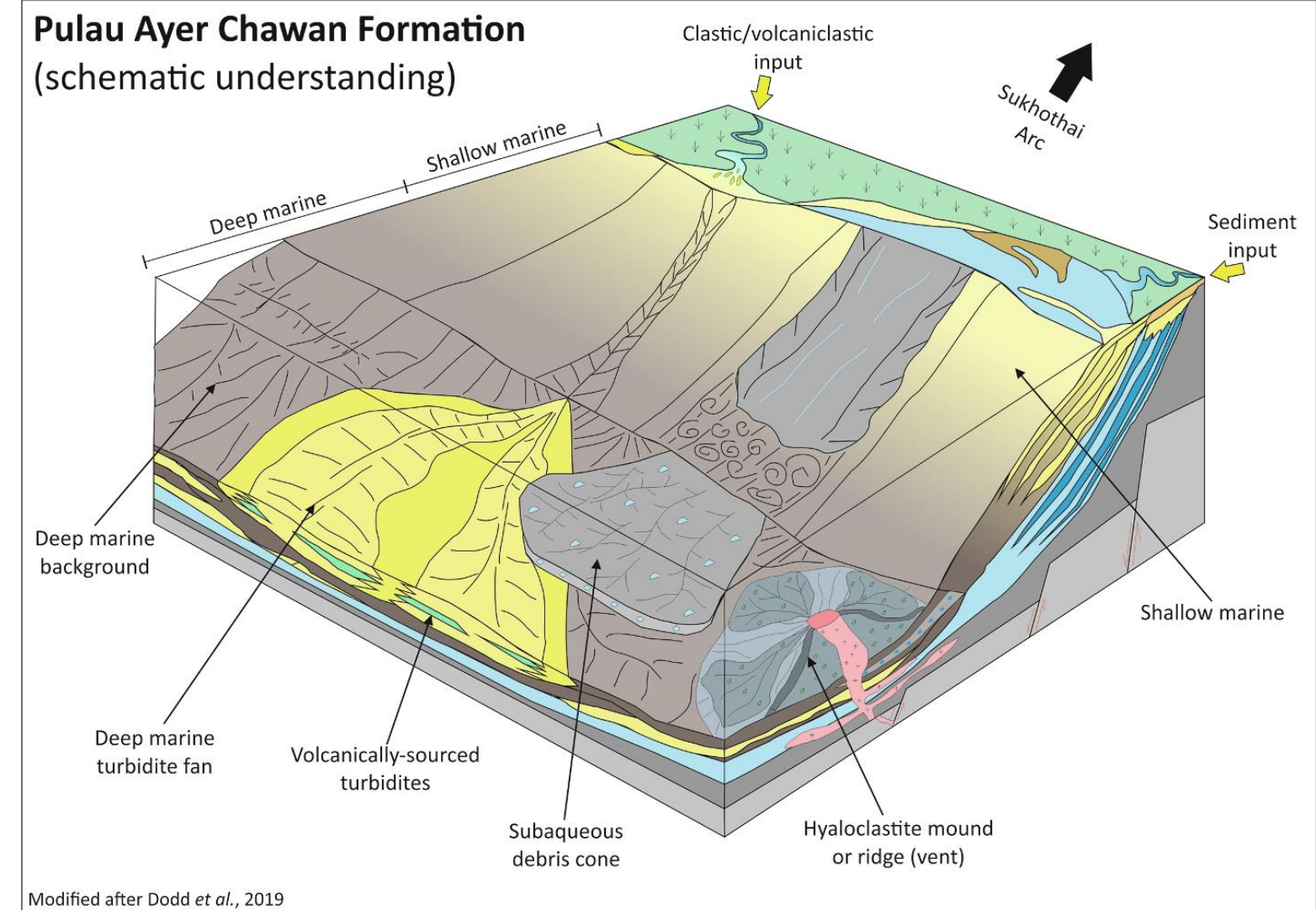
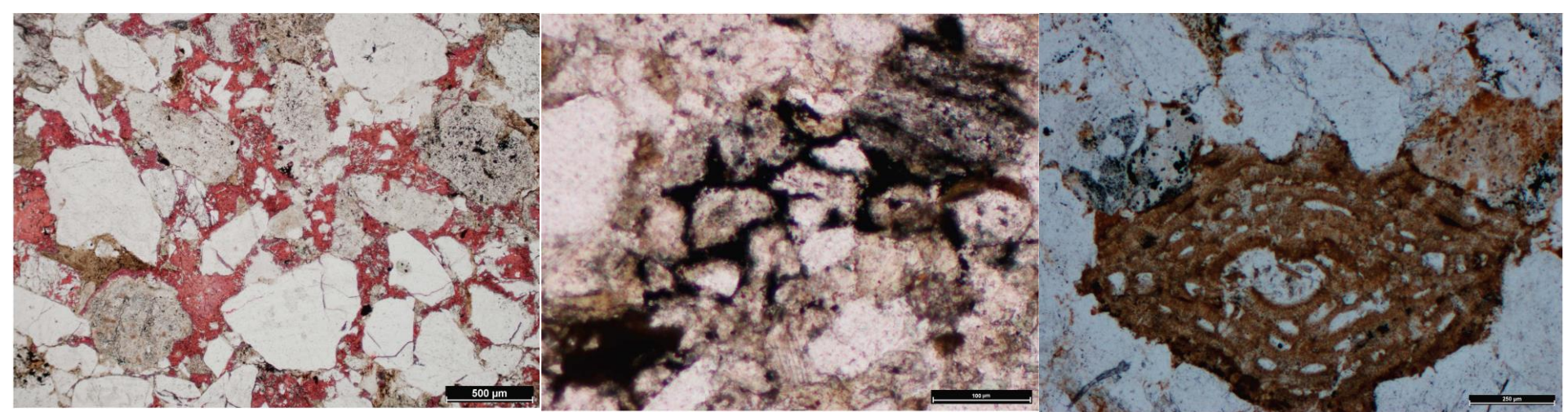
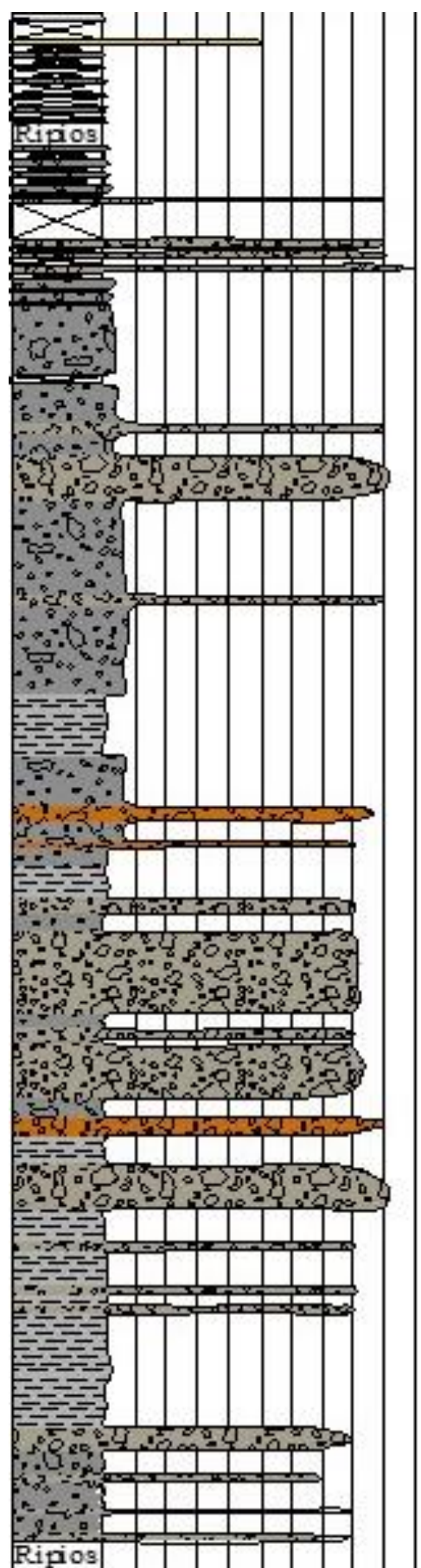
186



Buatois & Mángano (2011)

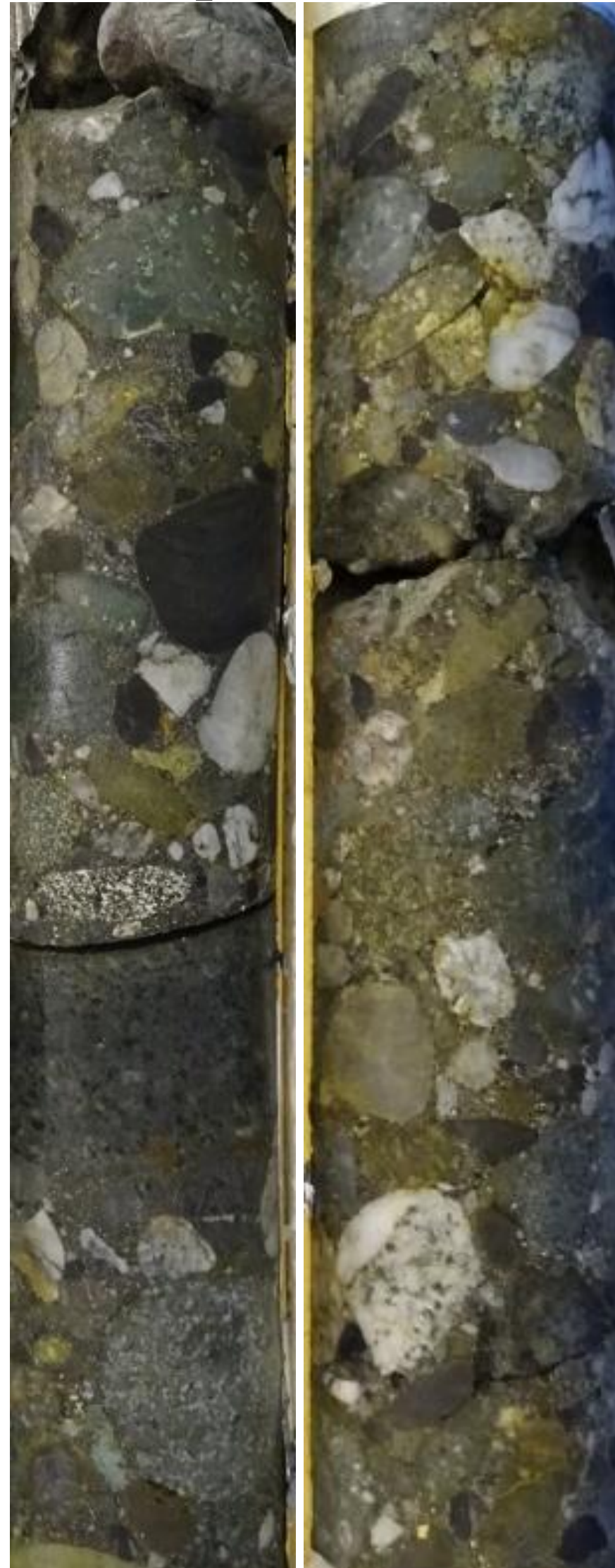


Mass transport deposits (MTD) facies, ANH-MOHAMBO and ANH-SAN ANTERO WELLS



Gilbert delta facies, ANH-LA X-1A WELL

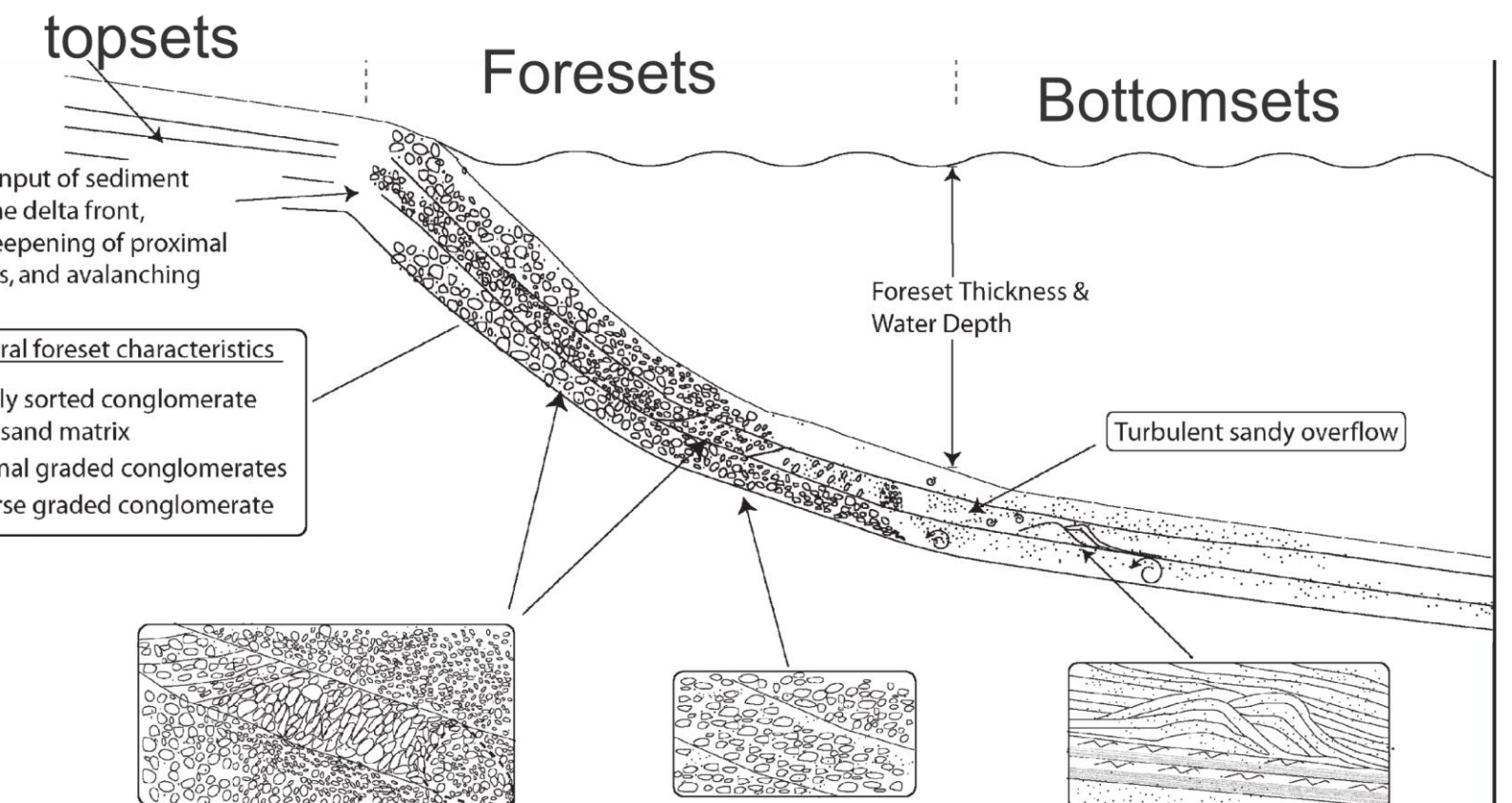
Topsets facies



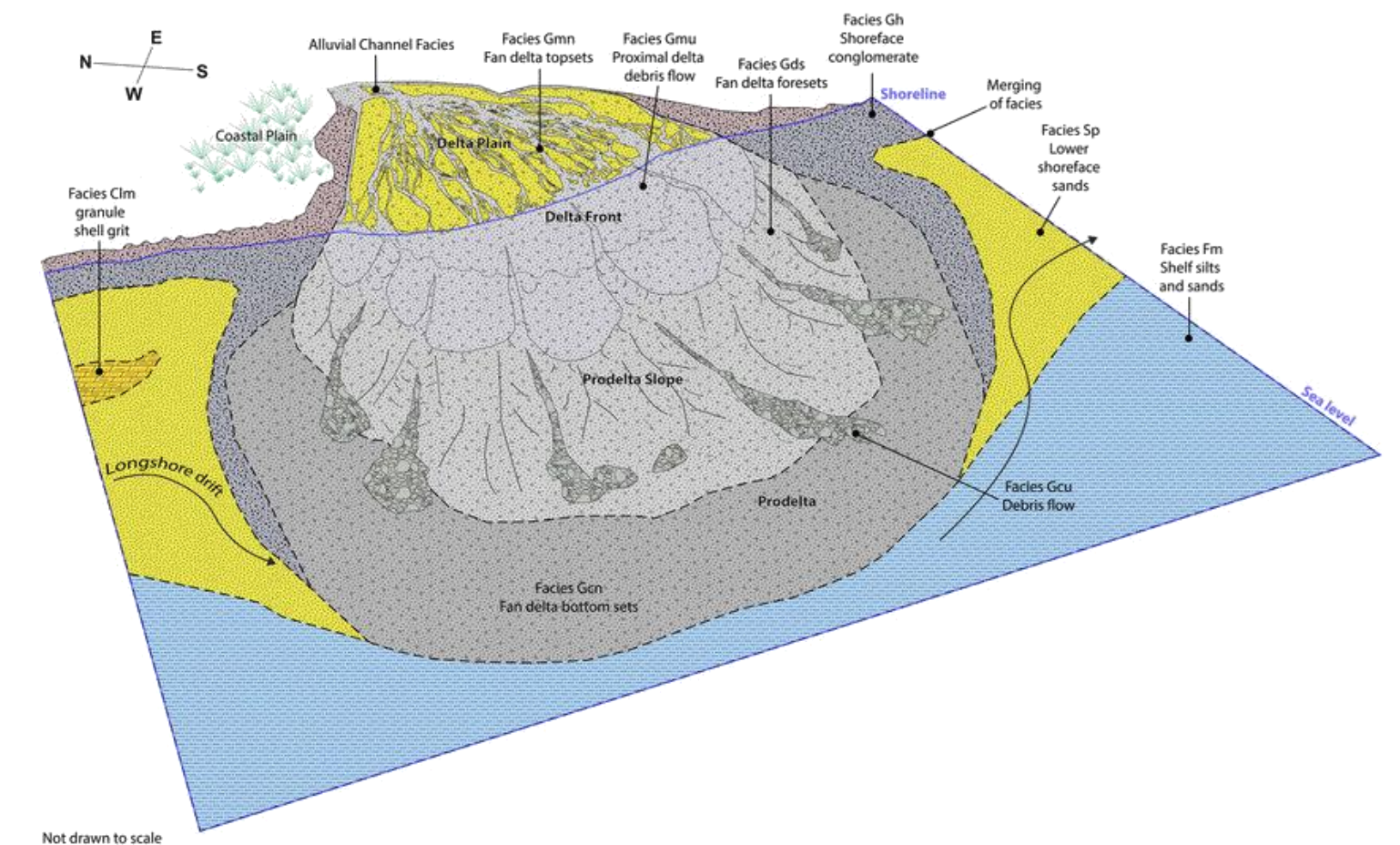
Foresets facies



Bottomsets facies

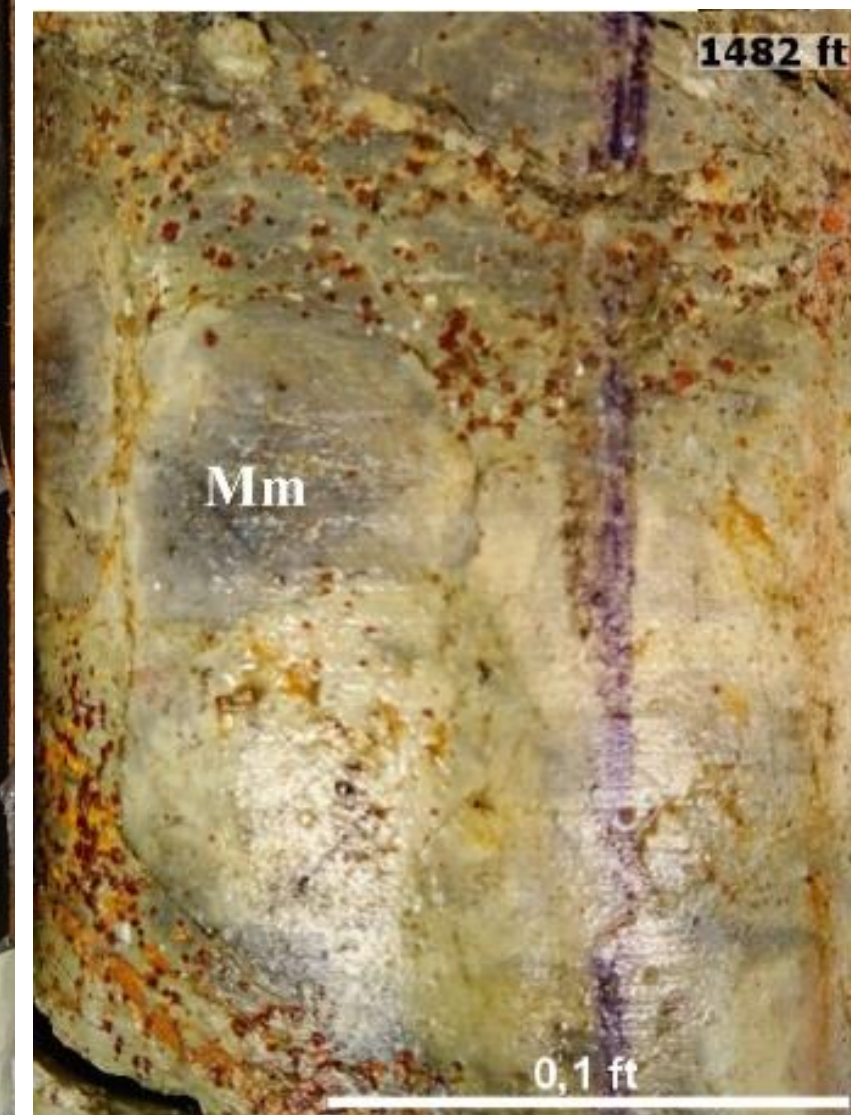
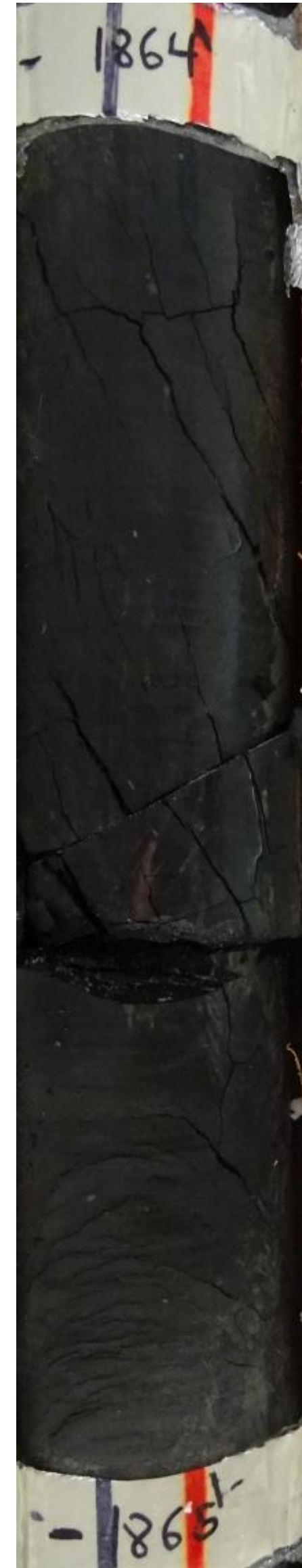
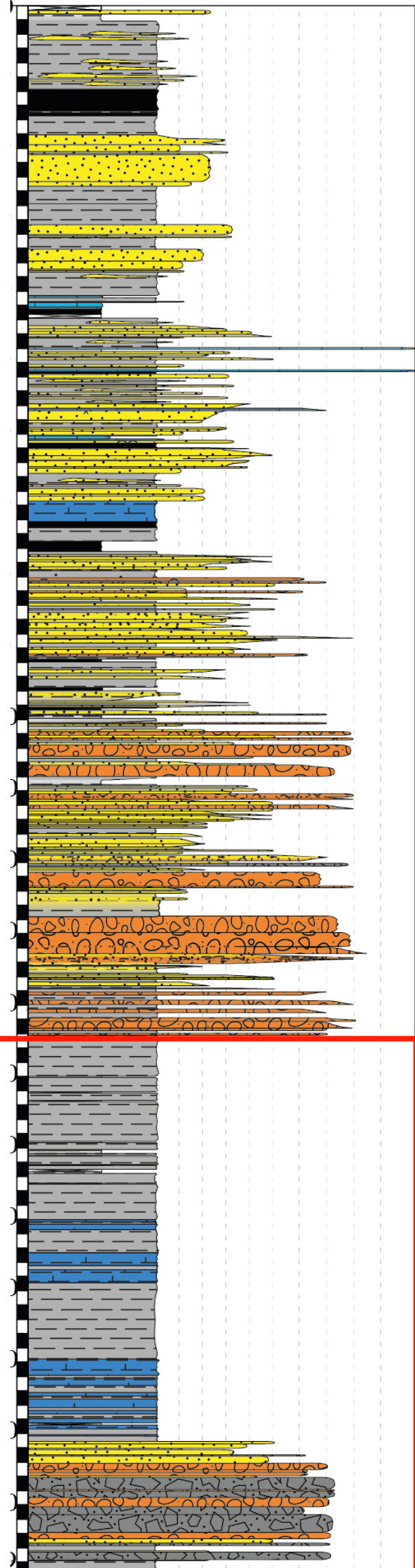


T.S. McConnico & Kari N. Bassett, 2006

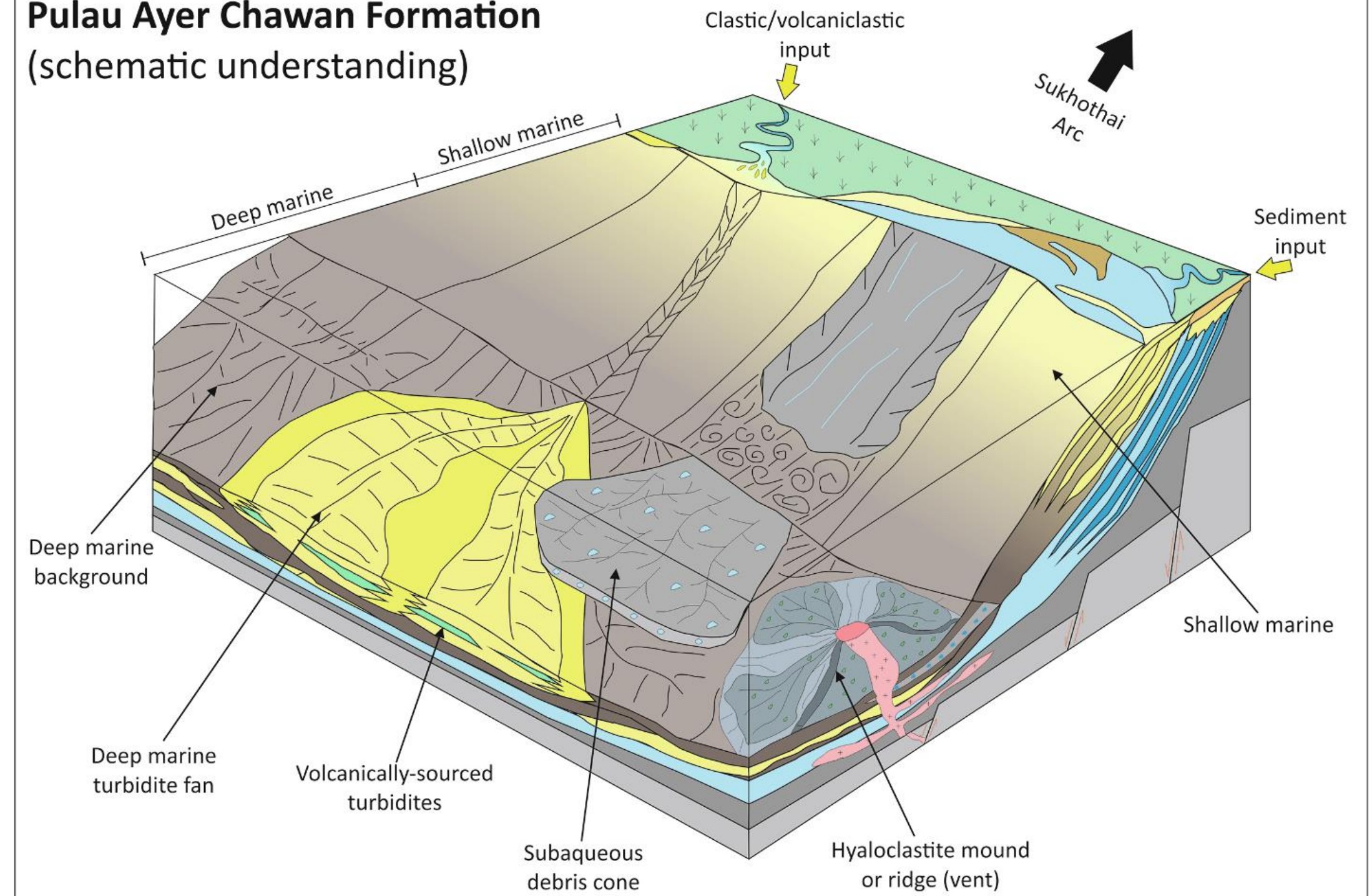


Not drawn to scale

Pelagic, Hemipelagic and MTD facies, ANH-SSJ-LA ESTRELA-1X WELL

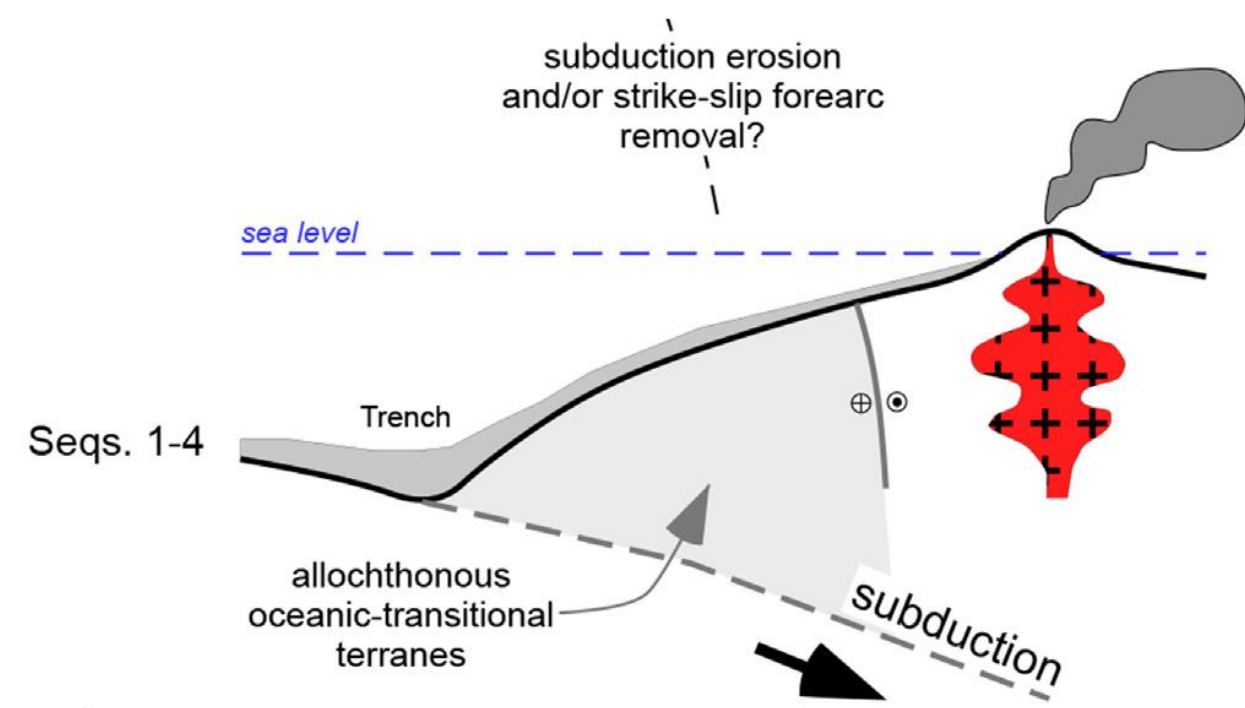


Pulau Ayer Chawan Formation
(schematic understanding)



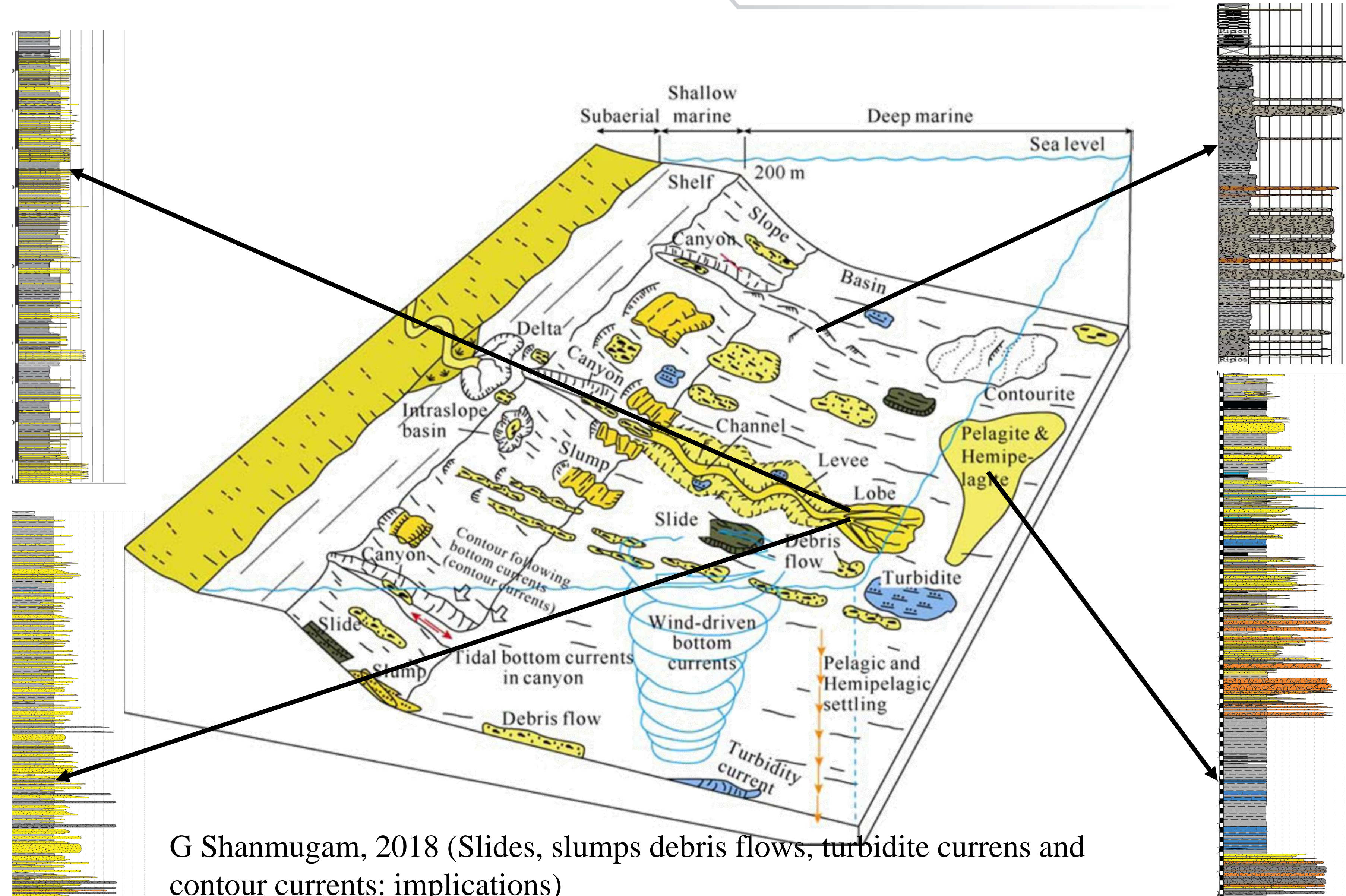
Modified after Dodd *et al.*, 2019

• **Paleocene to Lower Eocene environments in SSJ**



Upper Cretaceous to lower Eocene:
San Jacinto underfilled (?),
deep-marine, sloped forearc basin;
subduction with active magmatic arc

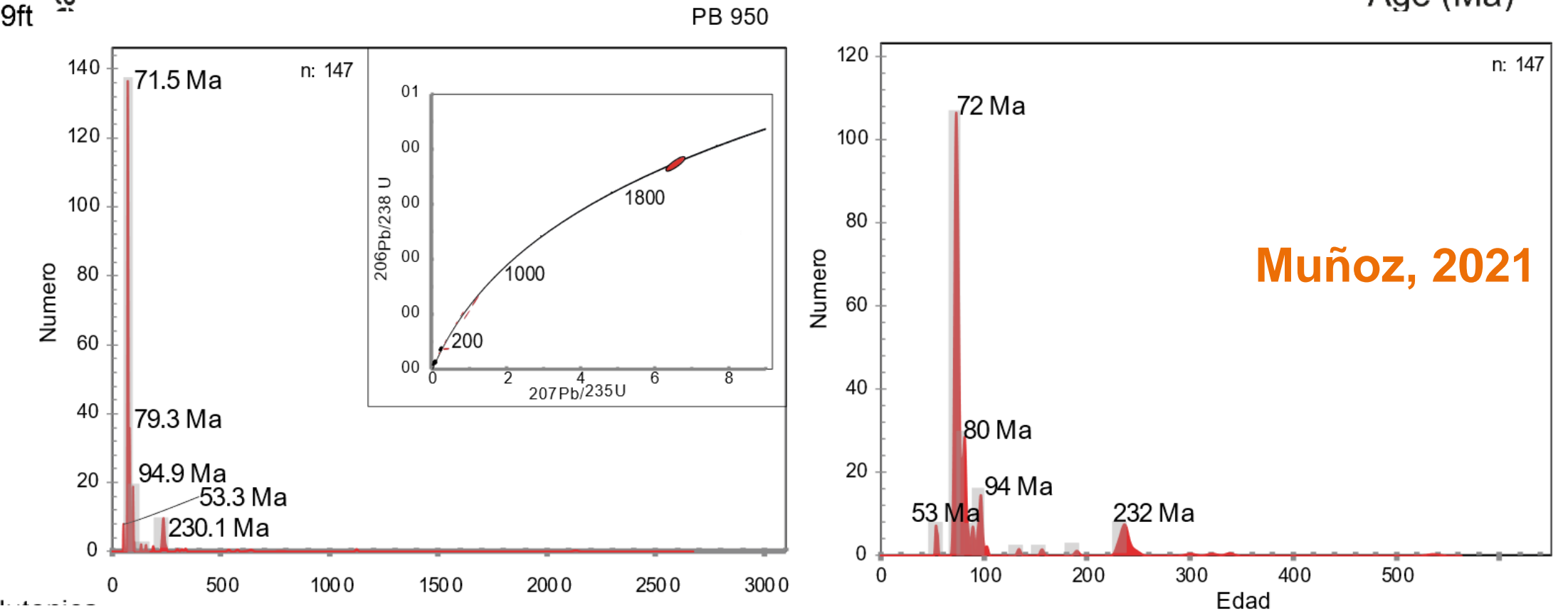
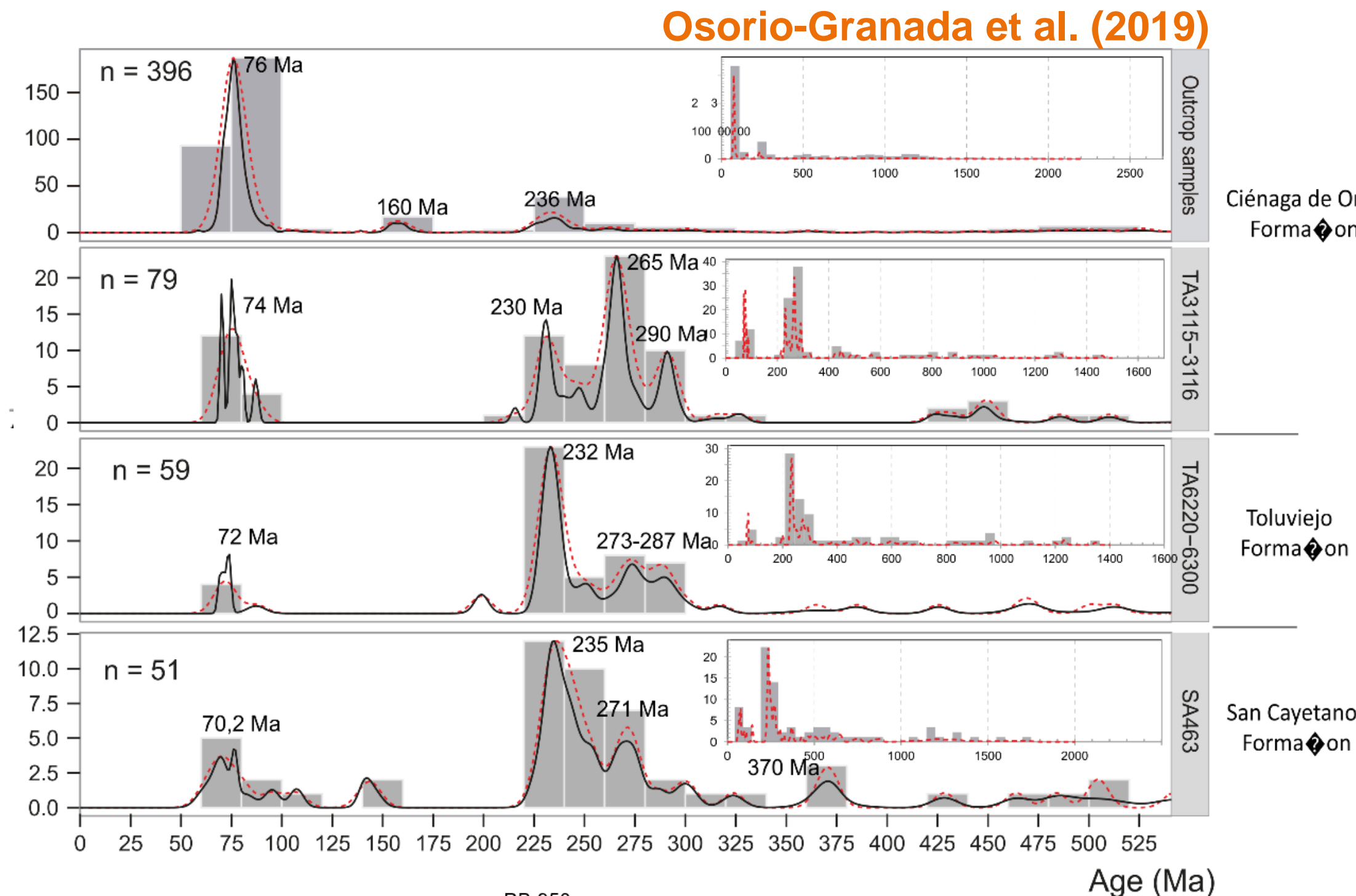
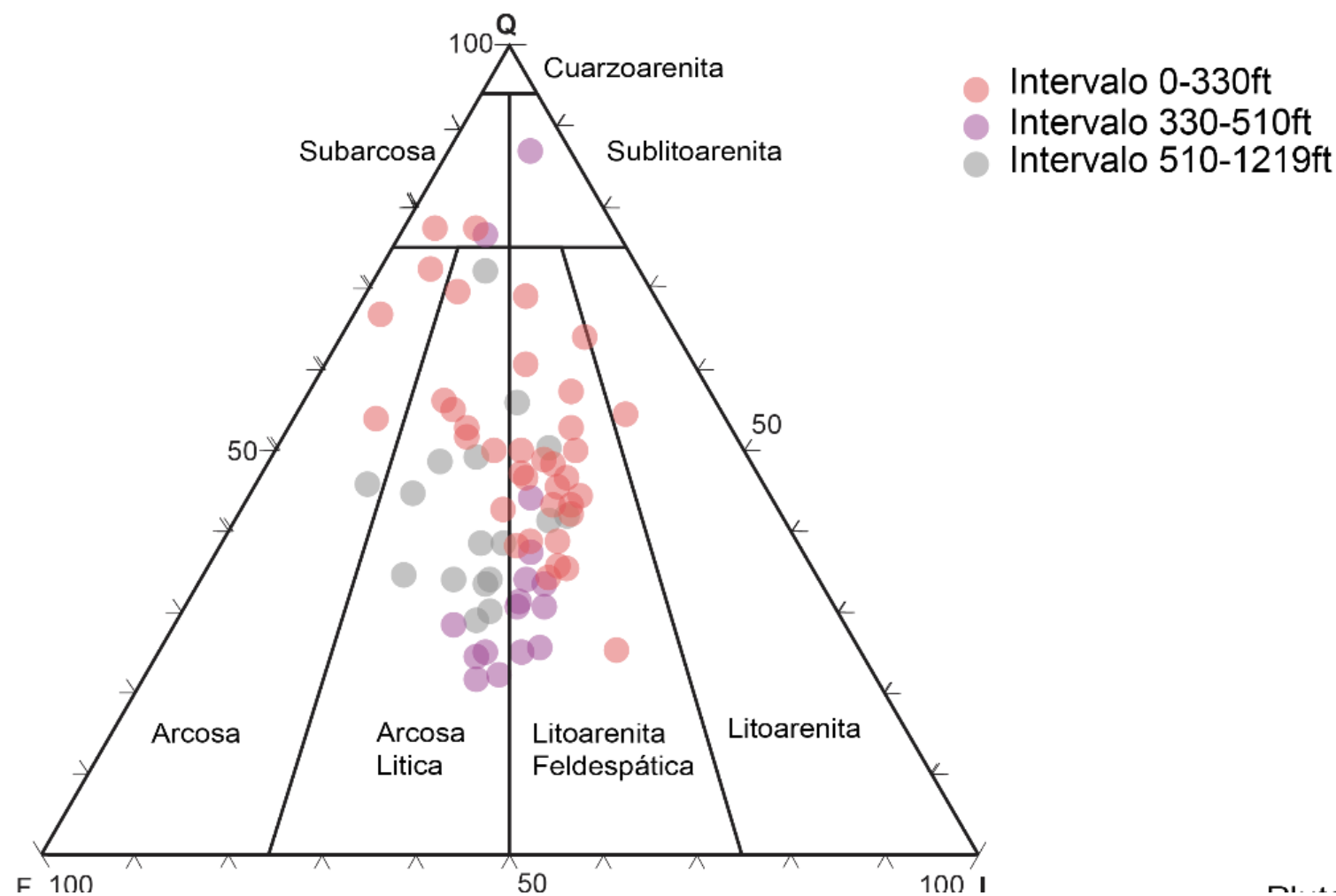
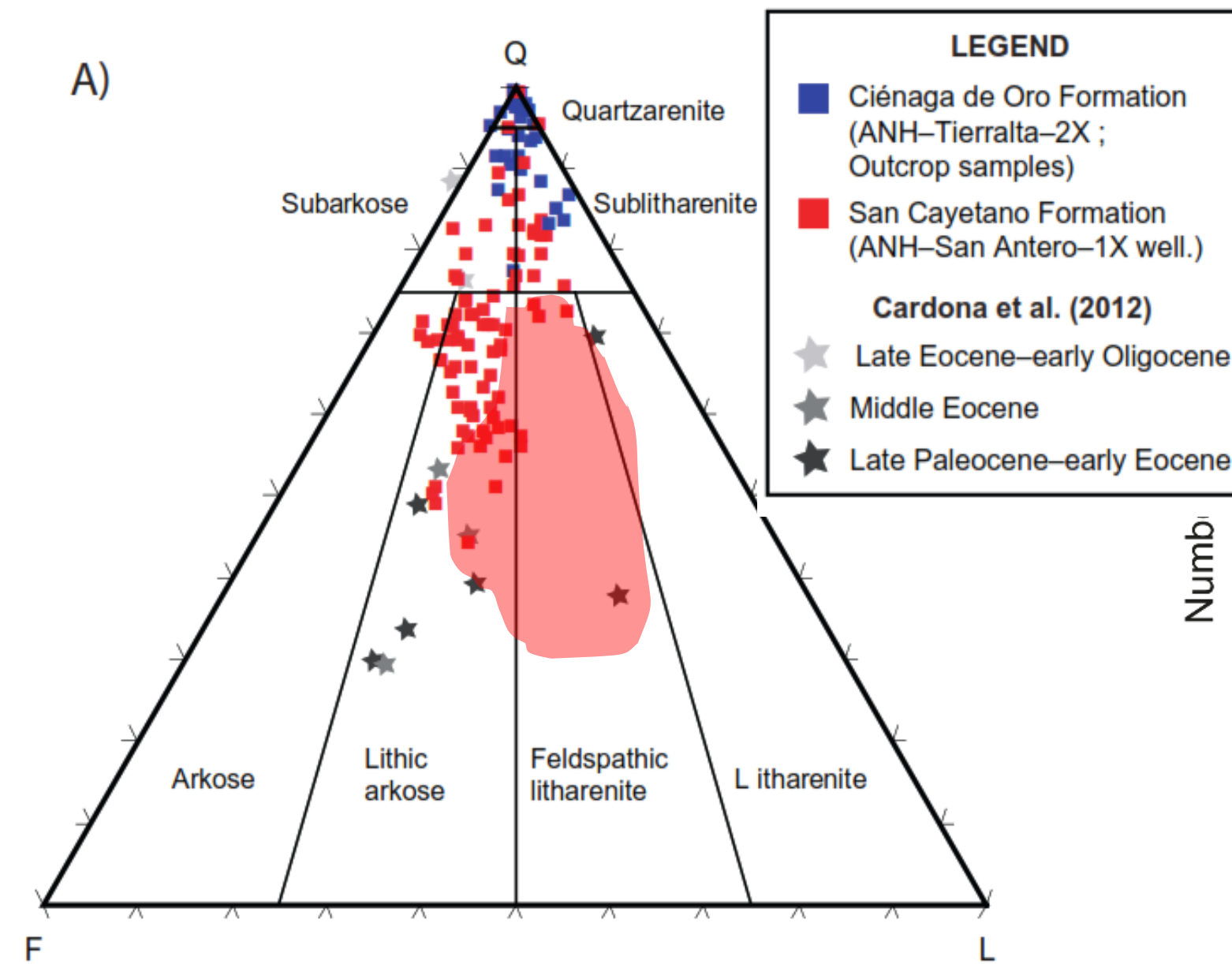
Mora-Bohorquez et al., 2018



G Shanmugam, 2018 (Slides, slumps debris flows, turbidite currents and contour currents: implications)

Provenance analysis for Early Eocene sandstones

petrographic evidence, such as the occurrence of feldspar, the content of apatite, and the presence of unstable mafic and ultramafic minerals, suggests that sediments for San Cayetano Formation came from igneous and metamorphic massifs located close to the depositional site.



Muñoz, 2021

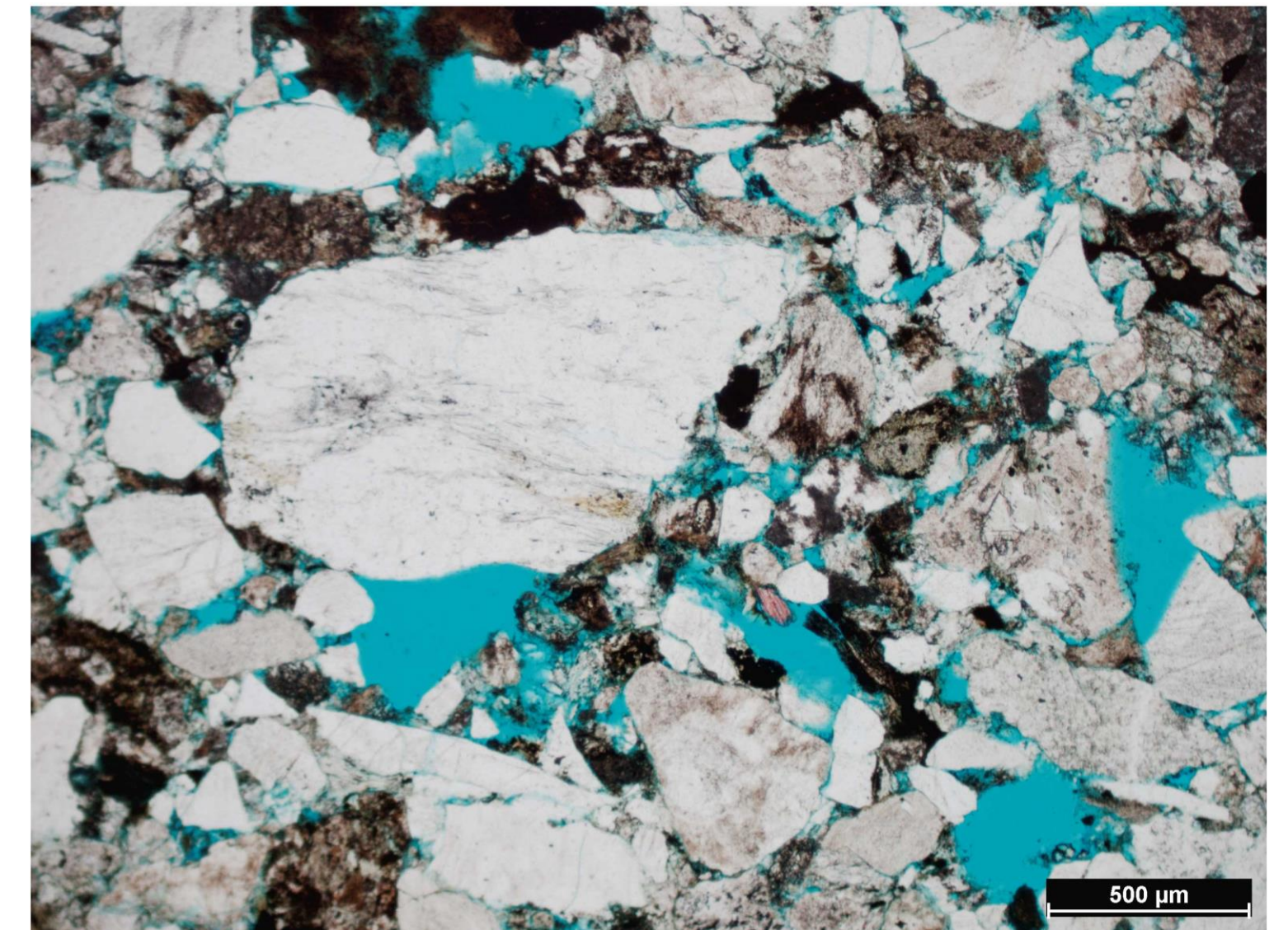
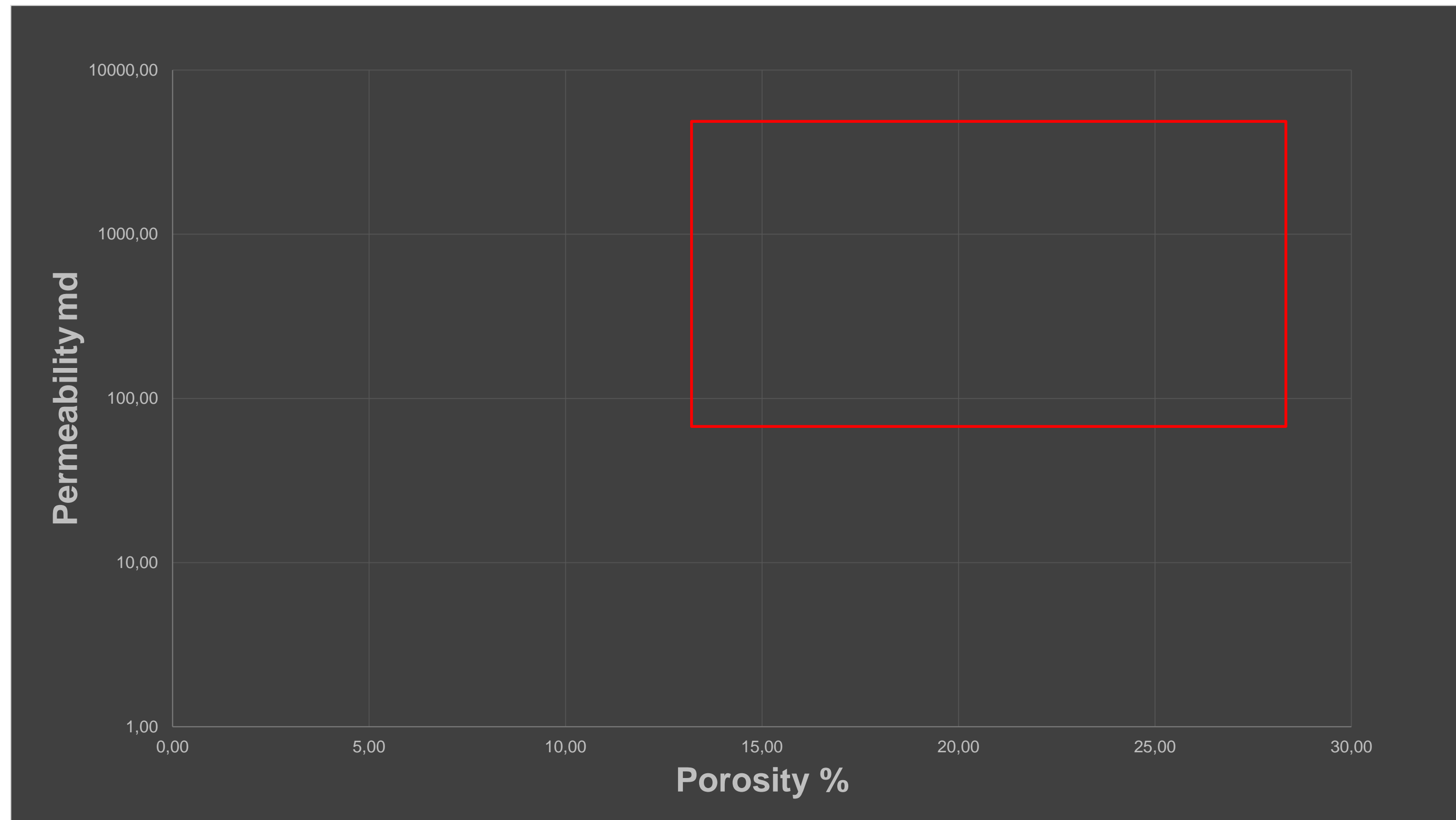
Early Eocene sedimentary rocks can be an excellent reservoir

~500 test of porosity and permeability

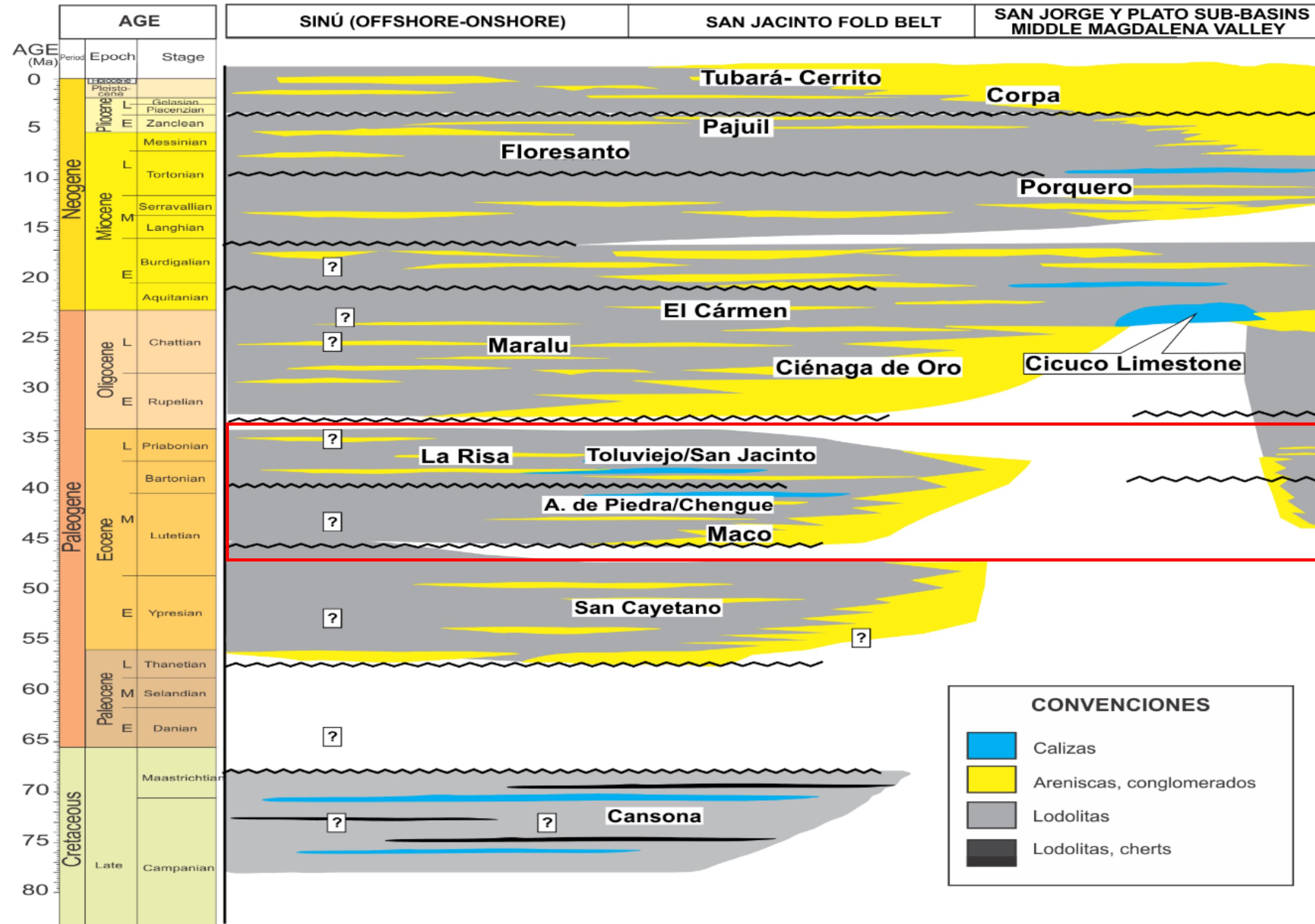
Average porosity 12%, maximum 25%

Average permeability 96 md in Gilbert delta, 5md in Turbidites.

~500 test of conventional



STRATIGRAPHY AND PALEOENVIRONMENTS



CONVENCIONES

- Calizas
- Areniscas, conglomerados
- Lodolitas
- Lodolitas, cherts

• Middle to late Eocene

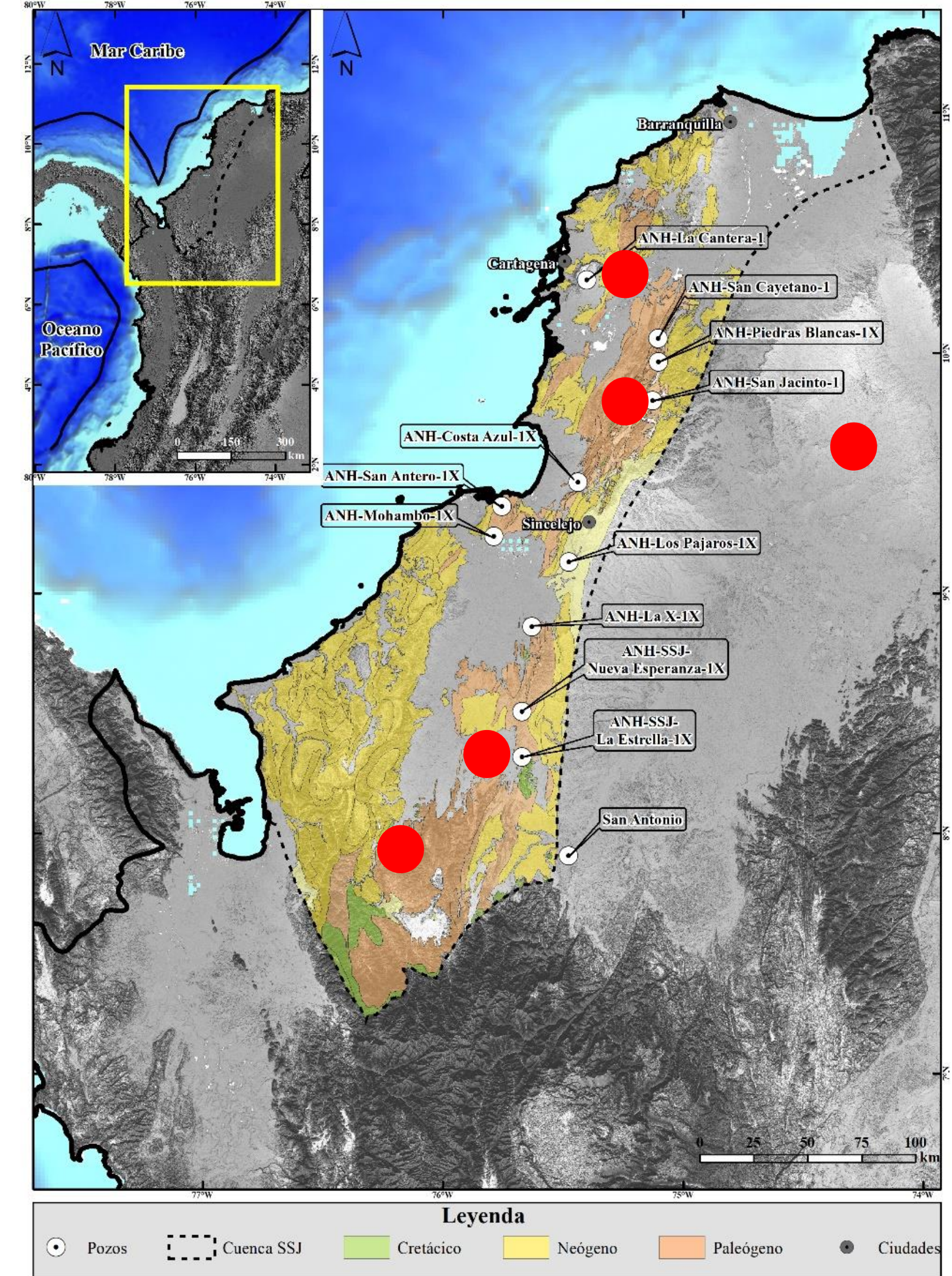
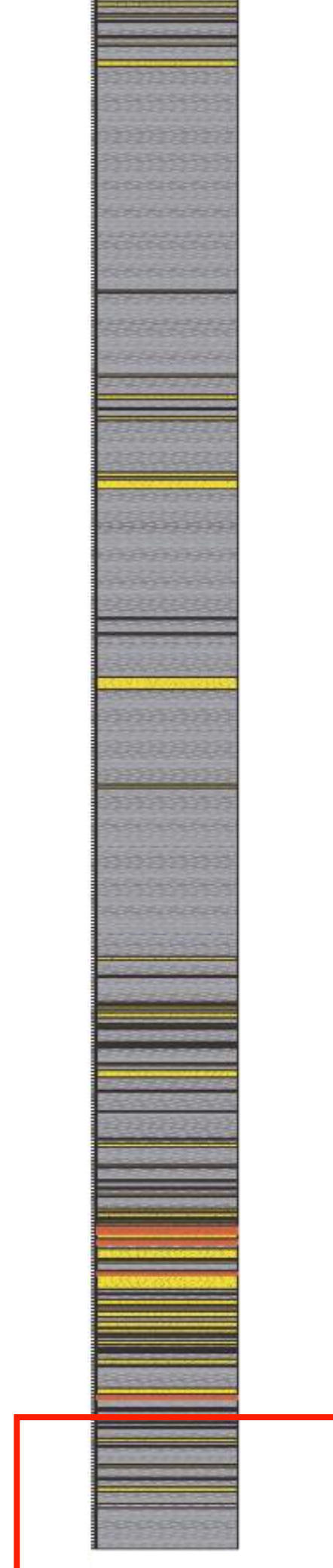
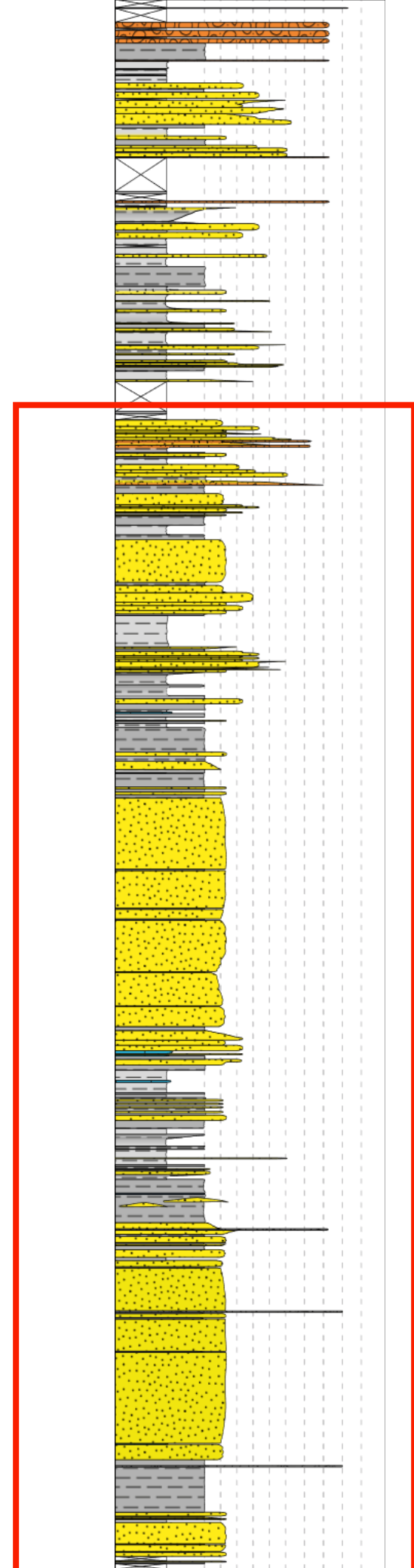
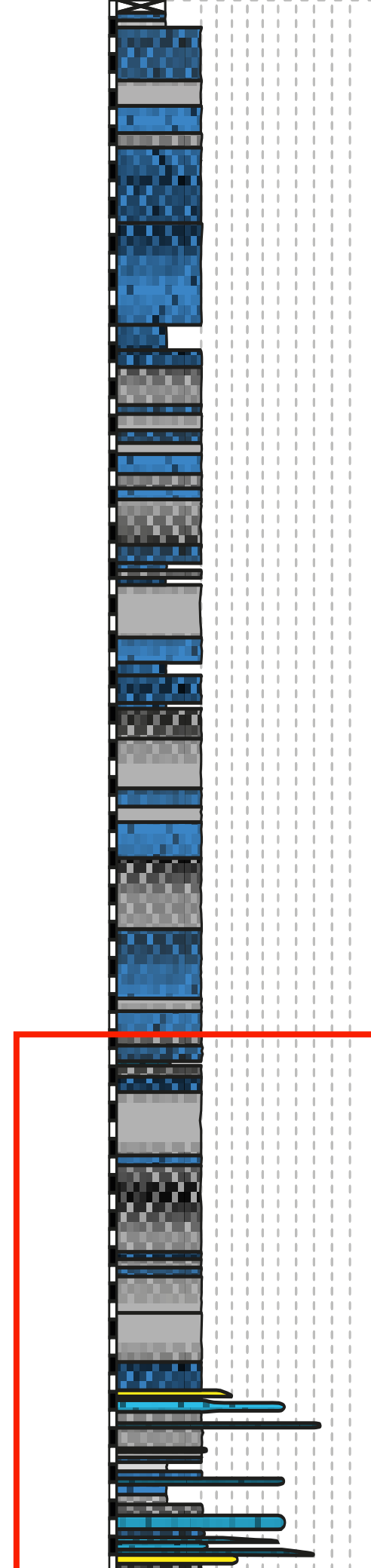
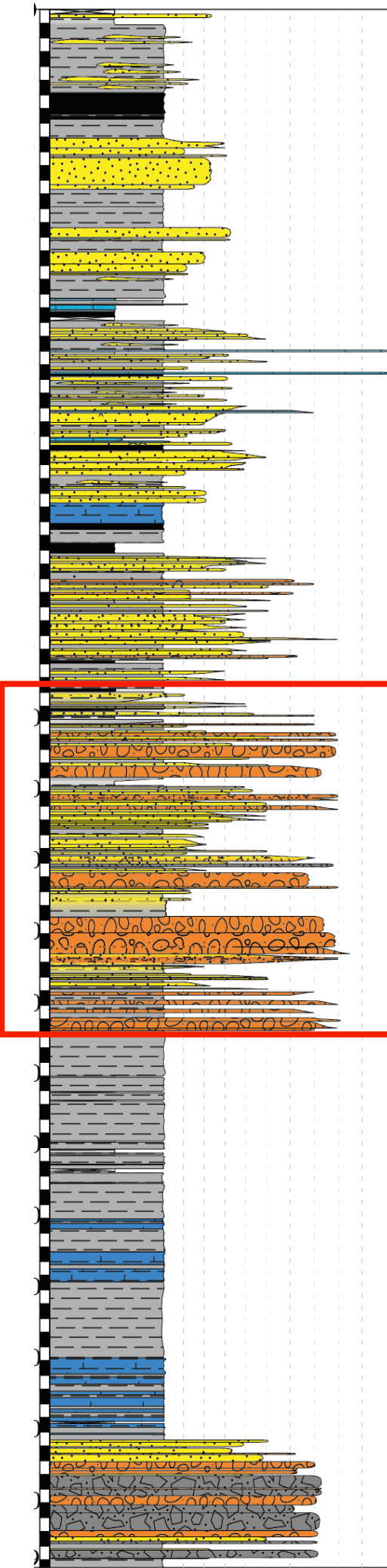
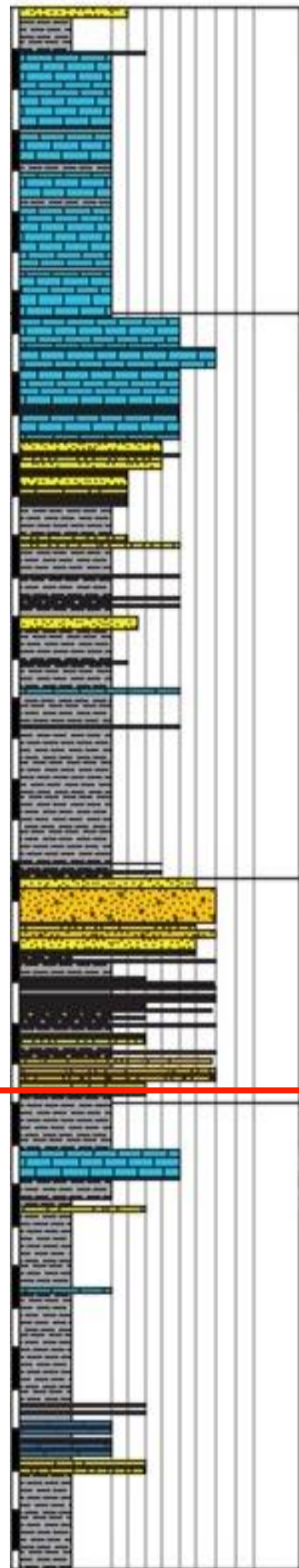
ANH-TIERRALTA-1X
8800'

ANH-SSJ-LA ESTRELA-1X
2190,9'

ANH-SAN JACINTO
1725'

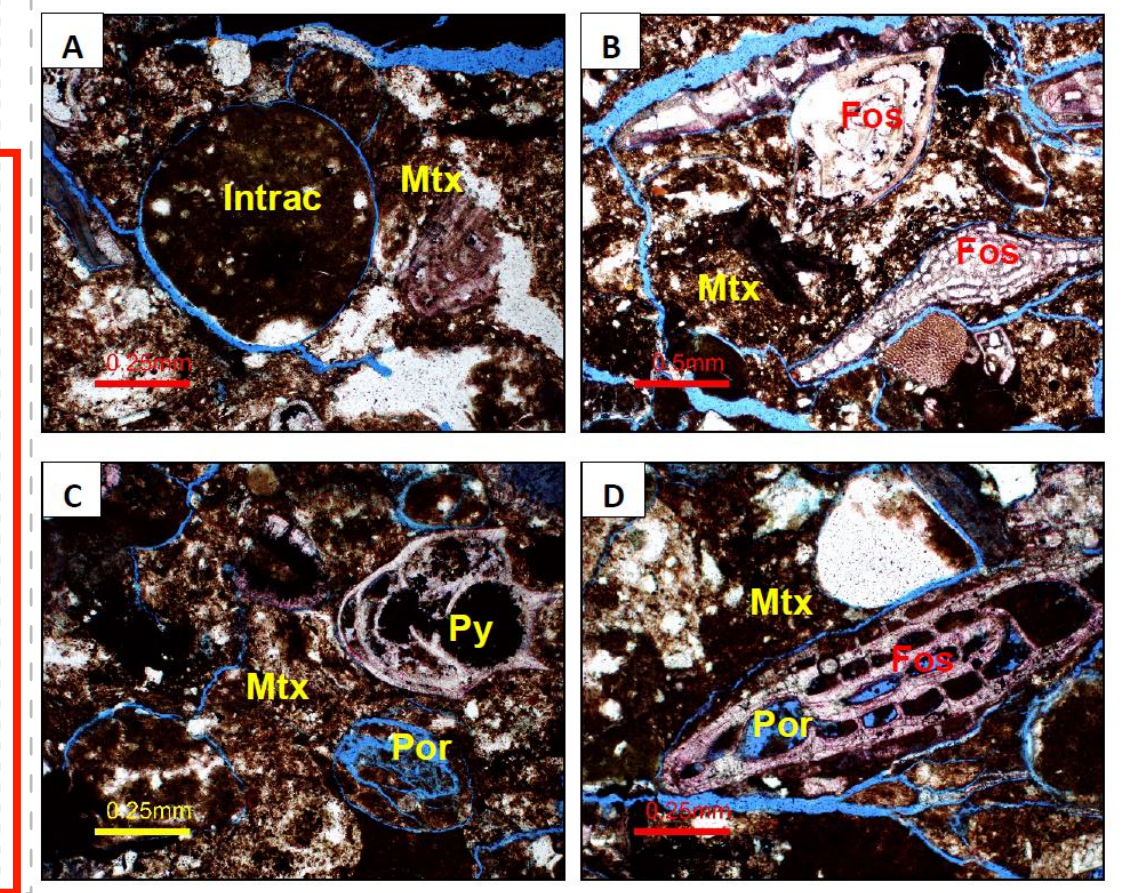
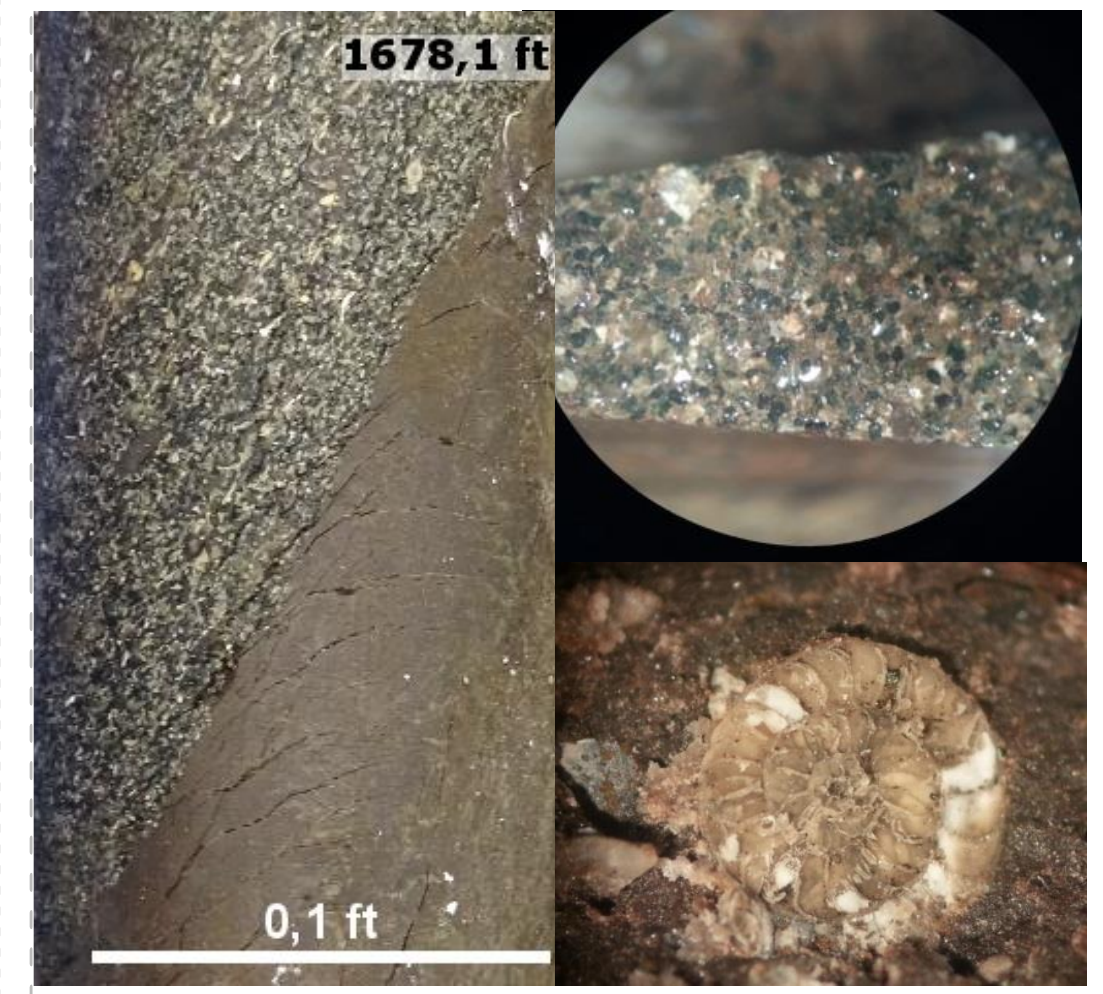
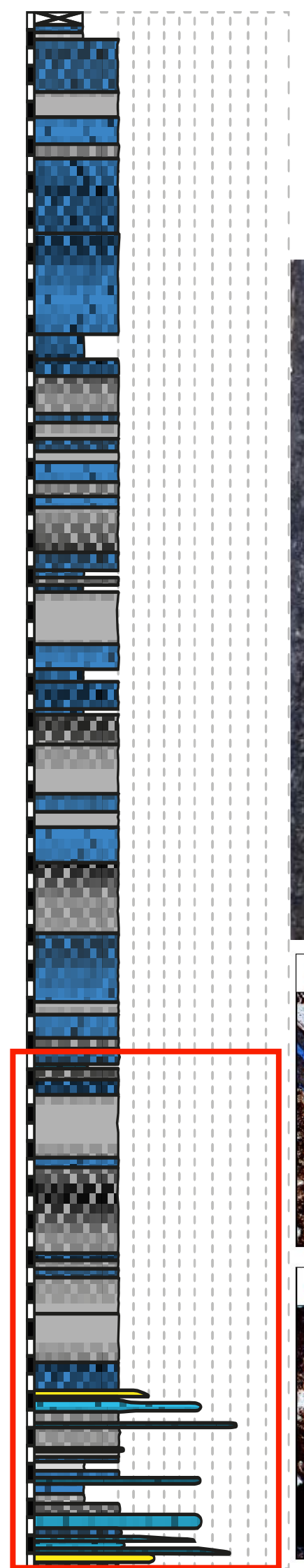
ANH-LA CANTERA
1885,6''

ANH-PLATO-1X
21500'

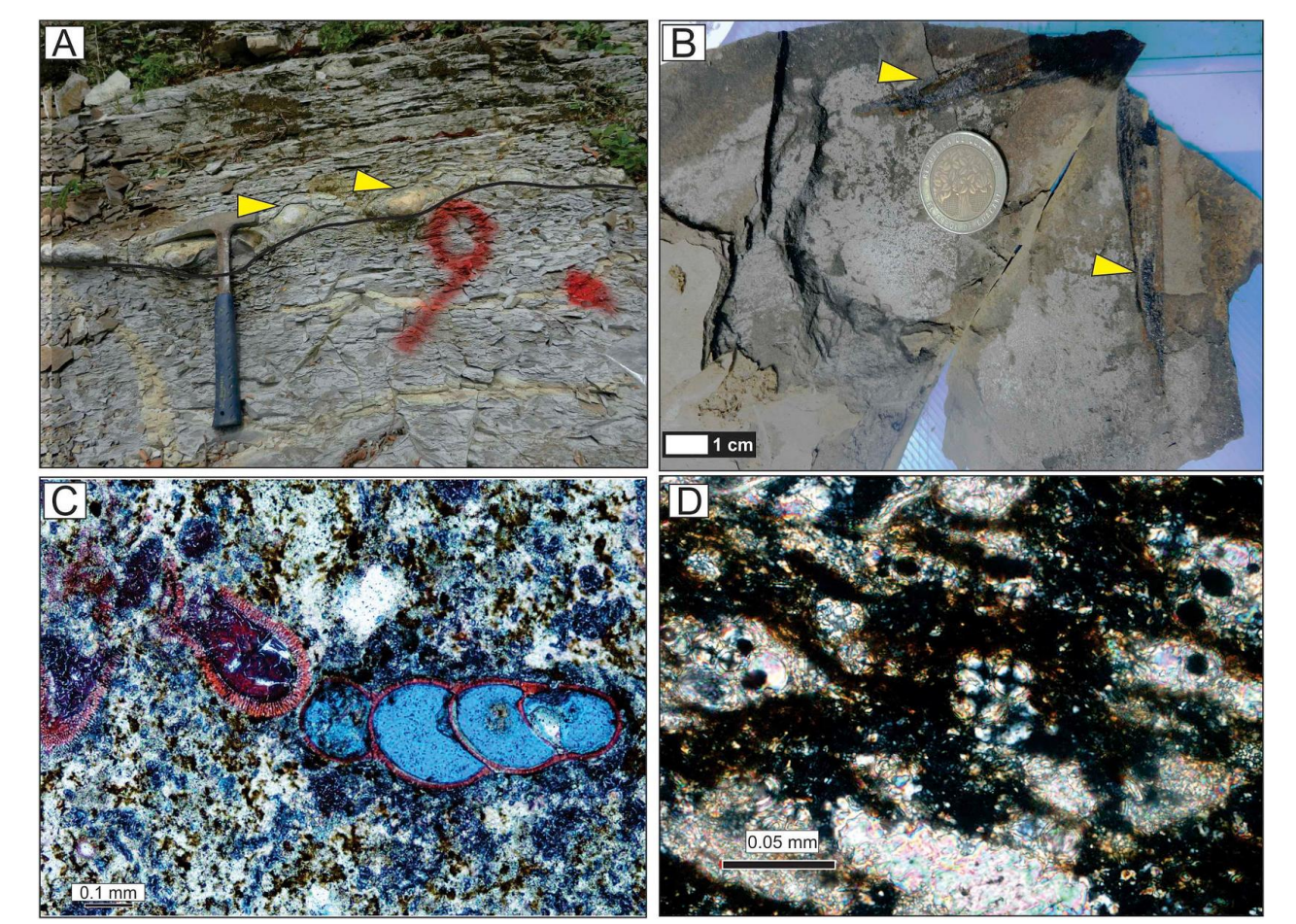
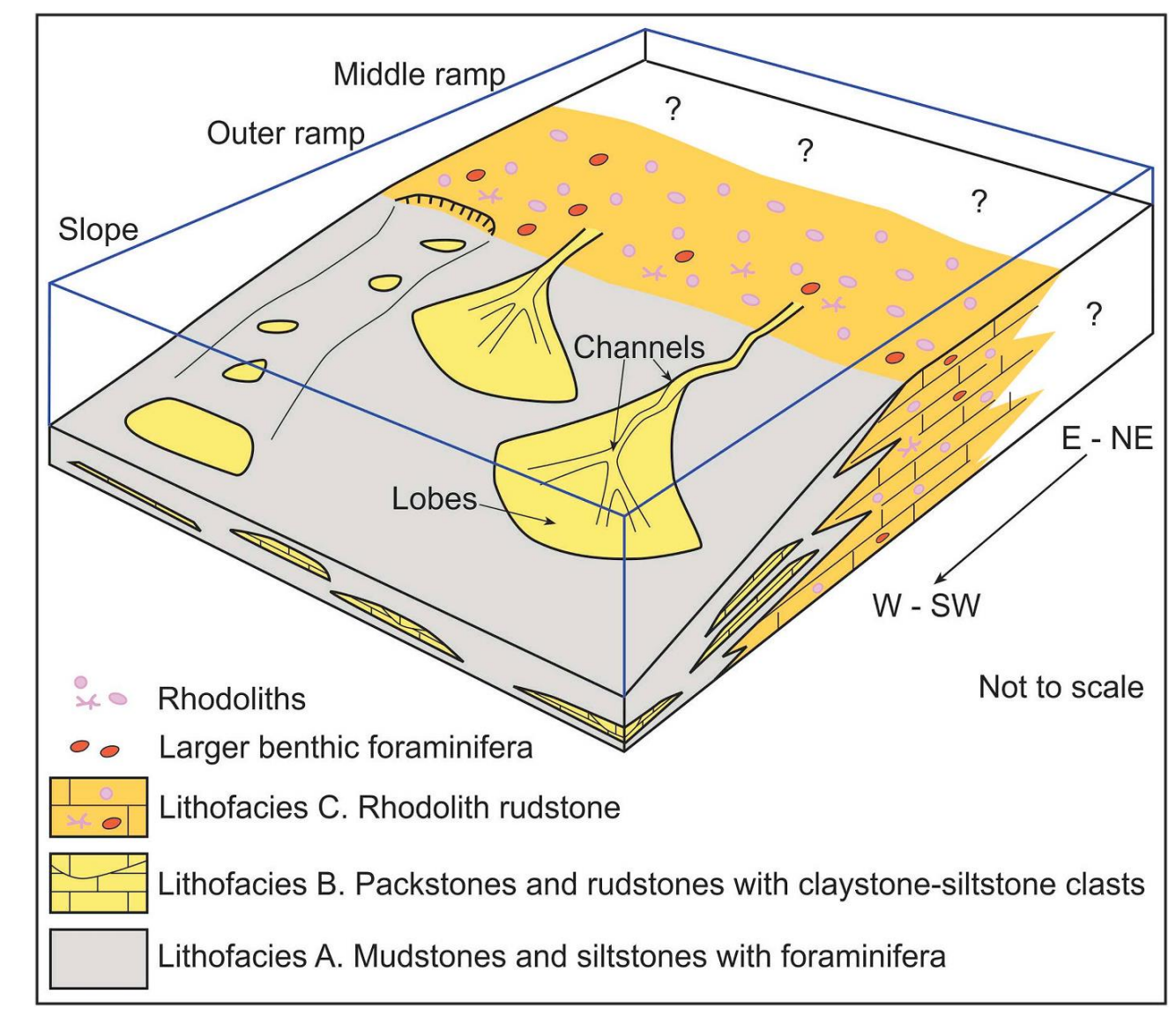
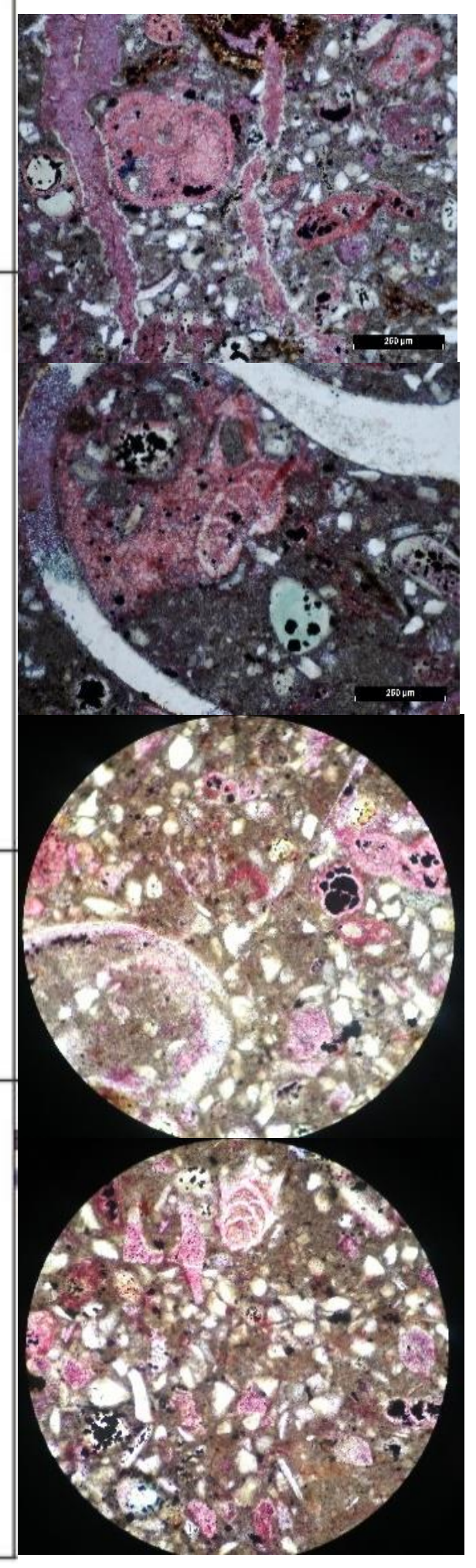
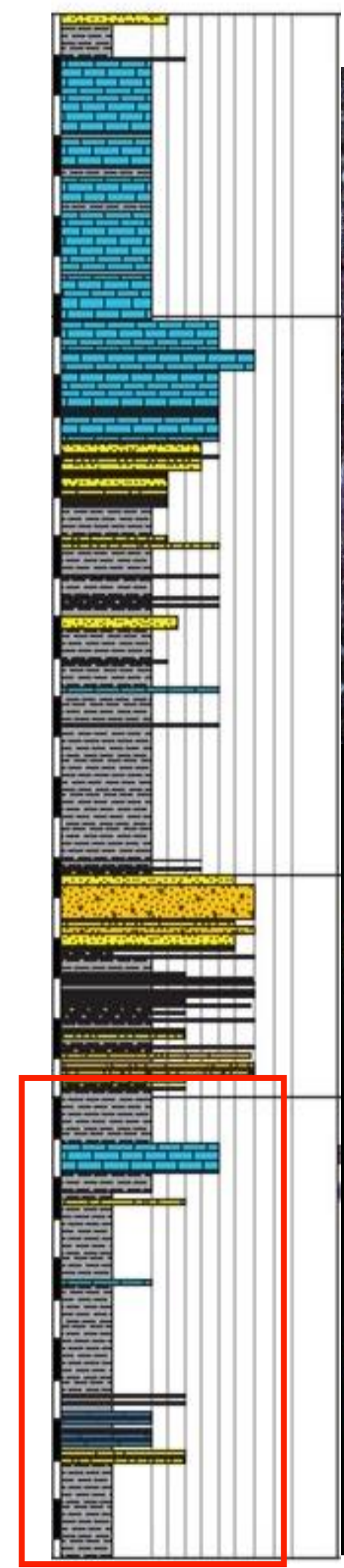


• Carbonate ramp and mixed ramp facies in the ANH-SAN JACINTO and ANH-TIERRALTA-1X wells

ANH-SAN JACINTO



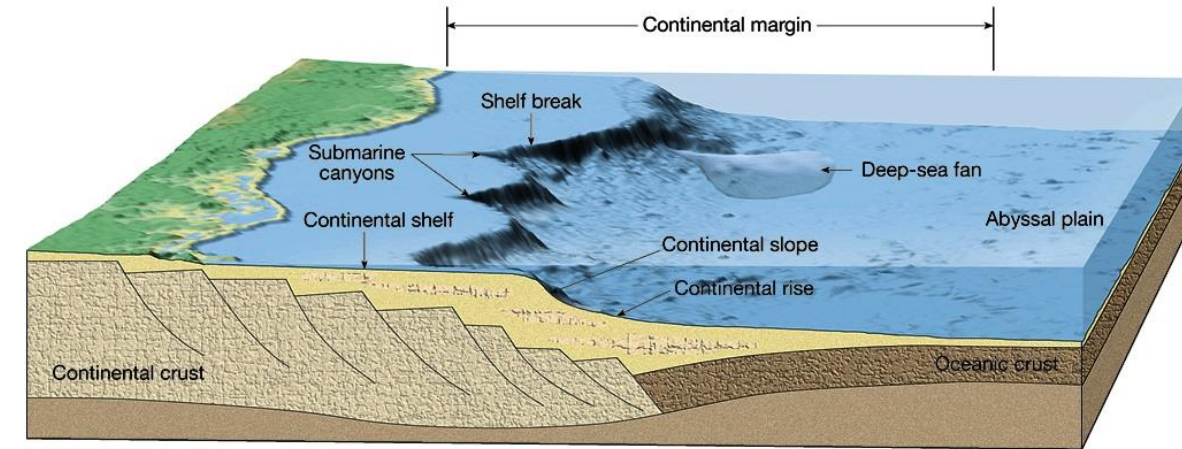
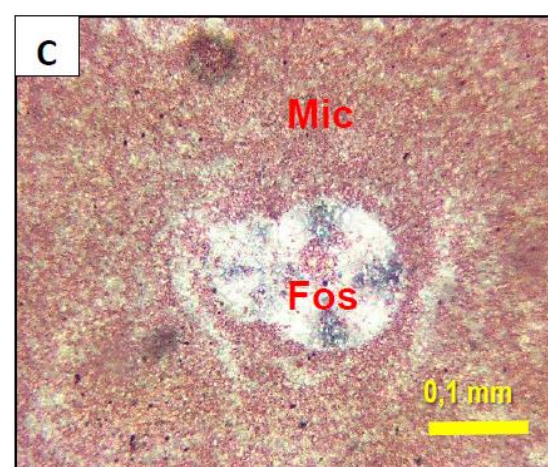
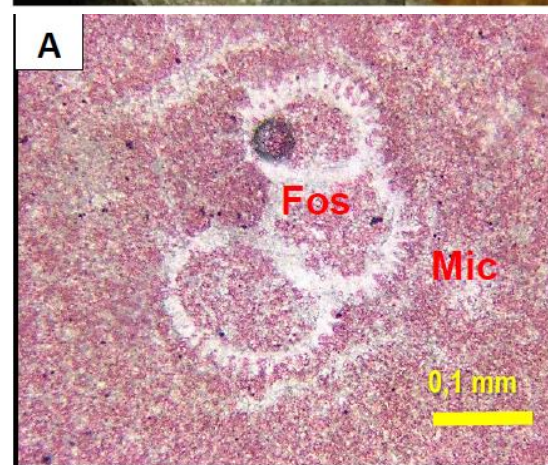
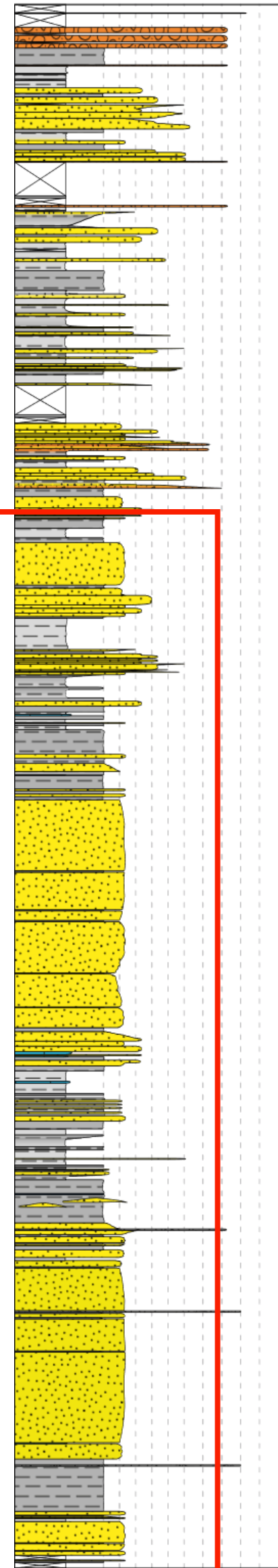
ANH-TIERRALTA-1X



Salazar-Ortiz et al., 2020

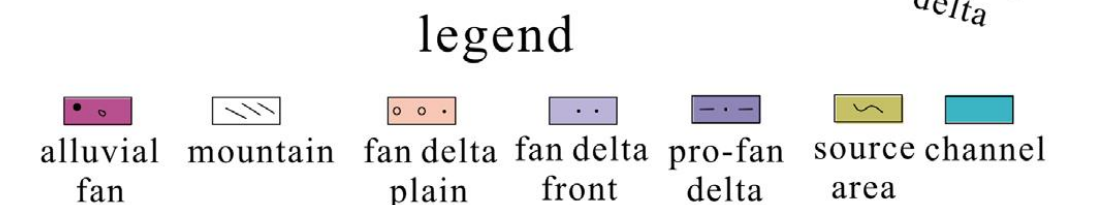
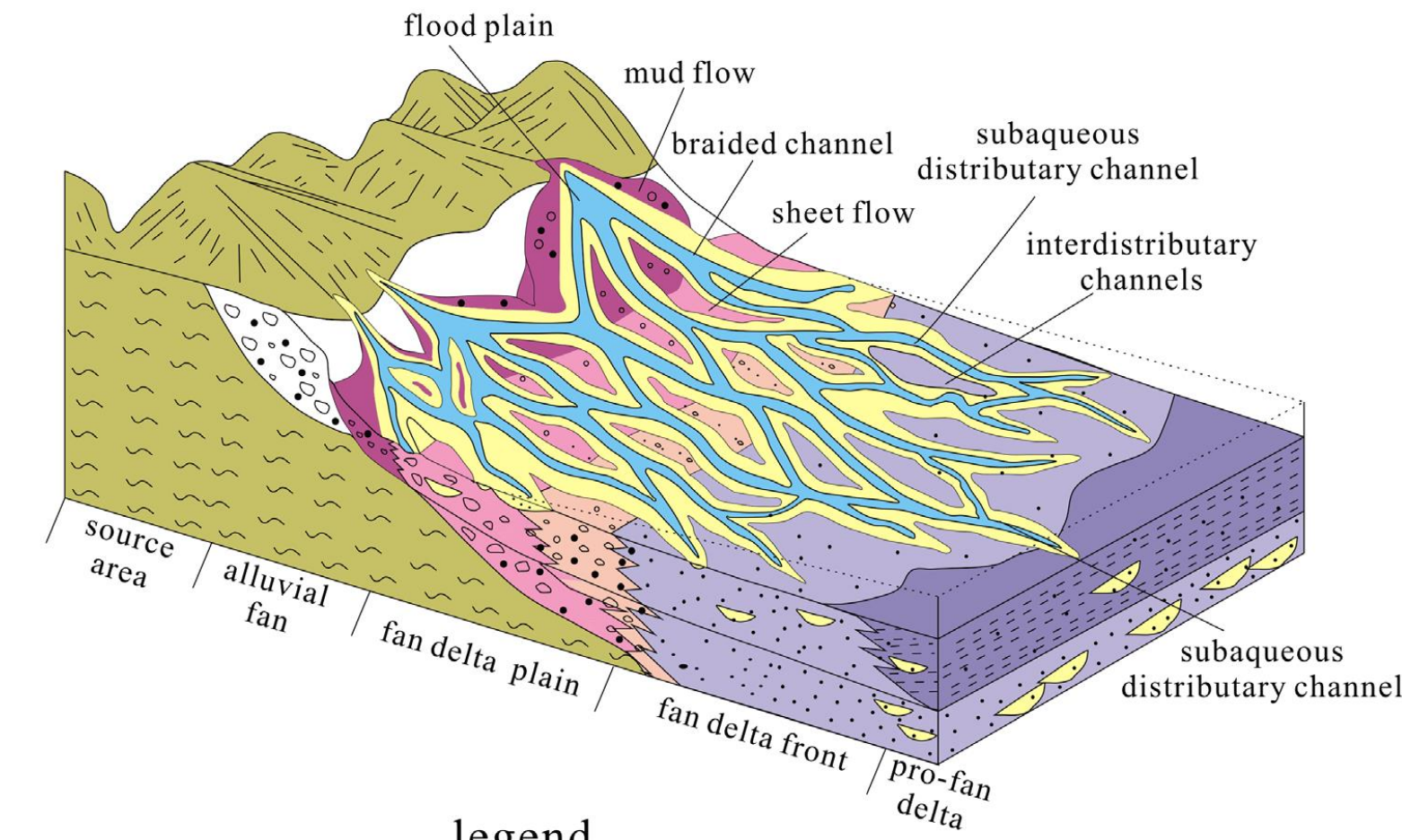
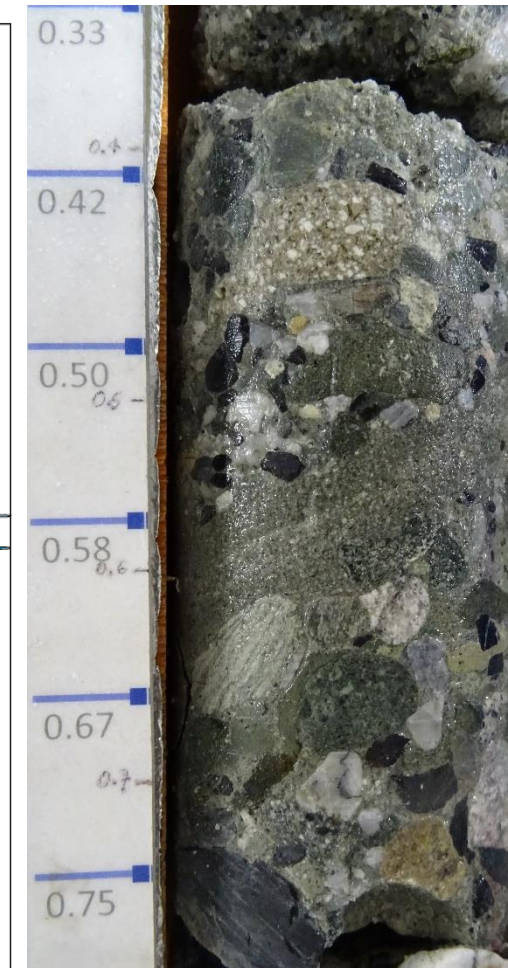
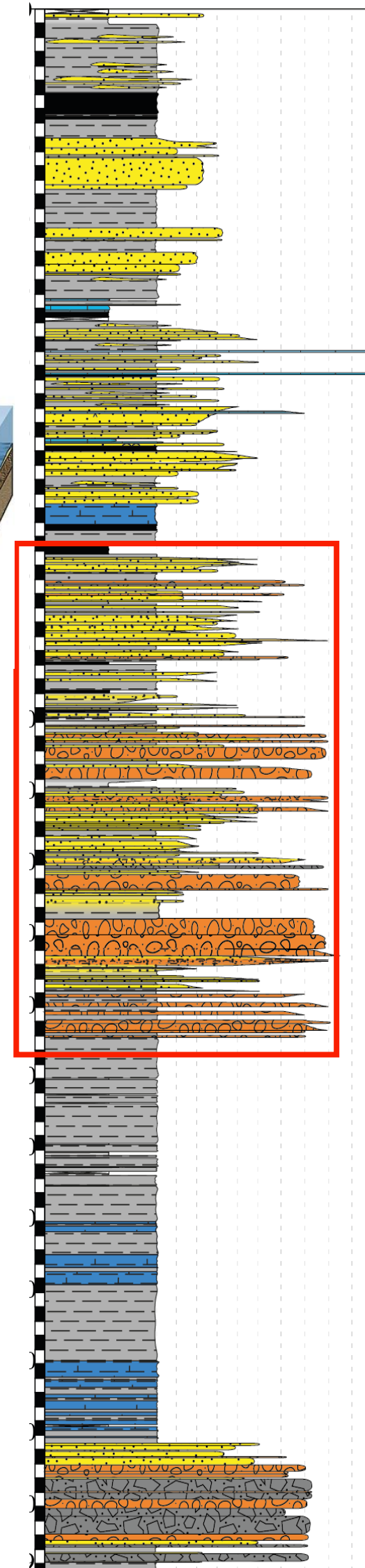
Shallow marine and grain delta facies in the LA CANTERA and ANH-SSJ-LA ESTRELLA-1X wells

ANH-LA CANTERA



Toluviejo-Chengue Facies

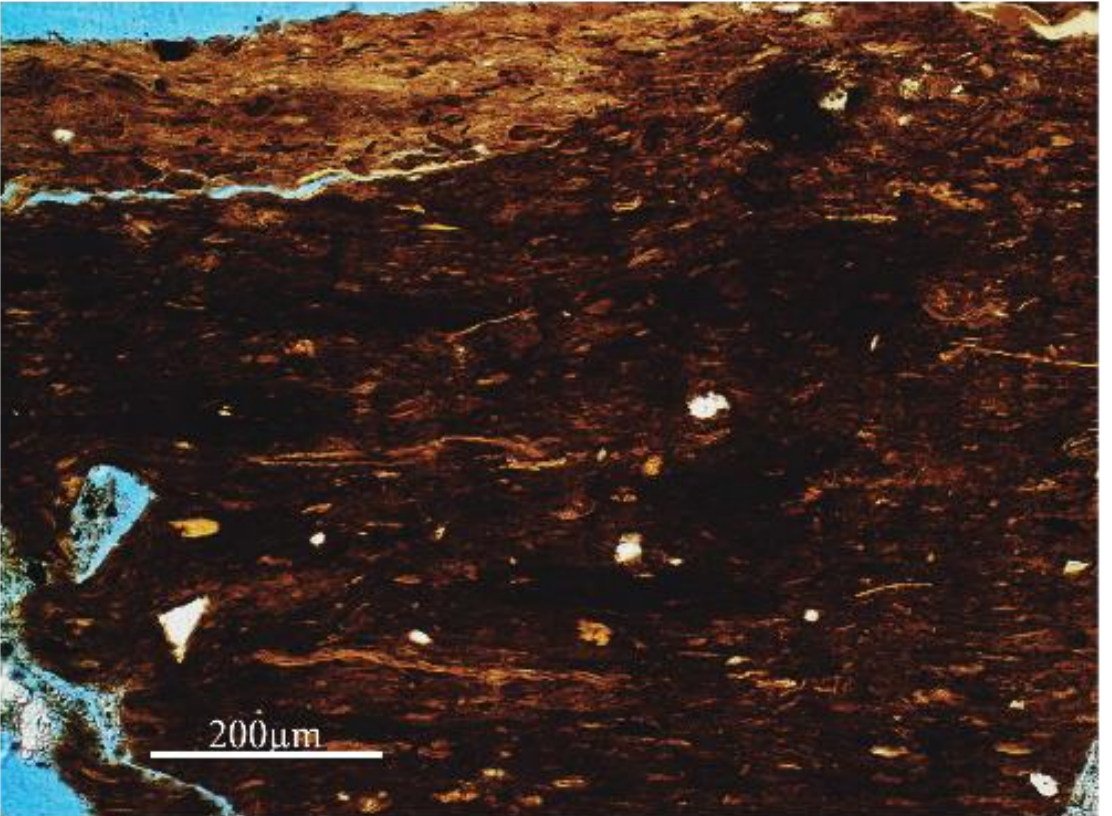
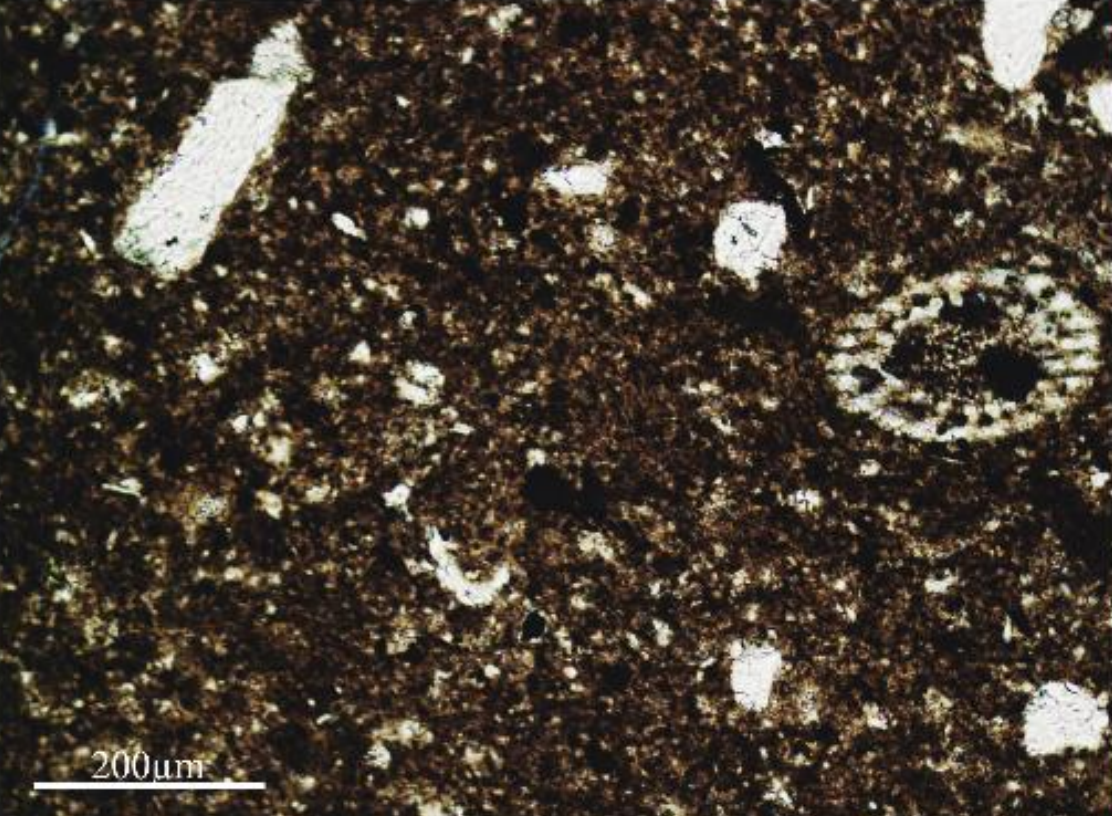
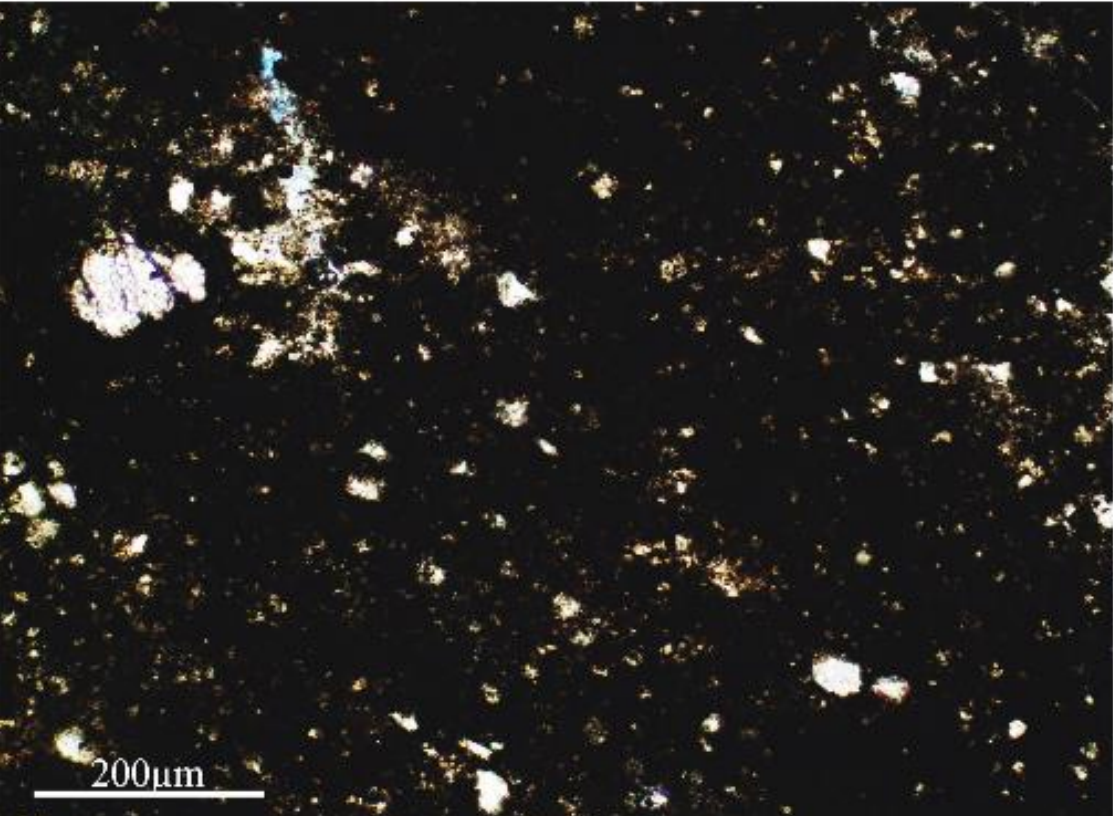
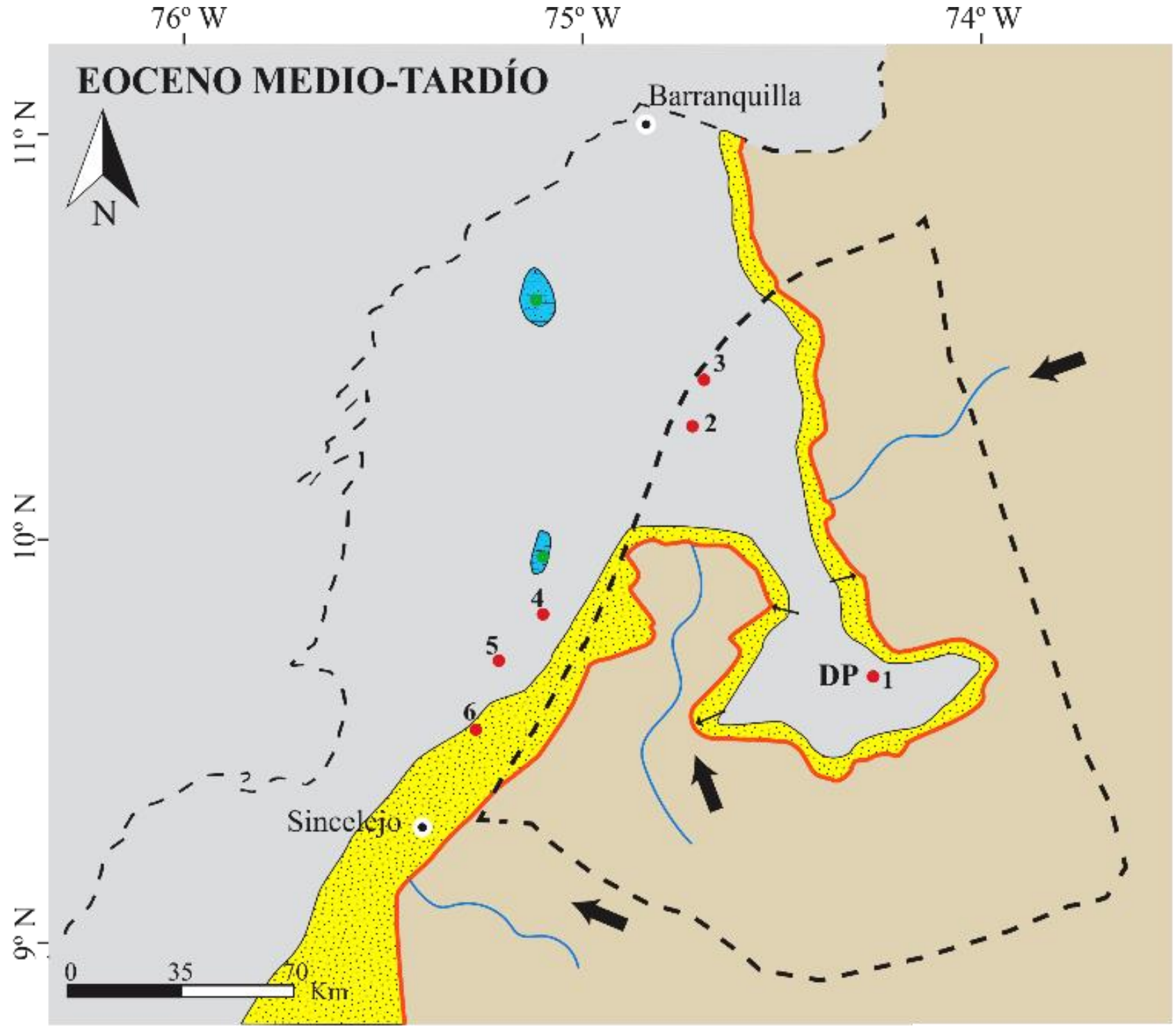
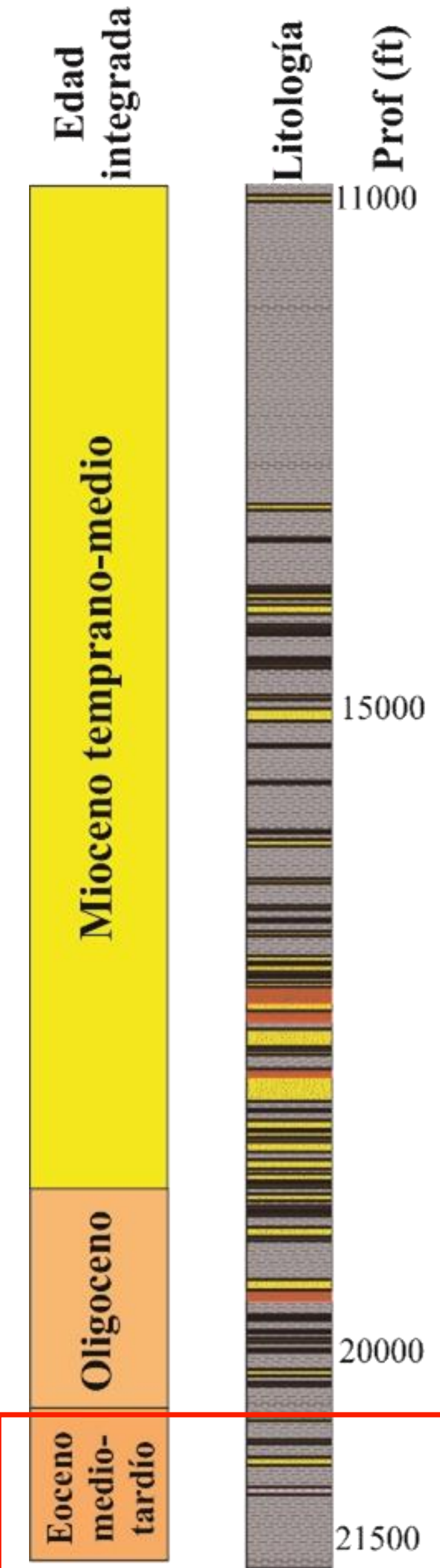
ANH-SSJ-LA ESTRELLA-1X



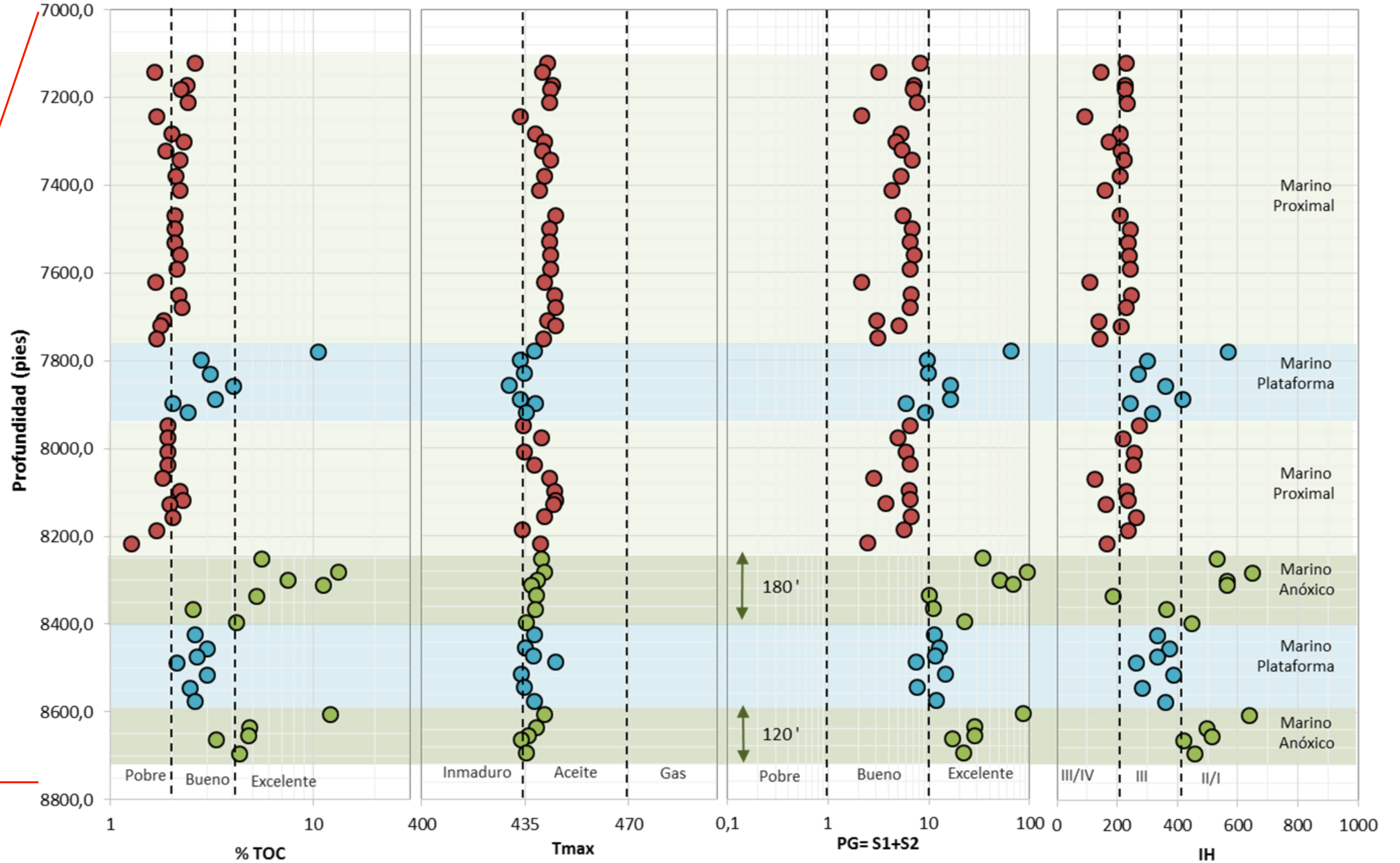
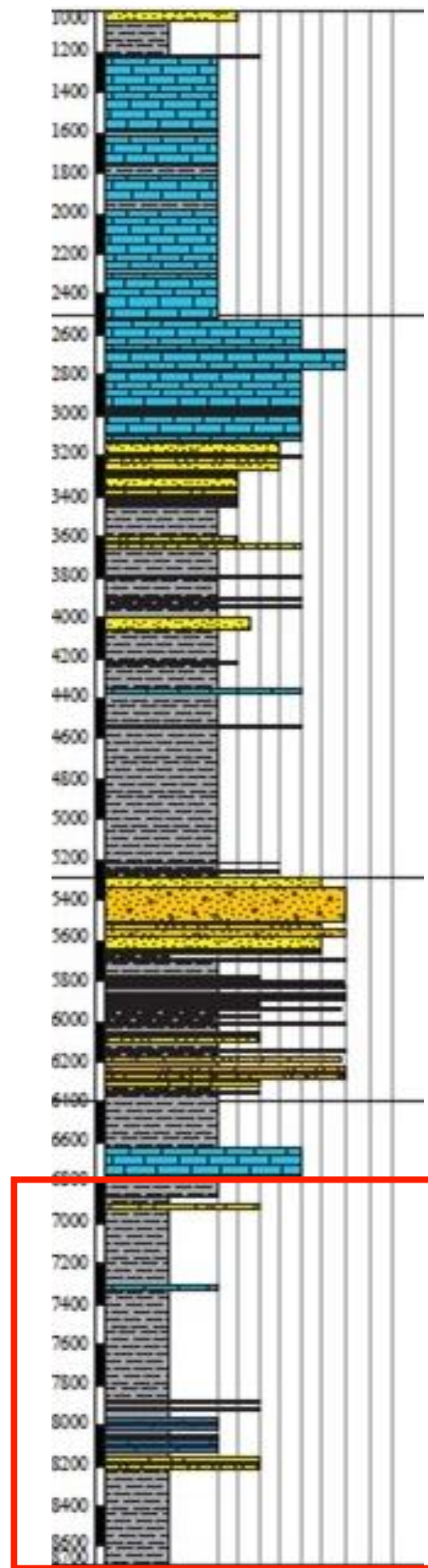
Hongwei Kuang et al., 2017

San Jacinto Formation facies

Restricted bay in the Plato Sub-basin

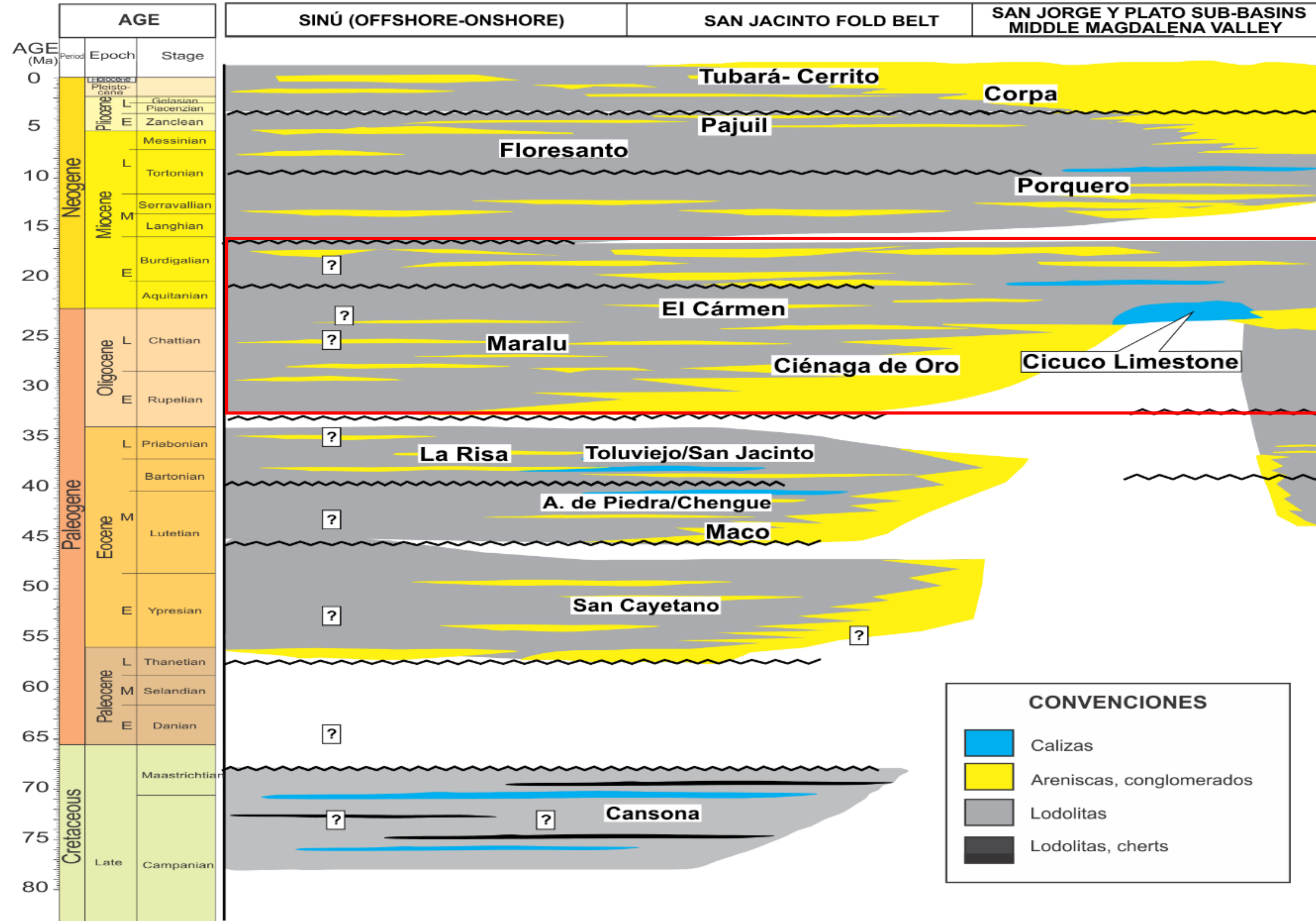


Eocene? Source rock in ANH-TIERRALTA-1X



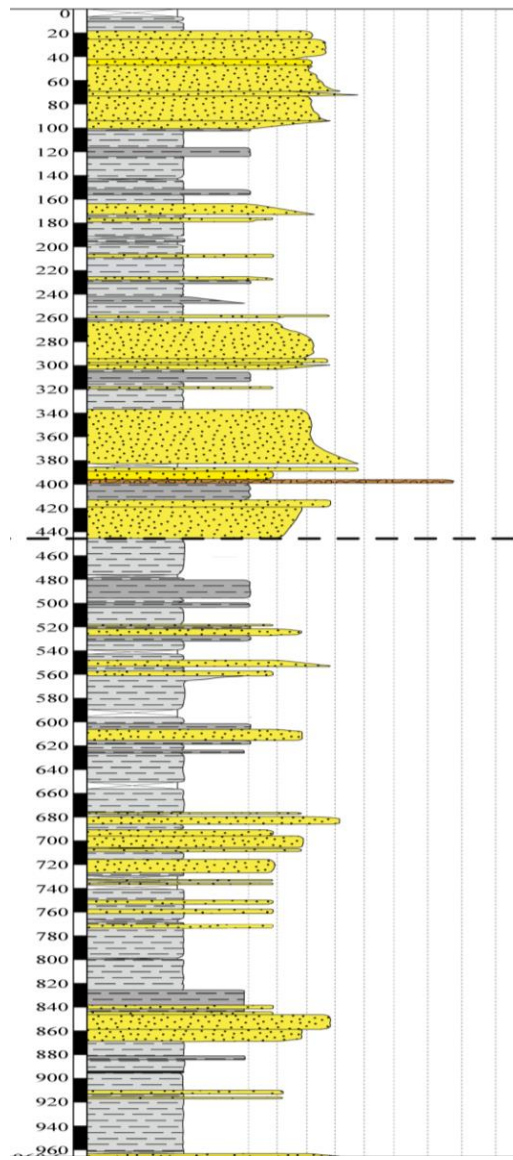
ANH-Tierralta-2-X-P

STRATIGRAPHY AND PALEOENVIRONMENTS

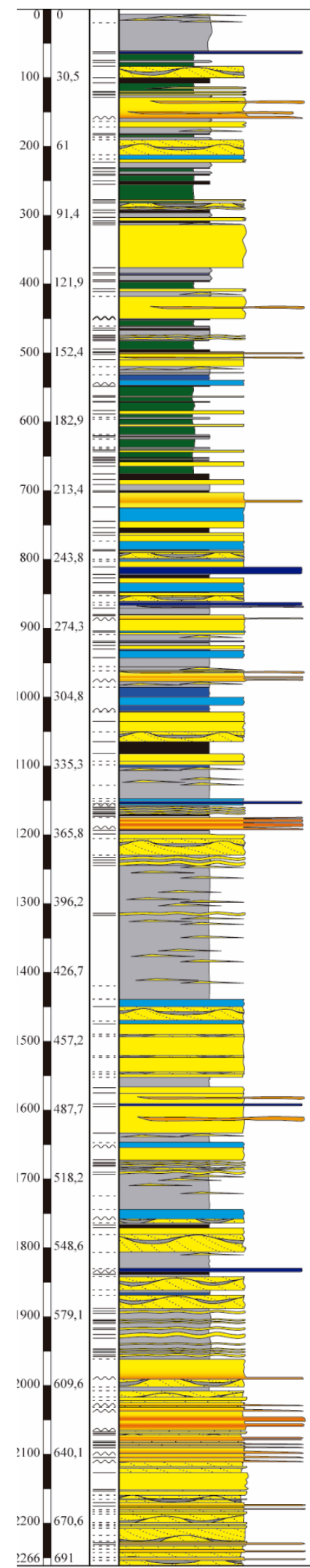


STRATIGRAPHY AND PALEOENVIRONMENTS

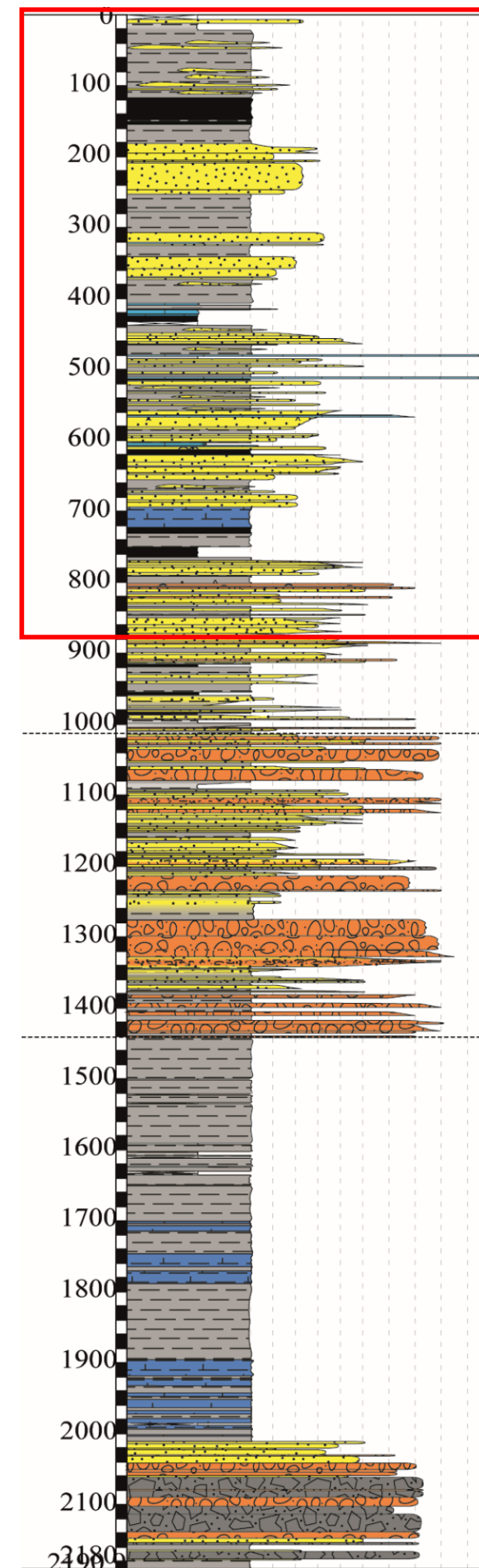
ANH-SAN ANTONIO
960,6'



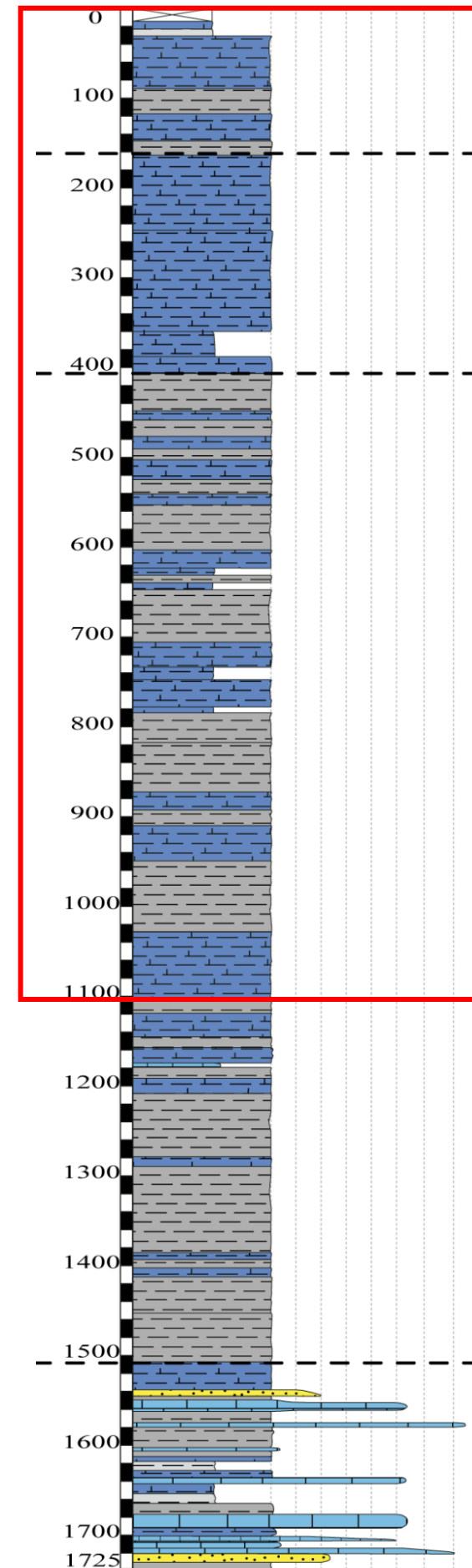
ANH-SSJ-NUEVA ESPERANZA
2266'



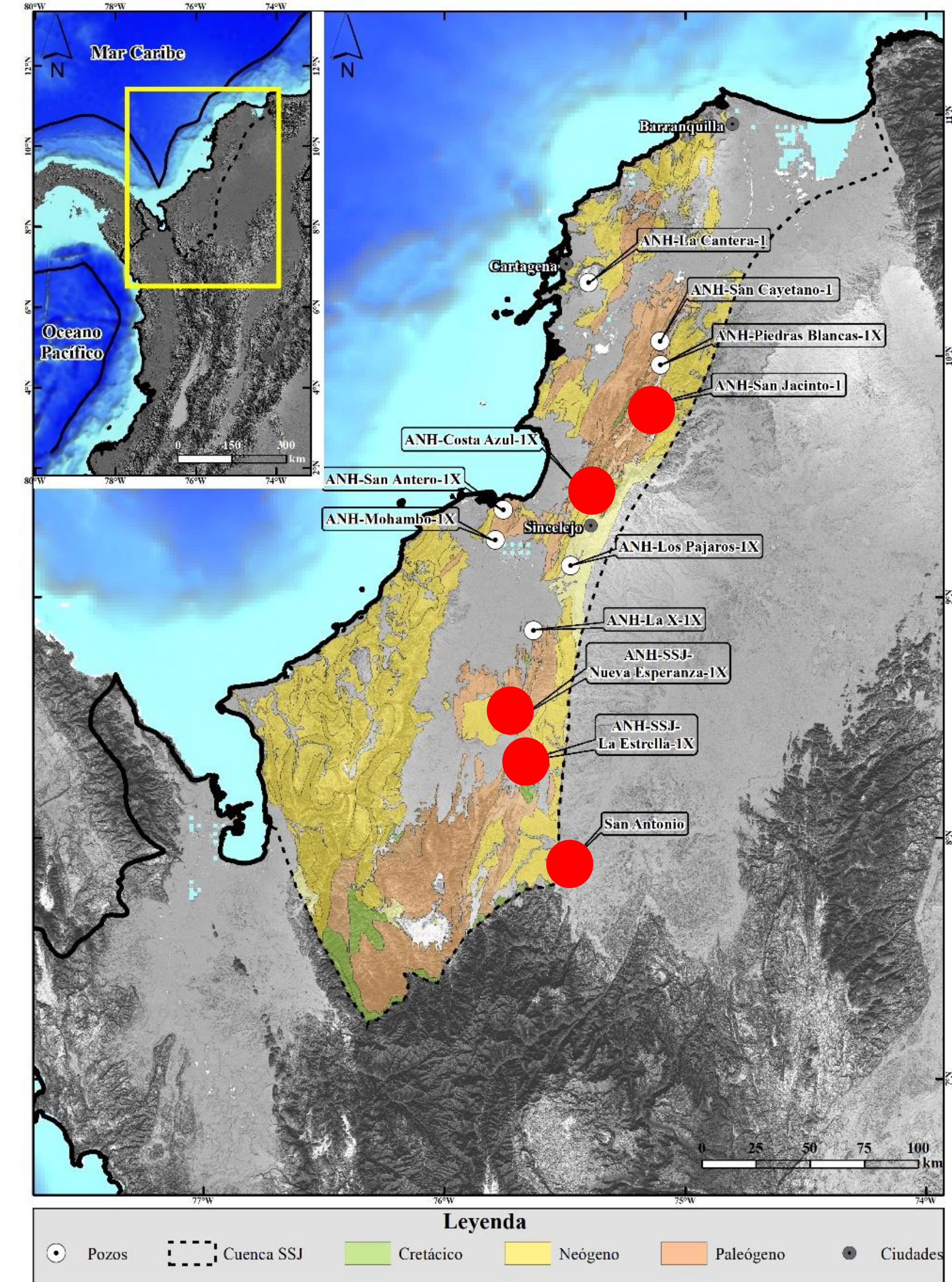
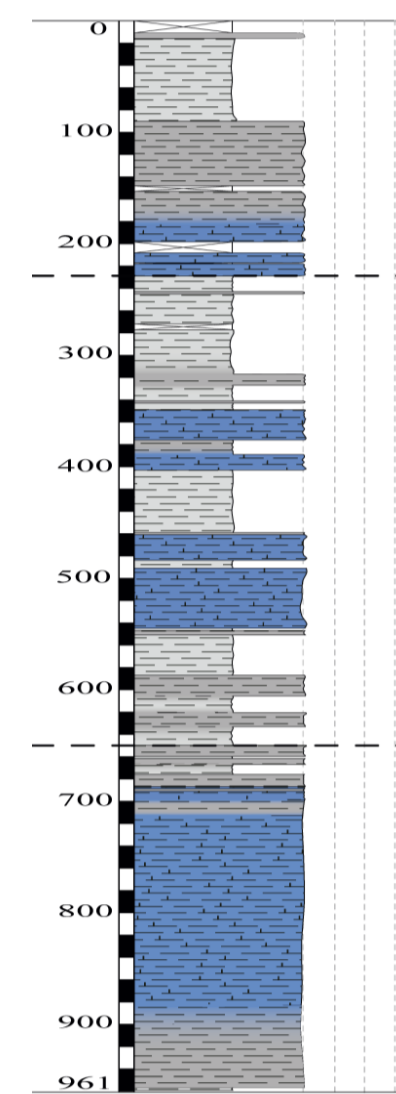
ANH-SSJ-LA ESTRELA-1X
2190,9'



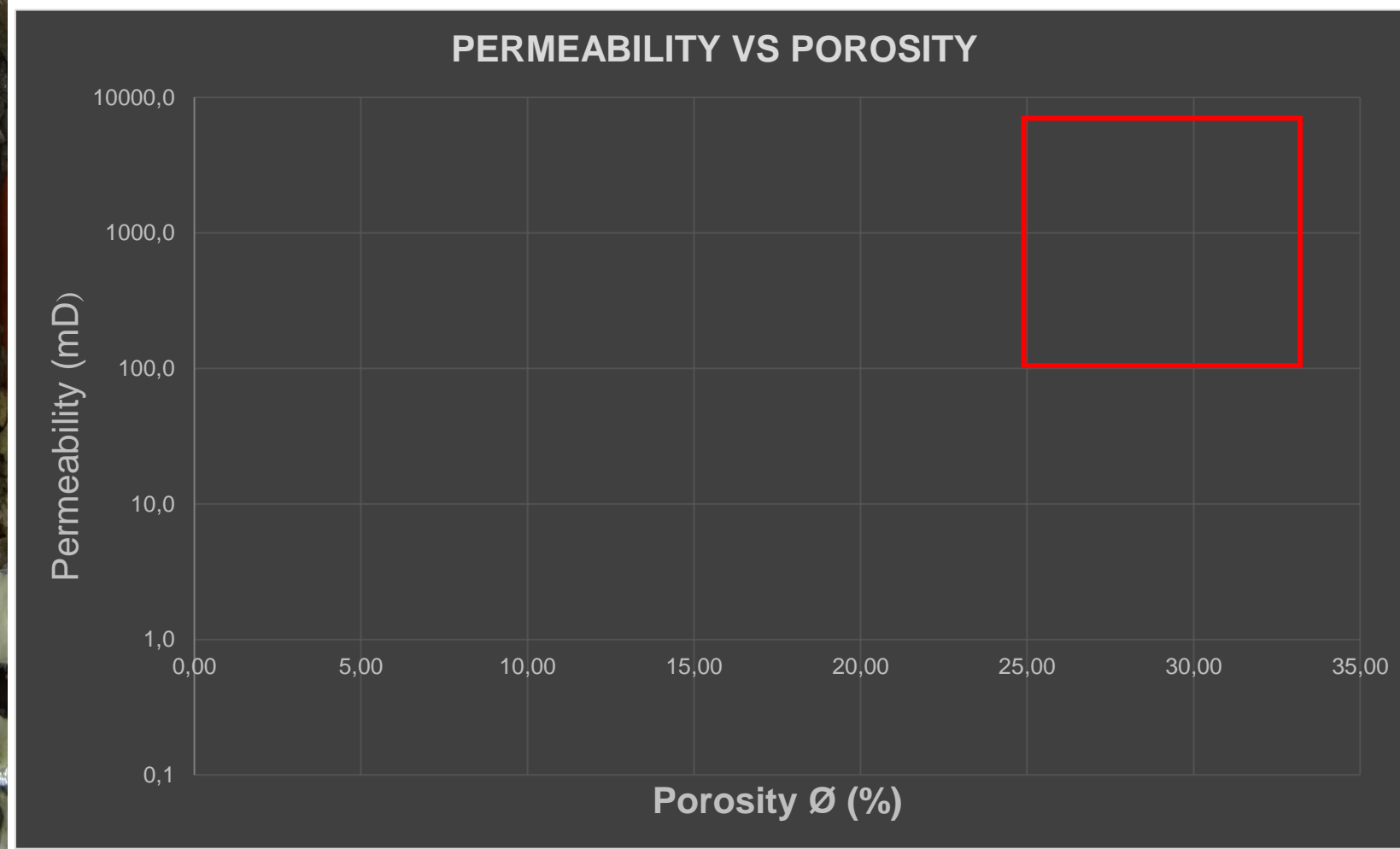
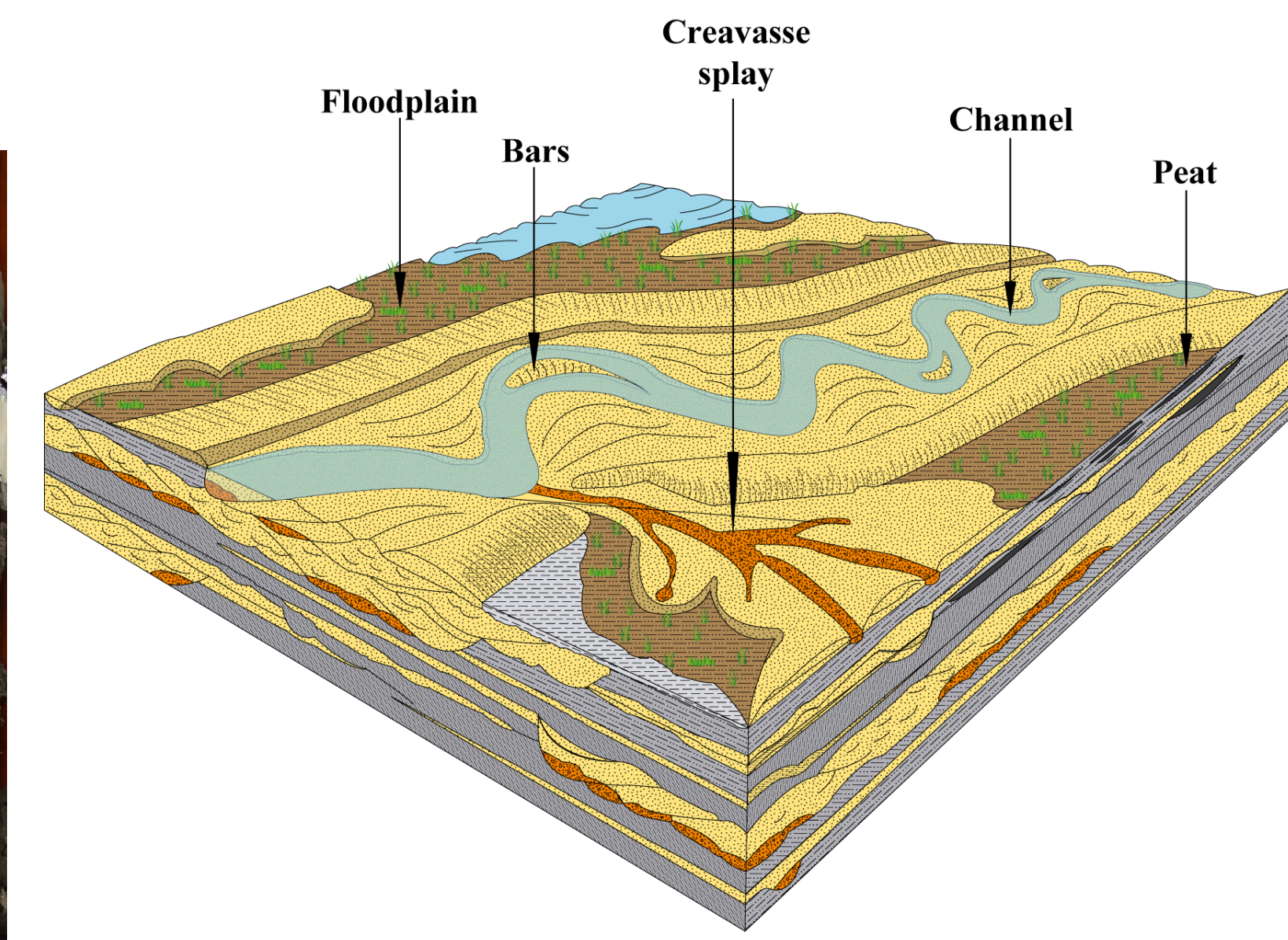
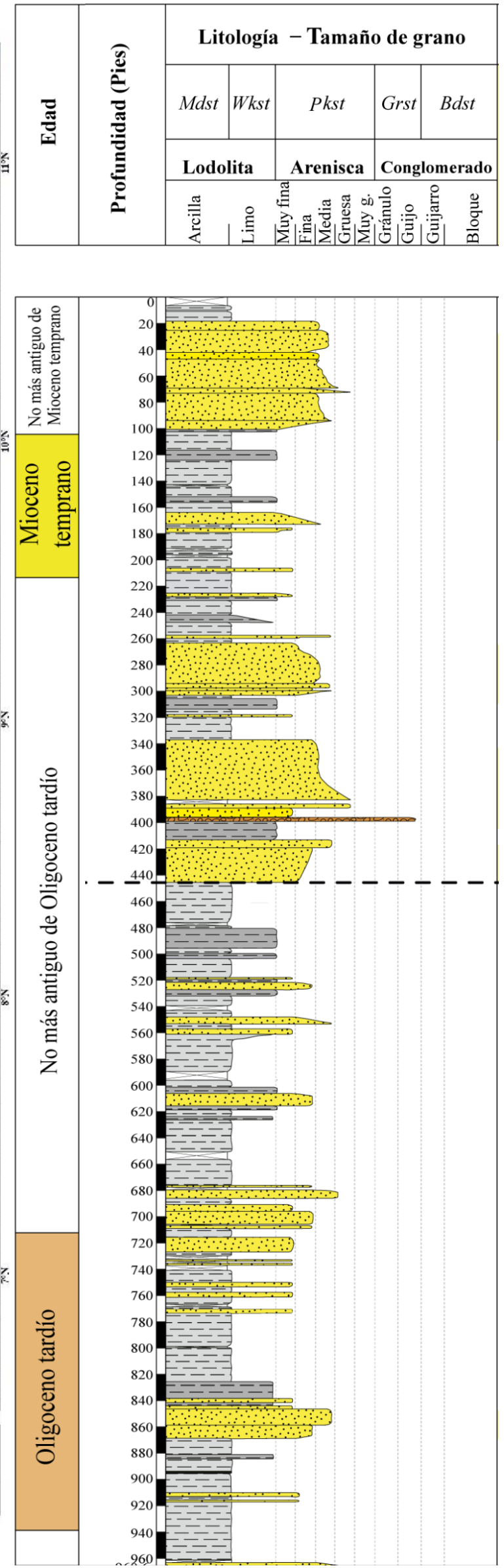
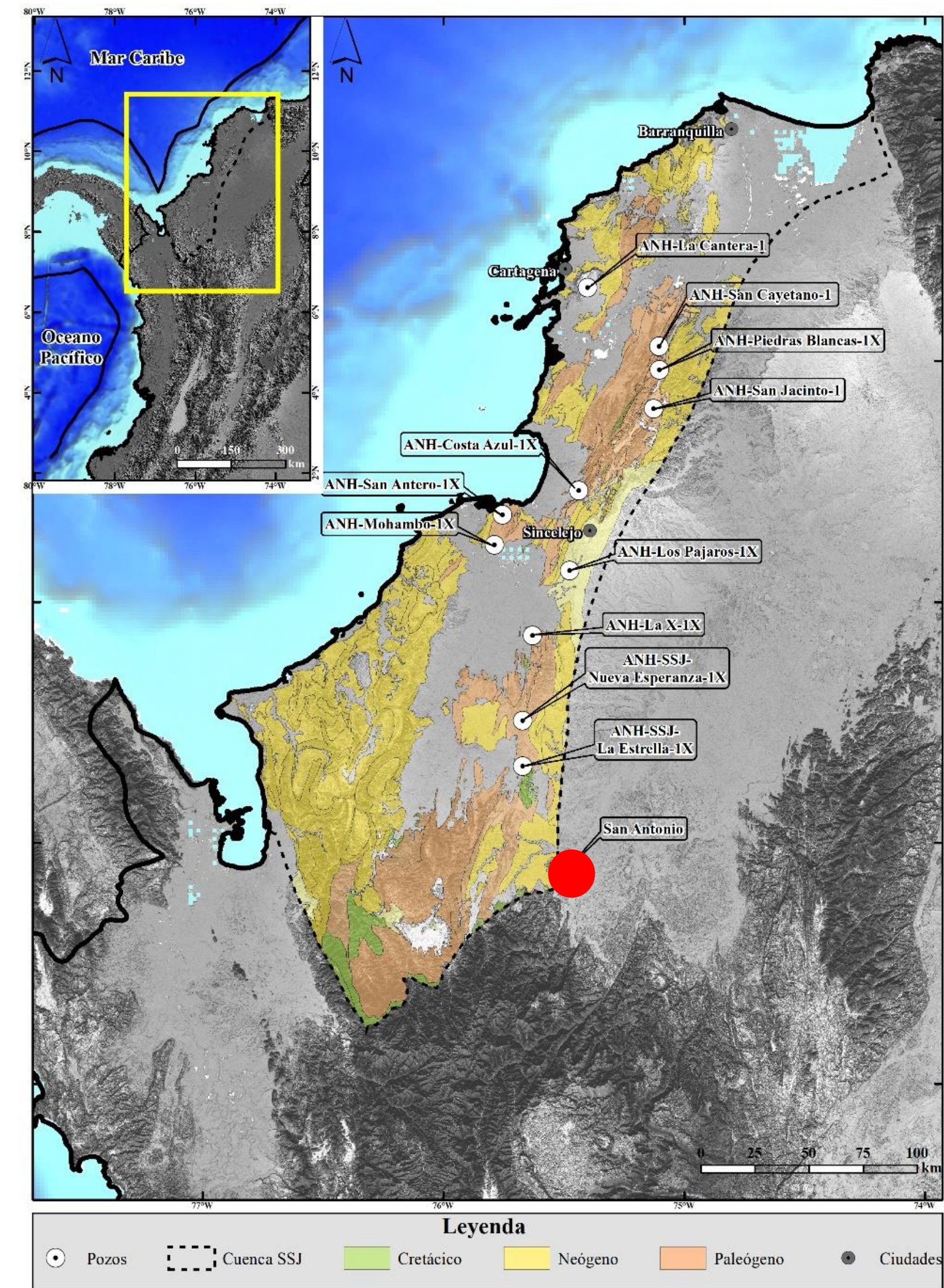
ANH-SAN JACINTO
1725'



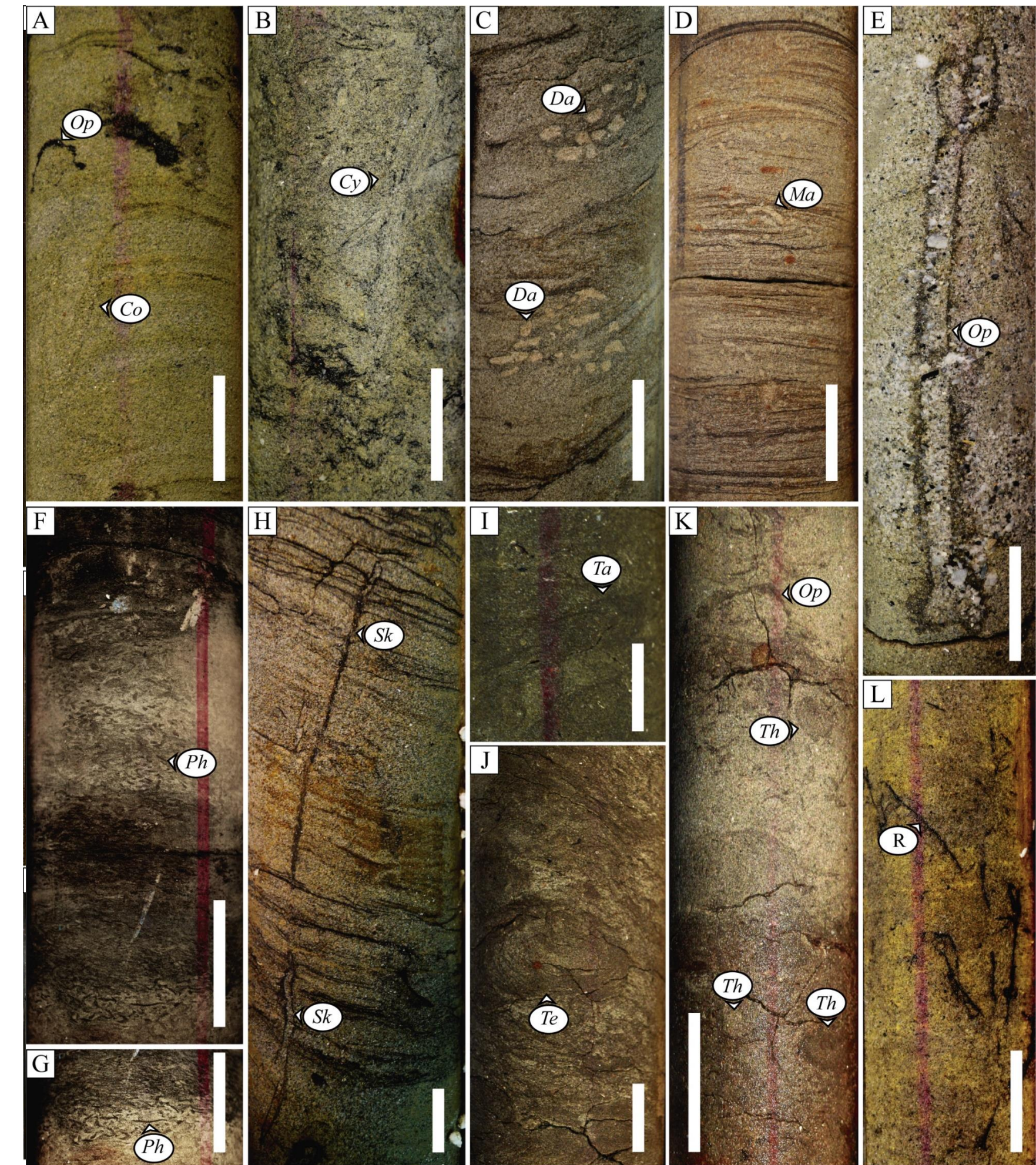
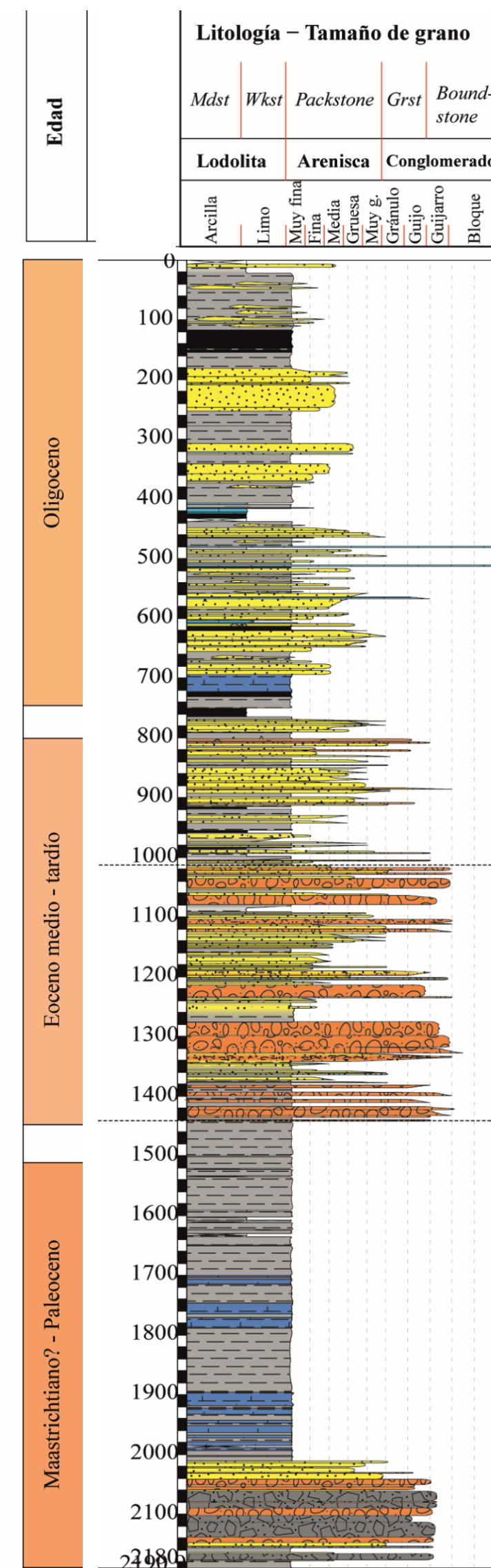
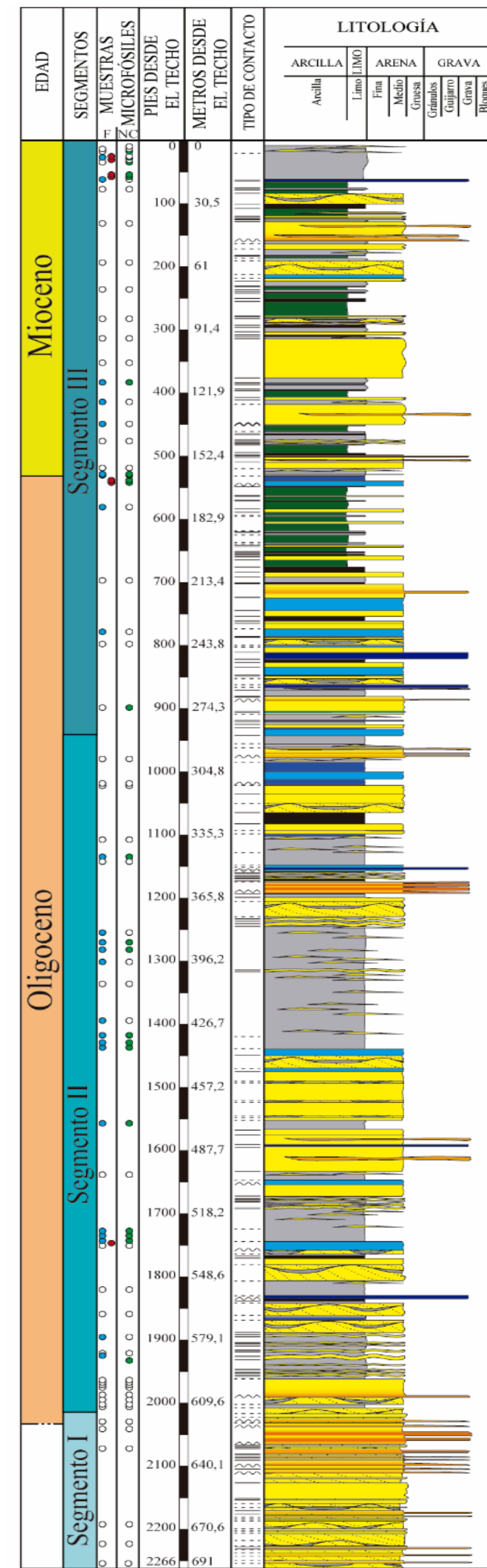
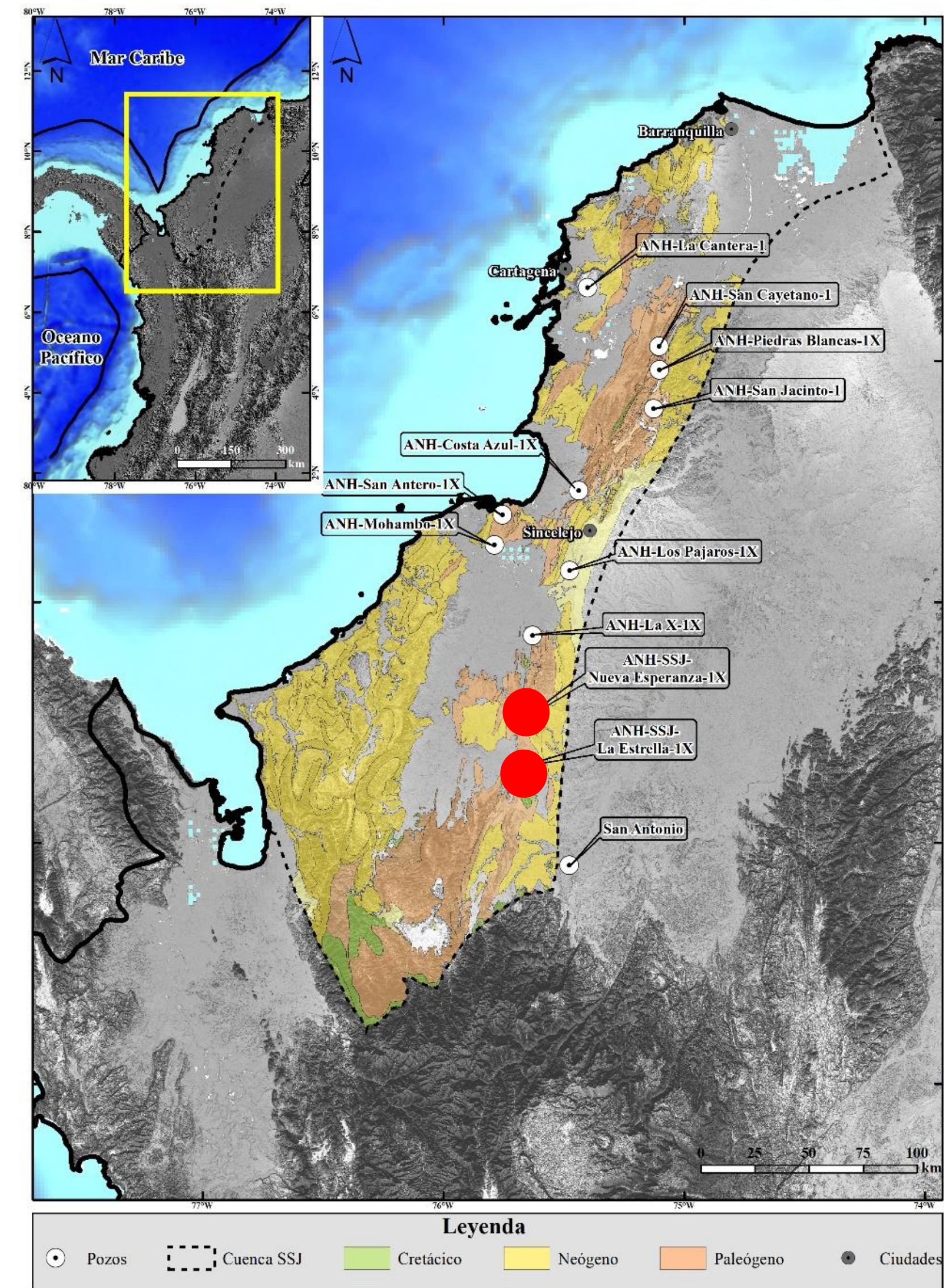
ANH-COSTA AZUL
961'



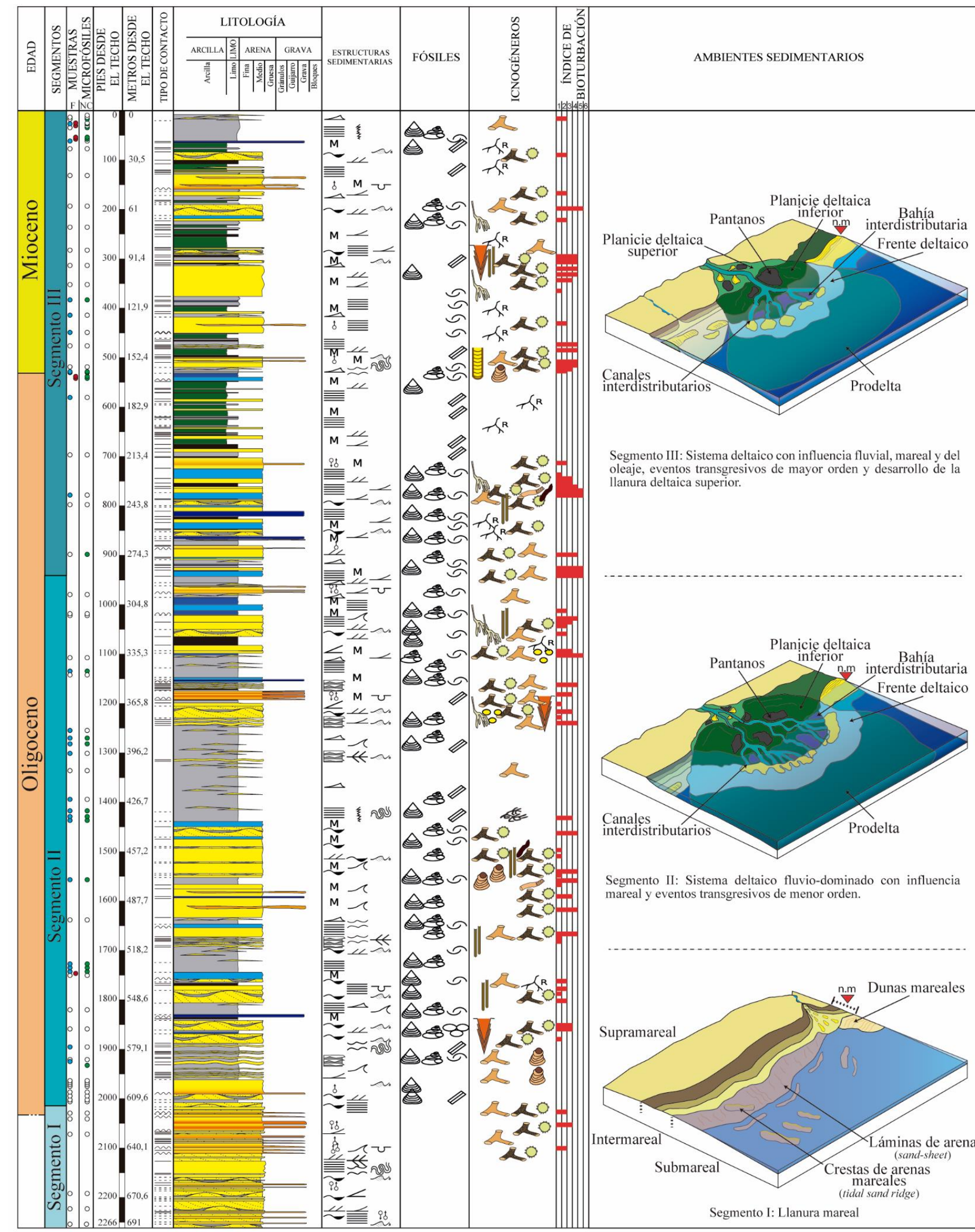
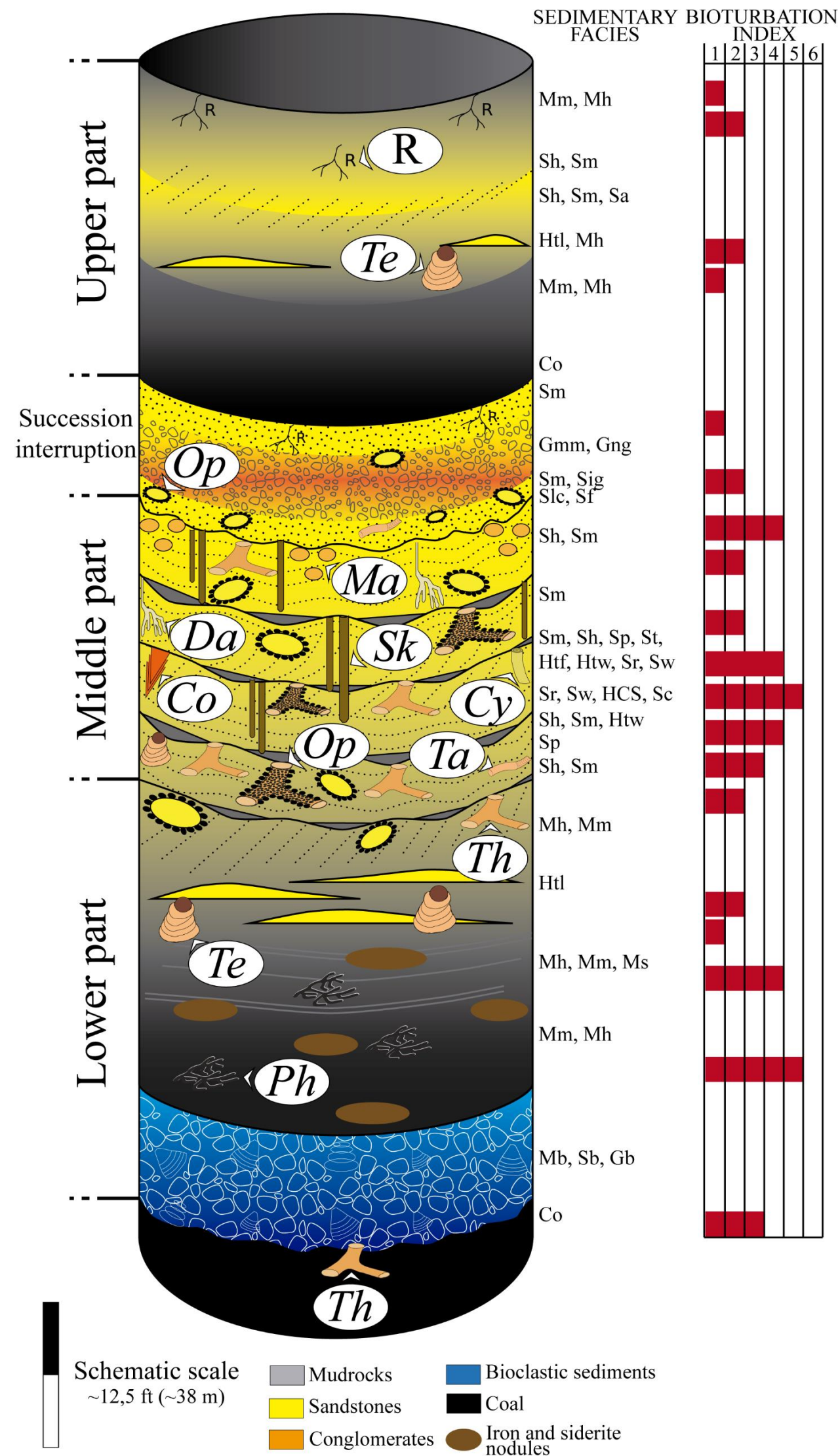
STRATIGRAPHY AND PALEOENVIRONMENTS



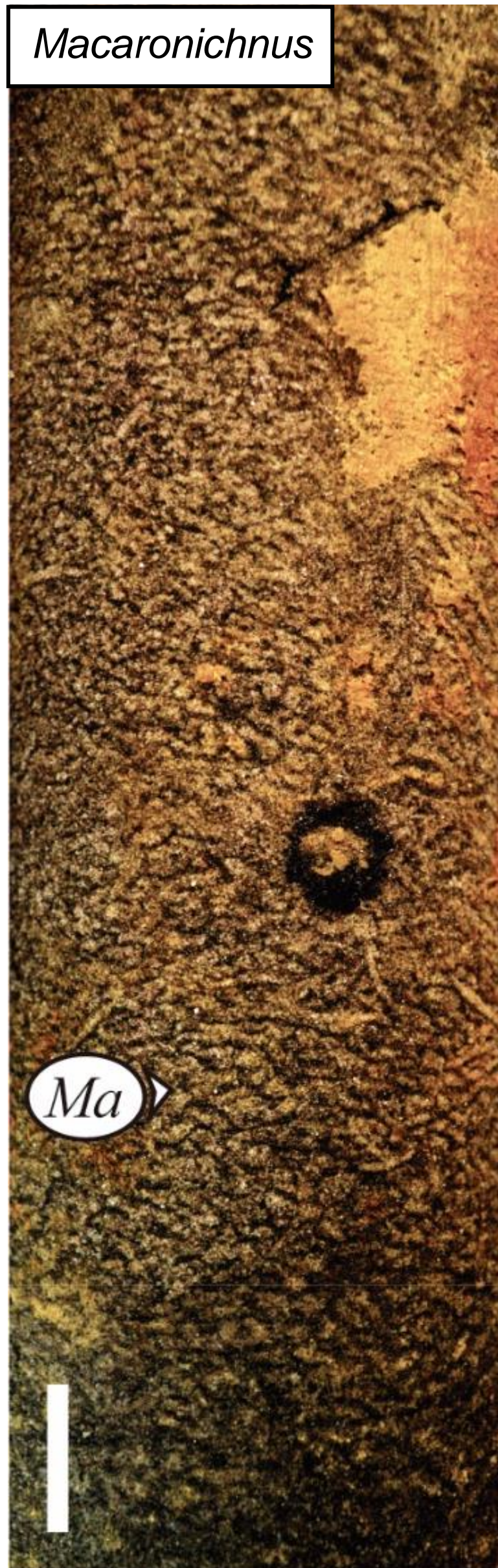
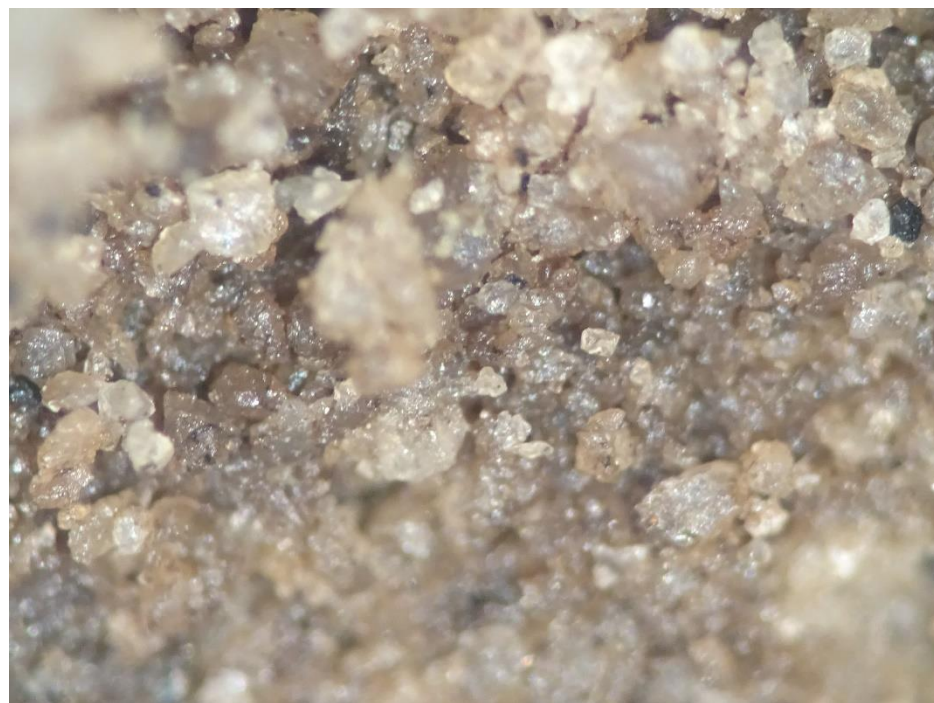
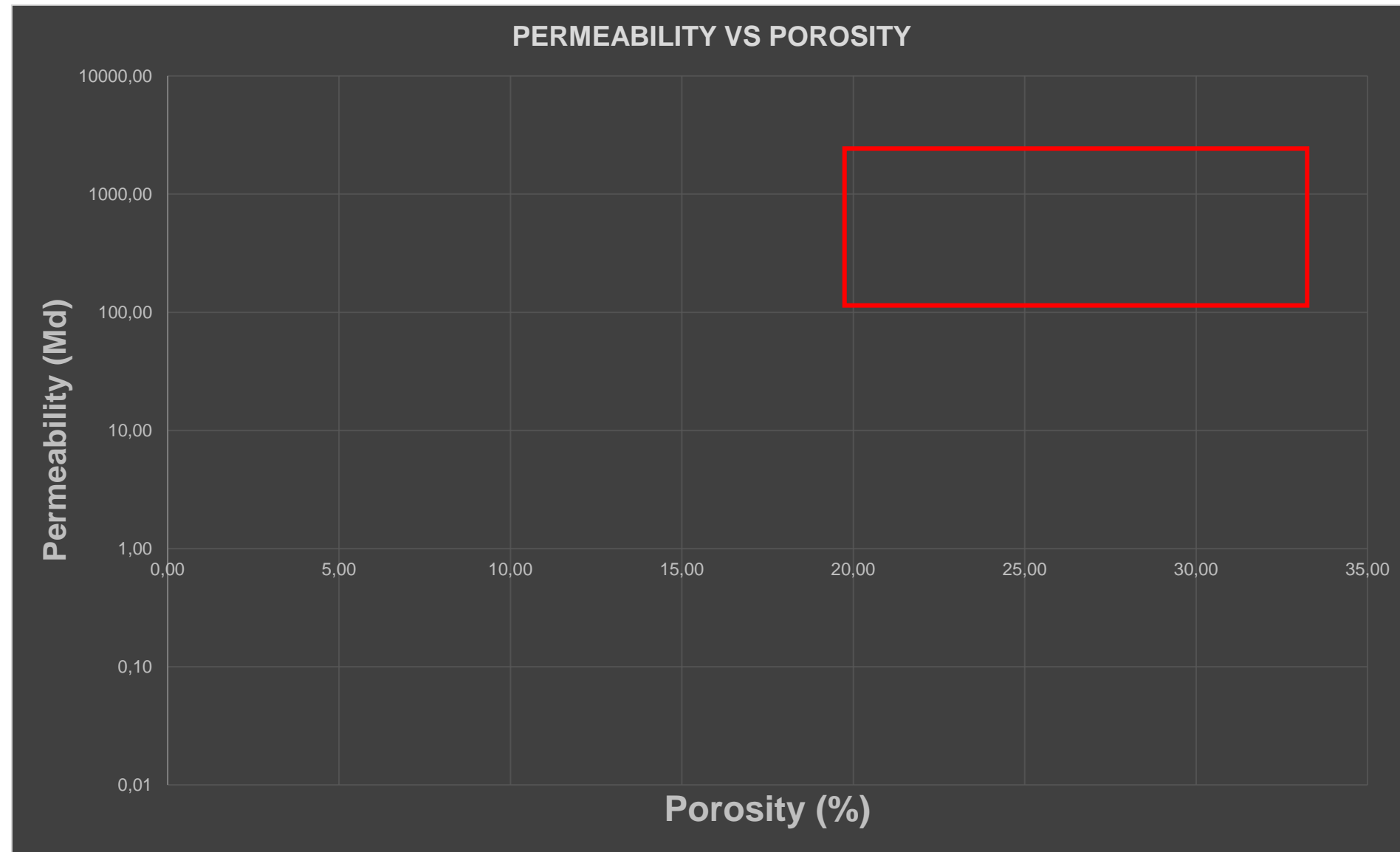
STRATIGRAPHY AND PALEOENVIRONMENTS



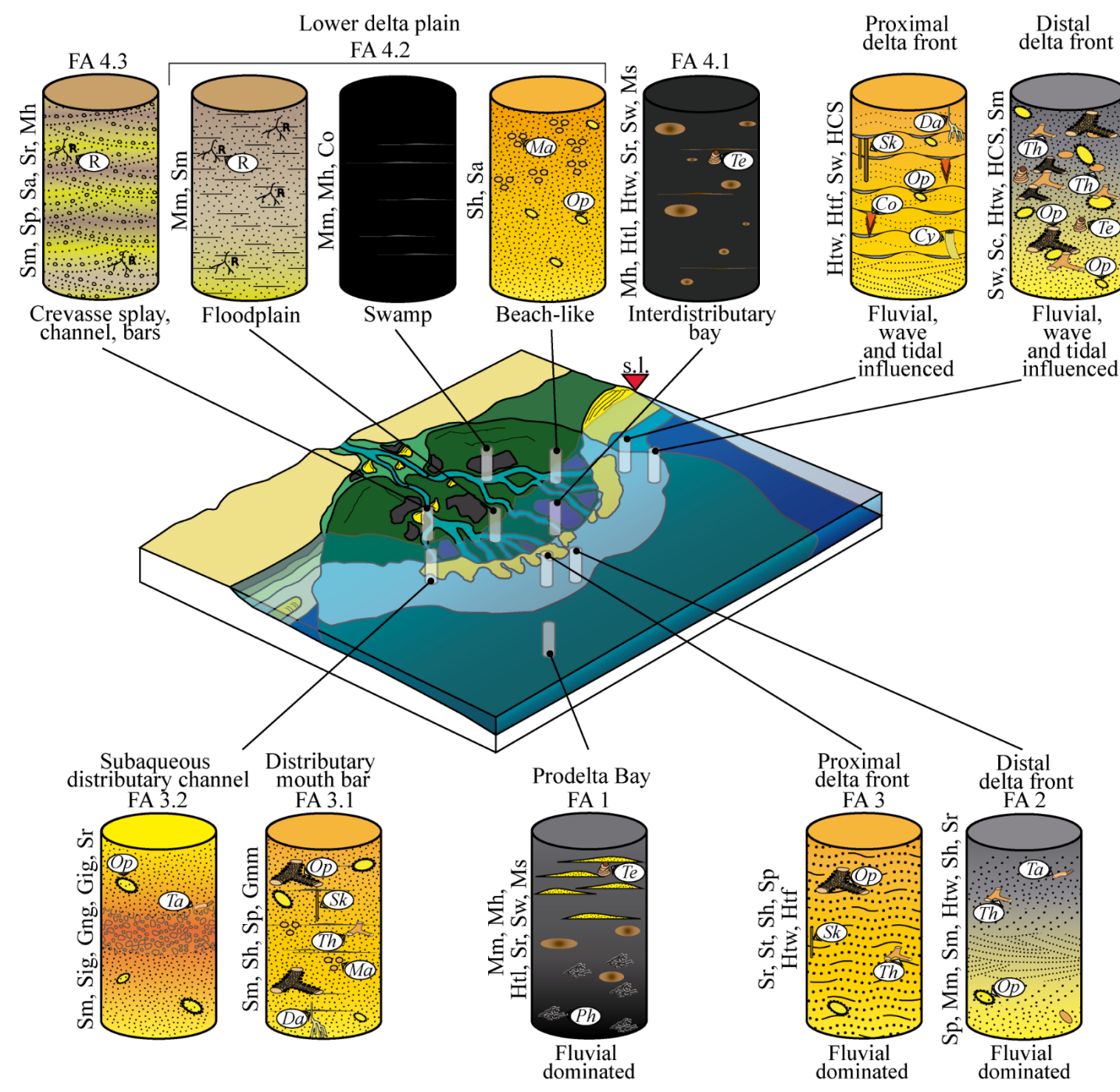
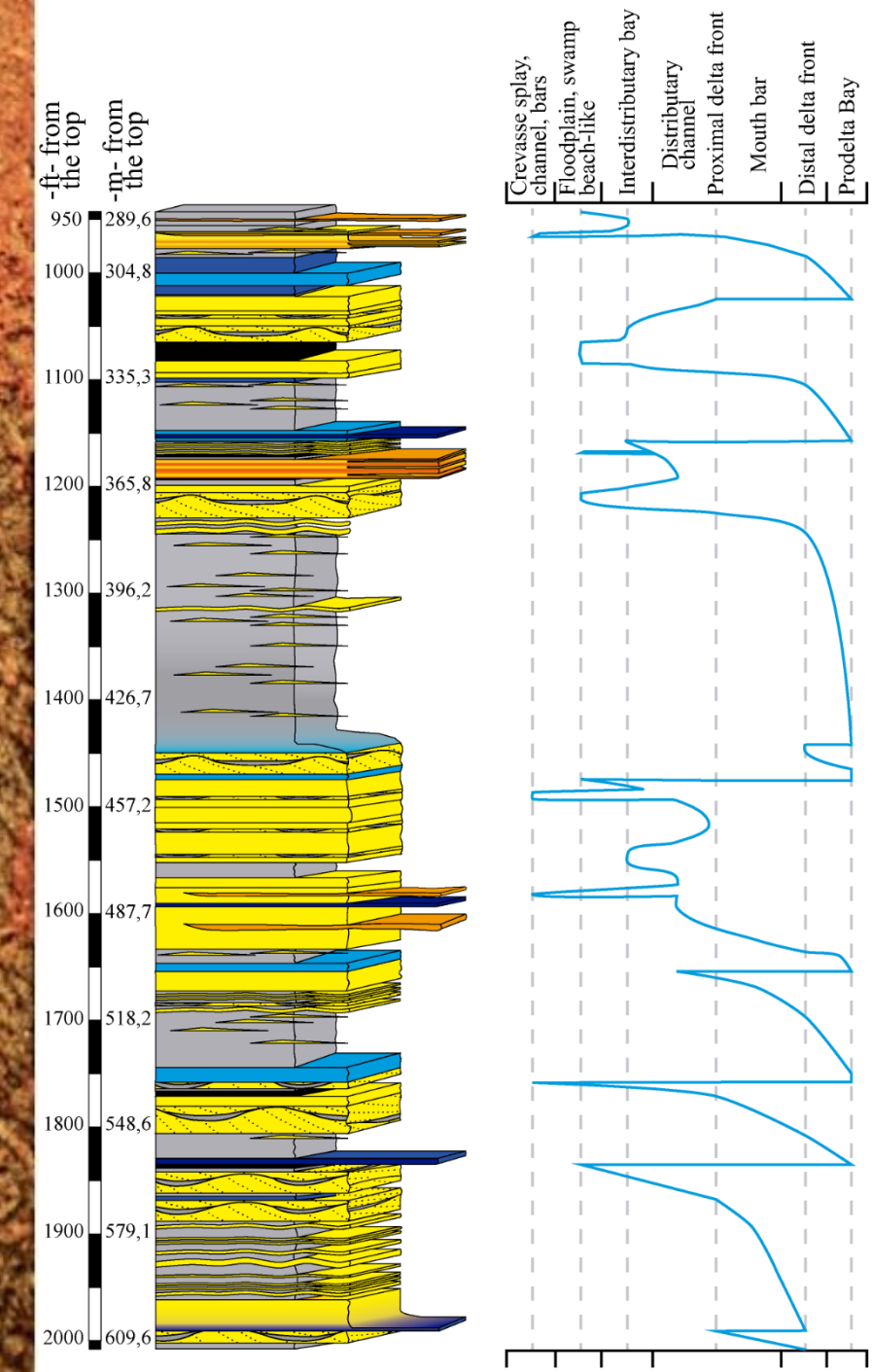
STRATIGRAPHY AND PALEOENVIRONMENTS



STRATIGRAPHY AND PALEOENVIRONMENTS



Macaronichnus



Celis et al. (2021)

STRATIGRAPHY AND PALEOENVIRONMENTS

Research Paper

GEOSPHERE

GEOSPHERE, v. 16

<https://doi.org/10.1130/GES02059.1>

13 figures; 1 set of supplemental files

Provenance of Eocene–Oligocene sediments in the San Jacinto Fold Belt: Paleogeographic and geodynamic implications for the northern Andes and the southern Caribbean

E. Osorio-Granada¹, A. Pardo-Trujillo¹, S.A. Restrepo-Moreno^{2,3}, F. Gallego¹, J. Muñoz¹, A. Plata¹, R. Trejos-Tamayo¹, F. Vallejo¹, A. Barbosa-Espitia^{1,3}, F.J. Cardona-Sánchez¹, D.A. Foster³, and G. Kamenov³

¹Departamento de Ciencias Geológicas, Grupo de Investigaciones en Estratigrafía y Vulcanología (GIEV-Cumanday), Instituto de Investigaciones en Estratigrafía (IIES), Universidad de Caldas, Manizales 1700004, Colombia

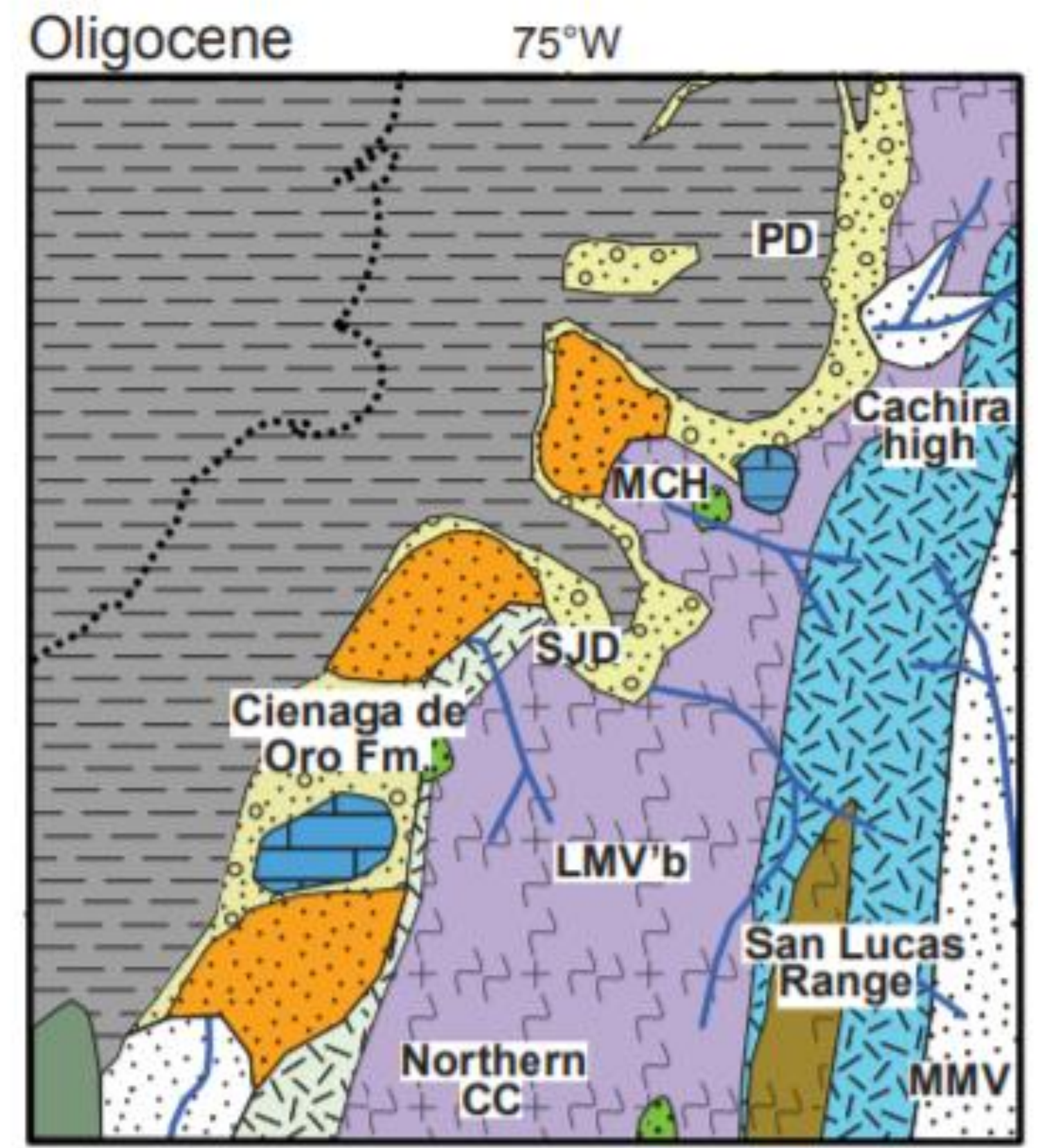
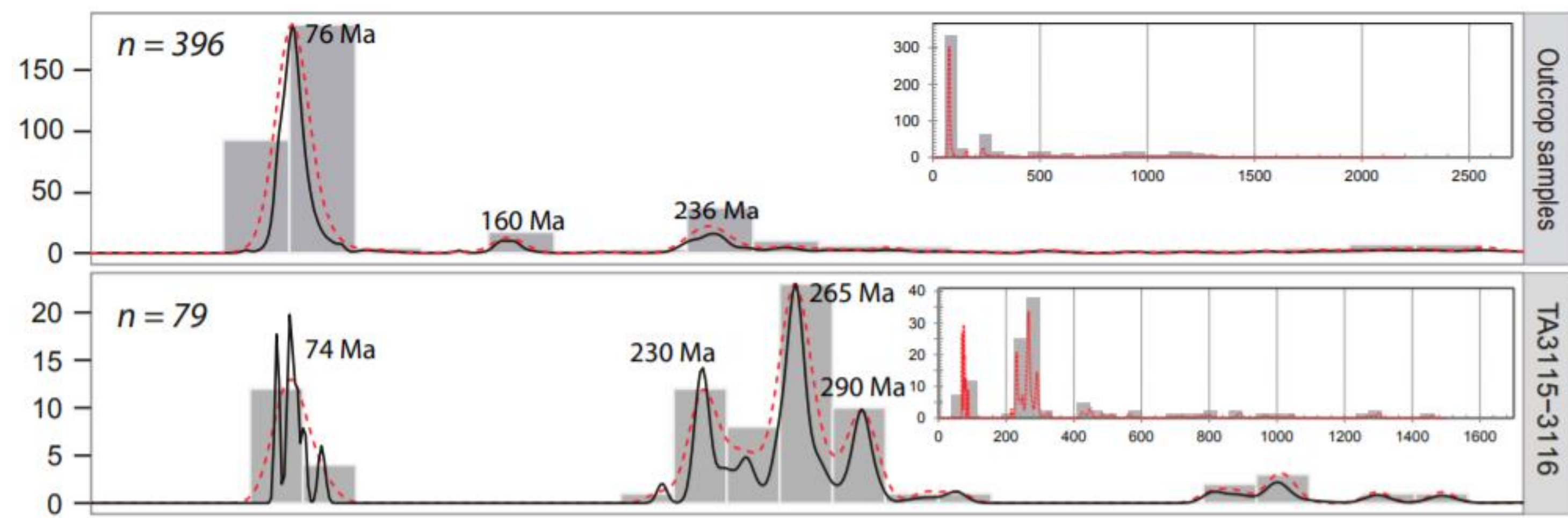


vol. 42, n.º 3, septiembre-diciembre de 2020
ISSN impreso: 0120-0283 • ISSN en línea: 2145-8553



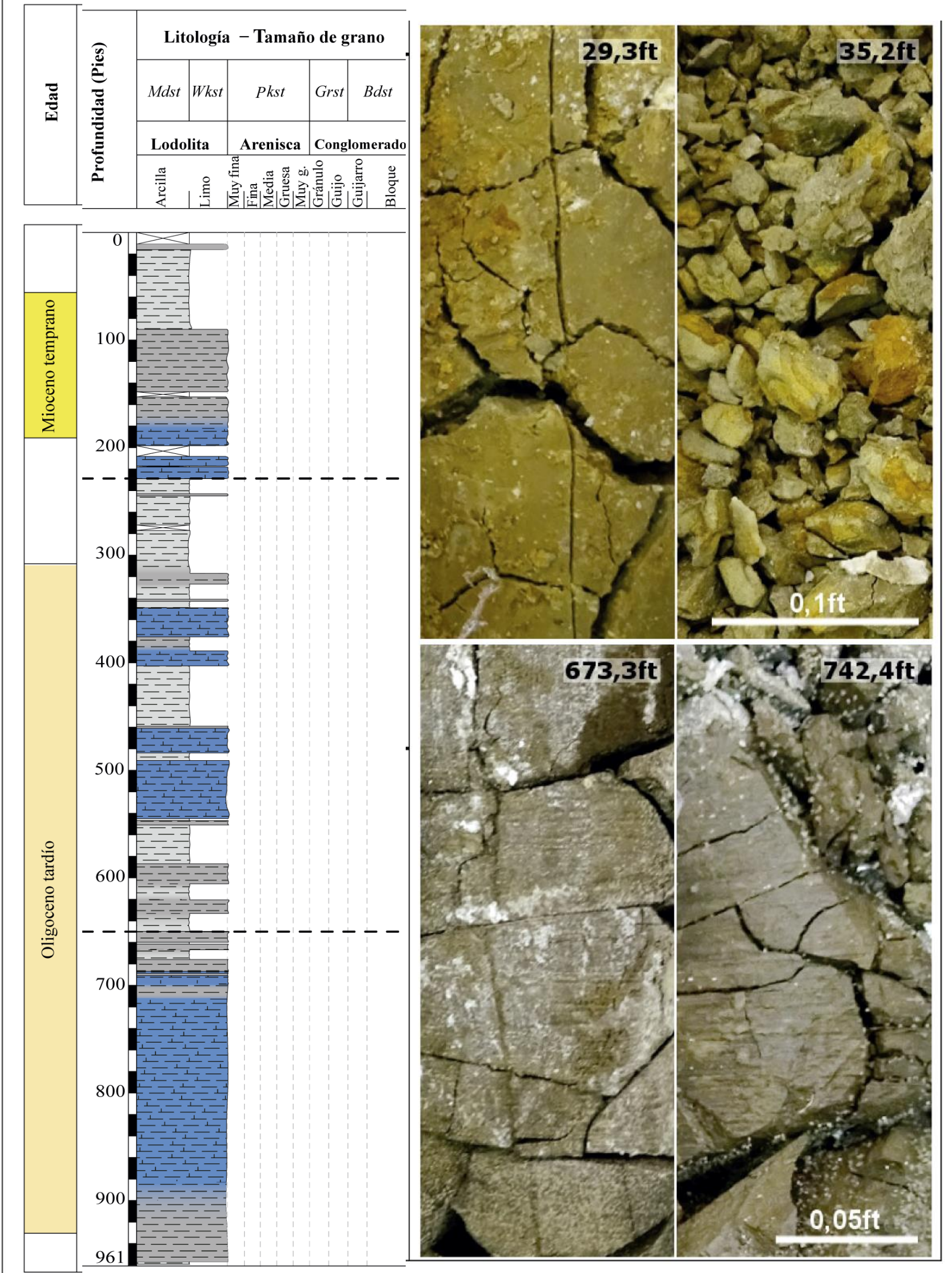
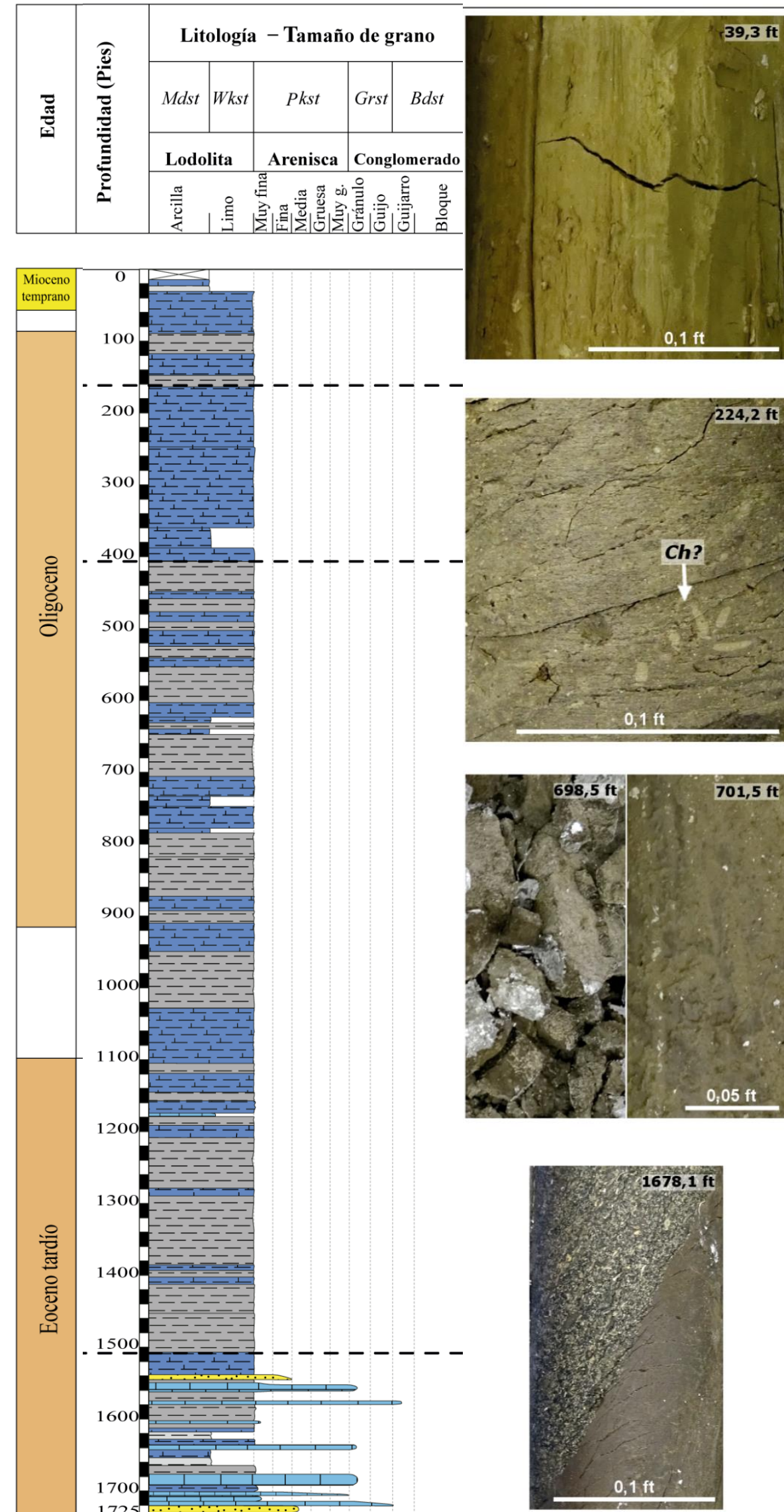
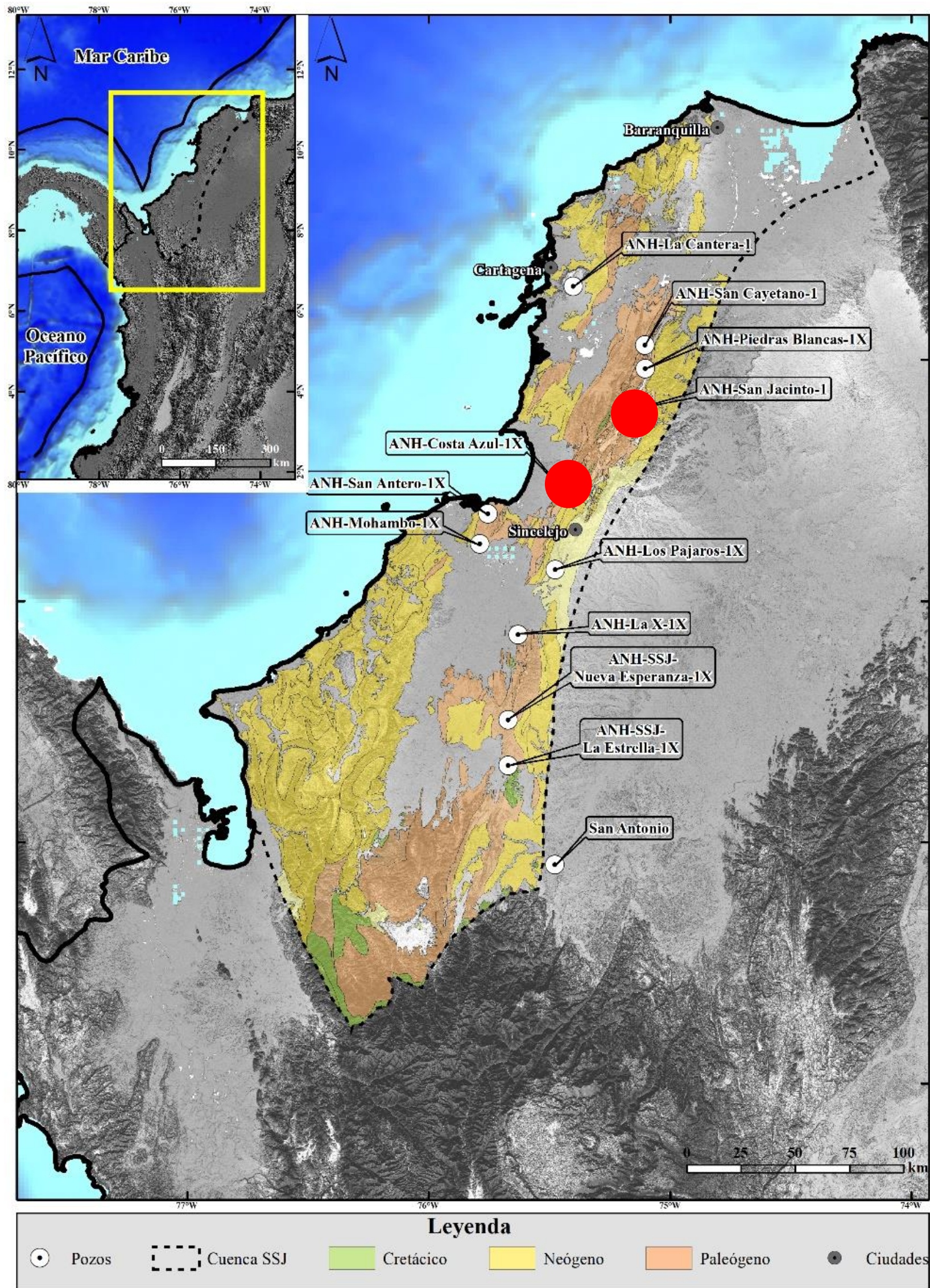
Provenance of the Ciénaga de Oro Formation: unveiling the tectonic evolution of the Colombian Caribbean margin during the Oligocene - Early Miocene

Alejandra Manco-Garcés^{1*} ; Maria Isabel Marín-Cerón¹ ; Carlos Javier Sánchez-Plazas² ; Luis Carlos Escobar-Arenas¹ ; Alejandro Beltrán-Triviño¹ ; Albrecht von Quadt³

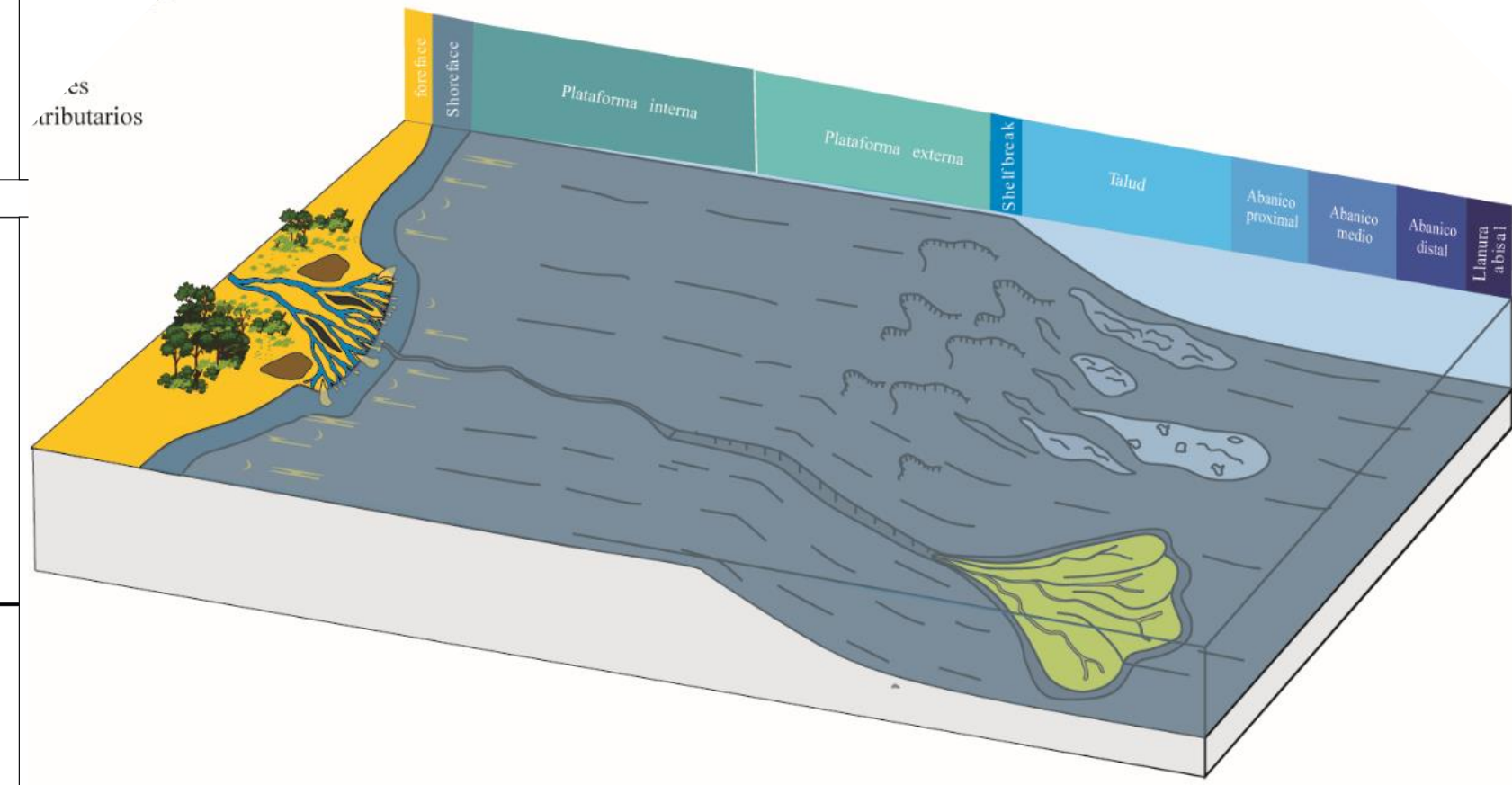
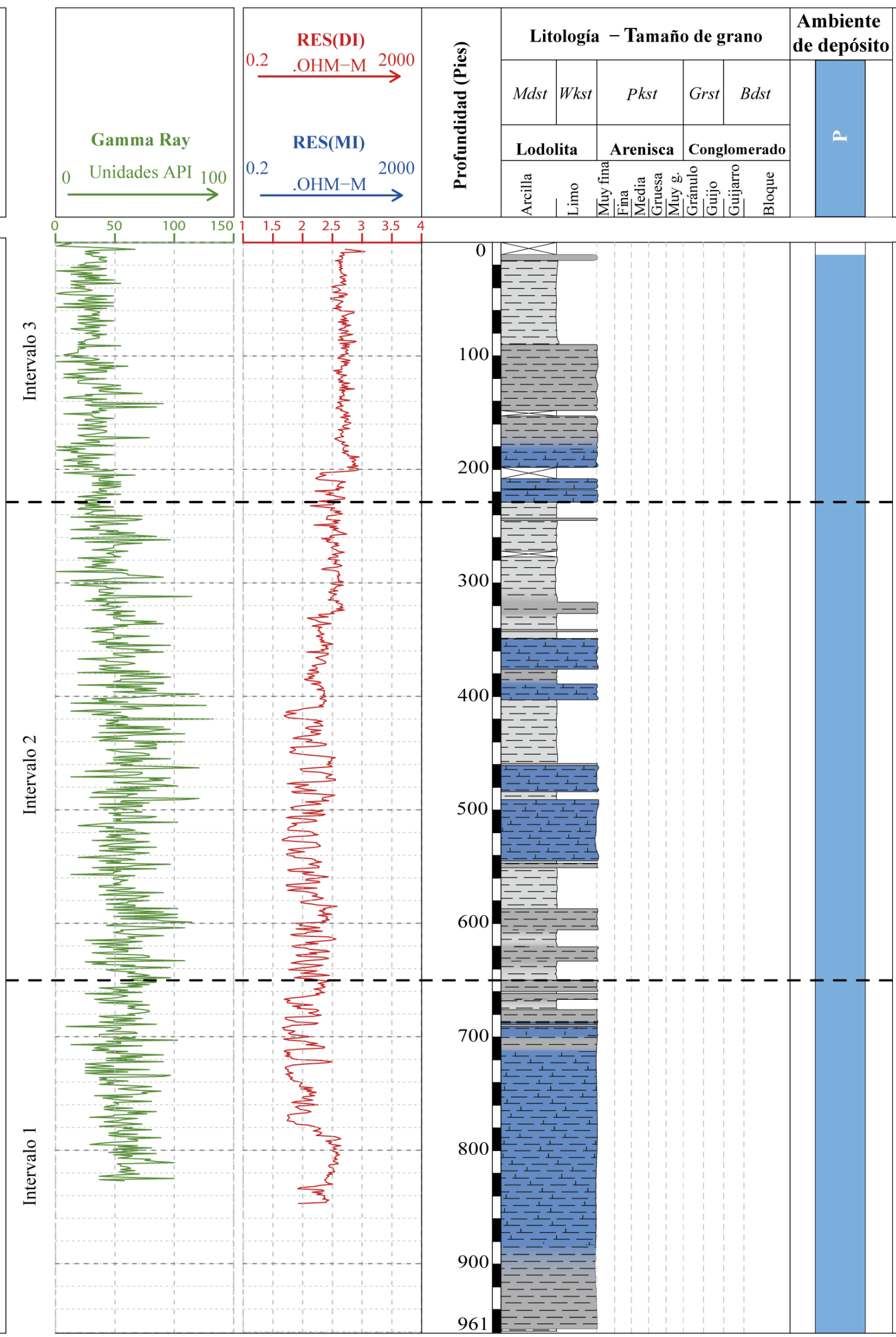
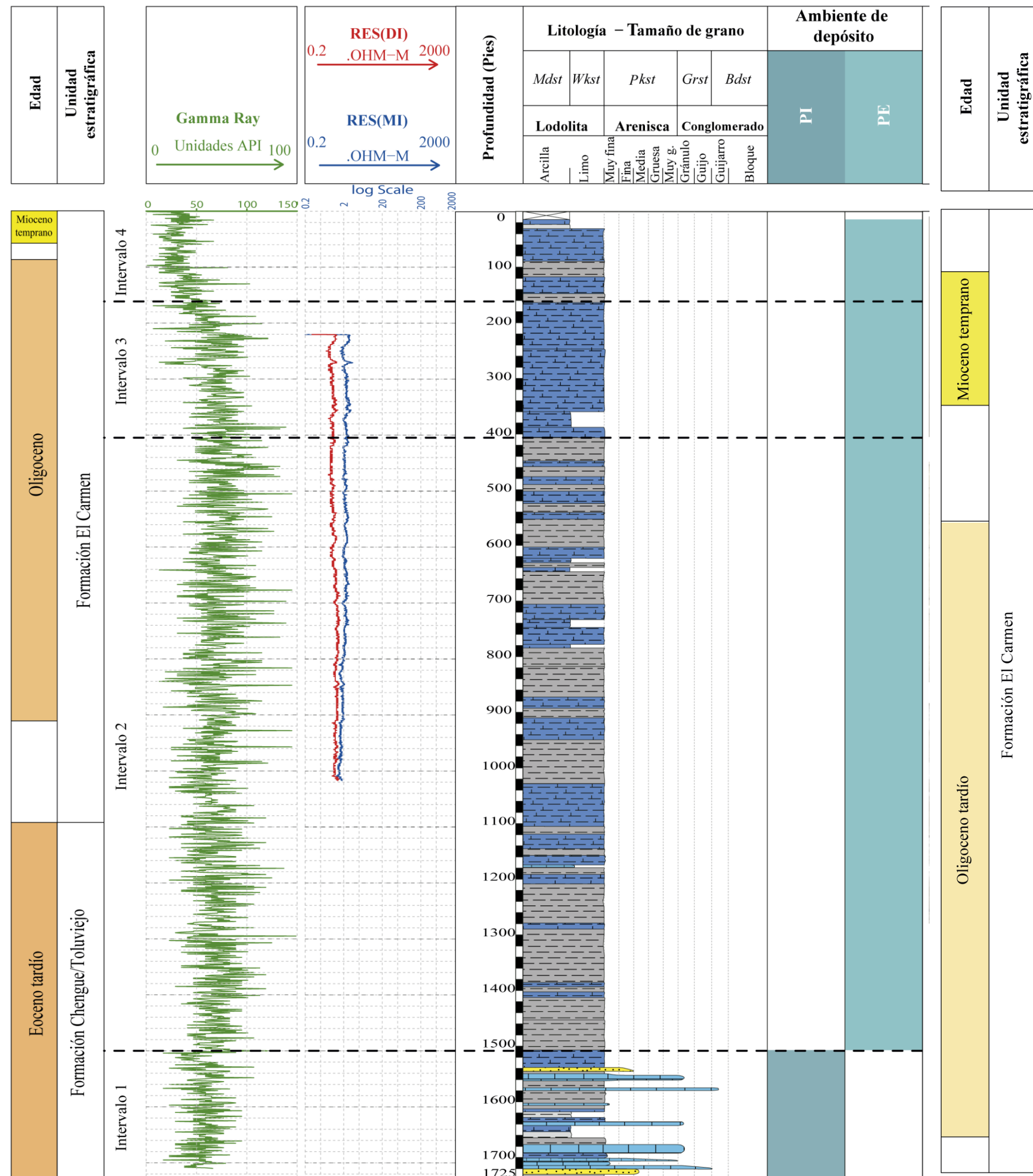


Osorio-Granada et al. (2020)

STRATIGRAPHY AND PALEOENVIRONMENTS



STRATIGRAPHY AND PALEOENVIRONMENTS



Marine and Petroleum Geology

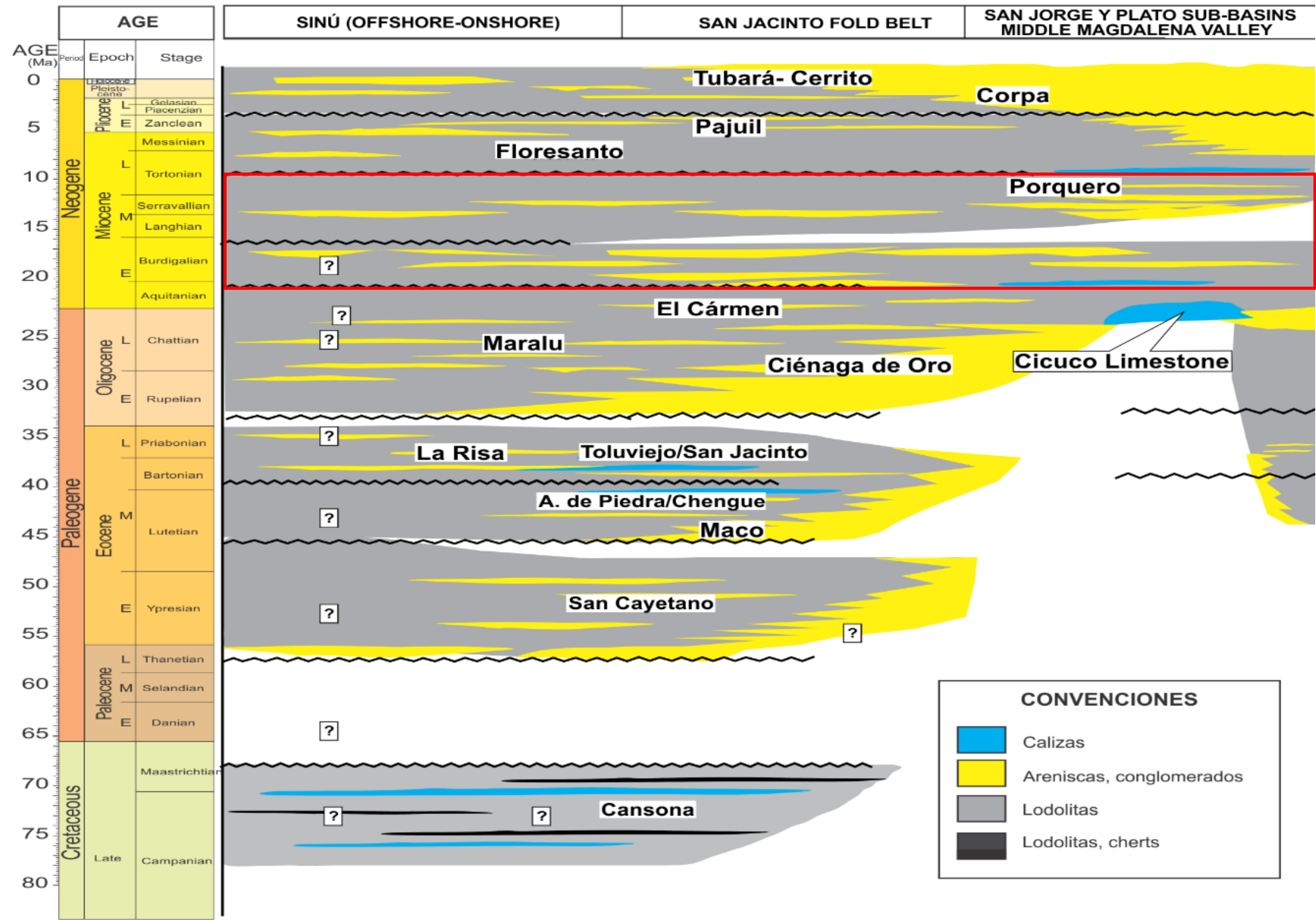
Volume 65, August 2015, Pages 217-231

Research paper

Geochemical assessment and petroleum systems in the Sinú-San Jacinto Basin, northwestern Colombia

José Osorno ^a, Antonio Rangel ^b

STRATIGRAPHY AND PALEOENVIRONMENTS

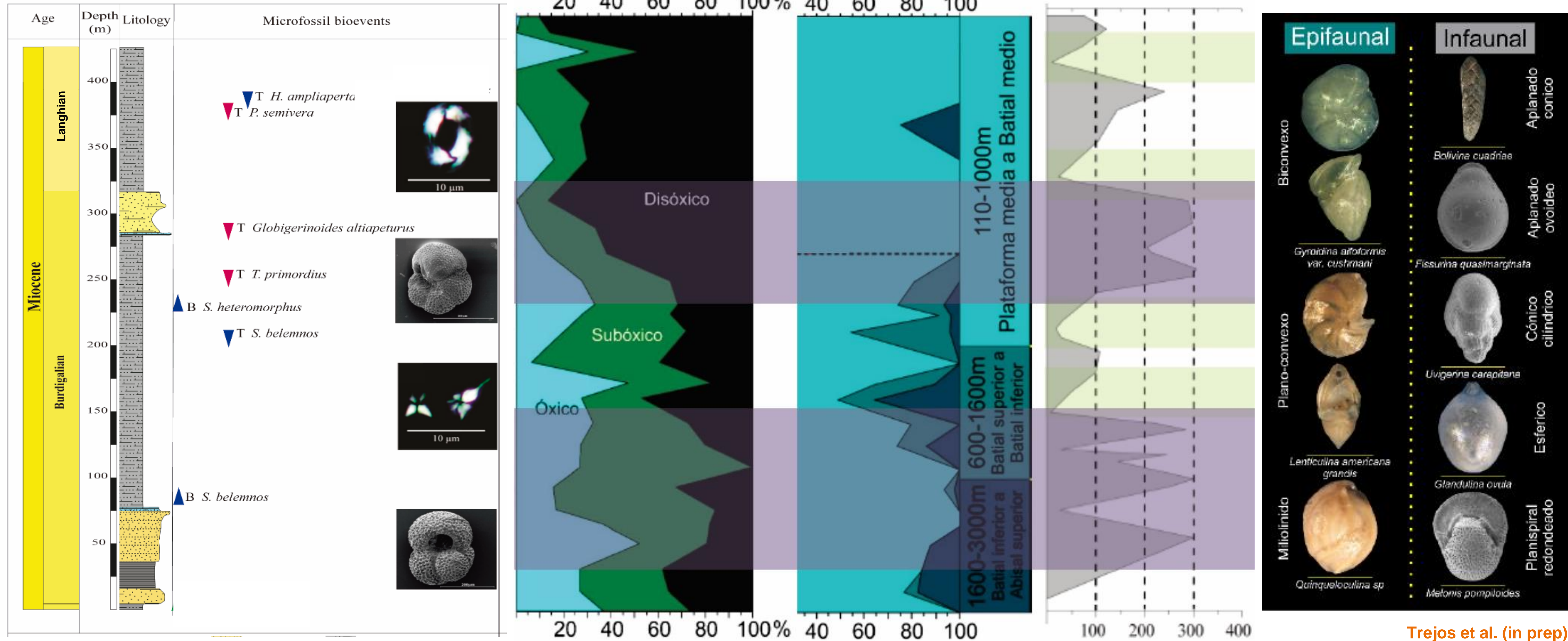


CONVENCIONES

- Calizas
- Areniscas, conglomerados
- Lodolitas
- Lodolitas, cherts

STRATIGRAPHY AND PALEOENVIRONMENTS

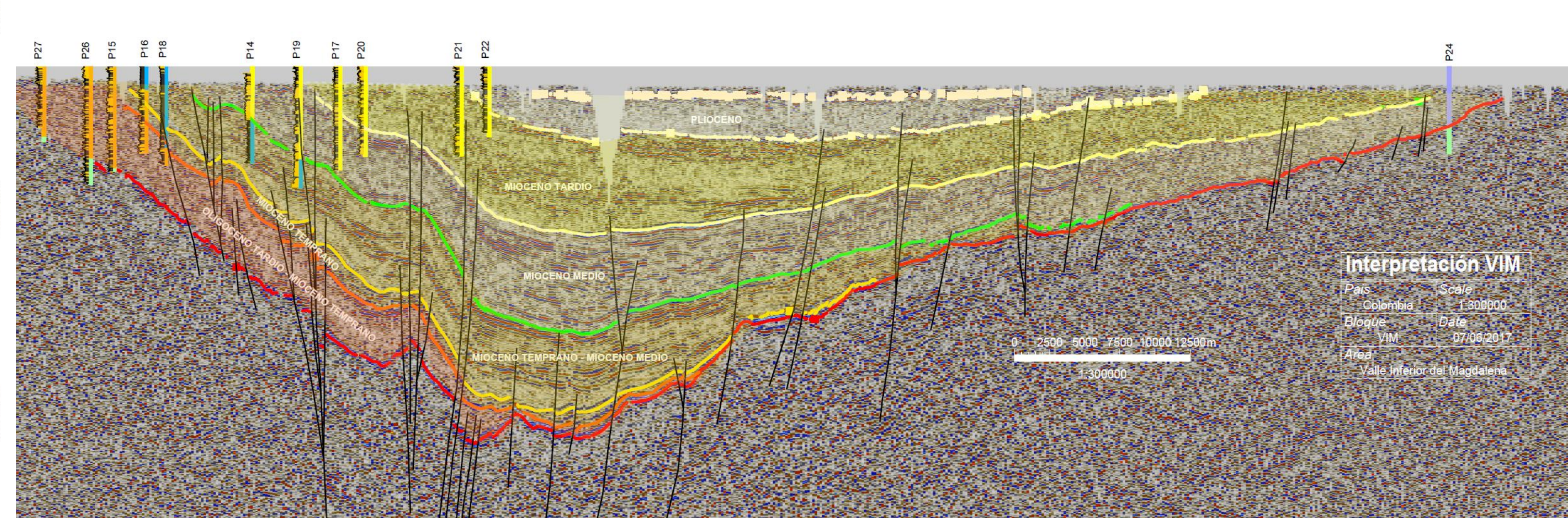
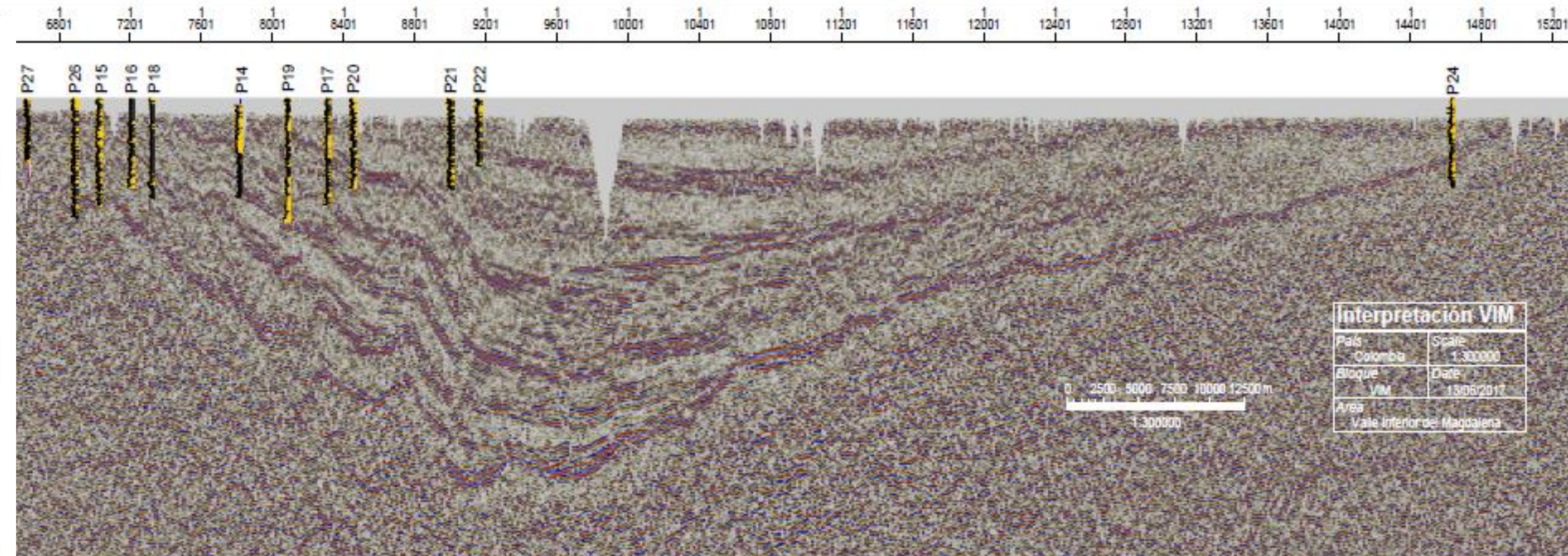
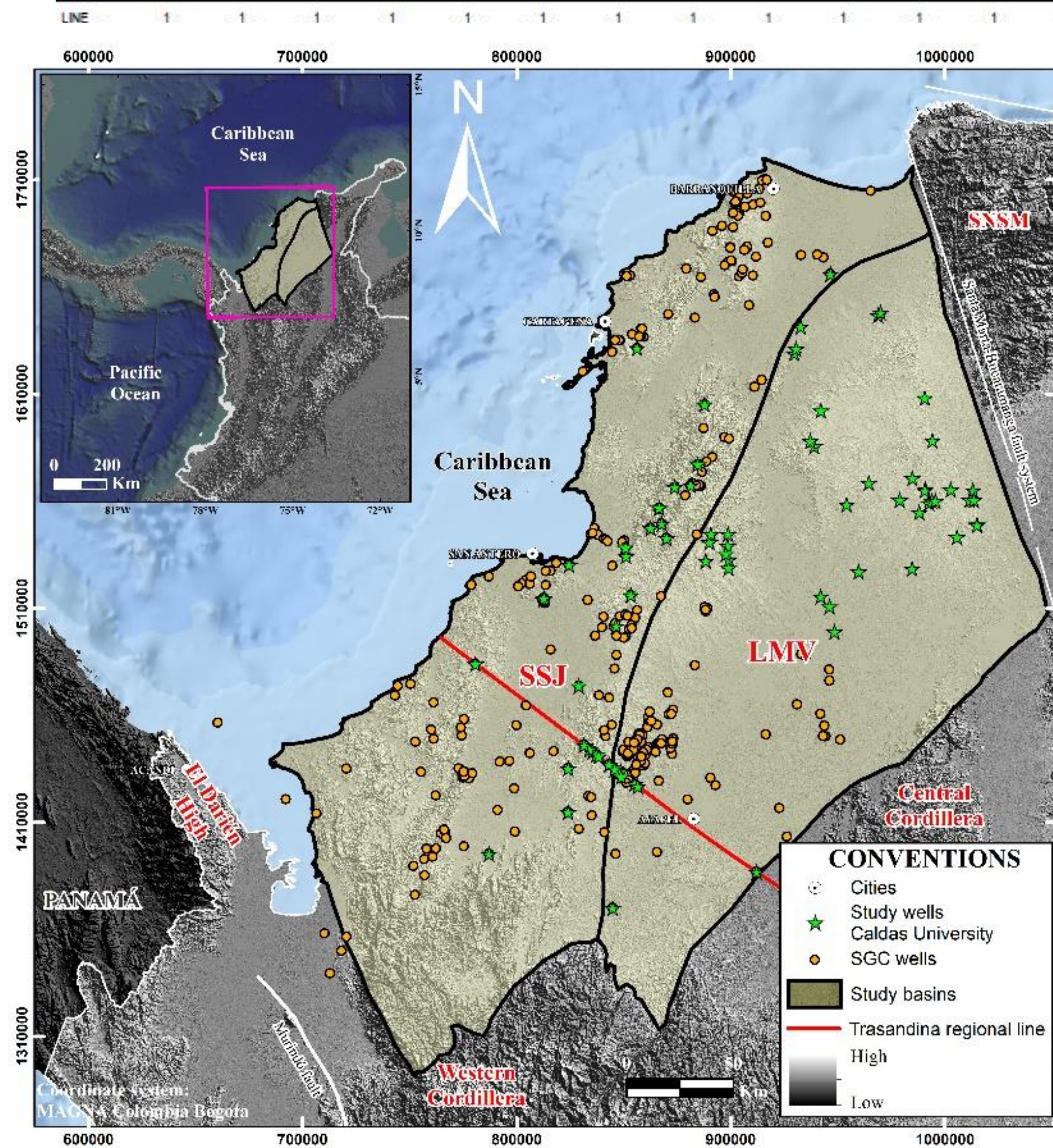
P18



STRATIGRAPHY AND PALEOENVIRONMENTS

TRANS-ANDEAN SEISMIC LINE (ANH, 2008)- WELLS ASSOCIATED

Arenas (2017)



STRATIGRAPHY AND PALEOENVIRONMENTS

STRATIGRAPHIC CORRELATION OF THE WELLS

P27

P26

P16

P18

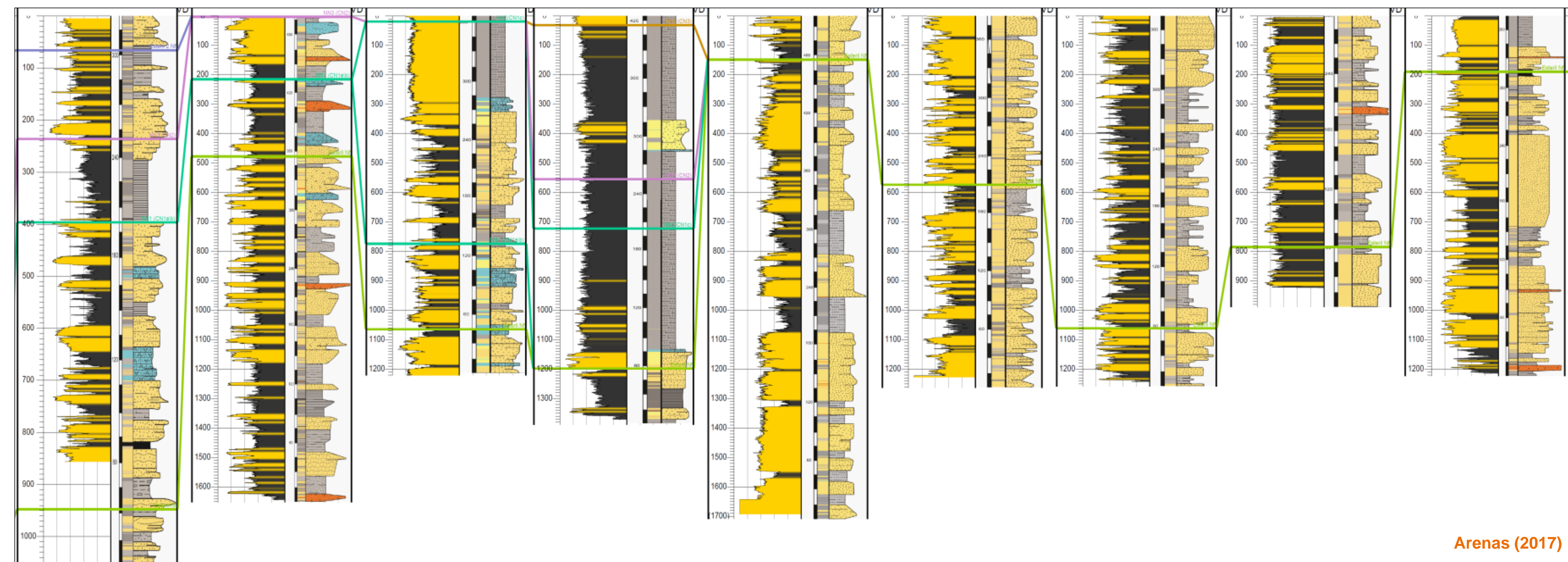
P19

P20

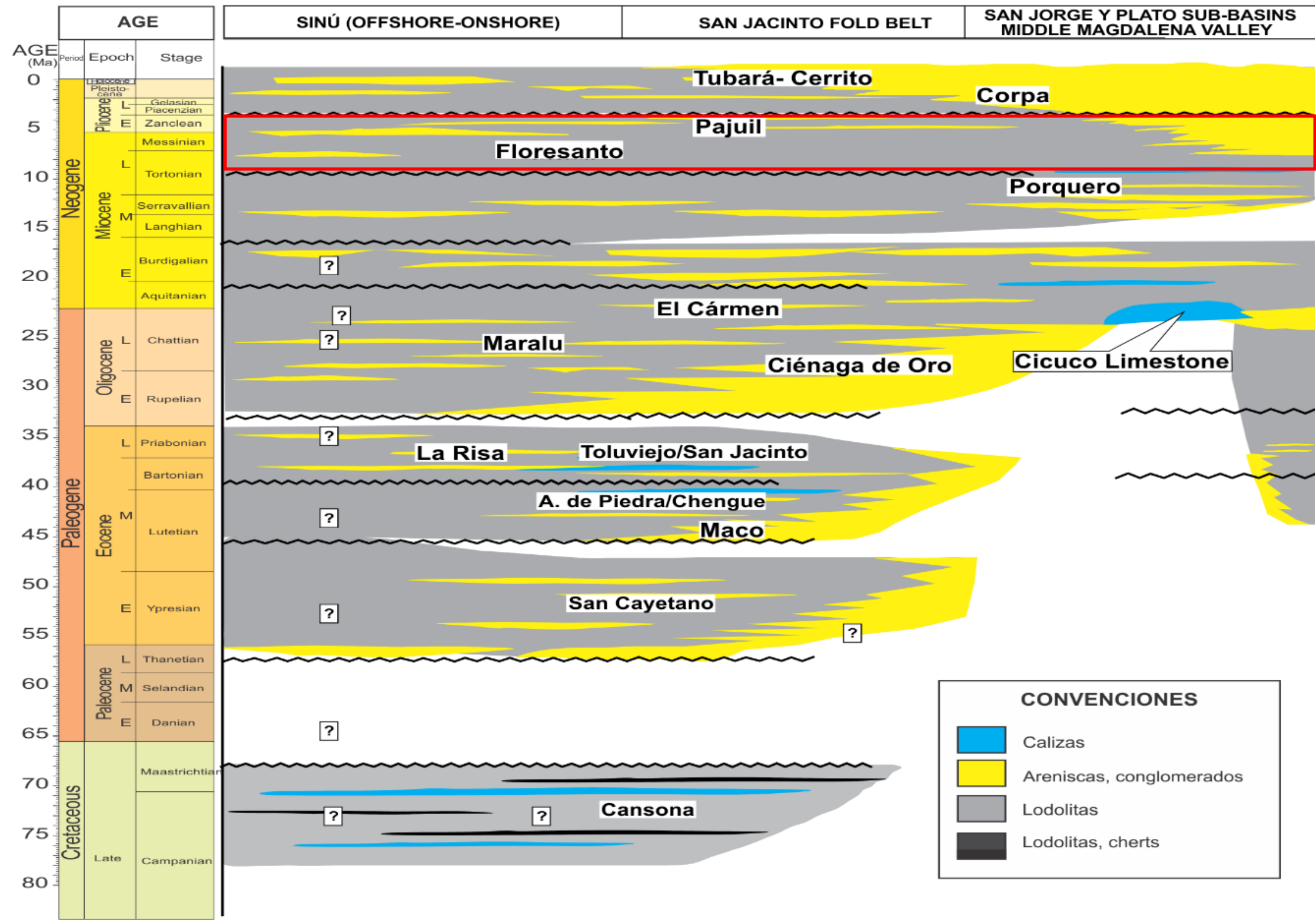
P21

P22

P24



STRATIGRAPHY AND PALEOENVIRONMENTS



CONVENCIONES

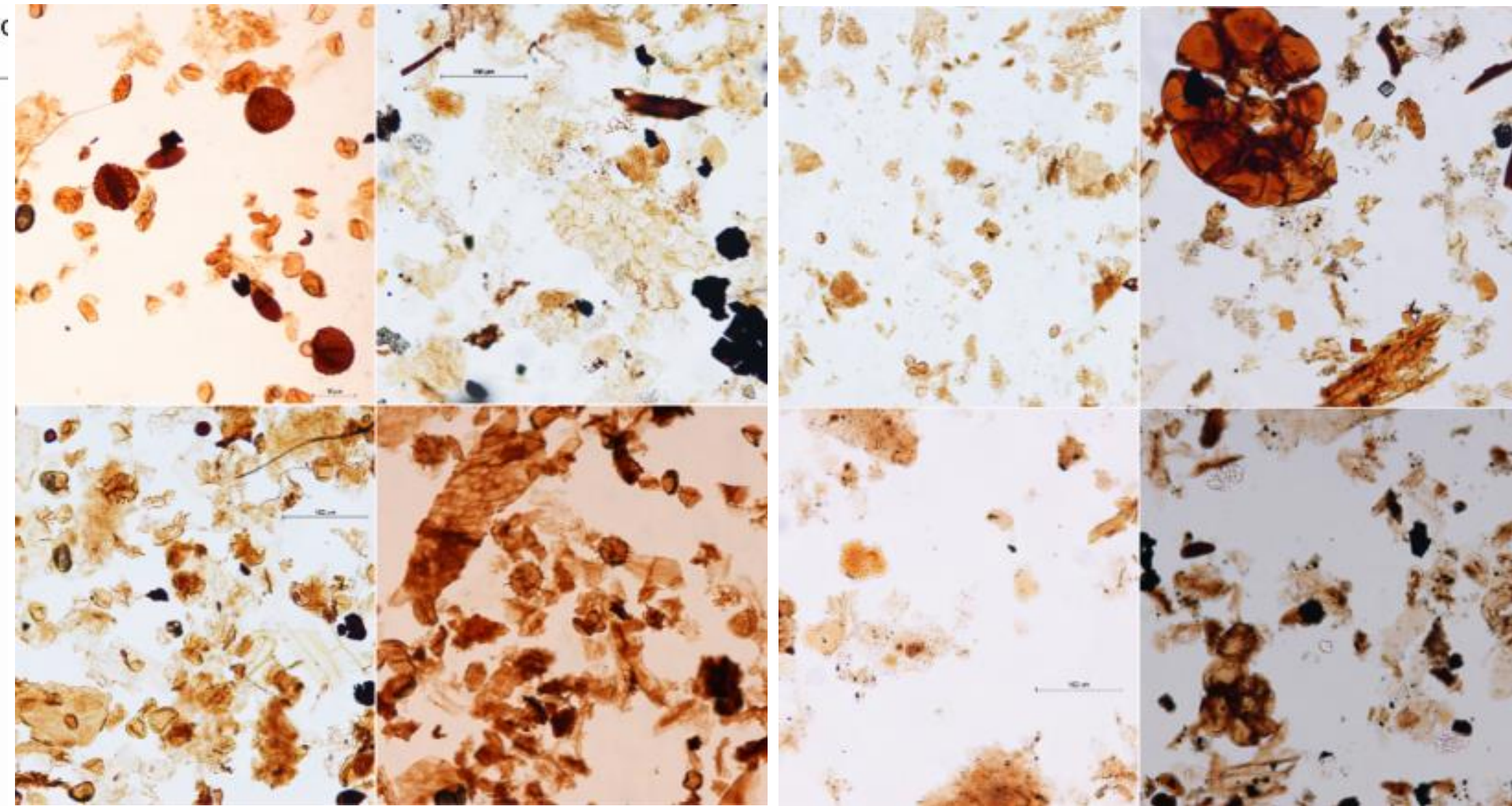
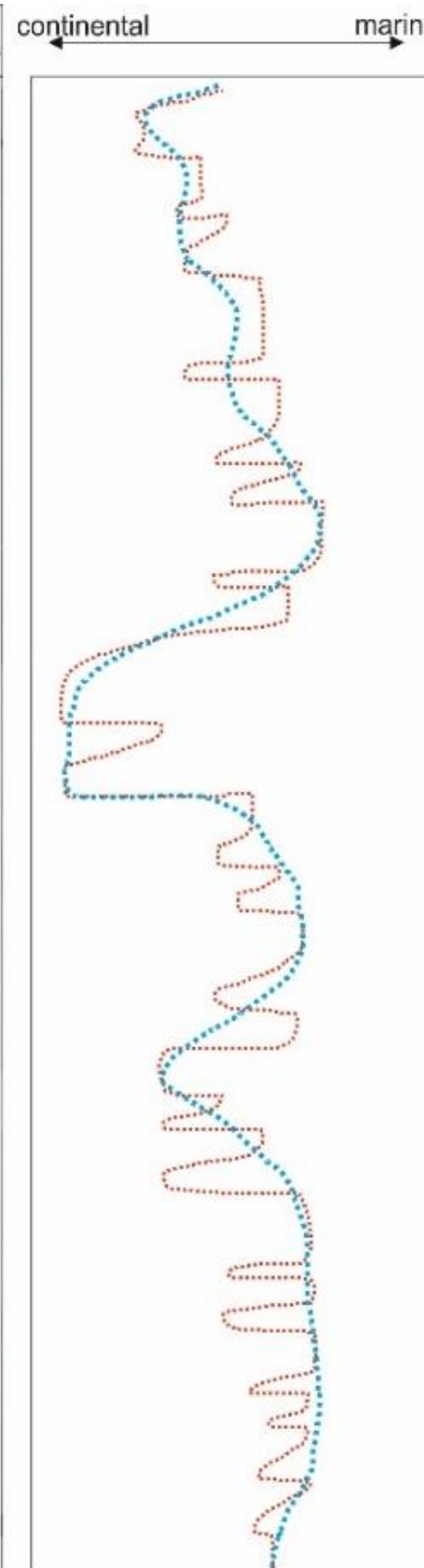
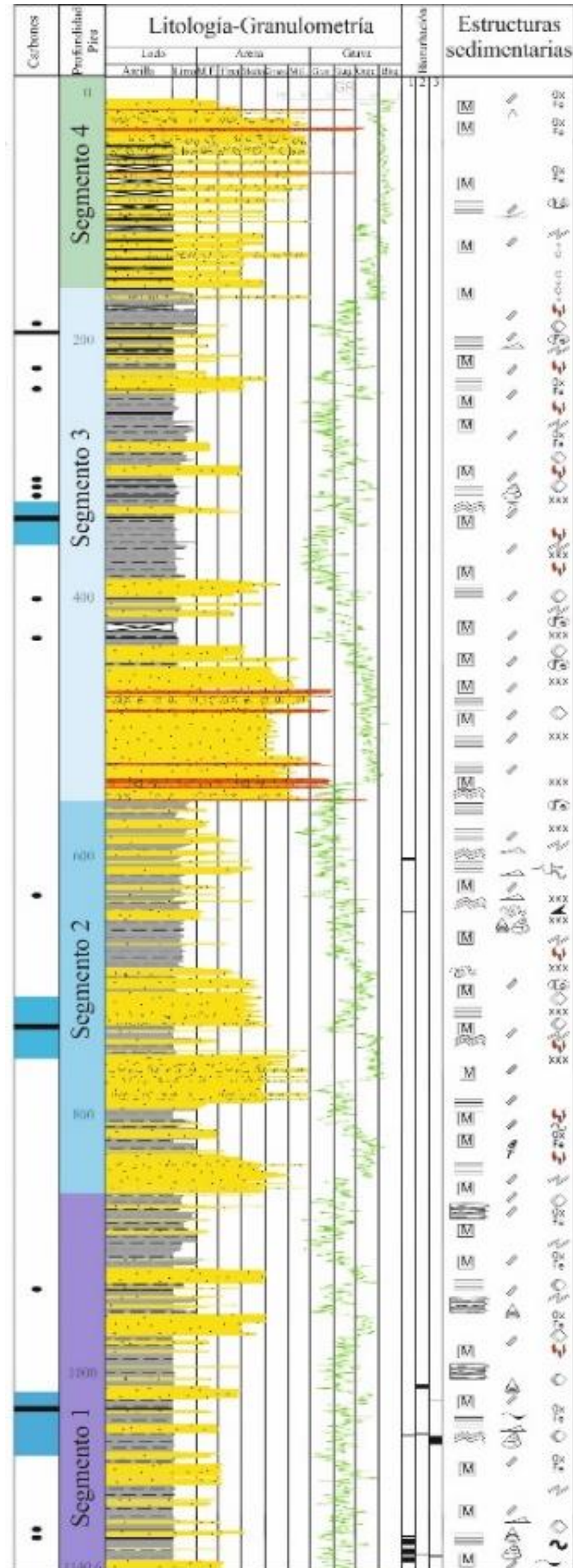
- Calizas
- Areniscas, conglomerados
- Lodolitas
- Lodolitas, cherts

STRATIGRAPHY AND PALEOENVIRONMENTS

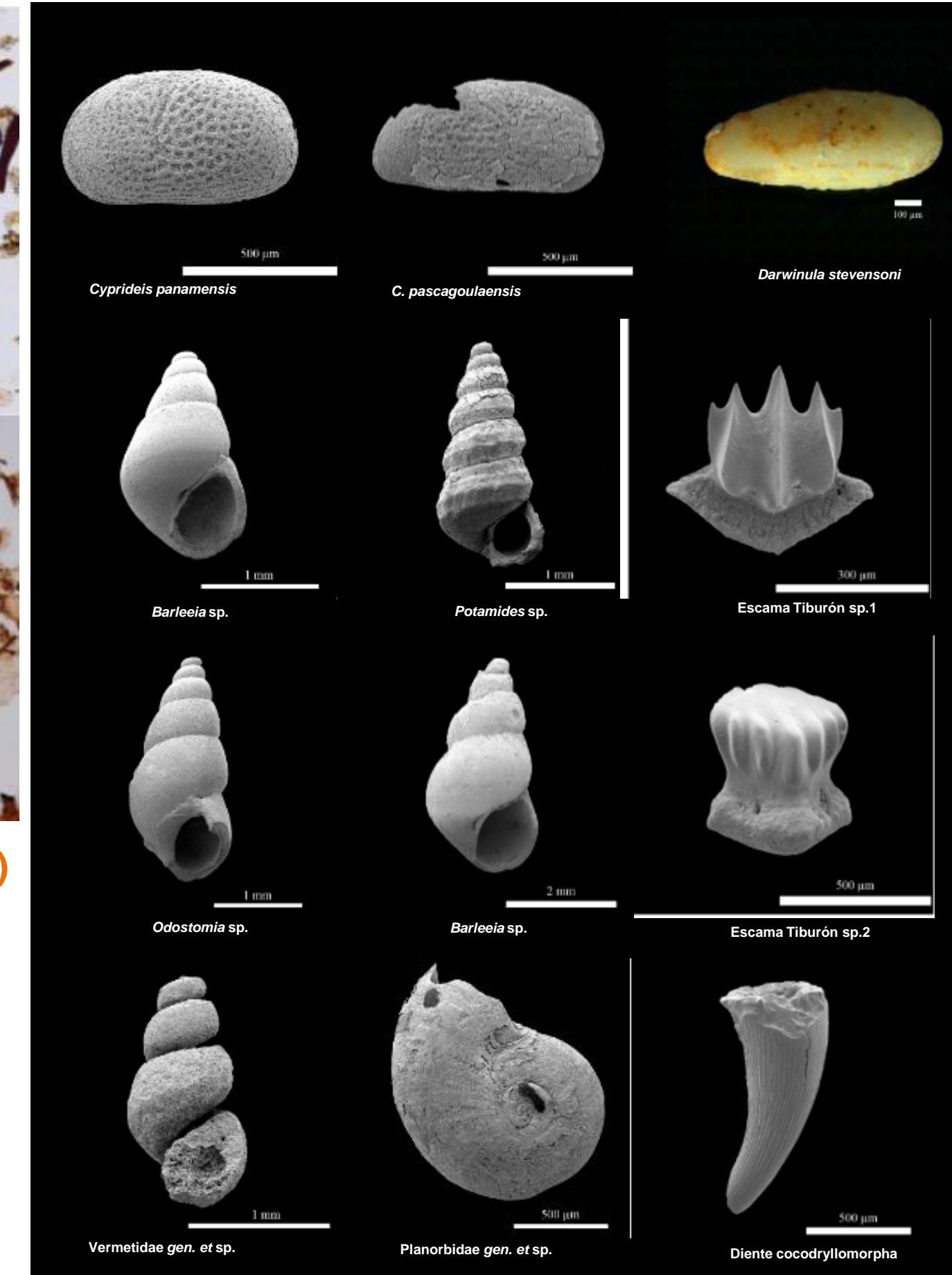
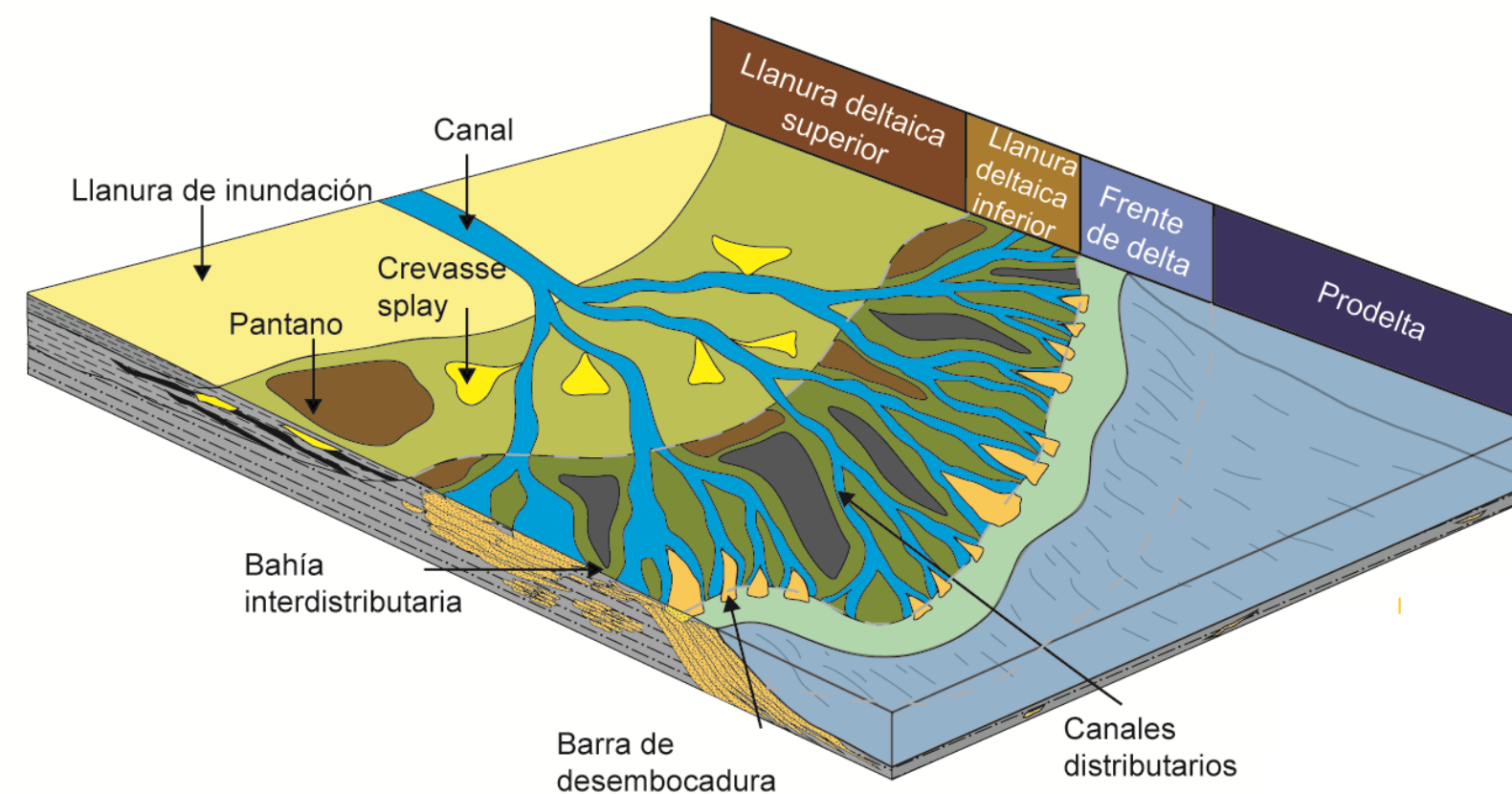
ANH-LOS PÁJAROS



STRATIGRAPHY AND PALEOENVIRONMENTS

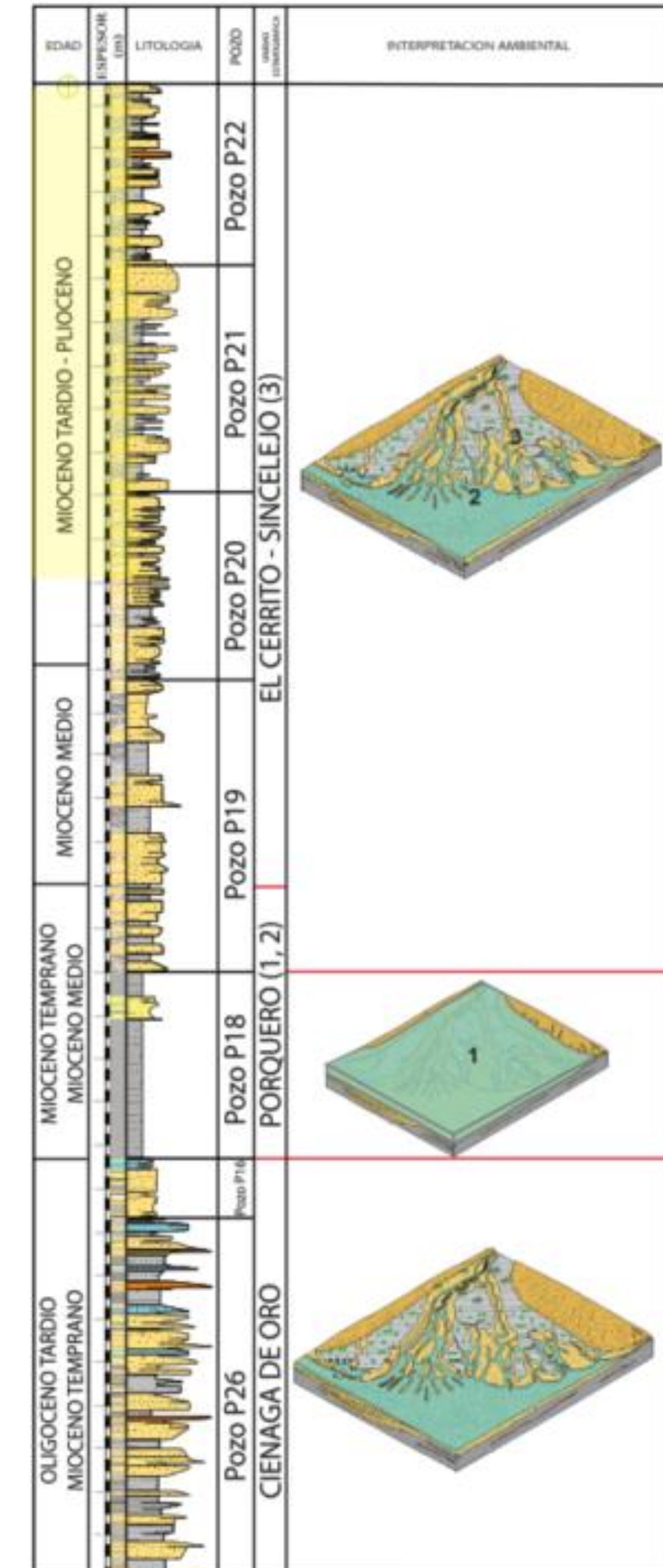
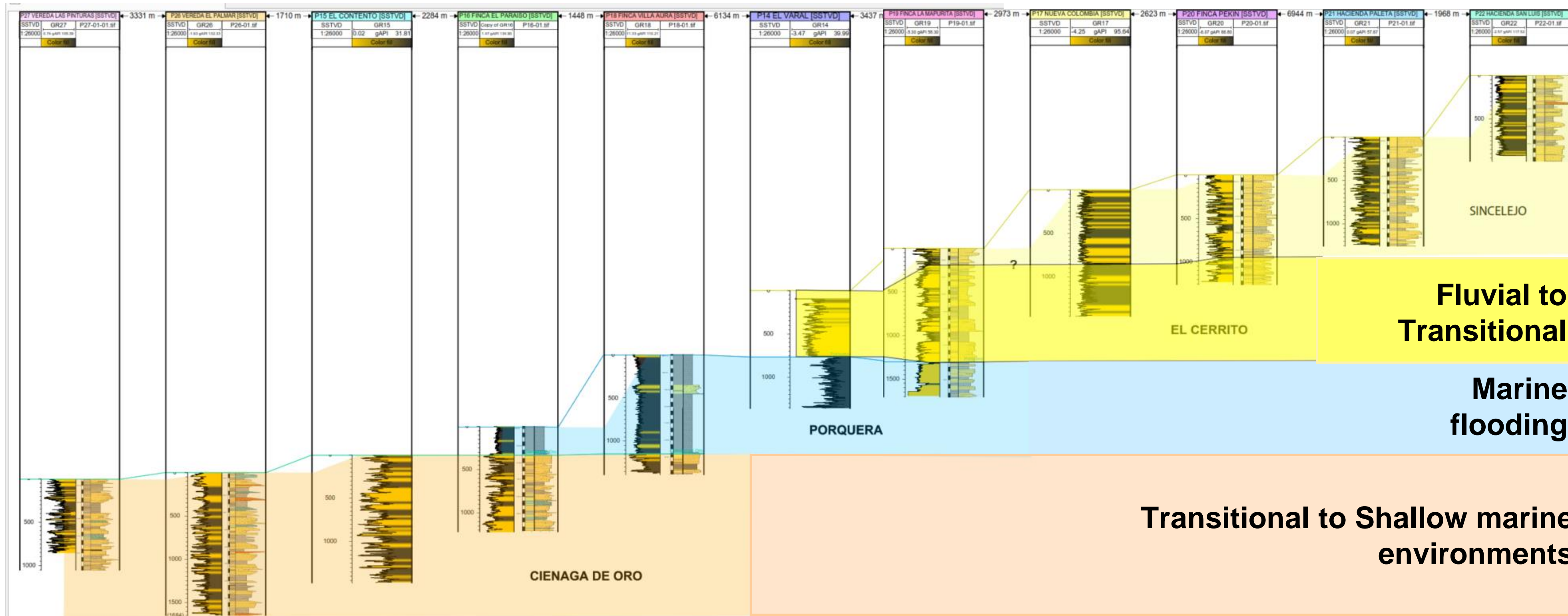


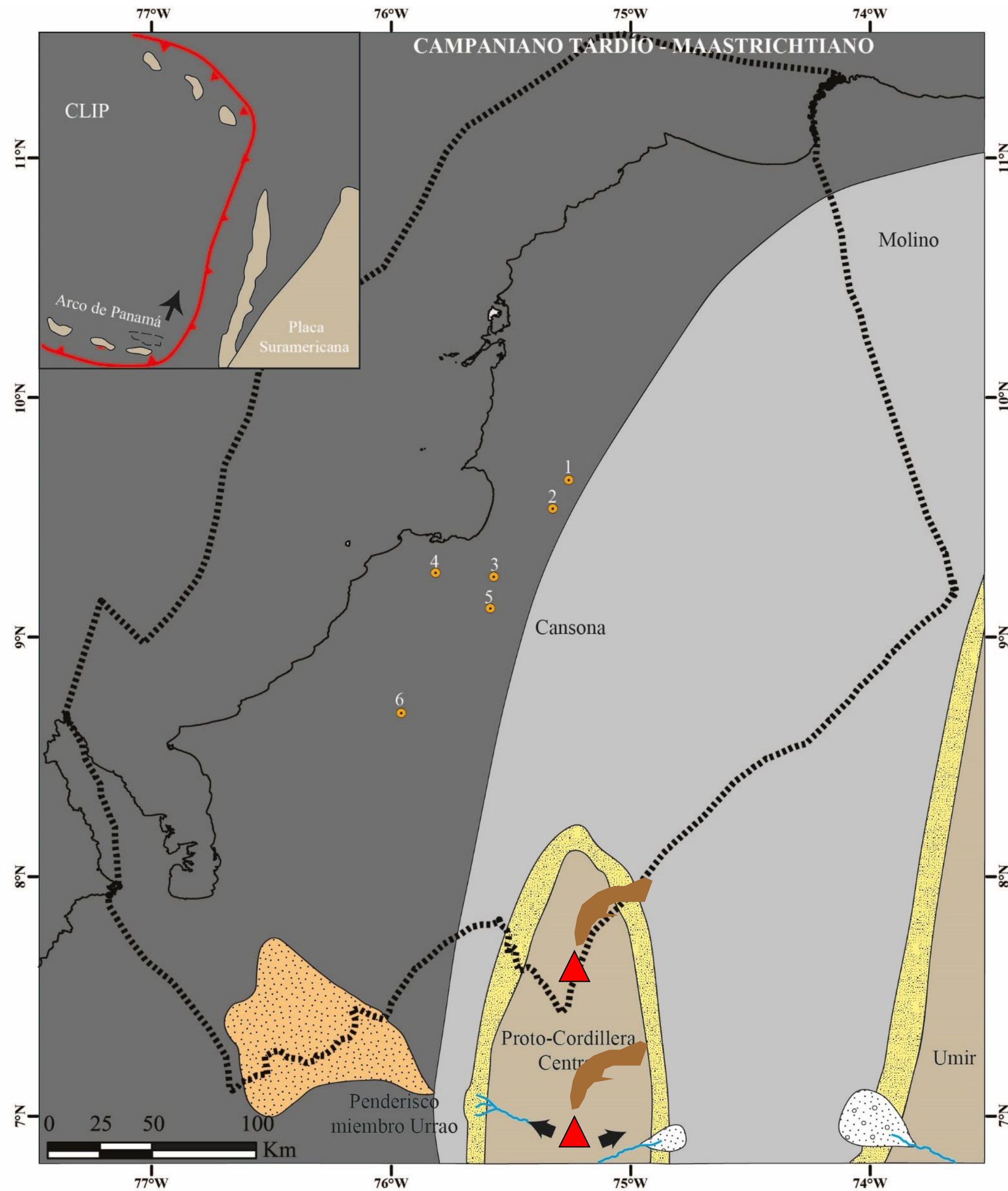
Díaz (2017)



Salazar et al. (in prep)

STRATIGRAPHY AND PALEOENVIRONMENTS





Campanian-Maastrichtian

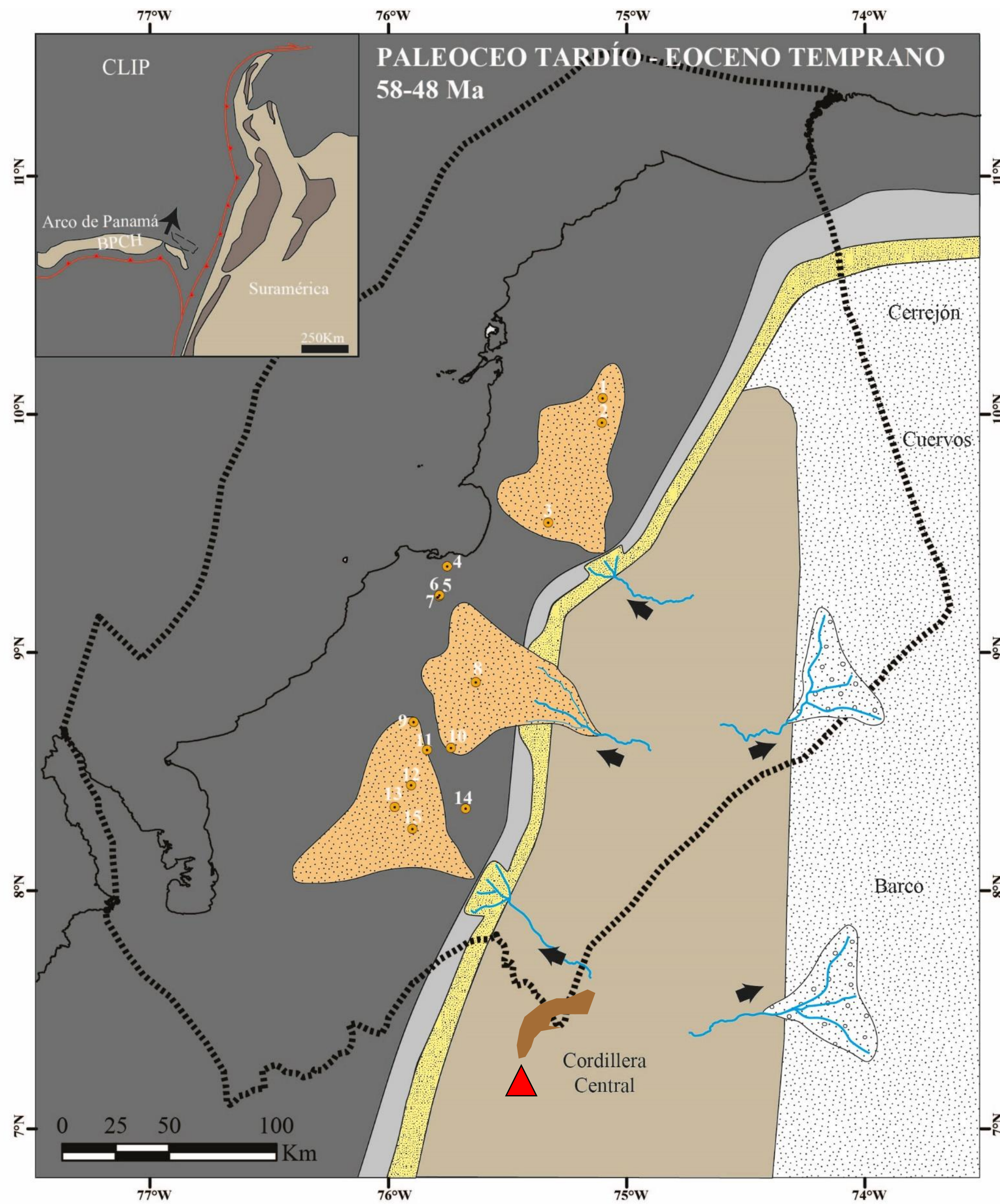
LEYENDA

- Área emergida
- Ambiente transicional (delta, llanuras mareales, *foreshore* y *shoreface*)
- Ambiente marino somero (*offshore*-plataforma)
- Ambiente marino profundo (talud-llanura abisal)
- Abanicos deltaicos y submarinos
- Abanicos aluviales, depósitos fluviales
- Límite área de estudio
- Dirección de aporte de sedimentos
- Drenajes
- Volcanism

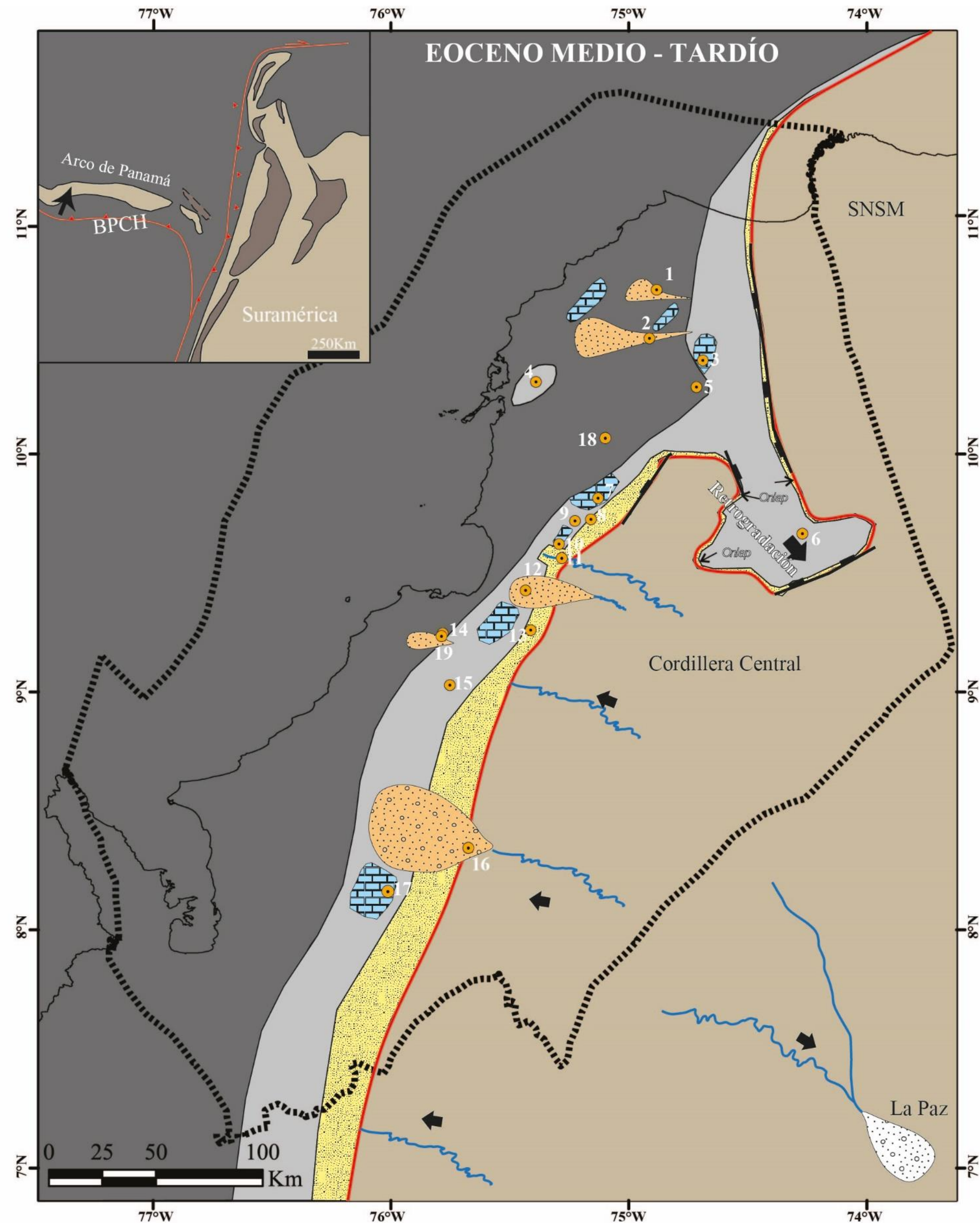
SECCIONES ESTRATIGRÁFICAS

- 1 Cerro Cansona
- 2 Arroyo Peñitas
- 3 Sección San Carlos
- 4 San Carlos
- 5 Sección Chicoral
- 6 Purgatorio 2

Late Paleocene – Early Eocene



LEYENDA		POZOS	
	Área emergida		1 ANH-San Cayetano-1
	Ambiente transicional (delta, llanuras mareales, foreshore y shoreface)		2 ANH-Piedra Blanca-1
	Ambiente marino somero (offshore-plataforma)		3 P-2 Chalan
	Ambiente marino profundo (talud-llanura abisal)		4 ANH-San Antero-1
	Abanicos deltaicos y submarinos		5 P-13 Nueva Estrella
	Abanicos aluviales, depósitos fluviales		6 P-11 San Sebastian
	Límite área de estudio		7 ANH-Moambo-1
	Dirección de aporte de sedimentos		8 ANH-La X-1
	Drenajes		9 ANH-SSJ-015-STR-S
	Volcanism		10 ANH-SSJ-18-STR-S
			11 ANH-SSJ-17-STR-S
			12 ANH SSJ-4A ST R S
			13 ANH SSJ-10 ST R S
			14 ANH-SSJ-La-Estrella-1X
			15 ANH SSJ-8A ST R S



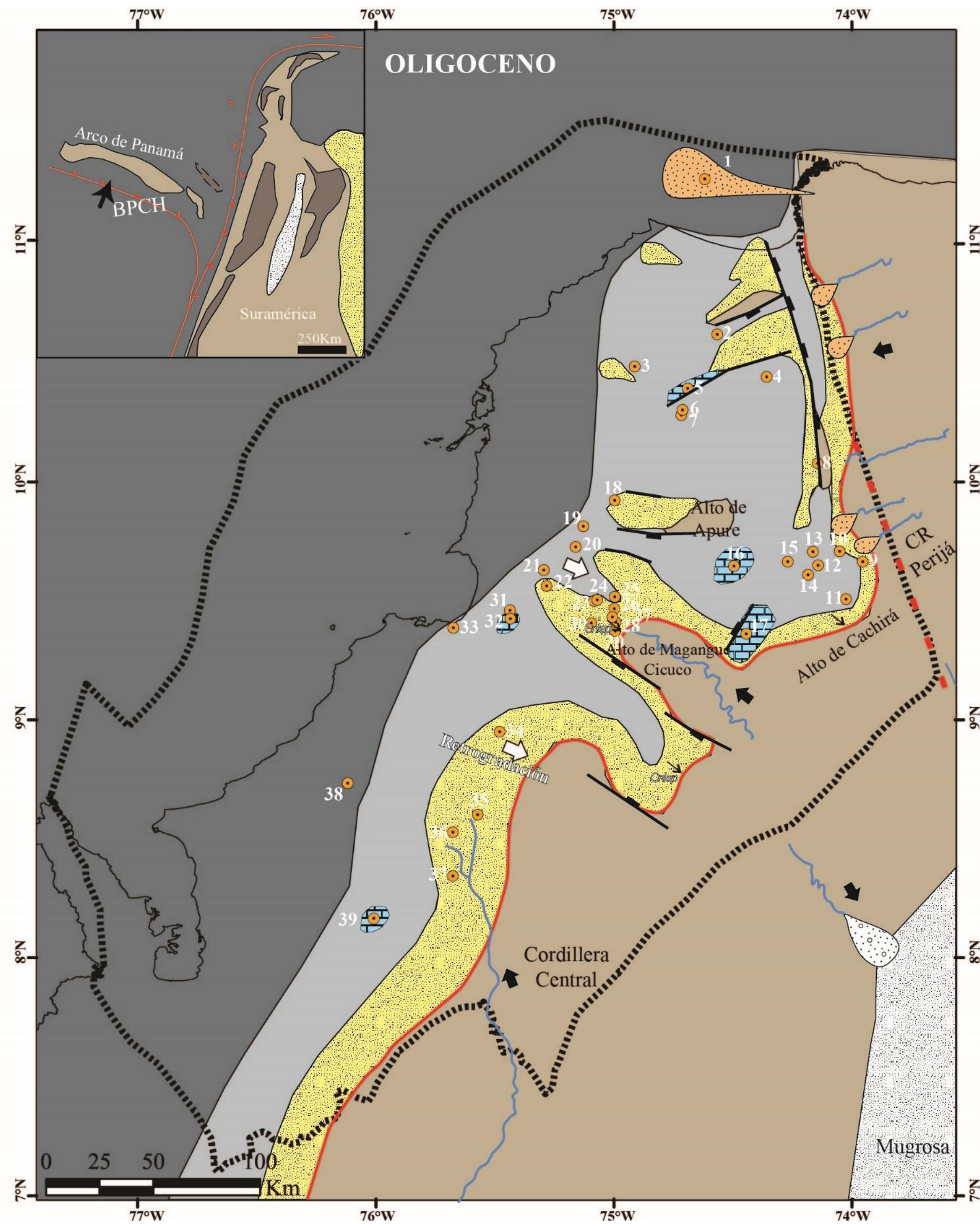
Late - Middle Eocene

LEYENDA

Área emergida	Carbonatos
Ambiente transicional (delta, llanuras mareales, foreshore y shoreface)	
Ambiente marino somero (<i>offshore</i> -plataforma)	
Ambiente marino profundo (talud-llanura abisal)	
Abanicos deltaicos y submarinos	
Abanicos aluviales, depósitos fluviales	
Límite área de estudio	Falla normal
Dirección de aporte de sedimentos	Patrones en <i>Onlap</i> a partir de sísmica
Drenajes	

POZOS

1 Currulao-1	10 P8(2)-Don Gabriel
2 Manati-1	11 P12-Almagra
3 Pivijay-1	12 P3-Toluviejo
4 ANH-L Cantera-1	13 P6(3)-Hacienda La Estancia
5 Balsamo-1	14 P13-Nueva Estrella
6 ANH-Plato 1-X-P	15 Claro-1
7 ANH-San Jacinto-1	16 ANH-SSJ-La Estrella 1-X
8 P7-Arroyo Arena	17 ANH-Tierra Alta 2X
9 P5-Caracolí	18 ANH-San Cayetano-1
	19 ANH-Moambo-1X



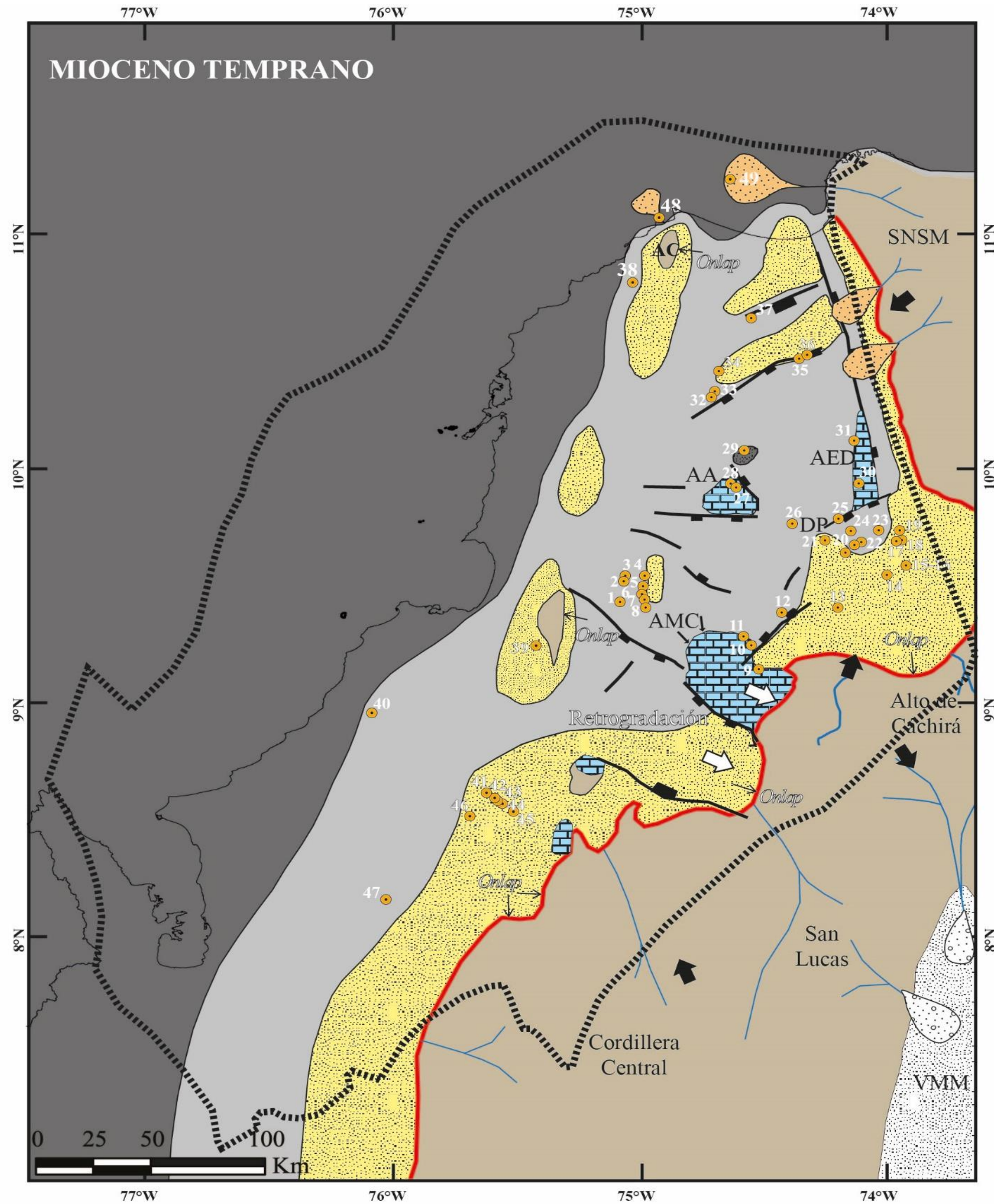
Oligocene

LEYENDA

Área emergida	Carbonatos
Ambiente transicional (delta, llanuras mareales, foreshore y shoreface)	
Ambiente marino somero (offshore-plataforma)	
Ambiente marino profundo (talud-llanura abisal)	
Abanicos deltaicos y submarinos	
Abanicos aluviales, depósitos fluviales	
Límite área de estudio	Falla normal
Dirección de aporte de sedimentos	Patrones en Onlap a partir de sísmica
Drenajes	

POZOS

● 1 Araza-1	● 16 Pinto-1	● 31 ANH-Costa Azul-1
● 2 Buena vista-1	● 17 Pijino-1	● 32 P3-Toluviejo
● 3 Manati-1	● 18 Saman Est-1	● 33 P10-Torrente
● 4 Piñuela-1	● 19 ANH-San jacinto-1	● 34 Sahagun-1
● 5 Pivijay-1	● 20 P7-Arroyo Arena	● 35 P15-El Contento
● 6 Danta-1	● 21 P8(2)-Don Gabriel	● 36 ANH-Nueva Esperanza-1
● 7 Balsamo-1	● 22 P12-Almagra	● 37 ANH-SSJ-La Estrella-1X
● 8 San Angel-6	● 23 Mamey-1	● 38 La Mora-1 ANH-Tierra
● 9 La Florida-1	● 24 Bonga-1	● 39 Alta-2X
● 10 El Castillo-1	● 25 Piragua-1	
● 11 El Retiro-1	● 26 Ayombe-1	
● 12 Cotorra-1X	● 27 Güepaje-2	
● 13 Guamito-1	● 28 Güepaje-1	
● 14 Ligia-1	● 29 Güepaje-3	
● 15 ANH-Plato 1X-P	● 30 La Creciente-1	



Early Miocene

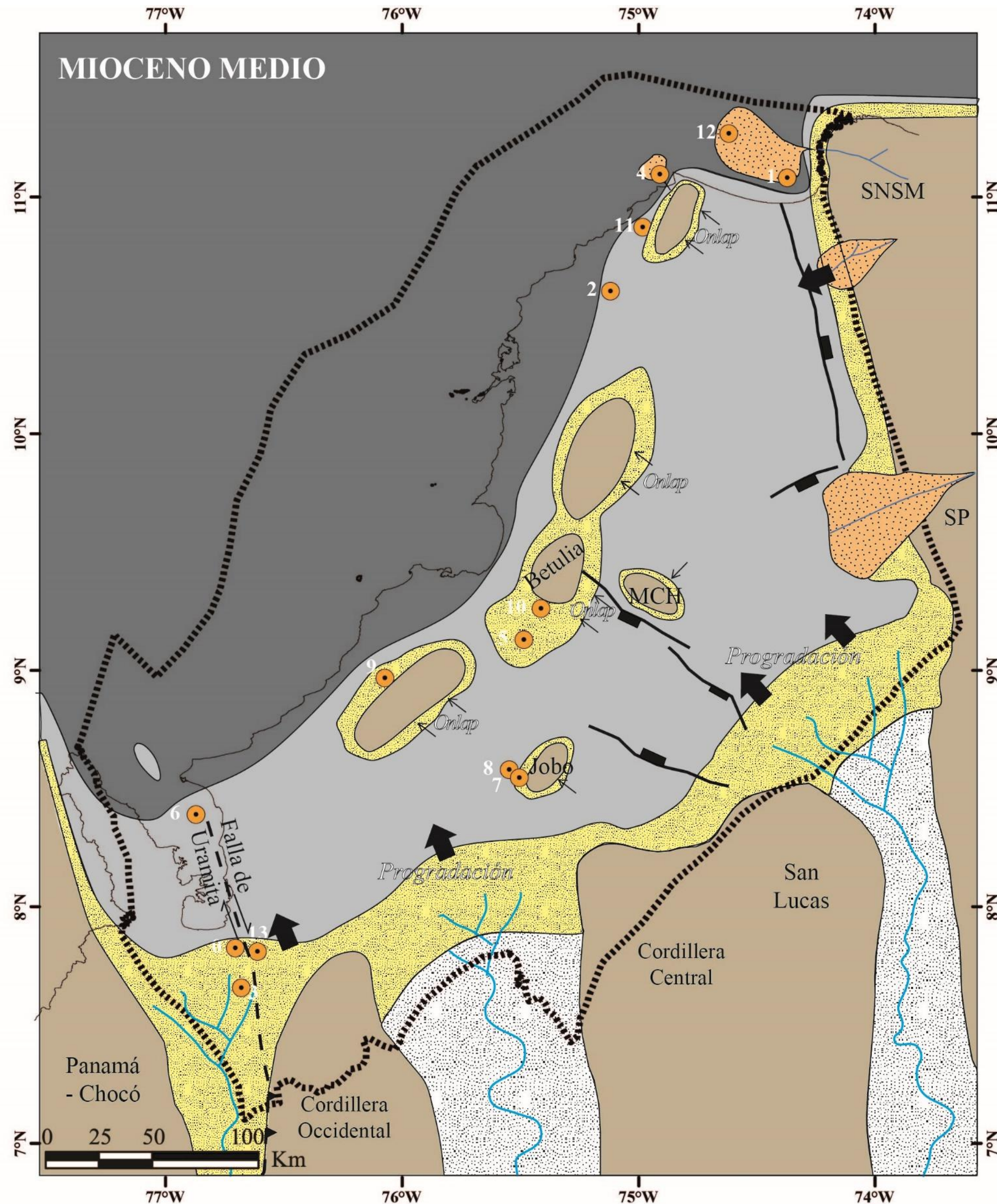
LEYENDA

- | | |
|---|--|
| Área emergida | Carbonatos |
| Ambiente transicional (delta, llanuras mareales, foreshore y shoreface) | |
| Ambiente marino somero (<i>offshore</i> -plataforma) | |
| Ambiente marino profundo (talud-llanura abisal) | |
| Abanicos deltaicos y submarinos | |
| Abanicos aluviales, depósitos fluviales | |
| Límite área de estudio | Falla normal |
| Dirección de aporte de sedimentos | Falla inversa |
| Drenajes | Patrones en <i>Onlap</i> a partir de sísmica |

POZOS

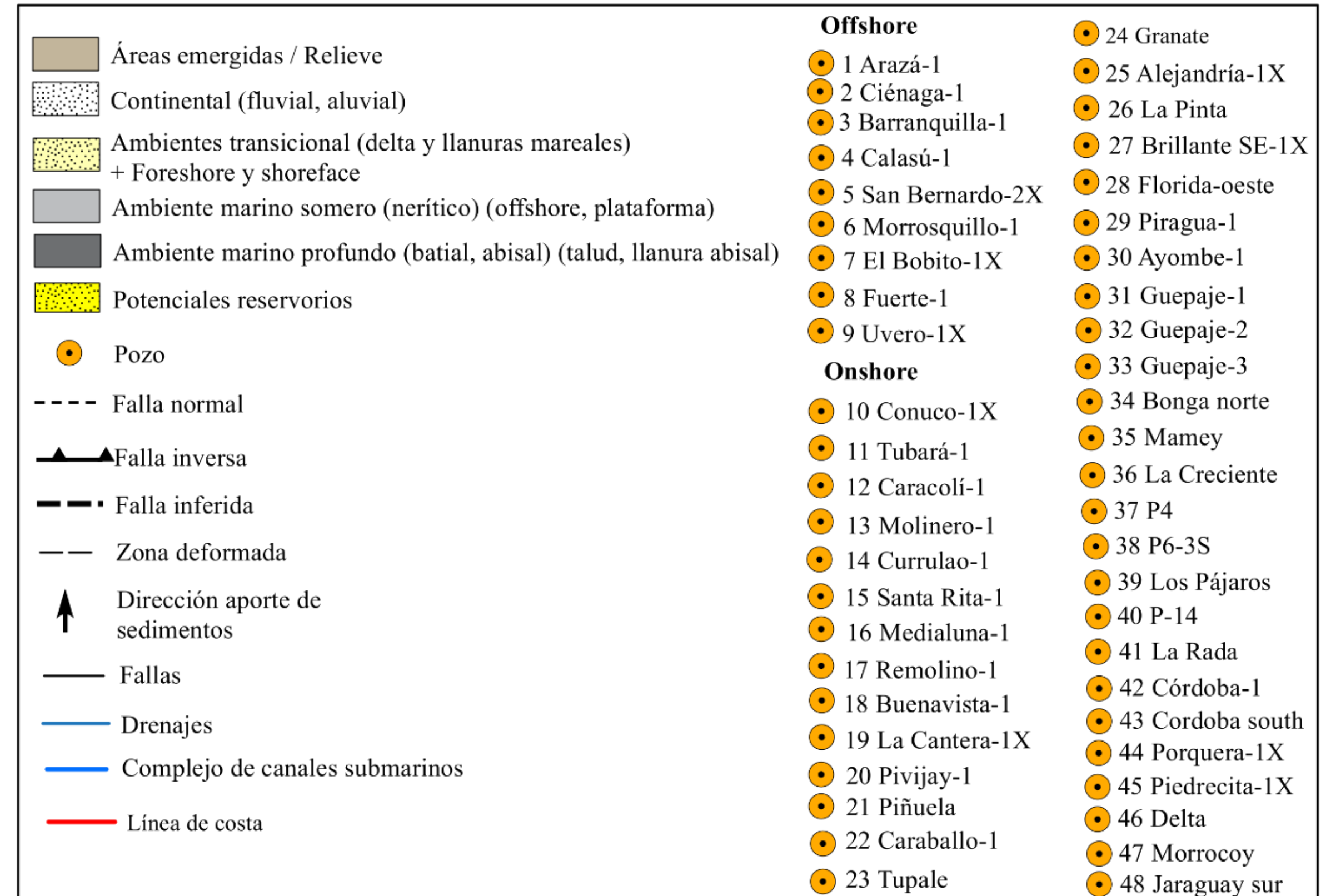
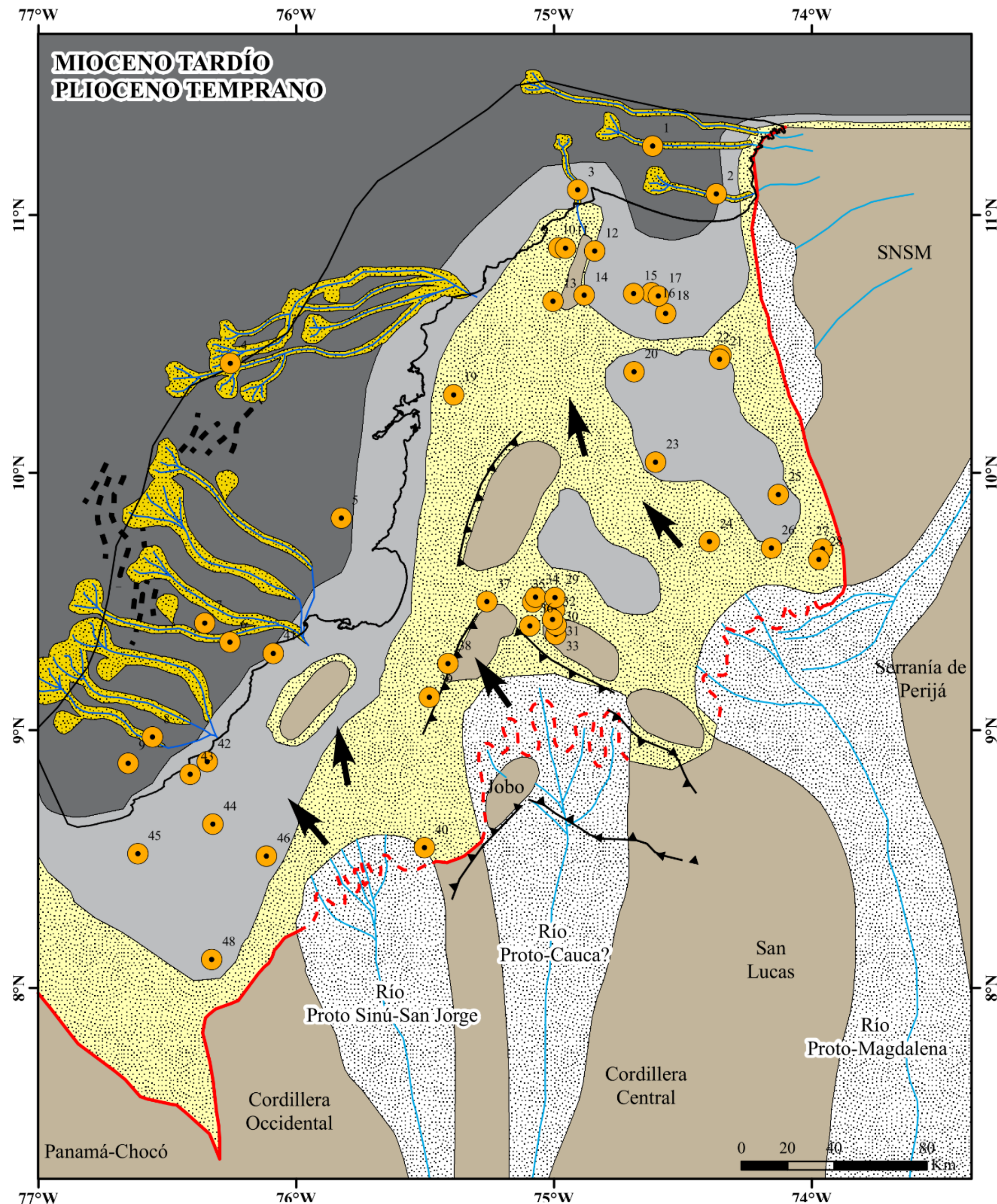
- | | | |
|--------------------|----------------------------|-------------------------------|
| ● 1 La Creciente-1 | ● 16 Arjona-6 | ● 31 San Angel-6 |
| ● 2 Mamey-2 | ● 17 Florida Oeste-1 | ● 32 Bálsamo |
| ● 3 Bonga Norte-1 | ● 18 La Florida-1 | ● 33 Danta-1 |
| ● 4 Piragüa-1 | ● 19 Brillante SE-1X | ● 34 Pivijay-1 |
| ● 5 Ayombe-1 | ● 20 Ligia-1 | ● 35 Piñuela-1 |
| ● 6 Guepajé-1 | ● 21 ANH-Plato-1-X-P | ● 36 Caraballo-1 |
| ● 7 Guepajé-2 | ● 22 Capure-1X, Cotorra-1X | ● 37 Buenavista-1 |
| ● 8 Guepajé-3 | ● 23 El Castillo-1 | ● 38 ANH-Juan de Acosta-1 |
| ● 9 Boquilla-1 | ● 24 Guamito-1 | ● 39 P6-3S |
| ● 10 Boquete-2 | ● 25 Costa Rica-1 | ● 40 P-28 |
| ● 11 Cicuco-22 | ● 26 Granate-1 | ● 41 P-27 |
| ● 12 Pijiño-1 | ● 27 Apure-1 | ● 42 P-26 |
| ● 13 Buena Fe-1 | ● 28 Apure-2 | ● 43 P-18 ● 48 Barranquilla-1 |
| ● 14 El Retiro-1 | ● 29 Tupale-1 | ● 44 P-15 ● 49 Arazá-1 |
| ● 15 Arjona-1 | ● 30 Alejandría-1 | ● 45 P-14 |
| | | ● 46 ANH-Nueva Esperanza-1 |
| | | ● 47 ANH-Tierralta-2-X-P |

Middle Miocene



LEYENDA		POZOS	
Área emergida	Carbonatos	0 Apartadó-1	7 P-14 El Varal
Ambiente transicional (delta, llanuras mareales, foreshore y shelf)	Ambiente marino somero (<i>offshore</i> -plataforma)	1 Ciénaga-1	8 P-18 Finca Villa Laura
Ambiente marino profundo (talud-llanura abisal)	Abanicos deltaicos y submarinos	2 ANH El Pabilo-1	9 P-28 Finca Villa Hermosa
Abanicos aluviales, depósitos fluviales	Falla normal	3 Urabá-1	10 P6-3S Hacienda La Estancia
Límite área de estudio	Falla inversa	4 Barranquilla-1	11 ANH Conuco-1
Dirección de aporte de sedimentos	Falla inferida	5 ANH Los Pájaros-1	12 Arazá-1
Drenajes	Patrones en <i>Onlap</i> a partir de sísmica	6 Urabá 1629-1X	13 Turbo-1

Late Miocene – Early Pliocene





El futuro
es de todos

Minenergía

Thanks

www.anh.gov.co



DATE